

# Catalogo Generale Implantologia

## 2025

Le caratteristiche peculiari degli impianti Osseotite<sup>®</sup>, T3<sup>®</sup> Pro e T3<sup>®</sup> sono state sviluppate grazie alla tecnologia e alla ricerca ZIMVIE e sono comprovate da numerosi studi clinici internazionali.

Le caratteristiche tecniche, di forma, di taglio e di superficie degli impianti Osseotite<sup>®</sup>, T3<sup>®</sup> Pro e T3<sup>®</sup>, della connessione Certain<sup>®</sup> e della morfologia Platform Switching™ sono coperte da brevetti internazionali.

Ogni imitazione e riproduzione illecita di tali caratteristiche è sanzionabile secondo la normativa brevettuale e di concorrenza sleale.

Invitiamo pertanto tutti i nostri clienti a diffidare da ogni eventuale dichiarazione sulle equivalenze delle caratteristiche di cui sopra.

# INDICE





Basi Scientifiche  
e Sperimentali

Impianti

Strumentario Chirurgico

Tecnologie Chirurgiche  
di Supporto

Protesi

Tecnologie Digitali

Componenti Speciali

Viti e Inseritori

Appendici Tecniche

## Basi Scientifiche e Sperimentali

- 10 – L'impianto T3° PRO
- 18 – T3° Implant
- 20 – Osseotite®
- 24 – Bibliografia

## Impianti

- 32 – Impianti T3° PRO Conici Certain® con Platform Switching™ integrato
- 33 – Impianti T3° PRO Conici Certain® senza Platform Switching™
- 34 – Impianti T3° Conici Certain® con Platform Switching™ integrato
- 35 – Impianti T3° Cilindrici Certain® con Platform Switching™ integrato
- 36 – Impianti T3° Conici Certain® senza Platform Switching™
- 37 – Impianti T3° Cilindrici Certain® senza Platform Switching™
- 38 – Impianti T3° Conici con Esagono Esterno
- 39 – Impianti T3° Cilindrici con Esagono Esterno
- 40 – Impianti Osseotite® Conici Certain®
- 42 – Impianti Osseotite® Conici con Esagono Esterno
- 44 – Impianti Osseotite® Cilindrici Certain®
- 46 – Impianti Osseotite® Cilindrici con Esagono Esterno
- 48 – Impianti T3° Short 5 e 6 mm
- 49 – L'impianto di diametro ridotto Lodi
- 50 – Viti di Copertura per Impianti Certain®
- 51 – Viti di Copertura per Impianti con Esagono Esterno

## Strumentario Chirurgico

- 54 – Kit chirurgico per Impianti Conici e Cilindrici
- 56 – Start Kit per Impianti Conici
- 58 – Kit Upgrade Impianti Conici
- 58 – Kit chirurgico impianti T3® Short 5 o 6 mm
- 60 – Navigator™ System
- 62 – Frese Multiuso
- 64 – Frese Coniche Multiuso e Repliche per il Posizionamento degli Impianti Conici
- 65 – Maschiatori per Impianti Conici
- 66 – Maschiatori per Impianti Cilindrici
- 67 – Frese Monouso
- 68 – Dispositivi per l'inserimento dell'impianto Certain®
- 69 – Dispositivi di Montaggio per Impianti con Esagono Esterno
- 70 – Strumenti per l'inserimento dell'impianto con Esagono Esterno
- 71 – Driver e Connessioni Chirurgiche
- 72 – Driver Meccanici
- 72 – Misuratori e Indicatori di Profondità
- 73 – Strumenti Ausiliari per Frese
- 73 – Strumenti Ausiliari per Chirurgia Implantare
- 74 – Strumenti per la Seconda Fase Chirurgica
- 76 – Osteotomi di Summers™
- 77 – Osteotomi Conici
- 78 – Lodi Kit Chirurgico e Strumentario
- 80 – Kit Universale per Rimozione Impianti

## Tecnologie Chirurgiche di Supporto

- 84 – Tooth Transformer®
- 86 – Unità Operativa Chirurgica Implantmed

## Protesi

- 90 – Tecnologia Innovativa della Connessione Interna Certain®
- 91 – Proprietà Tecniche della Connessione Certain®
- 92 – Zero Rotation™
- 93 – Gold-Tite®
- 93 – Effetto del disegno delle viti sulla sigillatura
- 94 – Sistema Encode

### COMPONENTI PROTESICI PER IMPIANTI PIATTAFORMA DI 4,1 mm

- 96 – Pilastri di Guarigione
- 98 – Pilastro Gingihue®
- 100 – Pilastro Ucla
- 102 – Pilastro Low Profile
- 104 – Pilastro Overdensure®

### COMPONENTI PROTESICI PER IMPIANTI PIATTAFORMA DI 3,4 mm

- 106 – Pilastri di Guarigione
- 108 – Pilastro Gingihue®
- 110 – Pilastro Ucla
- 112 – Pilastro Low Profile
- 114 – Pilastro Overdensure®

### COMPONENTI PROTESICI PER IMPIANTI PIATTAFORMA DI 5,0 mm

- 116 – Pilastri di Guarigione
- 118 – Pilastro Gingihue®
- 120 – Pilastro Ucla
- 122 – Pilastro Low Profile
- 124 – Pilastro Overdensure®

### COMPONENTI PROTESICI PER IMPIANTI PIATTAFORMA DI 6,0 mm

- 126 – Pilastri di Guarigione
- 128 – Pilastro GingiHue®
- 130 – Pilastro Ucla
  
- 132 – Pilastri e Accessori per Impianti Lodi

## Tecnologie Digitali

- 136 – Il percorso dell'odontoiatria digitale
- 138 – Componenti digitali GenTek™
- 140 – Base da incollaggio GenTek™ TiBase con canale di accesso angolato
- 144 – Componenti Digitali GenTek™ Connessione a livello implantare
- 148 – Componenti Digitali GenTek™ Connessione al livello del pilastro

## Componenti Speciali

- 150 – Columbus Bridge™ Protocol
- 151 – Columbus Bridge™ Componentistica
- 152 – Curvomax™
- 154 – Tissueone™
- 155 – Tissuemax™
- 156 – Curvocrome™

## Viti e Inseritori

- 158 – Viti protesiche
- 159 – Driver meccanici
- 161 – Kit di rimozione delle Viti fratturate

## Appendici Tecniche

- 164 – Protocollo Chirurgico per l'Impianto T3® PRO
- 168 – Protocolli Chirurgici per l'Impianto Conico T3® e Osseotite®
- 172 – Protocolli Chirurgici per l'Impianto Cilindrico T3® e Osseotite®
- 176 – Protocolli Chirurgici per l'Impianto T3® Short 5 e 6 mm
- 178 – Kit chirurgico per impianti conici e cilindrici con esagono esterno e interno
- 185 – NTAPK kit maschiatori per impianto conico
- 188 – Kit chirurgico Navigator® per impianti conici
- 191 – Torque di avvitamento delle viti e dei pilastri





# Basi Scientifiche e Sperimentali

10	–	L'impianto T3® PRO
18	–	T3® Implant
20	–	Osseotite®
24	–	Bibliografia

# L'impianto UNIVERSALE per tutte le situazioni cliniche

## Il nuovo T3<sup>®</sup> PRO: stabilità e sicurezza

Guidandoti con maggiore controllo e prevedibilità, T3<sup>®</sup> PRO è progettato per darti sempre la stabilità primaria che desideri, **in tutte le situazioni cliniche e in tutte le tipologie ossee.**



✓ D1



✓ D2



✓ D3



✓ D4



## I vantaggi di T3<sup>®</sup> PRO

- Progettato per il carico immediato e per ottenere un'elevata stabilità primaria
- Tecnica di posizionamento ottimizzata
- Supporto osseo perimplantare precoce e a lungo termine
- Difesa dalla perimplantite
- Connessione Certain<sup>®</sup> e tecnologia *Platform Switching*<sup>™</sup>
- Compatibile con tutta la linea Certain, i protocolli di inserimento, la strumentazione e i componenti protesici esistenti
- Rispetto dei tessuti perimplantari con Encode Emergence

## Per ottenere un IBIC elevato e una stabilità eccezionale in ogni tipologia ossea

Il T3® PRO presenta un corpo implantare completamente conico **con un'ampiezza di filettatura progressivamente crescente**. Ciò si traduce in spire più aggressive che tagliano in modo più efficace e consentono un elevato contatto iniziale tra osso e impianto (IBIC\*), specialmente nella regione apicale.

Grazie alle sue caratteristiche e al suo protocollo chirurgico T3® PRO è un impianto estremamente versatile e può essere utilizzato con successo **in tutte le tipologie ossee da D1 a D4, offrendo un IBIC e una stabilità primaria molto elevati**.

Sezione trasversale di un T3® PRO e di due diversi impianti conici standard offerti dal mercato (A e B) posizionati allo stesso livello in un blocco di osso denso artificiale (tutti e tre gli impianti posizionati seguendo il protocollo di preparazione del produttore).



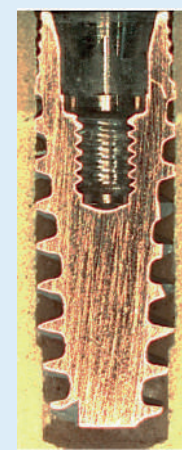
T3® PRO

- Elevato contatto osso-impianto (IBIC)
- Elevato ingaggio a livello apicale



Impianto A

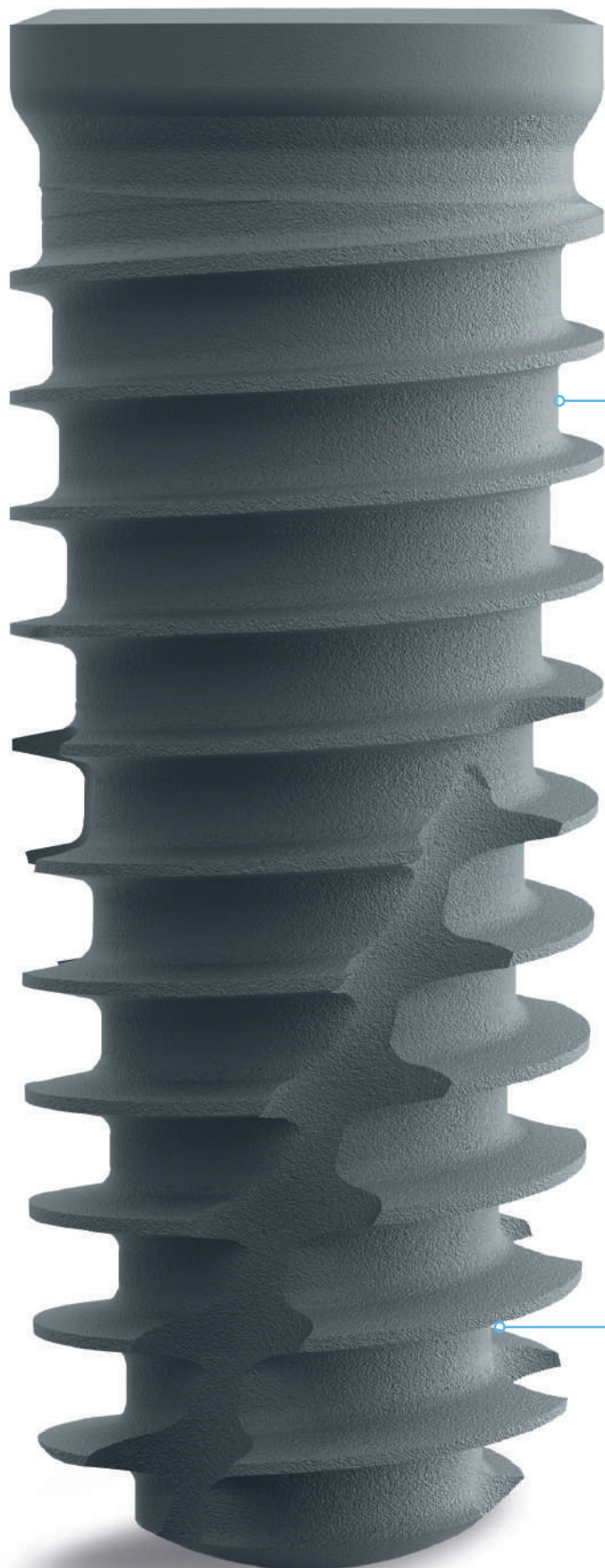
- Basso contatto osso-impianto (IBIC)
- Basso ingaggio a livello apicale



Impianto B

- Basso contatto osso-impianto (IBIC)
- Basso ingaggio a livello apicale

\* L'IBIC (Immediate Bone to Implant Contact) è l'area della superficie dell'impianto a contatto con l'osso al momento dell'inserimento, prima dell'inizio della neoformazione ossea.



CORPO IMPLANTARE TOTALMENTE CONICO



AMPIEZZA INCREMENTALE DELLA FILETTATURA

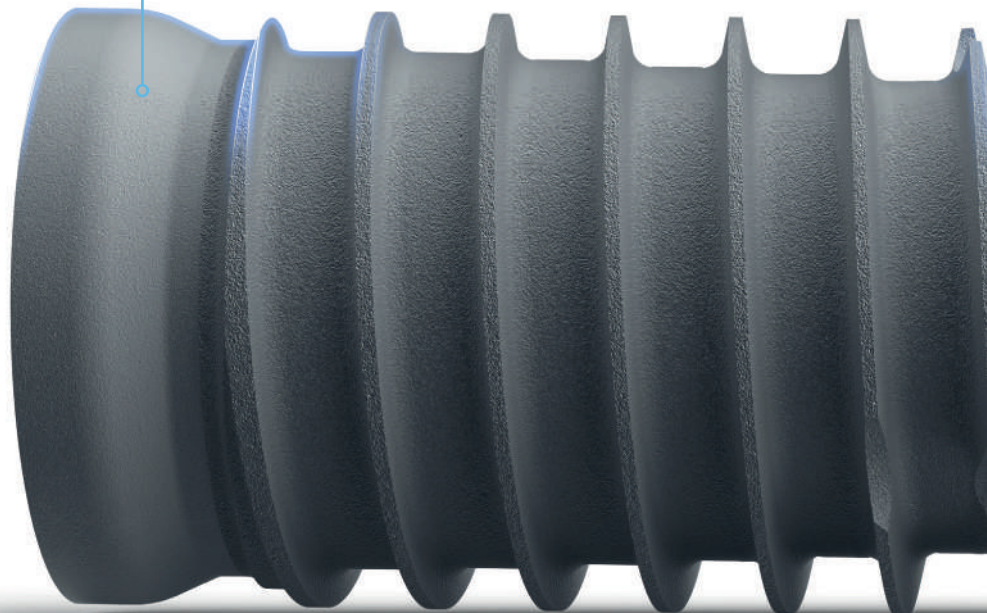
## Inserimento preciso e affidabile

**Il T3<sup>®</sup> PRO presenta un colletto ridisegnato, un corpo dell'impianto completamente conico e spire aggressive per un'esperienza di posizionamento ottimizzata:**

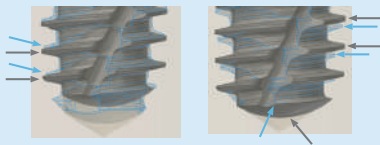
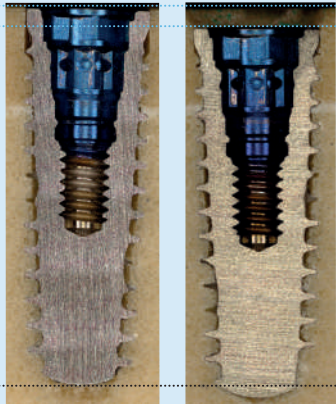
- Eccellente efficienza di taglio e migliore sensibilità clinica durante il posizionamento
- Spire autofilettanti specialmente disegnate per un migliore controllo nell'inserimento
- Sviluppo del torque ideale: torque inferiore durante l'inserimento dell'impianto che diventa più elevato nelle fasi finali di stabilizzazione
- Regolazione della profondità di posizionamento senza necessità di ripetere la preparazione del sito

### DESIGN ERGONOMICO DEL COLLETTO

Regolazione della profondità  
di inserimento

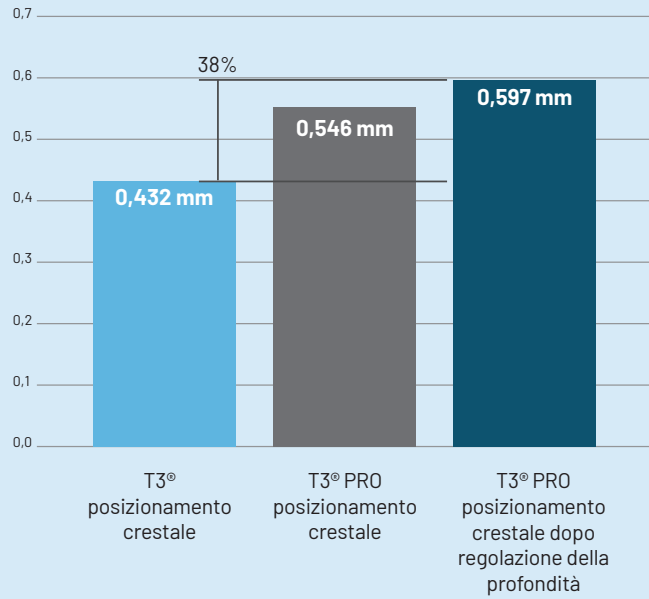


REGOLAZIONE APICALE DELLA PROFONDITÀ ~ 0,5 mm



→ le frecce azzurre indicano il profilo del T3<sup>®</sup>  
 → le frecce grigio scuro indicano il profilo T3<sup>®</sup> PRO

Profondità della filettatura apicale<sup>1</sup>: T3 vs T3 Pro (4,0 mm D x 11,5 mm L)

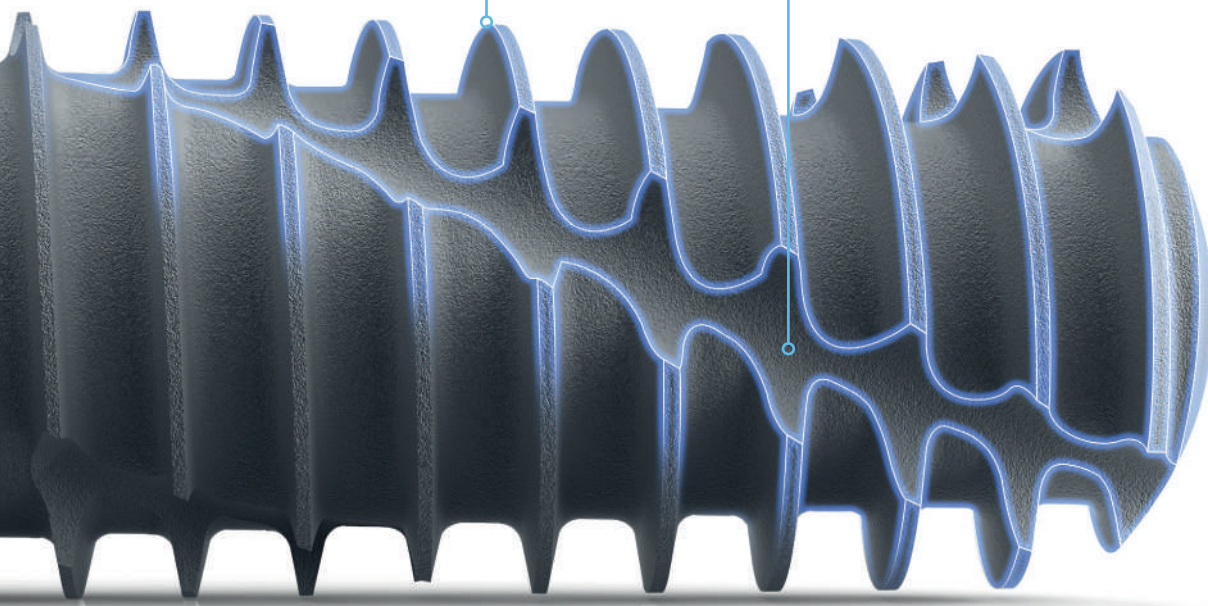


AMPIEZZA DELLE SPIRE PROGRESSIVAMENTE CRESCENTE

Maggior controllo nell'inserimento

SCANALATURE AFFILATE

Scanalature di taglio affilate per una maggiore efficienza di taglio e migliore stabilità clinica durante il posizionamento



## La potenza della superficie ibrida: integrazione ossea a breve e lungo termine

Il T3® PRO utilizza in combinazione la tecnologia di superficie brevettata Osseotite® (DAE, ruvidità micronica fine da 1 a 3 micron) e una tecnologia con caratteristiche di ruvidità micronica maggiore (> 10 micron).

La doppia tecnologia della superficie è presente lungo l'intera lunghezza dell'impianto tranne che al colletto.

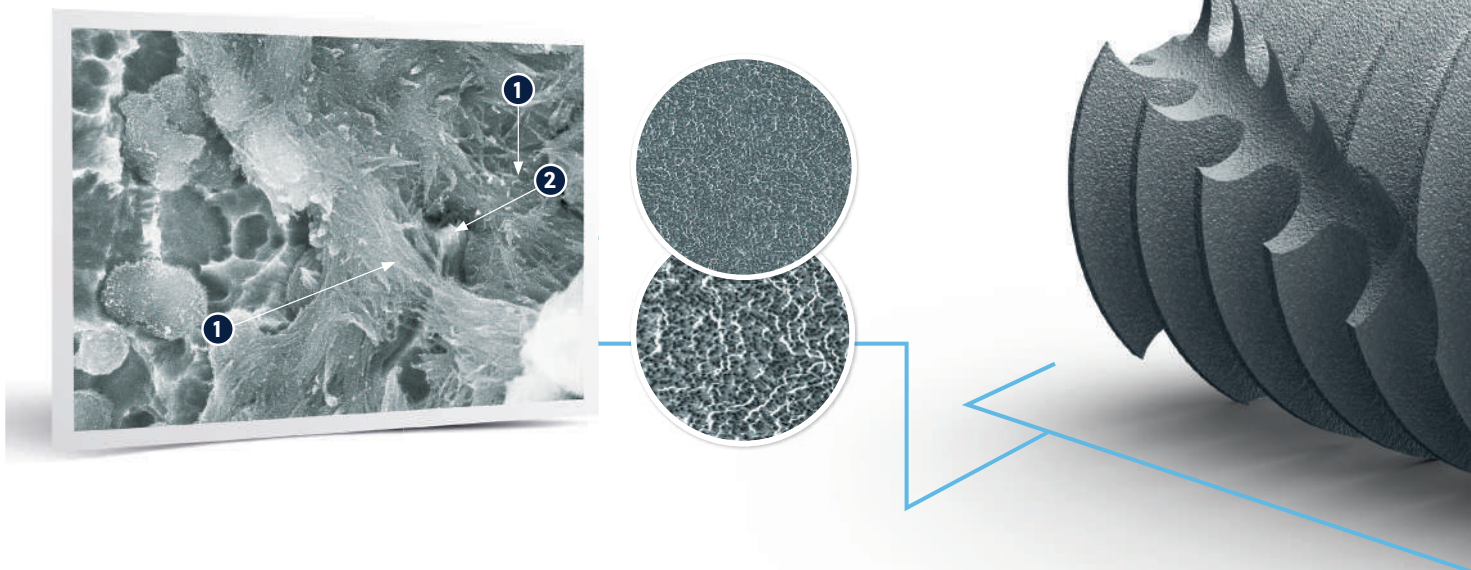
Le caratteristiche dei solchi presenti sulla superficie DAE sono analoghe per dimensioni e forma a un singolo solco di riassorbimento creato dagli osteoclasti.

È stato dimostrato che questa ruvidità creata dalla mordenzatura con acido supporta la **ritenzione della matrice ossea precoce**.

Invece le caratteristiche di ruvidità micronica maggiore (> 10 micron), a cui si sovrappongono le caratteristiche di ruvidità micronica fine sul corpo dell'impianto T3® PRO, offrono un ambiente ideale alla matrice ossea di collagene espressa dalle cellule osteogeniche e forniscono **supporto a lungo termine alla matrice ossea matura**.

Ruvidità micronica maggiore della superficie del corpo del T3® PRO.

Le fibre di collagene avvolgono la topografia tridimensionale di questa superficie.



- 1 Fibre collagene avvolte attorno alla superficie micronica maggiore
- 2 Particolare della superficie micronica maggiore

### CORPO IMPIANTO

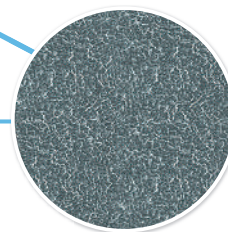
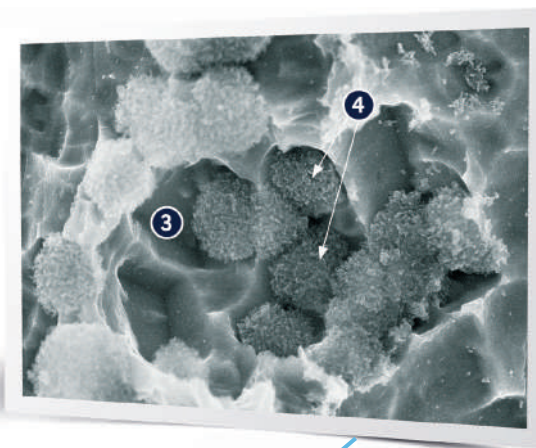
Caratteristiche di ruvidità micronica fine sovrapposte a caratteristiche di ruvidità micronica maggiore (> 10 micron)



La topografia di ruvidità micronica fine della superficie implantare supporta la ritenzione della matrice ossea precoce.

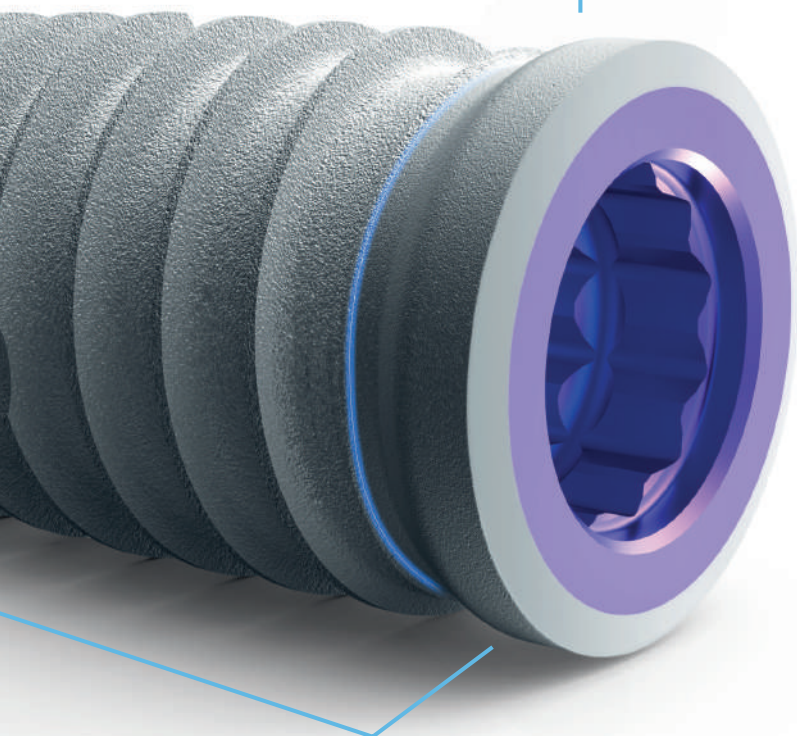
3 Topografia micronica fine

4 Matrice ossea precoce



**COLLO IMPIANTO**

Ruvidità micronica fine (1 - 3 micron) caratteristica della superficie a doppia mordenzatura



Immagini SEM ristampate da Biomaterials 35 (2014) 25-35, Autori: Davies JE, Mendes VC, Ko JC, Ajami E.  
Titolo dell'articolo: Topographic scale-range synergy at the functional bone/implant interface, Pages No. 25- 35.

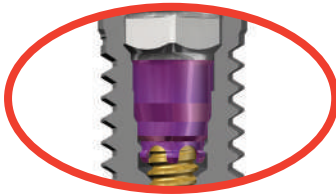
# T3<sup>®</sup> Implant

Il primo ibrido trifunzionale



**T2 Tecnologia Safe™**

con Platform Switching Integrato™



**T3 Tecnologia Connection™**



**T1 Tecnologia Bone™**

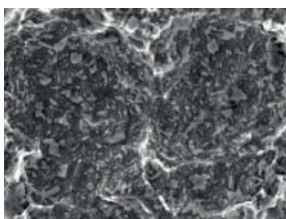


## T1 Tecnologia Bone™

Superficie nanotecnologica per una osteointegrazione ottimizzata

Valore medio complessivo:

**Sa 1,2 µm**



Diametro di un cristallo DCD: 0,01–0,1 micron

Rugosità micronica maggiore



Rugosità micronica fine



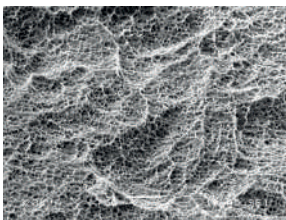
Rugosità sub-micronica

## T2 Tecnologia Safe™

Per la prevenzione della perimplantite nella zona coronale

Valore medio complessivo:

**Sa 0,3 µm**



Diametro di un microtubulo OSSEOTITE®: 1–3 micron

Rugosità micronica fine



Rugosità sub-micronica

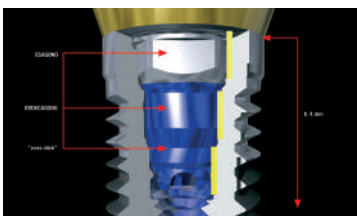
Sa

Per **Sa** si intende la misurazione tridimensionale in micron tra i punti massimi che separano le asperità superficiali.

## T3 Tecnologia Connection™

La migliore connessione protesica del mercato

Tecnologia innovativa della connessione interna Certain®



# Osseotite®

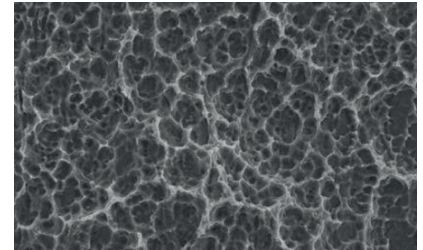
## Successo clinico dimostrato



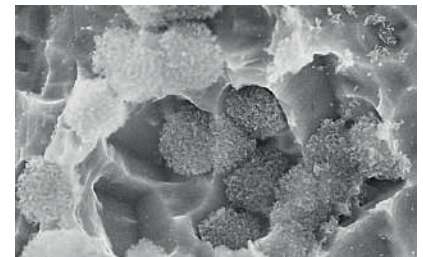
La Superficie Osseotite® può contare su **oltre 25 anni di documentazione**, frutto di **numerosi studi clinici multicentrici<sup>1-6</sup> e meta analisi<sup>7-8</sup> condotti a livello mondiale**. I risultati delle ricerche cliniche sulla superficie Osseotite® continuano a evidenziare i **vantaggi derivanti da una maggiore osteogenesi da contatto**, in modo particolare quando l'osso è di scarsa qualità.<sup>5-6</sup>

L'impianto Osseotite® presenta una superficie mordenzata specificamente progettata per favorire l'osteointegrazione, una delle superfici implantari meglio studiate e documentate attualmente disponibili sul mercato.

Numerosi studi su Osseotite® riportano un **Tasso di Successo Cumulativo pari al 98%<sup>6</sup>**.



Superficie Osseotite® al SEM a 2000X.



Superficie Osseotite® al SEM a 20000X: La topografia di ruvidità micronica fine della superficie implantare supporta la ritenzione della matrice ossea precoce.

## La superficie Osseotite® e il processo di guarigione

### Coagulo sanguigno e adesione all'impianto

Il coagulo di sangue aderisce all'impianto quando i filamenti di fibrina si intrecciano con la struttura microsopica dell'impianto. La forza dell'attacco coagulo/impianto dipende dal grado di interconnessione tra i filamenti di fibrina, di diametro submicronico, e la superficie implantare. La superficie implantare deve essere caratterizzata da spazi di dimensioni di poco superiori a quelle dei filamenti di fibrina per intrappolarli al suo interno. **La Superficie Osseotite® è caratterizzata da una distanza tra picco e picco compresa tra 1 e 3 micron ideale per trattenere i filamenti fibrinici del coagulo.**

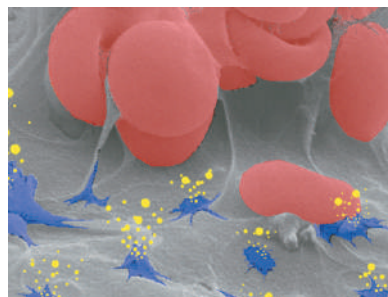
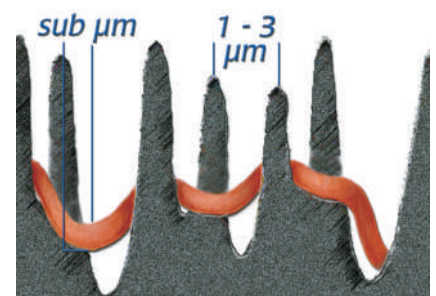


Immagine di Jun Park, The Bone Interface Group.



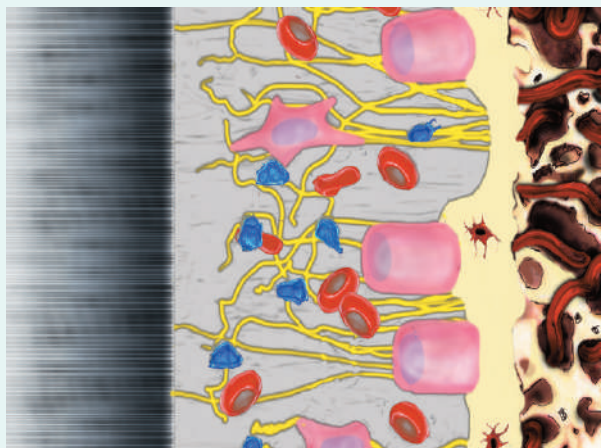
La Superficie Osseotite® è perfettamente dimensionata per catturare e trattenere i filamenti fibrinici del coagulo.

## L'adesione del coagulo accresce l'osteogenesi da contatto

**L'osteogenesi da contatto favorisce la guarigione dell'osso.** La guarigione dell'osso avviene attraverso due processi distinti: l'osteogenesi a distanza e l'osteogenesi da contatto. La migrazione delle cellule osteogeniche attraverso la matrice del coagulo causa la contrazione dei filamenti di fibrina presenti nella matrice, con il loro possibile distacco da una superficie machined, che potrebbe interferire con l'osteogenesi da contatto e l'osteocostruzione.<sup>9</sup>

### SUPERFICIE MACHINED Osteogenesi a distanza

Un processo graduale in cui l'osso guarisce verso l'interno, dal margine dell'osteotomia verso l'impianto. L'osso non cresce direttamente sulla superficie implantare.



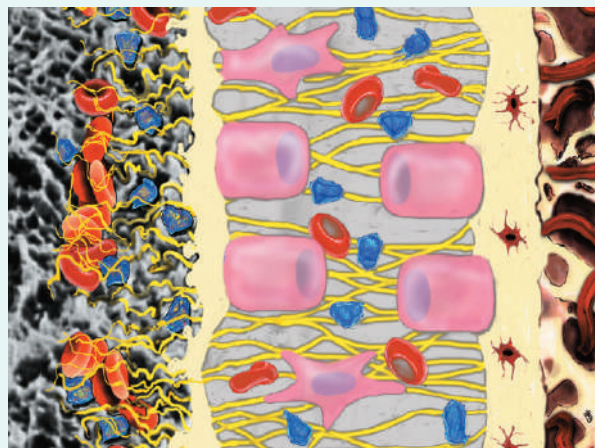
Impianto con superficie machined

Osso in fase di guarigione

Osso esistente

### SUPERFICIE OSSEOTITE® Osteogenesi da contatto

La migrazione diretta di cellule osteogeniche attraverso la matrice del coagulo verso la superficie dell'impianto. L'osso si forma rapidamente e direttamente sulla superficie implantare.



Impianto Osseotite®

Osso in fase di guarigione

Osso esistente

## Aggregazione piastrinica

In uno studio sulle interazioni tra globuli rossi (RBC) e piastrine e le superfici implantari, è stato osservato che **l'aggregazione eritrocitaria sulle superfici Osseotite® era superiore del 54% rispetto a quella osservata sulle superfici machined.**<sup>10</sup>

Inoltre, **l'adesione delle piastrine sulla superficie Osseotite® è risultata incrementata del 110% in confronto a quella osservata su una superficie machined.**<sup>10</sup>

Una maggiore attività piastrinica può favorire la guarigione, attraverso il rilascio di citochine e fattori di crescita.<sup>11</sup>

Combinati tra loro, questi due meccanismi possono tradursi in un **incremento della neoformazione di tessuto osseo sulla superficie Osseotite®.**

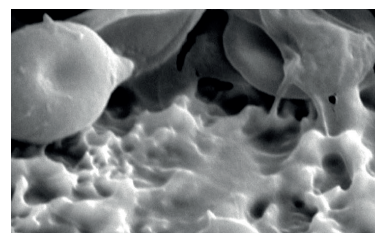


Immagine della superficie Osseotite® al SEM. Visibile l'attivazione piastrinica.

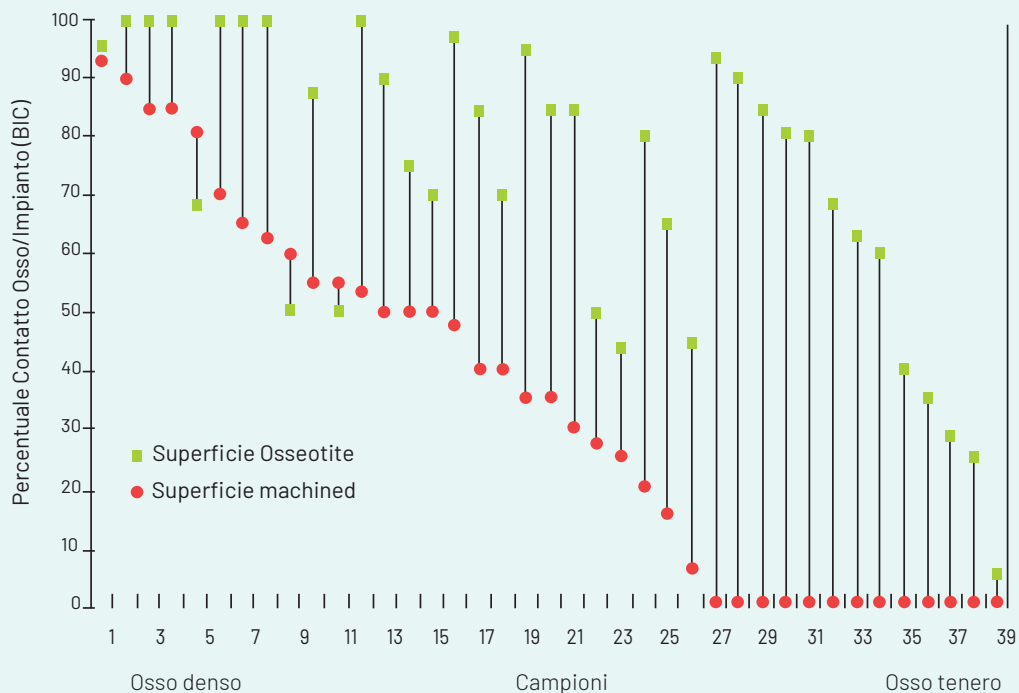
## La superficie Osseotite® e il contatto osso-impianto (BIC)

### Dati istologici sull'uomo

In uno studio sugli effetti delle caratteristiche delle superfici implantari sulla guarigione dell'osso, i dati istologici ottenuti su campioni di tessuto umano hanno confermato l'aumento dell'osteocostruzione e dell'osteogenesi da contatto osservata su impianti Osseotite® confrontati a impianti con superficie machined. Due mini impianti da 1 mm di diametro, ciascuno dei quali presentava da un lato una superficie Osseotite® e dall'altro lato una superficie machined, sono stati posizionati nel mascellare posteriore ed estratti dopo un periodo di guarigione di sei mesi.

Le 39 sezioni di tessuto preparate hanno evidenziato una percentuale media di contatto osso/impianto pari al 72,96 % sul lato Osseotite®, contro il 33,98 % riscontrato sulle superfici machined.<sup>12</sup>

Analisi istologica su coppie di superfici machined e Osseotite®.



Lazzara RJ, Testori., Trisi P, Porter SS, Weinstein RL. A Human Histologic Analysis of Osseotite® and Machined Surfaces Using Implants with Two Opposing Surfaces. Int J Periodontics Restorative Dent. 1999 Apr; 19( 2):117-129.

Gli studi clinici continuano per confermare i benefici dell'aumento dell'osteogenesi da contatto, specialmente in osso di scarsa qualità.

## Gli impianti Full Osseotite® e la perimplantite

L'unico studio prospettico randomizzato sulla perimplantite

**Studio prospettico, multicentrico, randomizzato, controllato della durata di cinque anni sull'incidenza della perimplantite per impianti Osseotite® ibridi e completamente Full Osseotite®.<sup>13</sup>**

Considerazioni sui potenziali benefici dell'estensione della superficie Osseotite® sulla zona coronale dell'impianto hanno portato a questo studio, progettato per valutare rischio e incidenza di perimplantite per impianti con superficie Full Osseotite®.



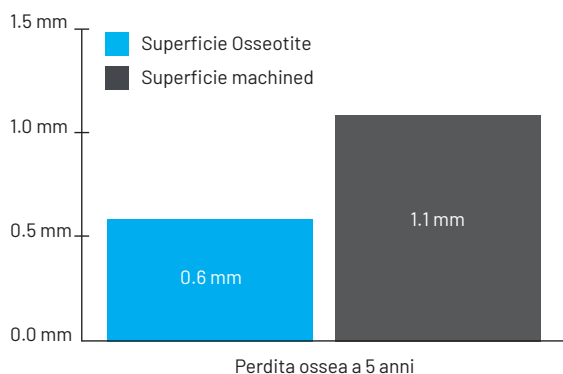
Gli impianti "test" con superficie Full Osseotite® completa e gli impianti "di controllo" con superficie ibrida sono stati posizionati con un approccio a fase singola con la piattaforma a livello crestale. Gli impianti sono stati lasciati guarire per due mesi e poi sono stati consegnati i provvisori. I restauri definitivi sono stati posizionati a sei mesi e i pazienti sono stati seguiti per cinque anni a intervalli annuali.

Le valutazioni di follow-up includevano i punteggi del Sulcus Bleeding Index (SBI), il sondaggio per la suppurazione, le valutazioni per la mobilità e le radiografie periapicali per identificare radiotrasparenza e livelli di osso crestale.

Sono stati arruolati 112 pazienti e sono stati inseriti 165 impianti test e 139 impianti di controllo. **Non sono state osservate differenze sostanziali durante i cinque anni di follow-up nei risultati sulla salute della mucosa tra i gruppi test e quelli di controllo.** Per entrambi i gruppi i punteggi del sanguinamento al sondaggio non erano diversi. È stato riportato un caso di perimplantite nei cinque anni di osservazione e si trattava di un impianto ibrido.

L'analisi radiografica della regressione dell'osso crestale ha dimostrato che **la variazione media rispetto al basale (provvisoria) è inferiore per gli impianti test rispetto agli impianti di controllo (P<.01).**

I risultati di questo studio quinquennale non hanno mostrato un aumento del rischio di esiti avversi dei tessuti molli o di perimplantite per gli impianti con superficie Full Osseotite® rispetto agli impianti di controllo (ibridi).



Anche se la superficie Osseotite® mostra un'adesione batterica simile alla superficie machined, i dati a lungo termine mostrano una perdita di osso crestale minore con gli impianti Full Osseotite® rispetto a quelli con superficie ibrida.

## BIBLIOGRAFIA IMPIANTI BIOMET 3i

- Davies JE, Ddiziedgie DM. Bone growth in metallic bone healing chambers. Faculty of Dentistry and Centre for Biomaterials at The University of Toronto (Toronto, Ontario, Canada). Presented at the V World Congress of Biomaterials, 29 May-June 1996.
- Klokkevold P, Nishimura R, Adachi M, Caputo A. Osseointegration enhanced by chemical etching of the titanium surface: a torque removal study in the rabbit. *Clin Oral Implants Res* 1997; 8:442-47.
- Davies JE. Mechanism of endosseous integration. *Int J Prosthodont* 1998; 11(5):391-401.
- Baker D, London R, O'Neal R. Rate of pull-out strength gain in dual-etched titanium implants: a comparative study in rabbits. *Int J Oral Maxillofac Implants* 1999; 14(5):722-28.
- Park JY, Jun Y, Davies JE. Red blood cell and platelet interactions with titanium implants surfaces. *Clin Oral Implants Res* 2000; 11(6):530-39.
- Cordioli G, Majzoub Z, Piattelli A, Scarano A. Removal torque and histomorphometric investigation of 4 different titanium surfaces: an experimental study in the rabbit tibia. *Int J Oral Maxillofac Implants* 2000; 15(5):668-74.
- Klokkevold P, Johnson P, Dadgostari S, Caputo A, Davies JE, Nishimura R. Early endosseous integration enhanced by dual acid etching of titanium: a torque removal study in the rabbit. *Clin Oral Implants Res* 2001; 12(4):350-57.
- Abrahamson I, Zitzmann N, Berglundh T, Lindhe J, Wennberg A. Bone and soft tissue integration to titanium implants with different surface topography: an experimental study in the dog. *Int J Oral Maxillofac Implants* 2001; 16(3):323-32.
- London R, Baker D, O'Neal R. Histologic comparison of a thermal dual-etched implant surface to machined, TPS, and HA surfaces: bone contact in vivo in rabbits. *Int J Oral Maxillofac Implants* 2002; 17(3):369-76.
- Abrahamsson I, Zitzmann NU, Berglundh T, Linder E, Wennberg A, Lindhe J. The mucosal attachment to titanium implants with different surface characteristics: an experimental study in dogs. *J Clin Periodontol* 2002; 29(5):448-55.
- Weis AA, Trisi P, Papadimitriou S, Tsirlis AT, Parissis NA, Desiris AK, Lazzara RJ. Osseointegration of Osseotite® and machined titanium implants in autogenous bone graft. A histologic and histomorphometric study in dogs. *Clin Oral Implants Res* 2004; 15(1):54-61.
- Vernino AR, Kohles SS, Holt RA Jr, Lee HM, Caudill RF, Kenealy JN. Dual-etched implants loaded after 1- and 2-month healing periods: a histologic comparison in baboons. *Int J Periodontics Restorative Dent* 2002; 22(4):399-407.
- Nasatzky E, Gultchin J, Schwartz Z. The role of surface roughness in promoting osteointegration. *Refaat Hapeh Vehashinayim* 2003; 20(3):8-19,98. Review.
- Weng D, Hoffmeyer M, Hurzeler MB, Richter EJ. Osseotite® vs machined surface in poor bone quality. A study in dogs. *Clin Oral Implants Res* 2003; 14(6):703-8.
- O'Sullivan D, Sennerby L, Meredith N. Measurements comparing the initial stability of five designs of dental implants: a human cadaver study. *Clin Implant Dent Relat Res* 2000; 2(2):85-92.
- Salido M, Vilches JI, Gutiérrez JL, Vilches J. Actin cytoskeletal organization in human osteoblasts grown on different dental titanium implant surfaces. *Histol Histopathol*. 2007 ;22(12):1355-64.
- Schicho K, Kastner J, Klingsberger R, Seemann R, Enslidis G, Undt G, Wanschitz F, Figl M, Wagner A, Ewers R. Surface area analysis of dental implants using micro-computed tomography. *Clin Oral Implants Res* 2007; 18(4):459-64.
- Welander M, Abrahamsson I, Linder E, Liljenberg B, Berglundh T. Soft tissue healing at titanium implants coated with type I collagen. An experimental study in dogs. *J Clin Periodontol* 2007; 34(5):452-8.
- Weis AA, Papadimitriou S, Trisi P, Tsirlis AT, Parissis NA, Kenealy JN. Osseointegration of Osseotite® and machined-surfaced titanium implants in membrane-covered critical-sized defects: a histologic and histometric study in dogs. *Clin Oral Implants Res* 2007; 18(2):153-60.
- Polyzois I, Renvert S, Bosshardt DD, Lang NP, Claffey N. Effect of Bio-Oss on osseointegration of dental implants surrounded by circumferential bone defects of different dimensions: an experimental study in the dog. *Clin Oral Implants Res* 2007; 18(3):304-10.
- Qahash M, Hardwick WR, Rohrer MD, Wozney JM, Wikesjö UM. Surface-etching enhances titanium implant osseointegration in newly formed (rhBMP-2-induced) and native bone. *Int J Oral Maxillofac Implants* 2007;22:472-7.
- Weis AA, Papadimitriou S, Trisi P, Tsirlis AT, Parissis NA, Kenealy JN. Osseointegration of Osseotite and machined-surfaced titanium implants in membrane-covered critical-sized defects: A histologic and histometric study in dogs. *Clin Oral Implants Res* 2007;18:153-60.
- Sul YT, Byon E, Wennberg A. Surface characteristics of electrochemically oxidized implants and acid-etched implants: Surface chemistry, morphology, pore configurations, oxide thickness, crystal structure, and roughness. *Int J Oral Maxillofac Implants* 2008;23:631-40.
- De Sanctis M, Vignoletti F, Discepoli N, Zuchelli G, Sanz M. Early healing of implants placed into fresh extraction sockets: an experimental study in the beagle dog. *De novo bone formation. J Clin Periodontol*. 2009 Mar;36(3):265-77.
- Vignoletti F, de Sanctis M, Berglundh T, Abrahamsson I, Sanz M. Early healing of implants placed into fresh extraction sockets: an experimental study in the beagle dog. II: ridge alterations. *J Clin Periodontol*. 2009 36;705-711.
- De Sanctis M, Vignoletti F, Discepoli N, Muñoz F, Sanz M. Immediate implants at fresh extraction sockets: an experimental study in the beagle dog comparing four different implant systems. *Soft tissue findings. J Clin Periodontol* 2010; 37: 769-776.
- Artzi Z, Nemcovsky CE, Tal H, Weinberg E, Weinreb M, Prasad H, Rohrer MD, Kozlovsky A. Simultaneous versus two-stage implant placement and guided bone regeneration in the canine: histomorphometry at 8 and 16 months. *J Clin Periodontol*. 2010 Nov;37(11):1029-38. Epub 2010 Sep 16.
- Sullivan D, Sherwood R, Mai. Preliminary results of a multicenter study evaluating a chemically enhanced surface for machined commercially pure titanium implants. *J Prosthet Dent* 1997; 78(4):379-86.
- Lazzara R, Porter S, Testori T, Galante J, Zetterqvist L, Vincenzi G, Anitua E, Rossi R, Sullivan D, Feldman S. A prospective multicenter study evaluating loading of Osseotite® implants two months after placement: one-year results. *J Esthet Dent* 1998; 10(6):280-89.
- Grunder U, Boitel N, Imoberdorf M, Meyenberg K, Andreoni C, Meier T. Evaluating the clinical performance of the Osseotite® implant: defining prosthetic predictability. *Compend Contin Educ Dent* 1999; 20(7):628-640.
- Lazzara R, Testori T, Porter S, Weinstein RL. A human histologic analysis of Osseotite® and machined surfaces using implants with 2 opposing surfaces. *Int J Periodontics and Restorative Dent* 1999; 19(2):117-19.
- Testori T, Wiseman L, Woolfe S, Porter S, Kenealy J. A prospective multicenter clinical study of Osseotite® implant: a four-year interim report. *Int J Oral and Maxillofac Implants* 2001; 16(2):193-200.



- Sullivan D, Sherwood R, Porter S. Long-term performance of Osseotite® implants: a 6-year clinical follow-up. *Compend Contin Educ Dent* 2001; 22(4):326-34.
- Martinez H, Davarpanah M, Missika P, Celletti R, Lazzara R. Optimal implant stabilization in low density bone. *Clin Oral Implants Res* 2001; 12(5):423-32.
- Davarpanah M, Martinez H, Celletti R, Alcoforado G, Tecucianu JF, Etienne D. Osseotite® implant: 3-year prospective multicenter evaluation. *Clin Implant Dent Relat Res* 2001; 3(2):111-8.
- Khang W, Feldman S, Hawley CE, Gunsolley J. A multi-center study comparing dual acid etched and machined-surfaced implants in various bone qualities. *J Periodontol* 2001; 72(10):1384-90.
- Gaucher H, Bentley K, Roy S, Head T, Blomfield J, Blondeau F, Nicholson L, Chehade A, Tardif N, Emery R. A multi-center study of Osseotite® implants supporting mandibular restorations: a 3-year report. *J Can Dent Assoc* 2001; 67(9):528-33.
- Mazor Z, Cohen DK. Preliminary 3-dimensional surface texture measurement and early loading results with a microtextured implant surface. *Int J Oral Maxillofac Implants* 2003; 18(5):729-38.
- Garlini G, Bianchi C, Chierichetti V, Sigurta D, Maiorana C, Santoro F. Retrospective clinical study of Osseotite® implants: zero-to 5-year result. *Int J Oral Maxillofac Implants* 2003; 18(4):589-93.
- Testori T, Del Fabbro M, Szmukler-Moncler S, Francetti L, Weinstein RL. Immediate occlusal loading of Osseotite® implants in the completely edentulous mandible. *Int J Oral Maxillofac Implants* 2003; 18(4):544-51.
- Schropp L, Kostopoulos L, Wenzel A. Bone Healing Following immediate versus delayed placement of titanium implants into extraction sockets: a prospective clinical study. *Int J Oral Maxillofac Implants* 2003; 18(2):189-99.
- Stach RM, Kohles SS. A meta-analysis examining the clinical survivability of machined-surface Osseotite® implants in poor-quality bone. *Implant Dent* 2003; 12(1):87-96.
- Degidi M, Petrone G, Iezzi G, Piattelli A. Bone contact around acid-etched implants: a historical and histomorphometrical evaluation of two human-retrieved implants. *J Oral Implantol* 2003; 29(1):13-8.
- Trisi P, Lazzara R, Rao W, Rebaudi A. Bone-implant contact and bone quality: evaluation of expected and actual bone contact on machined and Osseotite® implant surfaces. *Int J Periodontics Restorative Dent* 2002; 22(6):535-45.
- Davarpanah M, Martinez H, Etienne D, Zabalegui I, Mattout P, Chiche F, Michel JF. A prospective multicenter evaluation of 1,583 3i implants: 1-to 5-year. *Int J Oral Maxillofac Implants* 2002; 17(6):820-8.
- Bain CA, Weng D, Meltzer A, Kohles SS, Stach RM. A meta-analysis evaluating the risk for implant failure in patients who smoke. *Compend Contin Educ Dent* 2002; 23(8):695-9,702,704,708.
- Testori T, Szmukler-Moncler S, Francetti L, Del Fabbro M, Trisi P, Weinstein RL. Healing of Osseotite® implants under submerged and immediate loading conditions in a single patient: a case report and interface analysis after months. *Int J Periodontics Restorative Dent* 2002; 22(4):345-53.
- Calvo Guirado JL, Saez Yuguero R, Ferrer Perz V, Moreno Pelluz A. Immediate anterior implant placement and early loading by provisional acrylic crowns: a prospective study after a one-year follow-up period. *J Ir Dent Assoc* 2002; 48(2):43-9.
- Ibanez JC, Jalbout ZN. Immediate loading of Osseotite® implants: two-year results. *Implant Dent* 2002; 11(2):128-36.
- Testori T, Del Fabbro M, Feldman S, Vincenzi G, Sullivan D, Rossi R Jr, Anitua E, Bianchi F, Francetti L, Weinstein RL. A multicenter prospective evaluation of 2-months loaded Osseotite® implants placed in the posterior jaws: 3-year follow-up results. *Clin Oral Implants Res* 2002; 13(2):154-61.
- Testori T, Szmukler-Moncler S, Francetti L, Del Fabbro M, Scarano A, Piattelli A, Weinstein RL. Immediate loading of Osseotite® implants: a case report and histologic analysis after 4 months of occlusal loading. *Int J Periodontics Restorative Dent* 2001; 21(5):451-9.
- Veis AA, Tsirlis AT, Parisis NA. Effect of autogenous harvest site location on the outcome of ridge augmentation for implant dehiscences. *Int J Periodontics Restorative Dent* 2004; 24(2):155-63.
- Berengo M, Sivoletta S, Majzoub Z, Cordioli G. Endoscopic evaluation of the bone-added osteotome sinus floor elevation procedure. *Int J Oral Maxillofac Surg* 2004; 33(2):189-94.
- Testori T, Meltzer A, Fabbro MD, Zuffetti F, Troiano M, Francetti L, Weinstein RL. Immediate occlusal loading of Osseotite® implants in the lower edentulous jaw. A multicentre prospective study. *Clin Oral Impl Res* 2004; 15:278-284.
- Drago C, Lazzara R. Immediate provisional restoration of Osseotite® implants: a clinical report of 18-month results. *Int J Oral Maxillofac Implants* 2004; 19(4): 534-41.
- Testori, Del Fabbro M, Galli F, Francetti L, Taschieri S, Weinstein R. Immediate occlusal loading the same day or the after implant placement: comparison of 2 different time frames in total edentulous lower jaws. *J Oral Implantol* 2004; 30(5):307-13.
- Feldman S, Boitel N, Weng D, Kohles SS, Stach RM. Five-year survival distribution of short-length (10 mm or less) machined-surfaced and Osseotite® implants. *Clin Implant Dent Relat Res* 2004; 6(1):16-23.
- Davarpanah M, Caraman M, Szmukler-Moncler S, Jakubowicz-Kohan B, Alcoforado G. Preliminary data of a prospective clinical study on the Osseotite® NT implant: 18-month follow-up. *Int J Oral Maxillofac Implants*. 2005; 20(3):448-54.
- Schropp L, Kostopoulos L, Wenzel A, Isidor F. Clinical and radiographic performance of delayed-immediate single tooth implant placement associated with peri-implant bone defects. A 2-year prospective, controlled, randomized follow-up report. *J Clin Periodontol* 2005; 32(5):480-7.
- Guirado JL, Yuguero MR, Camiom del Valle MJ, Zamora GP. A maxillary ridge-splitting technique followed by immediate placement of implants: a case report. *Implant Dent* 2005; 14(1):14-20.
- Sullivan D, Vincenzi G, Feldman S. Early loading of Osseotite® implants 2 months after placement in the maxilla and mandible: a 5-year report. *Int J Oral Maxillofac Implants* 2005; 20(6):905-12.
- Capelli M, Zuffetti F, Del Fabbro M, Testori T. Immediate rehabilitation of the completely edentulous jaw with fixed prostheses supported by either upright or tilted implants: a multicenter clinical study. *Int J Oral Maxillofac Implants*. 2007; 22(4):639-44.
- Palmer R. Success of Osseotite® dental implants loaded at 2 months compares favorably with conventional protocols. *J Evid Based Dent Pract* 2006; 6(4):265-6.
- Meltzer A. Osseotite Implants for optimal stability and aesthetics. *Implantology*. 2003: 5-12.
- Baumgarten H, Cocchetto R, Testori T, Meltzer A, Porter S. new implant design for crestal bone preservation: initial observations and case report. *Pract Proced Aesthet Dent*. 2005;17:735-40.
- Veis AA, Dabarakis NN, Parisis NA, Tsirlis AT, Karanikola TG, Printza DV. Bone regeneration around implants using spherical and granular forms of bioactive glass particles. *Implant Dent* 2006; 15(4):386-94.

- Drago CJ, Del Castillo RA. A retrospective analysis of Osseotite® NT implants in clinical practice: 1-year follow-up. *Int J Periodontics Restorative Dent* 2006; 26(4):337-45.
- Sul YT, Johansson C, Albrektsson T. Which surface properties enhance bone response to implants? Comparison of oxidized magnesium, TiUnite, and Osseotite® implant surfaces. *Int J Prosthodont* 2006; 19(4):319-28.
- Lucente J, Galante J, Trisi P, Kenealy JN. Reintegration success of Osseotite® implants after intentional counter torque liberation in the edentulous human mandible. *Implant Dent* 2006; 15(2):178-85.
- Celletti R, Marinho VC, Traini T, Orsini G, Bracchetti G, Perrotti V, Piattelli A. Bone contact around osseointegrated implants: a histologic study of acid-etched and machined surfaces. *J Long Term Eff Med Implants* 2006; 16(2):131-43.
- Drago CJ, Lazzara RJ. Immediate occlusal loading of Osseotite® implants in mandibular edentulous patients: a prospective observational report with 18-month data. *J Prosthodont* 2006; 15(3):187-94.
- Drago CJ, O'Connor CG. A clinical report on the 18-month cumulative survival rates of implants and implant prostheses with an internal connection implant system. *Compend Contin Educ Dent* 2006; 27(4):266-71.
- Sullivan D, Vincenzi G, Feldman S. Early loading of Osseotite® implants 2 months after placement in the maxilla and mandible: a 5-year report. *Int J Oral Maxillofac Implants* 2005; 20(6):905-12.
- Calvo-Guirado JL, Saez-Yuguero R, Pardo-Zamora G. Compressive osteotomes for expansion and maxilla sinus floor lifting. *Med Oral Patol Oral Cir Bucal*. 2006; 11(1):E52-5.
- Guirado C, Luis J, Yuguero S, Rosario M, Pardo Zamora G, Muñoz Barrio E. Immediate Osseotite® implant placement and immediate loading of a provisional restoration of maxillary lateral incisors. *J Ir Dent Assoc* 2005; 51(4):173-6.
- Aalam AA, Nowzari H. Clinical evaluation of dental implants with surfaces roughened by anodic oxidation, dual acid-etched implants, and machined implants. *Int J Oral Maxillofac Implants* 2005; 20(5):793-8.
- Schropp L, Isidor F, Kostopoulos L, Wenzel A. Interproximal papilla levels following early versus delayed placement of single-tooth implants: a controlled clinical trial. *Int J Oral Maxillofac Implants* 2005; 20(5):753-61.
- Goené R, Bianchesi C, Hürzeler M, Del Lupo R, Testori T, Davarpanah M, Jalbout Z. Performance of short implants in partial restorations: 3-year follow-up of Osseotite® implants. *Implant Dent* 2005; 14(3):274-80.
- Drago CJ, Del Castillo RA. A retrospective analysis of Osseotite NT implants in clinical practice: 1-year follow-up. *Int J Periodontics Restorative Dent*. 2006;26(4):337-45.
- Calvo Guirado JL, Saez Yuguero MR, Pardo Zamora G, Muñoz Barrio E. Platform switching with a new implant design. *EDI Journal* 2006; 2:52-58.
- Lazzara RJ, Porter SS. Platform switching: A new concept in implant dentistry for controlling postrestorative crestal bone levels. *Int J Periodontics Restorative Dent* 2006;26:9-17.
- Meltzer A. Placement of a Prevail implant in the posterior region. A case study. *Int Mag Oral Implantology* 2006;4:20-22.
- Calvo Guirado JL, Saez Yuguero MR, Pardo Zamora G. Immediate provisionalization on a new implant design for esthetic restoration and preserving crestal bone. *Implant Dent* 2007;2:155-164.
- Cosyn J, Sabzevar MM, De Wilde P, De Rouck T. Two-piece implants with turned versus microtextured collars. *J Periodontol*. 2007 Sep;78(9):1657-63.
- Stavropoulos A, Karring T, Kostopoulos L. Fully vs. partially rough implants in maxillary sinus floor augmentation: a randomized-controlled clinical trial. *Clin Oral Implants Res*. 2007 Feb;18(1):95-102.
- Cappiello M, Luongo R, Di Iorio D, Bugea C, Cocchetto R, Celletti R. Evaluation of peri-implant bone loss around platform-switched implants. *Int J Periodontics Restorative Dent* 2008;28(4):347-55.
- Bugea C, Luongo R, Di Iorio D, Cocchetto R, Celletti R. Bone contact around osseointegrated implants: histologic analysis of a dual-acid-etched surface implant in a diabetic patient. *Int J Periodontics Restorative Dent*. 2008;28(2):145-51.
- Luongo R, Traini T, Guidone PC, Bianco G, Cocchetto R, Celletti R. Hard and soft tissue responses to the platform-switching technique. *Int J Periodontics Restorative Dent* 2008;28:551-7.
- Calvo Guirado JL, Ortiz Ruiz AJ, Gómez Moreno G, López Mari L, Bravo González LA. Immediate loading and immediate restoration in 105 expanded-platform implants via the Diem System after a 16-month follow-up period. *Med Oral Patol Oral Cir Buca* 2008;13:E576-81.
- Evans CD, Chen ST. Esthetic outcomes of immediate implant placements. *Clin Oral Implants Res* 2008;19:73-80.
- Karamanis S, Angelopoulos C, Tsoukalas D, Parissis N. Immediate flapless implant placement and provisionalization: Challenge for optimum esthetics and function: A case report. *J Oral Implantol* 2008;34:52-8.
- Galli F, Capelli M, Zuffetti F, Testori T, Esposito M. Immediate non-occlusal vs. early loading of dental implants in partially edentulous patients: A multicentre randomized clinical trial. Peri-implant bone and soft-tissue levels. *Clin Oral Implants Res* 2008;19:546-52.
- Garcia RV, Kraehenmann MA, Bezerra FJ, Mendes CM, Rapp GE. Clinical analysis of the soft tissue integration of non-submerged (ITI) and submerged (3i) implants: A prospective-controlled cohort study. *Clin Oral Implants Res* 2008;19:991-6.
- Sarment DP, Meraw SJ. Biological space adaptation to implant dimensions. *Int J Oral Maxillofac Implants* 2008;23:99-104.
- Bugea C, Luongo R, Di Iorio D, Cocchetto R, Celletti R. Bone contact around osseointegrated implants: Histologic analysis of a dual-acid-etched surface implant in a diabetic patient. *Int J Periodontics Restorative Dent* 2008;28:145-51.
- Zigdon H, Machtei EE. The dimensions of keratinized mucosa around implants affect clinical and immunological parameters. *Clin Oral Implants Res*. 2008 Apr;19(4):387-92. Epub 2008 Feb 11.
- De Cravero Marta R, Carlos IJ. Assessing double acid-etched implants submitted to orthodontic forces and used as prosthetic anchorages in partially edentulous patients. *Open Dent J*. 2008;2:30-7. Epub 2008 Mar 8.
- Aimetti M, Romano F, Dellavia C, De Paoli S. Sinus grafting using autogenous bone and platelet-rich plasma: histologic outcomes in humans. *Int J Periodontics Restorative Dent*. 2008 Dec;28(6):585-91.
- Rodríguez-Ciurana X, Vela-Nebot X, Segalà-Torres M, Calvo-Guirado JL, Cambra J, Méndez-Blanco V, Tarnow D. The effect of interimplant distance on the height of the interimplant bone crest when using platform-switched implants. *Int J Periodontics Restorative Dent* 2009;29:141-151.
- Calvo-Guirado JL, Ortiz Ruiz AJ, López Mari L, Delgado-Ruiz R, Maté-Sánchez J, Bravo González LA. Immediate maxillary restorations of single-tooth implants using platform switching for crestal bone preservation: A 12-month study. *Int J Oral Maxillofac Implants* 2009;24:275-281.
- Trammell K, Geurs NC, O'Neal SJ, Liu PR, Haigh SJ, McNeal S, Kenealy JN, Reddy MS. A prospective, randomized, controlled comparison of platform-switched and matched-abutment implants in short-span partial denture situations. *Int J Periodontics Restorative Dent*. 2009;29:599-605.

- Schliephake H, Aref A, Scharnweber D, Bierbaum S, Sewing A. Effect of modifications of dual acid-etched implant surfaces on peri-implant bone formation. Part I: Organic coatings. *Clin Oral Implants Res* 2009;20:31-7.
- Schliephake H, Aref A, Scharnweber D, Rösler S, Sewing A. Effect of modifications of dual acid-etched implant surfaces on periimplant bone formation. Part II: Calcium phosphate coatings. *Clin Oral Implants Res* 2009;20:38-44.
- Carinci F, Guidi R, Franco M, Visconi A, Rigo L, De Santis B, Tropina E. Implants inserted in fresh-frozen bone: A retrospective analysis of 88 implants loaded 4 months after insertion. *Quintessence* 2009;40:413-419.
- Cardaropoli D. Vertical ridge augmentation with the use of recombinant human platelet-derived growth factor-BB and bovine bone mineral: a case report. *Int J Periodontics Restorative Dent*. 2009 Jun;29(3):289-95.
- Davarpanah M, Szmukler-Moncler S. Unconventional implant treatment: I. Implant placement in contact with ankylosed root fragments. A series of five case reports. *Clin Oral Implants Res*. 2009 Aug;20(8):851-6.
- Baldi D, Menini M, Pera F, Ravera G, Pera P. Plaque accumulation on exposed titanium surfaces and peri-implant tissue behavior. A preliminary 1-year clinical study. *Int J Prosthodont*. 2009 Sep-Oct;22(4):447-55.
- Nguyen HQ, Tan KB, Nicholls JI. Load fatigue performance of implant-ceramic abutment combinations. *Int J Oral Maxillofac Implants* 2009 Jul-Aug;24(4):636-46.
- Pelo S, Boniello R, Moro A, Gasparini G, Amoroso PF. Augmentation of the atrophic edentulous mandible by a bilateral two-step osteotomy with autogenous bone graft to place osseointegrated dental implants. *Int J Oral Maxillofac Surg*. 2009 Dec 16. [Epub ahead of print]
- Cardaropoli D. Vertical ridge augmentation with the use of recombinant human platelet-derived growth factor-BB and bovine bone mineral: a case report. *Int J Periodontics Restorative Dent*. 2009 Jun;29(3):289-95.
- Zetterqvist L, Feldman S, Rotter B, Vincenzi G, Wennström JL, Chierico A, Stach RM, Kenealy J N. A Prospective, Multicenter, Randomized-controlled Five-year Study of Hybrid and Fully-etched Implants for the Incidence of Peri-implantitis. *J Periodontology* 2009 Dec 23(14pp). [Epub] 2010;81:493-501.
- Cocchetto R, Traini T, Caddeo F, Celletti R. Evaluation of hard tissue response around wider platform-switched implants. *Int J Periodontics Restorative Dent*. 2010 Apr;30(2):163-71.
- Vigolo P, Zaccaria M. Clinical evaluation of marginal bone level change of multiple adjacent implants restored with splinted and nonsplinted restorations: a 5-year prospective study. *Int J Oral Maxillofac Implants*. 2010 Nov-Dec;25(6):1189-94
- Telleman G, Albrektsson T, Hoffman M, Johansson CB, Vissink A, Meijer HJ, Raghoobar GM. Peri-Implant Endosseous Healing Properties of Dual Acid-Etched Mini-Implants with a Nanometer-Sized Deposition of CaP: A Histological and Histomorphometric Human Study. *Clin Implant Dent Relat Res*. 2010 Jun 1;12(2):153-60. Epub 2009 Apr 23.
- Goené RJ, Testori T, Trisi P. Influence of a Nanometer-Scale Surface Enhancement on De Novo Bone Formation on Titanium Implants: A Histomorphometric Study in Human Maxillae. *Int J Periodontics Rest Dent* 2007;3:210-219.
- Orsini G, Piattelli M, Scarano A, Petrone G, Kenealy J, Piattelli A, Caputi S. Randomized, Controlled Histologic and Histomorphometric Evaluation of Implants with Nanometer-scale Calcium Phosphate Added to the Dual Acid-Etched Surface in the Human Posterior Maxilla. *J Periodontol* 2007;78:209-18.
- Östman PO, Wennerberg A, Albrektsson T. Immediate Occlusal Loading of NanoTite Prevail Implants: A Prospective 1-year Clinical and Radiographic Study. *Clin Implant Dent Relat Res* 2008;Oct 17 (9pp). [Epub ahead of print]
- Cannizzaro G, Leone M, Torchio C, Viola P, Esposito M. Immediate versus Early Loading of Flapless-placed Single Implants: A Split-mouth Randomised Controlled Clinical Study. *Eur J Oral Implantol* 2008;1:277-292.
- Felice P, Cannizzaro G, Checchi V, Marchetti C, Pellegrino G, Censi P, Esposito M. Vertical Bone Augmentation Versus 7-mm-long Implants in Posterior Atrophic Mandibles. Results of a Randomised Controlled Clinical Trial of Up to 4 Months Loading. *Eur J Oral Implantol* 2009;2:7-20.
- Calvo-Guirado JL, Gomez-Moreno G, Barone A, Cutando A, Alcaraz-Baños M, Chiva F, Lopez-Mar L, Guardia L. Melatonin plus Porcine Bone on Discrete Calcium Deposit Implant Surface Stimulates Osseointegration in Dental Implants. *J Pineal Res* 2009;47:164-172.
- Östman PO, Hupaló M, del Castillo R, et al. Immediate Provisionalization of Nanotite Implants in Support of Single-Tooth and Unilateral Restorations: One-Year Interim Report of a Prospective, Multicenter Study. *Clin Implant Dent Relat Res*. 2010 May;12 Suppl 1:e47-55. Epub 2009 May 7.
- Nishimura I, Huang Y, Butz F, Ogawa T, Lin A, Wang CJ. Discrete Deposition of Hydroxyapatite Nanoparticles on a Titanium Implant with Predisposing Substrate Microtopography Accelerated Osseointegration. *Nanotechnology* 2007;18-245101(9pp) doi:10.1088/0957-4484/18/24/245101
- Mendes VC, Moineddin R, Davies JE. The Effect of Discrete Calcium Phosphate Nanocrystals on Bone-Bonding to Titanium Surfaces. *Biomaterials* 2007;28:4748-4755.
- Davies JE. Bone Bonding at Natural and Biomaterial Surfaces. *Biomaterials* 2007;28:5058-5067.
- Mendes VC, Moineddin R, Davies JE. Discrete Calcium Phosphate Nanocrystalline Deposition Enhances Osteoconduction on Titanium-based Implant Surfaces. *J Biomed Mater Res A*. 2009;90:577-585.
- Vignoletti F, Johansson C, Albrektsson T, De Sanctis M, San Roman F, Sanz M. Early Healing of Implants Placed into Fresh Extraction Sockets: An Experimental Study in the Beagle Dog. *De novo Bone Formation*. *J Clin Periodontol* 2009;36:265-77.
- Vignoletti F, de Sanctis M, Berglundh T, Abrahamsson I, Sanz M. Early Healing of Implants Placed into Fresh Extraction Sockets: An Experimental Study in the Beagle Dog. II: Ridge Alterations. *J Clin Periodontol* 2009;Jun 26. [Epub ahead of print]
- Degidi M, Piattelli A, Ghibli JA, Strocchi R, Iezzi G. Bone Formation Around a Dental Implant With a Platform Switching and Another With a TissueCare Connection: A Histologic and Histomorphometric Evaluation in Man. *Titanium* 2009;1(1):8-15.
- Lin A, Wang CJ, Kelly J, Gubbi P, Nishimura I. The role of titanium implant surface modification with hydroxyapatite nanoparticles in progressive early bone-implant fixation in vivo. *Int J Oral Maxillofac Implants* 2009; 24(5):808-16.
- Mohamed S, Polyzois I, Renvert S, Claffey N. Effect of surface contamination on osseointegration of dental implants surrounded by circumferential bone defects. *Clin Oral Implants Res*. 2010 ;21:513-9.
- Covani U, Cornelini R, Calvo JL, Tonelli P, Barone A. Bone remodeling around implants placed in fresh extraction sockets. *Int J Periodontics Restorative Dent*. 2010 Dec;30(6):601-7.
- Mendonça G, Mendonça DB, Aragão FJ, Cooper LF. Advancing dental implant surface technology—from micron- to nanotopography. *Biomaterials*. 2008 Oct;29(28):3822-35. Epub 2008 Jul 9.

- Cannizzaro G, Leone M. Valutazione delle complicanze e della stabilità secondaria di 688 impianti con superficie NanoTite posizionati in siti atrofici e situazioni cliniche precarie. Valutazione prospettica. *Quintessenza Internazionale* 2009; Nov-Dec:9-28.
- Barone A, Ricci M, Calvo-Guirado JL, Covani U. Bone remodelling after regenerative procedures around implants placed in fresh extraction sockets: an experimental study in the Beagle dogs. *Clin. Oral Impl. Res.* 2010 (in fase di pubblicazione).
- Barone A, Orlando B, Tonelli P, Covani U. Survival Rate for Implants Placed in the Posterior Maxilla With and Without Sinus Augmentation: A Comparative Cohort Study. *J Periodontol.* 2011 Feb;82(2):219-26. Epub 2010 Sep 10.
- Mazor Z, Horowitz RA, Del Corso M, Prasad HS, Rohrer MD, Dohan Ehrenfest DM. Sinus floor augmentation with simultaneous implant placement using Choukroun's platelet-rich fibrin as the sole grafting material: a radiologic and histologic study at 6 months. *J Periodontol.* 2009 Dec;80(12):2056-64.
- Stacchi C, Vercellotti T, Torelli L, Furlan F, Di Lenarda R. Changes in Implant Stability Using Different Site Preparation Techniques: Twist Drills versus Piezosurgery. A Single-Blinded, Randomized, Controlled Clinical Trial. *Clin Implant Dent Relat Res.* 2011 Apr 19. doi: 10.1111/j.1708-8208.2011.00341.x. [Epub ahead of print]
- Östman, P.-O., Wennerberg, A., Ekestubbe, A. and Albrektsson, T. Immediate Occlusal Loading of NanoTite™ Tapered Implants: A Prospective 1-Year Clinical and Radiographic Study. *Clinical Implant Dentistry and Related Research.* 17 JAN 2012[Epub ahead of print]
- Al-Hamdan K, Al-Moaber SH, Junker R, Jansen JA. Effect of implant surface properties on peri-implant bone healing: a histological and histomorphometric study in dogs. *Clin Oral Impl Res.* 2011; 22:399-405.
- Artzi Z, Nemcovsky CE, Tal H, Weinberg E, Weinreb M, Prasad H, Rohrer MD, Kozlovsky A. Clinical and histomorphometric observations around dual acid-etched and calcium phosphate nanometer deposited-surface implants. *Int J Oral Maxillofac Implants.* 2011 Jul-Aug;26(4):893-901.
- Östman PO, Wennerberg A, Ekestubbe A, Albrektsson T. Immediate occlusal loading of NanoTite Tapered implants: A prospective 2-year clinical and 1year radiographic study *Clin Implants Dentistry Relat Res* [2011 in press.]
- Tarnow DP, Chu SJ. Human histologic verification of osseointegration of an immediate implant placed into a fresh extraction socket with excessive gap distance without primary flap closure, graft, or membrane: A case report. *Int J Periodontics Restorative Dent.* 2011 Sep-Oct;31(5):515-21.
- Felice P, Pellegrino G, Checchi L, Pistilli R, Esposito M. Vertical augmentation with interpositional blocks of anorganic bovine bone vs. 7-mm-long implants in posterior mandibles: 1-year results of a randomized clinical trial. *Clin Oral Implants Res.* 2010 Dec;21(12):1394-403
- Cannizzaro G, Felice P, Leone M, Ferri V, Viola P, Esposito M. Immediate versus early loading of 6.5 mm-long flapless-placed single implants: a 4-year after loading report of a split-mouth randomised controlled trial. *Eur J Oral Implantol.* 2012 Summer;5(2):111-21.
- Telleman G, Raghoobar GM, Vissink A, Meijer HJ. Impact of Platform Switching on Peri-Implant Bone Remodeling around Short Implants in the Posterior Region, 1-Year Results from a Split-Mouth Clinical Trial. *Clin Implant Dent Relat Res.* 2012 May 11. doi: 10.1111/j.1708-8208.2012.00461.x. [Epub ahead of print]
- Telleman G, Raghoobar GM, Vissink A, Meijer HJ. Impact of platform switching on inter-proximal bone levels around short implants in the posterior region; 1-year results from a randomized clinical trial. *J Clin Periodontol.* 2012 Jul;39(7):688-97. doi: 10.1111/j.1600-051X.2012.01887.x. Epub 2012 Apr 29.
- Rodriguez X, Vela X, Calvo-Guirado JL, Nart J, Stappert CF. Effect of Platform Switching on collagen fiber orientation and bone resorption around dental implants: a preliminary histologic animal study. *Int J Oral Maxillofac Implants* 2012 Sep; 27(5):1116-22.
- Baena RR, Arciola CR, Selan L, Battaglia R, Imbriani M, Rizzo S, Visai L. Evaluation of bacterial adhesion on machined titanium, Osseotite® and Nanotite® discs. *Int J Artif Organs.* 2012 Nov 20;35(10):754-61. doi: 10.5301/ijao.5000143.
- Nevins M, Nevins ML, Schupbach P, Fiorellini J, Lin Z, Kim DM. The Impact of Bone Compression on Bone-to-Implant Contact of an Osseointegrated Implant: A Canine Study. *Int J Periodontics Restorative Dent.* 2012 Dec;32(6):637-45.
- Gobbato L, Arguello E, Martin IS, Hawley CE, Griffin TJ. Early bone healing around 2 different experimental, HA grit-blasted, and dual acid-etched titanium implant surfaces. A pilot study in rabbits. *Implant Dent.* 2012 Dec;21(6):454-60. doi: 10.1097/ID.0b013e3182611cd7.
- Cannizzaro G, Leone M, Ferri V, Viola P, Gelpi F, Esposito M. Immediate loading of single implants inserted flapless with medium or high insertion torque: a 6-month follow-up of a split-mouth randomised controlled trial. *Eur J Oral Implantol* 2012;5(4):333-342.
- Davies JE, Ajami E, Moineddin R, Mendes VC. The roles of different scale ranges of surface implant topography on the stability of the bone/implant interface. *Biomaterials.* 2013 Feb 14. pii: S0142-9612(13)00040-9. doi: 10.1016/j.biomaterials.2013.01.024. [Epub ahead of print].
- Deporter D. Short Dental Implants: What Works and What Doesn't? A Literature Interpretation. *Int J Periodontics Restorative Dent.* 2013 Jul-Aug;33(4):457-64. doi: 10.11607/prd.1304.
- Caiazzo A, Brugnamì F, Mehra P. Buccal plate preservation with immediate post-extraction implant placement and provisionalization: preliminary results of a new technique. *Int J Oral Maxillofac Surg.* 2013 May;42(5):666-70. doi: 10.1016/j.ijom.2012.11.009. Epub 2012 Dec 7.
- Brugnamì F, Caiazzo A. Immediate placement and provisionalization with buccal plate preservation: a case report of a new technique. *J Oral Implantol.* 2013 Jun;39(3):380-5. doi: 10.1563/AAID-JOI-D-11-00154. Epub 2011 Dec 30
- Cannizzaro G, Felice P, Soardi E, Ferri V, Leone M, Lazzarini M, Audino S, Esposito M. Immediate loading of 2(all-on-2) versus 4 (all-on-4) implants placed with a flapless technique supporting mandibular cross-arch fixed prostheses: 1-year results from a pilot randomised controlled trial. *Eur J Oral Implantol.* 2013 Summer;6(2):121-31.
- Viana Cde A, Delben JA, Barão VA, Ferreira MB, dos Santos PH, Assunção WG. Torque stability of different abutment screws submitted to mechanical cycling. *Int J Oral Maxillofac Implants.* 2013 Sep-Oct;28(5):e209-14. doi: 10.11607/jomi.3110.
- Al-Jadaa A, Attin T, Peltomäki T, Schmidlin PR. Comparison of three in vitro implant leakage testing methods. *Clin Oral Implants Res.* 2013 Dec 16. doi: 10.1111/clr.12314. [Epub ahead of print].
- Calvo-Guirado JL, Gómez-Moreno G, Delgado-Ruiz RA, Maté Sánchez de Val JE, Negri B, Ramírez Fernández MP. Clinical and radiographic evaluation of osseotite-expanded platform implants related to crestal bone loss: a 10-year study. *Clin Oral Implants Res.* 2014 Mar;25(3):352-8. doi: 10.1111/clr.12134. Epub 2013 Feb 21.
- Amato F, Polara G. A prospective evaluation of a novel implant design for immediate loading. *Int J Periodontics Restorative Dent.* 2014;34 Suppl 3:s43-9. doi: 10.11607/prd.1842
- De Angelis N, Nevins ML, Camelo MC, Ono Y, Campailla M, Benedicenti S. Platform switching versus conventional technique: a randomized controlled clinical trial. *Int J Periodontics Restorative Dent.* 2014;34 Suppl 3:s75-9. doi: 10.11607/prd.2069.

- Amato F, Polara G, Traini T. Human Histologic Analysis of an Immediately Loaded Single-Tooth Mandibular First Molar Implant. *Int J Periodontics Restorative Dent*. 2015 Jul-Aug;35(4):499-505. doi: 10.11607/prd.2479.
- Amato F. Immediate functional loading of posterior implants placed in partially edentulous patients: a preliminary report on a prospective clinical study. *Int J Periodontics Restorative Dent*. 2015 Mar-Apr;35(2):239-45. doi: 10.11607/prd.1981.
- Gastaldi G, Felice P, Pistilli R, Barausse C, Trullenque-Eriksson A, Esposito M. Short implants as an alternative to crestal sinus lift: a 3-year multicentre randomised controlled trial. *Eur J Oral Implantol*. 2017;10(4):391-400.
- Traini T1, Berardini M, Congedi F, Sinjari B, Trisi P, Caputi S. Impact of Second Stage Surgery on Bone Remodeling Around New Hybrid Titanium Implants: A Prospective Clinical Study in Humans. *Implant Dent*. 2017 Feb;26(1):121-128. doi: 10.1097/ID.0000000000000525.
- Zuffetti F, Esposito M, Galli F, Capelli M, Grandi G, Testori T. A 10-year report from a multicentre randomised controlled trial: Immediate non-occlusal versus early loading of dental implants in partially edentulous patients. *Eur J Oral Implantol*. 2016;9(3):219-230.
- Velázquez-Cayón R1, Castillo-Dalí G, Corcuera-Flores JR, Serrera-Figallo MA, Castillo-Oyagüe R, González-Martín M, Gutierrez-Pérez JL, Torres-Lagares D. Production of bone mineral material and BMP-2 in osteoblasts cultured on double acid-etched titanium. *Med Oral Patol Oral Cir Bucal*. 2017 Sep 1;22(5):e651-e659. doi: 10.4317/medoral.22071.
- Aimetti M, Ferrarotti F, Mariani GM, Ghelardoni C, Romano F. Soft Tissue and Crestal Bone Changes Around Implants with Platform-Switched Abutments Placed Nonsubmerged at Subcrestal Position: A 2-Year Clinical and Radiographic Evaluation. *Int J Oral Maxillofac Implants* 2015;30:1369-1377. doi: 10.11607/jomi.4017.
- Cardaropoli D, Tamagnone L, Roffredo A, Gaveglione L. Soft Tissue Contour Changes at Immediate Postextraction Single-Tooth Implants with Immediate Restoration: A 12-Month Prospective Cohort Study. *Int J Periodontics Restorative Dent* 2015;35:191-198. doi: 10.11607/prd.2326.
- Vigolo P, Mutinelli S, Zaccaria M, et al. Clinical evaluation of marginal bone level change around multiple adjacent implants restored with splinted and nonsplinted restorations: a 10-year randomized controlled trial. *Int J Oral Maxillofac Implants*. 2015;30(2):411-418.
- Cooper LF, Tarnow D, Froum S, Moriarty J, De Kok IJ. Comparison of marginal bone changes with internal conus and external hexagon design implant systems: a prospective, randomized study. *Int J Periodontics Restorative Dent* 2016;36:631-642.
- Chu SJ, Saito H, Östman PO, Levin BP, Reynolds MA, Tarnow DP. Immediate Tooth Replacement Therapy in Postextraction Sockets: A Comparative Prospective Study on the Effect of Variable Platform-Switched Subcrestal Angle Correction Implants. *Int J Periodontics Restorative Dent*. 2020 Jul/Aug;40(4):509-517.
- Amato F, Polara G, Spedicato GA. Immediate Loading of Fixed Partial Dental Prostheses on Extra-Short and Short Implants in Patients with Severe Atrophy of the Posterior Maxilla or Mandible: An Up-to-4-year Clinical Study. *Int J Oral Maxillofac Implants*. 2020;35(3):607-615.
- Glibert M, Vervaeke S, De Bruyn H, Ostman PO. Clinical and radiographic comparison between platformshifted and nonplatform-shifted implant: a one-year prospective study. *Clin Implant Dent Relat Res* 2016;18(1):129-137.
- Mazzocco F, Jimenez D, Barallat L, Paniz G, Del Fabbro M, Nart J. Bone volume changes after immediate implant placement with or without flap elevation. *Clin Oral Implants Res* 2016 Mar 14. Epub ahead of print.
- Passoni BB, Marques de Castro DS, de Araujo MA, de Araujo CD, Piatelli A, Benfatti CA. Influence of immediate/delayed implant placement and implant platform on the peri-implant bone formation. *Clin Oral Implants Res* 2016 Feb 5. Epub ahead of print.
- Gallardo S, Ibañez MC, Ibañez JC. Correlation between ISQ and Insertion Torque values using double acid-etched implants. *Journal of Osseointegration*. 2016;8(3):29-36
- Toscano P, Toscano C, Del Fabbro M. Mini-invasive implant placement in combination with maxillary sinus membrane perforation during transcresal sinus floor elevation: A retrospective study. *Int J Periodontics Restorative Dent*. 2016;36:199.
- Van Nimwegen W, Goené R, Van Daelen A, et al. Immediate implant placement and provisionalisation in the aesthetic zone. *Journal of oral rehabilitation*. 2016;43(10):745-752.
- Gastaldi G, Felice P, Pistilli R, Barausse C, Trullenque-Eriksson A, Esposito M. Short implants as an alternative to crestal sinus lift: a 3-year multicentre randomised controlled trial. *European journal of oral implantology*. 2017;10(4): 391-400.
- Mazzocco F, Jimenez D, Barallat L, et al. Bone volume changes after immediate implant placement with or without flap elevation. *Clinical oral implants research*. 2017;28(4):495-501.
- Menini M, Dellepiane E, Baldi D, et al. Microarray expression in peri-implant tissue next to different titanium implant surfaces predicts clinical outcomes: a split-mouth study. *Clinical oral implants research*. 2017;28(9):e121-e134.
- Testori T, Galli F, Fumagalli L, et al. Assessment of Long-Term Survival of Immediately Loaded Tilted Implants Supporting a Maxillary Full-Arch Fixed Prosthesis. *Int J Oral Maxillofac Implants*. 2017;32:904-911.
- Torres JL, Gehrke S, Guirado JC, et al. Evaluation of four designs of short implants placed in atrophic areas with reduced bone height: A three-year, retrospective, clinical and radiographic study. *British Journal of Oral and Maxillofacial Surgery*. 2017;55(7):703-708.
- Testori T, Taschieri S, Scutellà F, Del Fabbro M. Immediate Versus Delayed Loading of Postextraction Implants: A Long-Term Retrospective Cohort Study. *Implant Dent*. 2017;26(6):853-859.
- Botticelli D, Lang NP. Dynamics of osseointegration in various human and animal models - a comparative analysis. *Clin Oral Implants Res*. 2017;28(6):742-748.
- Menini M, Setti P, Pera P, et al. Peri-implant Tissue Health and Bone Resorption in Patients with Immediately Loaded, Implant-Supported, Full-Arch Prostheses. *International Journal of Prosthodontics*. 2018;31(4):327-333.
- Esposito M, Cardaropoli D, Gobbato L, Scutellà F, Fabianelli A, Mascellani S, Delli Ficorelli G, Mazzocco F, Sbricoli L, Trullenque-Eriksson A. The role of dental implant abutment design on the aesthetic outcome: preliminary 3-month post-loading results from a multicentre split-mouth randomised controlled trial comparing two different abutment designs. *Eur J Oral Implantol*. 2018;11(1):77-87.
- Ay B, Mendes VC, Zhang L, Davies JE. A "best fit" approach for synergistic surface parameters to guide the design of candidate implant surfaces. *J Biomed Mater Res B Appl Biomater*. 2019 Aug;107(6):2165-2177.



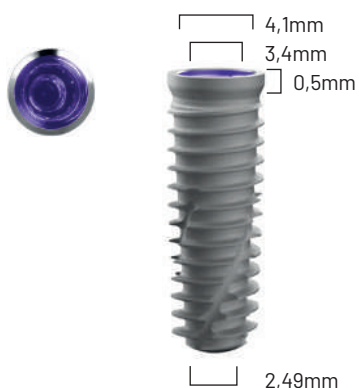
# Impianti

- 32 – Impianti T3<sup>®</sup> PRO Conici Certain<sup>®</sup> con Platform Switching<sup>™</sup> integrato
- 33 – Impianti T3<sup>®</sup> PRO Conici Certain<sup>®</sup> senza Platform Switching<sup>™</sup>
- 34 – Impianti T3<sup>®</sup> Conici Certain<sup>®</sup> con Platform Switching<sup>™</sup> integrato
- 35 – Impianti T3<sup>®</sup> Cilindrici Certain<sup>®</sup> con Platform Switching<sup>™</sup> integrato
- 36 – Impianti T3<sup>®</sup> Conici Certain<sup>®</sup> senza Platform Switching<sup>™</sup>
- 37 – Impianti T3<sup>®</sup> Cilindrici Certain<sup>®</sup> senza Platform Switching<sup>™</sup>
- 38 – Impianti T3<sup>®</sup> Conici con Esagono Esterno
- 39 – Impianti T3<sup>®</sup> Cilindrici con Esagono Esterno
- 40 – Impianti Osseotite<sup>®</sup> Conici Certain<sup>®</sup>
- 42 – Impianti Osseotite<sup>®</sup> Conici con Esagono Esterno
- 44 – Impianti Osseotite<sup>®</sup> Cilindrici Certain<sup>®</sup>
- 46 – Impianti Osseotite<sup>®</sup> Cilindrici con Esagono Esterno
- 48 – Impianti T3<sup>®</sup> Short 5 e 6 mm
- 49 – L'Impianto di diametro ridotto Lodi
- 50 – Viti di Copertura per Impianti Certain<sup>®</sup>
- 51 – Viti di Copertura per Impianti con Esagono Esterno

## IMPIANTI T3<sup>®</sup> PRO CONICI Certain<sup>®</sup> con Platform Switching<sup>™</sup> integrato

**IMPIANTI di 4,0 mm con PIATTAFORMA di 4,1 mm e CONNESSIONE di 3,4 mm**

La vite di copertura piatta del diametro corrispondente (IMCSF34) è inclusa nella confezione



T3PT4385	T3 <sup>®</sup> PRO impianto conico con P.S. 4/3 X 8.5mm
T3PT4310	T3 <sup>®</sup> PRO impianto conico con P.S. 4/3 X 10mm
T3PT4311	T3 <sup>®</sup> PRO impianto conico con P.S. 4/3 X 11.5mm
T3PT4313	T3 <sup>®</sup> PRO impianto conico con P.S. 4/3 X 13mm
T3PT4315	T3 <sup>®</sup> PRO impianto conico con P.S. 4/3 X 15mm

**IMPIANTI di 5,0 mm con PIATTAFORMA di 5,0 mm e CONNESSIONE di 4,1 mm**

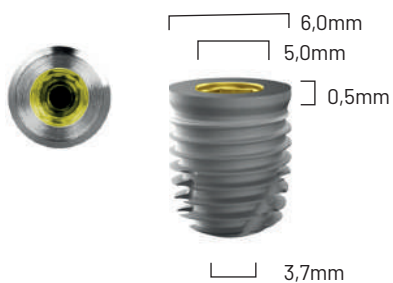
La vite di copertura piatta del diametro corrispondente (ICSF41) è inclusa nella confezione



T3PT5485	T3 <sup>®</sup> PRO impianto conico con P.S. 5/4 X 8.5mm
T3PT5410	T3 <sup>®</sup> PRO impianto conico con P.S. 5/4 X 10mm
T3PT5411	T3 <sup>®</sup> PRO impianto conico con P.S. 5/4 X 11.5mm
T3PT5413	T3 <sup>®</sup> PRO impianto conico con P.S. 5/4 X 13mm
T3PT5415	T3 <sup>®</sup> PRO impianto conico con P.S. 5/4 X 15mm

**IMPIANTI di 6,0 mm con PIATTAFORMA di 6,0 mm e CONNESSIONE di 5 mm**

La vite di copertura piatta del diametro corrispondente (ICSF50) è inclusa nella confezione



T3PT6585	T3 <sup>®</sup> PRO impianto conico con P.S. 6/5 X 8.5mm
T3PT6510	T3 <sup>®</sup> PRO impianto conico con P.S. 6/5 X 10mm
T3PT6511	T3 <sup>®</sup> PRO impianto conico con P.S. 6/5 X 11.5mm
T3PT6513	T3 <sup>®</sup> PRO impianto conico con P.S. 6/5 X 13mm
T3PT6515	T3 <sup>®</sup> PRO impianto conico con P.S. 6/5 X 15mm



## IMPIANTI T3<sup>®</sup> PRO CONICI Certain<sup>®</sup> senza Platform Switching<sup>™</sup>

### IMPIANTI DI 3,25 mm CON PIATTAFORMA DI 3,4 mm

La vite di copertura piatta del diametro corrispondente (IMCSF34) è inclusa nella confezione



T3ST3285	T3 <sup>®</sup> PRO impianto conico senza P.S. 3,25 X 8.5mm
T3ST3210	T3 <sup>®</sup> PRO impianto conico senza P.S. 3,25 X 10mm
T3ST3211	T3 <sup>®</sup> PRO impianto conico senza P.S. 3,25 X 11.5mm
T3ST3213	T3 <sup>®</sup> PRO impianto conico senza P.S. 3,25 X 13mm
T3ST3215	T3 <sup>®</sup> PRO impianto conico senza P.S. 3,25 X 15mm

### IMPIANTI DI 4,0 mm CON PIATTAFORMA DI 4,1 mm

La vite di copertura piatta del diametro corrispondente (ICSF41) è inclusa nella confezione

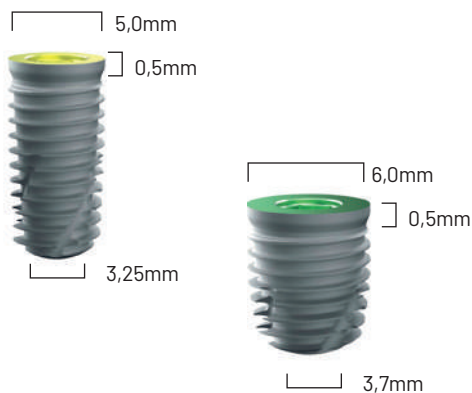


T3ST485	T3 <sup>®</sup> PRO impianto conico senza P.S. 4 X 8.5mm
T3ST410	T3 <sup>®</sup> PRO impianto conico senza P.S. 4 X 10mm
T3ST411	T3 <sup>®</sup> PRO impianto conico senza P.S. 4 X 11.5mm
T3ST413	T3 <sup>®</sup> PRO impianto conico senza P.S. 4 X 13mm
T3ST415	T3 <sup>®</sup> PRO impianto conico senza P.S. 4 X 15mm

### IMPIANTI DI 5,0 mm CON PIATTAFORMA DI 5,0 mm

### IMPIANTI DI 6,0 mm CON PIATTAFORMA DI 6,0 mm

La vite di copertura piatta del diametro corrispondente (ICSF50-ICSF60) è inclusa nella confezione



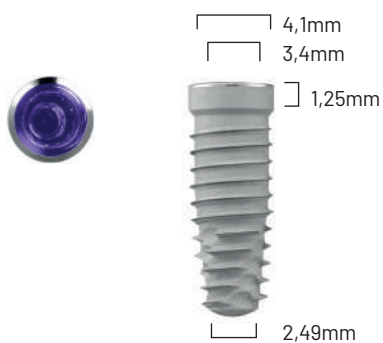
T3ST585	T3 <sup>®</sup> PRO impianto conico senza P.S. 5 X 8.5mm
T3ST510	T3 <sup>®</sup> PRO impianto conico senza P.S. 5 X 10mm
T3ST511	T3 <sup>®</sup> PRO impianto conico senza P.S. 5 X 11.5mm
T3ST513	T3 <sup>®</sup> PRO impianto conico senza P.S. 5 X 13mm
T3ST515	T3 <sup>®</sup> PRO impianto conico senza P.S. 5 X 15mm

T3ST685	T3 <sup>®</sup> PRO impianto conico senza P.S. 6 X 8.5mm
T3ST610	T3 <sup>®</sup> PRO impianto conico senza P.S. 6 X 10mm
T3ST611	T3 <sup>®</sup> PRO impianto conico senza P.S. 6 X 11.5mm
T3ST613	T3 <sup>®</sup> PRO impianto conico senza P.S. 6 X 13mm
T3ST615	T3 <sup>®</sup> PRO impianto conico senza P.S. 6 X 15mm

## IMPIANTI T3<sup>®</sup> CONICI Certain<sup>®</sup> con Platform Switching<sup>™</sup> integrato

### IMPIANTI DI 4,0 mm CON PIATTAFORMA DI 4,1 mm E CONNESSIONE DI 3,4 mm

La vite di copertura piatta del diametro corrispondente (IMCSF34) è inclusa nella confezione



BNPT4385	T3 <sup>™</sup> impianto conico con P.S. 4/3 X 8.5mm
BNPT4310	T3 <sup>™</sup> impianto conico con P.S. 4/3 X 10mm
BNPT4311	T3 <sup>™</sup> impianto conico con P.S. 4/3 X 11.5mm
BNPT4313	T3 <sup>™</sup> impianto conico con P.S. 4/3 X 13mm
BNPT4315	T3 <sup>™</sup> impianto conico con P.S. 4/3 X 15mm

### IMPIANTI DI 5,0 mm CON PIATTAFORMA DI 5,0 mm E CONNESSIONE DI 4,1 mm

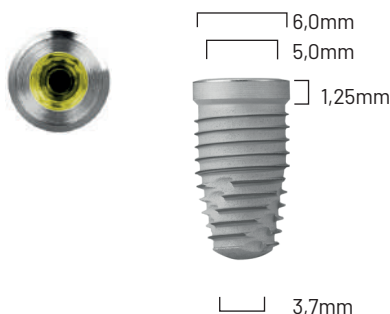
La vite di copertura piatta del diametro corrispondente (ICSF41) è inclusa nella confezione



BNPT5485	T3 <sup>™</sup> impianto conico con P.S. 5/4 X 8.5mm
BNPT5410	T3 <sup>™</sup> impianto conico con P.S. 5/4 X 10mm
BNPT5411	T3 <sup>™</sup> impianto conico con P.S. 5/4 X 11.5mm
BNPT5413	T3 <sup>™</sup> impianto conico con P.S. 5/4 X 13mm
BNPT5415	T3 <sup>™</sup> impianto conico con P.S. 5/4 X 15mm

### IMPIANTI DI 6,0 mm CON PIATTAFORMA DI 6,0 mm E CONNESSIONE DI 5 mm

La vite di copertura piatta del diametro corrispondente (ICSF50) è inclusa nella confezione

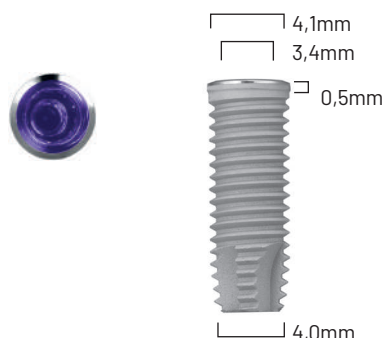


BNPT6585	T3 <sup>™</sup> impianto conico con P.S. 6/5 X 8.5mm
BNPT6510	T3 <sup>™</sup> impianto conico con P.S. 6/5 X 10mm
BNPT6511	T3 <sup>™</sup> impianto conico con P.S. 6/5 X 11.5mm
BNPT6513	T3 <sup>™</sup> impianto conico con P.S. 6/5 X 13mm
BNPT6515	T3 <sup>™</sup> impianto conico con P.S. 6/5 X 15mm

## IMPIANTI T3<sup>®</sup> CILINDRICI Certain<sup>®</sup> con Platform Switching<sup>™</sup> integrato

### IMPIANTI DI 4,0 mm CON PIATTAFORMA DI 4,1 mm E CONNESSIONE DI 3,4 mm

La vite di copertura piatta del diametro corrispondente (IMCSF34) è inclusa nella confezione



BNPS4385	T3 <sup>™</sup> impianto cilindrico con P.S. 4/3 X 8.5mm
BNPS4310	T3 <sup>™</sup> impianto cilindrico con P.S. 4/3 X 10mm
BNPS4311	T3 <sup>™</sup> impianto cilindrico con P.S. 4/3 X 11.5mm
BNPS4313	T3 <sup>™</sup> impianto cilindrico con P.S. 4/3 X 13mm
BNPS4315	T3 <sup>™</sup> impianto cilindrico con P.S. 4/3 X 15mm

### IMPIANTI DI 5,0 mm CON PIATTAFORMA DI 5,0 mm E CONNESSIONE DI 4,1 mm

La vite di copertura piatta del diametro corrispondente (ICSF41) è inclusa nella confezione



BNPS5485	T3 <sup>™</sup> impianto cilindrico con P.S. 5/4 X 8.5mm
BNPS5410	T3 <sup>™</sup> impianto cilindrico con P.S. 5/4 X 10mm
BNPS5411	T3 <sup>™</sup> impianto cilindrico con P.S. 5/4 X 11.5mm
BNPS5413	T3 <sup>™</sup> impianto cilindrico con P.S. 5/4 X 13mm
BNPS5415	T3 <sup>™</sup> impianto cilindrico con P.S. 5/4 X 15mm

### IMPIANTI DI 6,0 mm CON PIATTAFORMA DI 6,0 mm E CONNESSIONE DI 5 mm

La vite di copertura piatta del diametro corrispondente (ICSF50) è inclusa nella confezione



BNPS6585	T3 <sup>™</sup> impianto cilindrico con P.S. 6/5 X 8.5mm
BNPS6510	T3 <sup>™</sup> impianto cilindrico con P.S. 6/5 X 10mm
BNPS6511	T3 <sup>™</sup> impianto cilindrico con P.S. 6/5 X 11.5mm
BNPS6513	T3 <sup>™</sup> impianto cilindrico con P.S. 6/5 X 13mm
BNPS6515	T3 <sup>™</sup> impianto cilindrico con P.S. 6/5 X 15mm

## IMPIANTI T3<sup>®</sup> CONICI Certain<sup>®</sup> senza Platform Switching<sup>™</sup>

### IMPIANTI DI 3,25 mm CON PIATTAFORMA DI 3,4 mm

La vite di copertura piatta del diametro corrispondente (IMCSF34) è inclusa nella confezione



BNST3285	T3 <sup>™</sup> impianto conico senza P.S. 3,25 X 8.5mm
BNST3210	T3 <sup>™</sup> impianto conico senza P.S. 3,25 X 10mm
BNST3211	T3 <sup>™</sup> impianto conico senza P.S. 3,25 X 11.5mm
BNST3213	T3 <sup>™</sup> impianto conico senza P.S. 3,25 X 13mm
BNST3215	T3 <sup>™</sup> impianto conico senza P.S. 3,25 X 15mm

### IMPIANTI DI 4,0 mm CON PIATTAFORMA DI 4,1 mm

La vite di copertura piatta del diametro corrispondente (ICSF41) è inclusa nella confezione

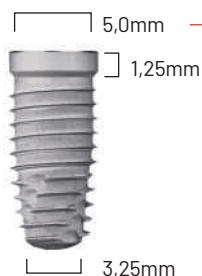


BNST485	T3 <sup>™</sup> impianto conico senza P.S. 4 X 8.5mm
BNST410	T3 <sup>™</sup> impianto conico senza P.S. 4 X 10mm
BNST411	T3 <sup>™</sup> impianto conico senza P.S. 4 X 11.5mm
BNST413	T3 <sup>™</sup> impianto conico senza P.S. 4 X 13mm
BNST415	T3 <sup>™</sup> impianto conico senza P.S. 4 X 15mm

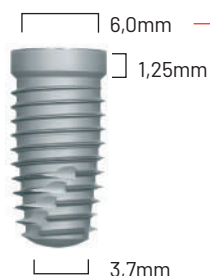
### IMPIANTI DI 5,0 mm CON PIATTAFORMA DI 5,0 mm

### IMPIANTI DI 6,0 mm CON PIATTAFORMA DI 6,0 mm

La vite di copertura piatta del diametro corrispondente (ICSF50-ICSF60) è inclusa nella confezione



BNST585	T3 <sup>™</sup> impianto conico senza P.S. 5 X 8.5mm
BNST510	T3 <sup>™</sup> impianto conico senza P.S. 5 X 10mm
BNST511	T3 <sup>™</sup> impianto conico senza P.S. 5 X 11.5mm
BNST513	T3 <sup>™</sup> impianto conico senza P.S. 5 X 13mm
BNST515	T3 <sup>™</sup> impianto conico senza P.S. 5 X 15mm



BNST685	T3 <sup>™</sup> impianto conico senza P.S. 6 X 8.5mm
BNST610	T3 <sup>™</sup> impianto conico senza P.S. 6 X 10mm
BNST611	T3 <sup>™</sup> impianto conico senza P.S. 6 X 11.5mm
BNST613	T3 <sup>™</sup> impianto conico senza P.S. 6 X 13mm
BNST615	T3 <sup>™</sup> impianto conico senza P.S. 6 X 15mm

## IMPIANTI T3<sup>®</sup> CILINDRICI Certain<sup>®</sup> senza Platform Switching<sup>™</sup>

### IMPIANTI DI 3,25 mm CON PIATTAFORMA DI 3,4 mm

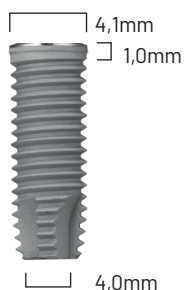
La vite di copertura piatta del diametro corrispondente (IMCSF34) è inclusa nella confezione



BNSS385	T3 <sup>™</sup> impianto cilindrico senza P.S. 3,25 X 8.5mm
BNSS310	T3 <sup>™</sup> impianto cilindrico senza P.S. 3,25 X 10mm
BNSS311	T3 <sup>™</sup> impianto cilindrico senza P.S. 3,25 X 11.5mm
BNSS313	T3 <sup>™</sup> impianto cilindrico senza P.S. 3,25 X 13mm
BNSS315	T3 <sup>™</sup> impianto cilindrico senza P.S. 3,25 X 15mm
BNSS318	T3 <sup>™</sup> impianto cilindrico senza P.S. 3,25 X 18mm

### IMPIANTI DI 4,0 mm CON PIATTAFORMA DI 4,1 mm

La vite di copertura piatta del diametro corrispondente (ICSF41) è inclusa nella confezione

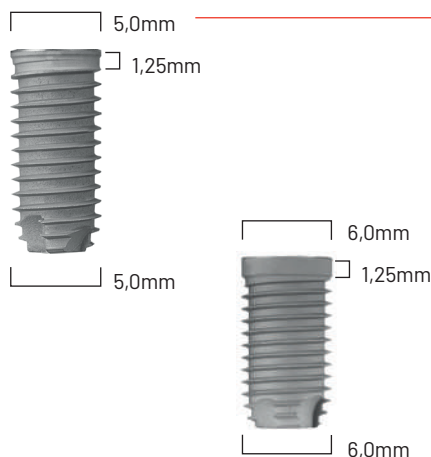


BNSS485	T3 <sup>™</sup> impianto cilindrico senza P.S. 4 X 8.5mm
BNSS410	T3 <sup>™</sup> impianto cilindrico senza P.S. 4 X 10mm
BNSS411	T3 <sup>™</sup> impianto cilindrico senza Pa.S. 4 X 11.5mm
BNSS413	T3 <sup>™</sup> impianto cilindrico senza P.S. 4 X 13mm
BNSS415	T3 <sup>™</sup> impianto cilindrico senza P.S. 4 X 15mm
BNSS418	T3 <sup>™</sup> impianto cilindrico senza P.S. 4 X 18mm

### IMPIANTI DI 5,0 mm CON PIATTAFORMA DI 5,0 mm

### IMPIANTI DI 6,0 mm CON PIATTAFORMA DI 6,0 mm

La vite di copertura piatta del diametro corrispondente (ICSF50-ICSF60) è inclusa nella confezione



BNSS585	T3 <sup>™</sup> impianto cilindrico senza P.S. 5 X 8.5mm
BNSS510	T3 <sup>™</sup> impianto cilindrico senza P.S. 5 X 10mm
BNSS511	T3 <sup>™</sup> impianto cilindrico senza P.S. 5 X 11.5mm
BNSS513	T3 <sup>™</sup> impianto cilindrico senza P.S. 5 X 13mm
BNSS515	T3 <sup>™</sup> impianto cilindrico senza P.S. 5 X 15mm
BNSS685	T3 <sup>™</sup> impianto cilindrico senza P.S. 6 X 8.5mm
BNSS610	T3 <sup>™</sup> impianto cilindrico senza P.S. 6 X 10mm
BNSS611	T3 <sup>™</sup> impianto cilindrico senza P.S. 6 X 11.5mm
BNSS613	T3 <sup>™</sup> impianto cilindrico senza P.S. 6 X 13mm
BNSS615	T3 <sup>™</sup> impianto cilindrico senza P.S. 6 X 15mm

## IMPIANTI T3<sup>®</sup> CONICI con Esagono Esterno

### IMPIANTI DI 3,25 mm CON PIATTAFORMA DI 3,4 mm

La vite di copertura del diametro corrispondente (MMCS1) è inclusa nella confezione  
Il dispositivo di montaggio non è incluso nella confezione.



BNET3285	T3 <sup>™</sup> impianto conico 3,25 X 8.5mm
BNET3210	T3 <sup>™</sup> impianto conico 3,25 X 10mm
BNET3211	T3 <sup>™</sup> impianto conico 3,25 X 11.5mm
BNET3213	T3 <sup>™</sup> impianto conico 3,25 X 13mm
BNET3215	T3 <sup>™</sup> impianto conico 3,25 X 15mm

### IMPIANTI DI 4,0 mm CON PIATTAFORMA DI 4,1 mm

La vite di copertura del diametro corrispondente (CS375) e il dispositivo di montaggio sono inclusi nella confezione



BNET485	T3 <sup>™</sup> impianto conico 4 X 8.5mm
BNET410	T3 <sup>™</sup> impianto conico 4 X 10mm
BNET411	T3 <sup>™</sup> impianto conico 4 X 11.5mm
BNET413	T3 <sup>™</sup> impianto conico 4 X 13mm
BNET415	T3 <sup>™</sup> impianto conico 4 X 15mm

### IMPIANTI DI 5,0 mm CON PIATTAFORMA DI 5,0 mm

### IMPIANTI DI 6,0 mm CON PIATTAFORMA DI 6,0 mm

La vite di copertura del diametro corrispondente (CS500 / CS600) e il dispositivo di montaggio sono inclusi nella confezione



BNET585	T3 <sup>™</sup> impianto conico 5 X 8.5mm
BNET510	T3 <sup>™</sup> impianto conico 5 X 10mm
BNET511	T3 <sup>™</sup> impianto conico 5 X 11.5mm
BNET513	T3 <sup>™</sup> impianto conico X 13mm
BNET515	T3 <sup>™</sup> impianto conico 5 X 15mm



BNET685	T3 <sup>™</sup> impianto conico 6 X 8.5mm
BNET610	T3 <sup>™</sup> impianto conico 6 X 10mm
BNET611	T3 <sup>™</sup> impianto conico 6 X 11.5mm
BNET613	T3 <sup>™</sup> impianto conico 6 X 13mm
BNET615	T3 <sup>™</sup> impianto conico 6 X 15mm

## IMPIANTI T3<sup>®</sup> CILINDRICI con Esagono Esterno

### IMPIANTI DI 3,25 mm CON PIATTAFORMA DI 3,4 mm

La vite di copertura del diametro corrispondente (MMCS1) è inclusa nella confezione  
Il dispositivo di montaggio non è incluso nella confezione.



BNES365	T3 <sup>™</sup> impianto cilindrico 3,25 X 6.5mm
BNES385	T3 <sup>™</sup> impianto cilindrico 3,25 X 8.5mm
BNES310	T3 <sup>™</sup> impianto cilindrico 3,25 X 10mm
BNES311	T3 <sup>™</sup> impianto cilindrico 3,25 X 11.5mm
BNES313	T3 <sup>™</sup> impianto cilindrico 3,25 X 13mm
BNES315	T3 <sup>™</sup> impianto cilindrico 3,25 X 15mm
BNES318	T3 <sup>™</sup> impianto cilindrico 3,25 X 18mm

### IMPIANTI DI 4,0 mm CON PIATTAFORMA DI 4,1 mm

La vite di copertura del diametro corrispondente (CS375) e il dispositivo di montaggio sono inclusi nella confezione

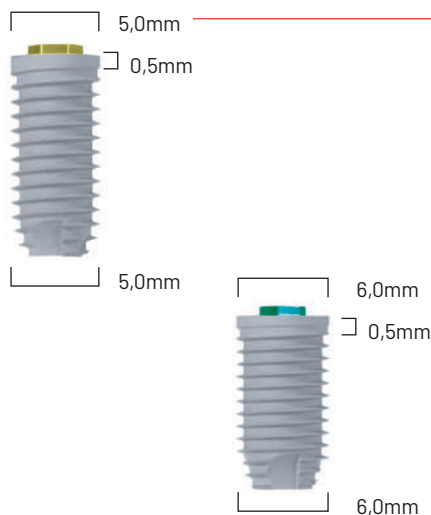


BNES465	T3 <sup>™</sup> impianto cilindrico 4 X 6.5mm
BNES485	T3 <sup>™</sup> impianto cilindrico 4 X 8.5mm
BNES410	T3 <sup>™</sup> impianto cilindrico 4 X 10mm
BNES411	T3 <sup>™</sup> impianto cilindrico 4 X 11.5mm
BNES413	T3 <sup>™</sup> impianto cilindrico 4 X 13mm
BNES415	T3 <sup>™</sup> impianto cilindrico 4 X 15mm
BNES418	T3 <sup>™</sup> impianto cilindrico 4 X 18mm

### IMPIANTI DI 5,0 mm CON PIATTAFORMA DI 5,0 mm

### IMPIANTI DI 6,0 mm CON PIATTAFORMA DI 6,0 mm

La vite di copertura del diametro corrispondente (CS500 / CS600) e il dispositivo di montaggio sono inclusi nella confezione

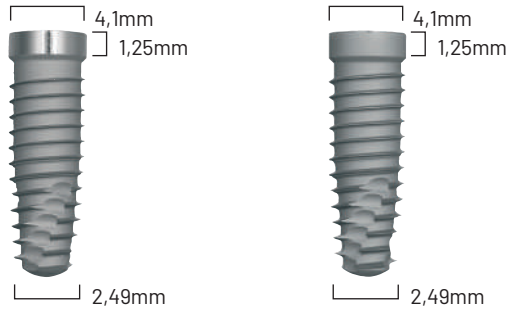


BNES565	T3 <sup>™</sup> impianto cilindrico 5 X 6.5mm
BNES585	T3 <sup>™</sup> impianto cilindrico 5 X 8.5mm
BNES510	T3 <sup>™</sup> impianto cilindrico 5 X 10mm
BNES511	T3 <sup>™</sup> impianto cilindrico 5 X 11.5mm
BNES513	T3 <sup>™</sup> impianto cilindrico 5 X 13mm
BNES515	T3 <sup>™</sup> impianto cilindrico 5 X 15mm
BNES665	T3 <sup>™</sup> impianto cilindrico 6 X 6.5mm
BNES685	T3 <sup>™</sup> impianto cilindrico 6 X 8.5mm
BNES610	T3 <sup>™</sup> impianto cilindrico 6 X 10mm
BNES611	T3 <sup>™</sup> impianto cilindrico 6 X 11.5mm
BNES613	T3 <sup>™</sup> impianto cilindrico 6 X 13mm
BNES615	T3 <sup>™</sup> impianto cilindrico 6 X 15mm

## IMPIANTI Osseotite® CONICI Certain®

### IMPIANTI DI 4,0 mm CON PIATTAFORMA DI 4,1 mm

La vite di copertura piatta del diametro corrispondente (ICSF41) è inclusa nella confezione.

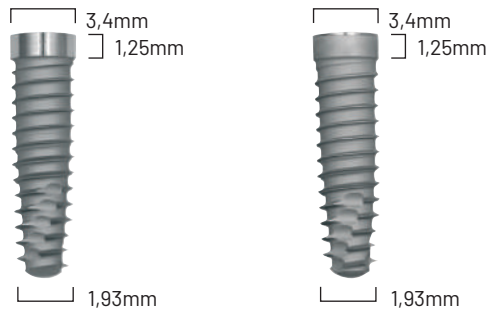


DESIGN  
IBRIDO      DESIGN  
FULL OSSEOTITE®

4,0 mm dia x 8,5 mm L.	INT485	XIFNT485
4,0 mm dia x 10,0 mm L.	INT410	XIFNT410
4,0 mm dia x 11,5 mm L.	INT411	XIFNT411
4,0 mm dia x 13,0 mm L.	INT413	XIFNT413
4,0 mm dia x 15,0 mm L.	INT415	XIFNT415

### IMPIANTI DI 3,25 mm CON PIATTAFORMA DI 3,4 mm

La vite di copertura piatta del diametro corrispondente (IMCSF34) è inclusa nella confezione.



DESIGN  
IBRIDO      DESIGN  
FULL OSSEOTITE®

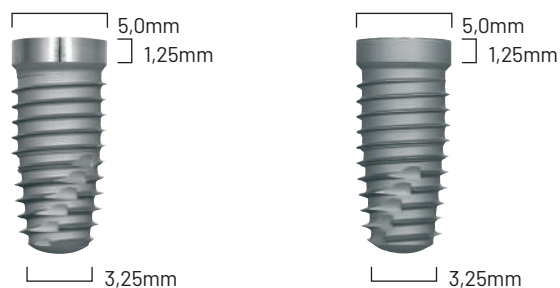
3,25 mm dia x 8,5 mm L.	INT3285	XIFNT3285
3,25 mm dia x 10,0 mm L.	INT3210	XIFNT3210
3,25 mm dia x 11,5 mm L.	INT3211	XIFNT3211
3,25 mm dia x 13,0 mm L.	INT3213	XIFNT3213
3,25 mm dia x 15,0 mm L.	INT3215	XIFNT3215



## IMPIANTI Osseotite® CONICI Certain®

### IMPIANTI DI 5,0 mm CON PIATTAFORMA DI 5 mm

La vite di copertura piatta del diametro corrispondente (ICSF50) è inclusa nella confezione.

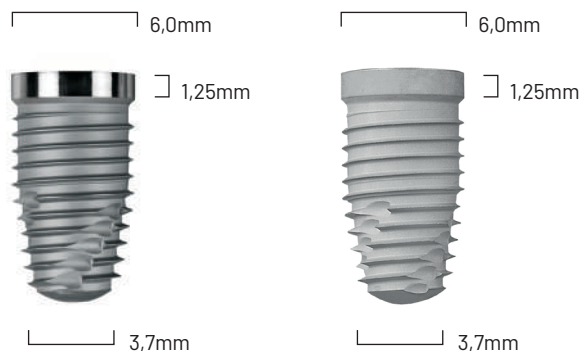


DESIGN  
IBRIDO      DESIGN  
FULL OSSEOTITE®

	DESIGN IBRIDO	DESIGN FULL OSSEOTITE®
5,0 mm dia x 8,5 mm L.	INT585	XIFNT585
5,0 mm dia x 10,0 mm L.	INT510	XIFNT510
5,0 mm dia x 11,5 mm L.	INT511	XIFNT511
5,0 mm dia x 13,0 mm L.	INT513	XIFNT513
5,0 mm dia x 15,0 mm L.	INT515	XIFNT515

### IMPIANTI DI 6,0 mm CON PIATTAFORMA DI 6 mm

La vite di copertura piatta del diametro corrispondente (ICSF60) è inclusa nella confezione.



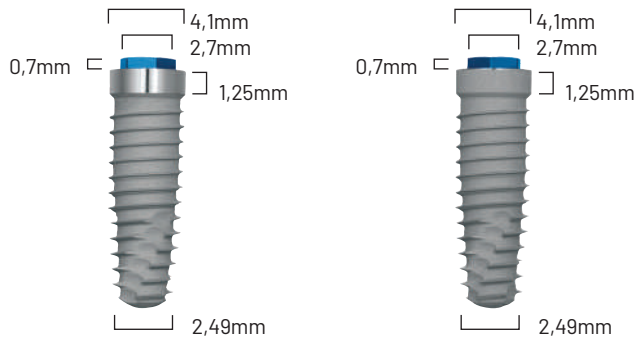
DESIGN  
IBRIDO      DESIGN  
FULL OSSEOTITE®

	DESIGN IBRIDO	DESIGN FULL OSSEOTITE®
6,0 mm dia x 8,5 mm L.	INT685	XIFNT685
6,0 mm dia x 10,0 mm L.	INT610	XIFNT610
6,0 mm dia x 11,5 mm L.	INT611	XIFNT611
6,0 mm dia x 13,0 mm L.	INT613	XIFNT613
6,0 mm dia x 15,0 mm L.	INT615	XIFNT615

## IMPIANTI Osseotite® CONICI con Esagono Esterno

### IMPIANTI DI 4,0 mm CON PIATTAFORMA DI 4,1 mm

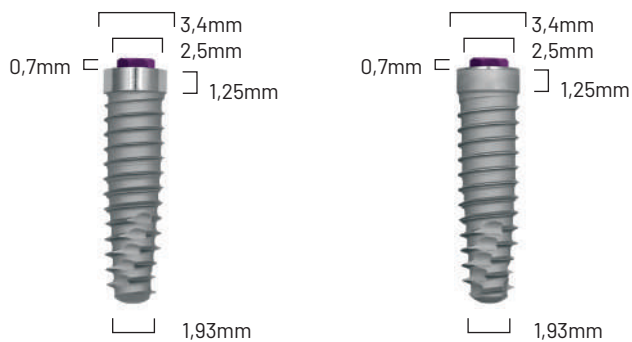
La vite di copertura del diametro corrispondente (CS375) e il dispositivo di montaggio sono inclusi nella confezione



	DESIGN IBRIDO	DESIGN FULL OSSEOTITE®
4,0 mm dia x 8,5 mm L.	NT485	FNT485
4,0 mm dia x 10,0 mm L.	NT410	FNT410
4,0 mm dia x 11,5 mm L.	NT411	FNT411
4,0 mm dia x 13,0 mm L.	NT413	FNT413
4,0 mm dia x 15,0 mm L.	NT415	FNT415

### IMPIANTI DI 3,25 mm CON PIATTAFORMA DI 3,4 mm

La vite di copertura del diametro corrispondente (MMCS1) è inclusa nella confezione  
Il dispositivo di montaggio non è incluso nella confezione.

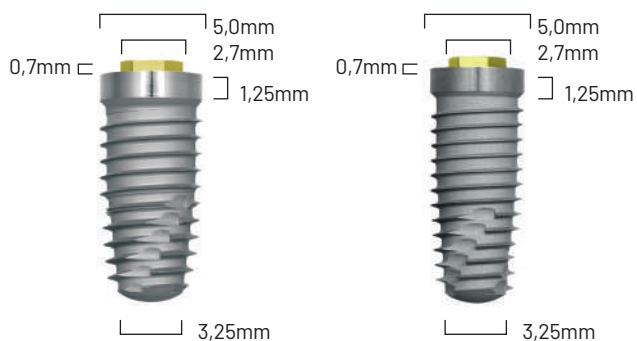


	DESIGN IBRIDO	DESIGN FULL OSSEOTITE®
3,25 mm dia x 8,5 mm L.	NT3285	FNT3285
3,25 mm dia x 10,0 mm L.	NT3210	FNT3210
3,25 mm dia x 11,5 mm L.	NT3211	FNT3211
3,25 mm dia x 13,0 mm L.	NT3213	FNT3213
3,25 mm dia x 15,0 mm L.	NT3215	FNT3215

## IMPIANTI Osseotite® CONICI con Esagono Esterno

### IMPIANTI DI 5,0 mm CON PIATTAFORMA DI 5,0 mm

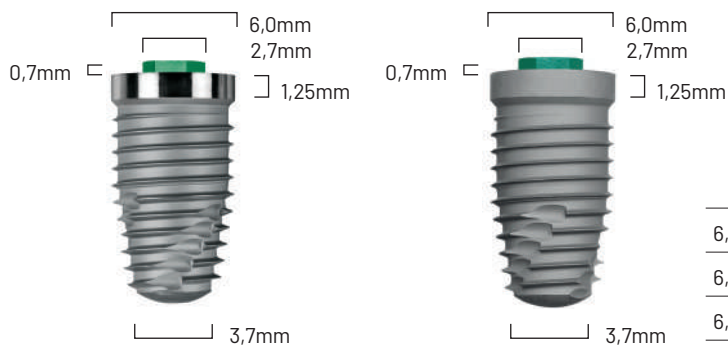
La vite di copertura del diametro corrispondente (CS500) e il dispositivo di montaggio sono inclusi nella confezione



	DESIGN IBRIDO	DESIGN FULL OSSEOTITE®
5,0 mm dia x 8,5 mm L.	NT585	FNT585
5,0 mm dia x 10,0 mm L.	NT510	FNT510
5,0 mm dia x 11,5 mm L.	NT511	FNT511
5,0 mm dia x 13,0 mm L.	NT513	FNT513
5,0 mm dia x 15,0 mm L.	NT515	FNT515

### IMPIANTI DI 6,0 mm CON PIATTAFORMA DI 6,0 mm

La vite di copertura del diametro corrispondente (CS600) e il dispositivo di montaggio sono inclusi nella confezione



	DESIGN IBRIDO	DESIGN FULL OSSEOTITE®
6,0 mm dia x 8,5 mm L.	NT685	FNT685
6,0 mm dia x 10,0 mm L.	NT610	FNT610
6,0 mm dia x 11,5 mm L.	NT611	FNT611
6,0 mm dia x 13,0 mm L.	NT613	FNT613
6,0 mm dia x 15,0 mm L.	NT615	FNT615

## IMPIANTI Osseotite® CILINDRICI Certain®

### IMPIANTI DI 4,0 mm CON PIATTAFORMA DI 4,1 mm

La vite di copertura del diametro corrispondente (ICSF41) è inclusa nella confezione.



DESIGN  
IBRIDO

DESIGN  
FULL OSSEOTITE®

4,0 mm dia x 8,5 mm L.	IOSS485	XIFOSS485
4,0 mm dia x 10,0 mm L.	IOSS410	XIFOSS410
4,0 mm dia x 11,5 mm L.	IOSS411	XIFOSS411
4,0 mm dia x 13,0 mm L.	IOSS413	XIFOSS413
4,0 mm dia x 15,0 mm L.	IOSS415	XIFOSS415
4,0 mm dia x 18,0 mm L.	IOSS418	

### IMPIANTI DI 3,25 mm CON PIATTAFORMA DI 3,4 mm

La vite di copertura del diametro corrispondente (IMCSF34) è inclusa nella confezione.



DESIGN  
IBRIDO

DESIGN  
FULL OSSEOTITE®

3,25 mm dia x 8,5 mm L.	IOSM385	XIFOSM385
3,25 mm dia x 10,0 mm L.	IOSM310	XIFOSM310
3,25 mm dia x 11,5 mm L.	IOSM311	XIFOSM311
3,25 mm dia x 13,0 mm L.	IOSM313	XIFOSM313
3,25 mm dia x 15,0 mm L.	IOSM315	XIFOSM315
3,25 mm dia x 18,0 mm L.	IOSM318	XIFOSM318

## IMPIANTI Osseotite® CILINDRICI Certain®

### IMPIANTI DI 5,0 mm CON PIATTAFORMA DI 5,0 mm

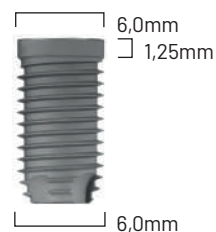
La vite di copertura del diametro corrispondente (ICSF50) è inclusa nella confezione.



	DESIGN IBRIDO	DESIGN FULL OSSEOTITE®
5,0 mm dia x 8,5 mm L.	IOSS585	XIFOSS585
5,0 mm dia x 10,0 mm L.	IOSS510	XIFOSS510
5,0 mm dia x 11,5 mm L.	IOSS511	XIFOSS511
5,0 mm dia x 13,0 mm L.	IOSS513	XIFOSS513
5,0 mm dia x 15,0 mm L.	IOSS515	XIFOSS515

### IMPIANTI DI 6,0 mm CON PIATTAFORMA DI 6,0 mm

La vite di copertura del diametro corrispondente (ICSF60) è inclusa nella confezione.

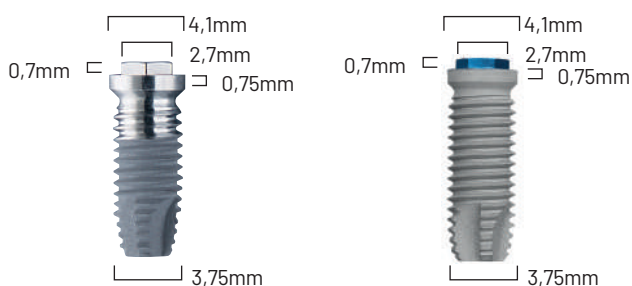


	DESIGN IBRIDO	DESIGN FULL OSSEOTITE®
6,0 mm dia x 8,5 mm L.	IOSS685	XIFOSS685
6,0 mm dia x 10,0 mm L.	IOSS610	XIFOSS610
6,0 mm dia x 11,5 mm L.	IOSS611	XIFOSS611
6,0 mm dia x 13,0 mm L.	IOSS613	XIFOSS613
6,0 mm dia x 15,0 mm L.	IOSS615	XIFOSS615

## IMPIANTI Osseotite® CILINDRICI con Esagono Esterno

### IMPIANTI DI 3,75 mm CON PIATTAFORMA DI 4,1 mm

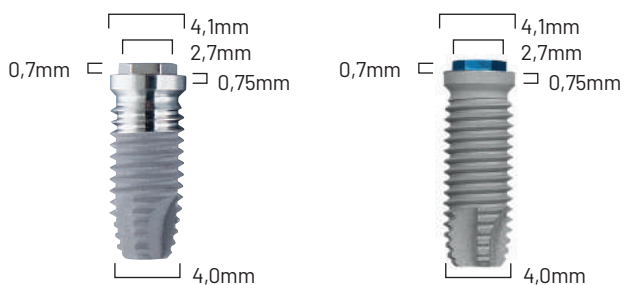
La vite di copertura del diametro corrispondente (CS375) e il dispositivo di montaggio sono inclusi nella confezione



	DESIGN IBRIDO	DESIGN FULL OSSEOTITE®
3,75 mm dia x 7,0 mm L.		FOS307
3,75 mm dia x 8,5 mm L.	OSS385	FOS385
3,75 mm dia x 10,0 mm L.	OSS310	FOS310
3,75 mm dia x 11,5 mm L.	OSS311	FOS311
3,75 mm dia x 13,0 mm L.	OSS313	FOS313
3,75 mm dia x 15,0 mm L.	OSS315	FOS315
3,75 mm dia x 18,0 mm L.	OSS318	
3,75 mm dia x 20,0 mm L.	OSS320	

### IMPIANTI DI 4,0 mm CON PIATTAFORMA DI 4,1 mm

La vite di copertura del diametro corrispondente (CS375) e il dispositivo di montaggio sono inclusi nella confezione



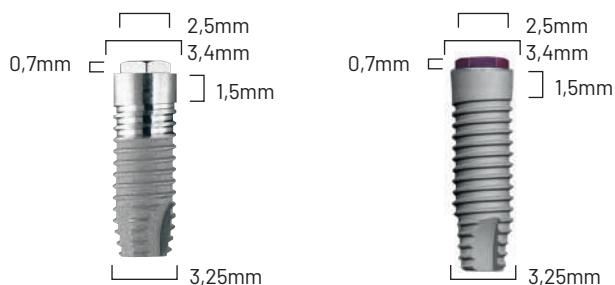
	DESIGN IBRIDO	DESIGN FULL OSSEOTITE®
4,0 mm dia x 7,0 mm L.		FOS407
4,0 mm dia x 8,5 mm L.	OSS485	FOS485
4,0 mm dia x 10,0 mm L.	OSS410	FOS410
4,0 mm dia x 11,5 mm L.	OSS411	FOS411
4,0 mm dia x 13,0 mm L.	OSS413	FOS413
4,0 mm dia x 15,0 mm L.	OSS415	FOS415
4,0 mm dia x 18,0 mm L.	OSS418	
4,0 mm dia x 20,0 mm L.	OSS420	

## IMPIANTI Osseotite® CILINDRICI con Esagono Esterno

### IMPIANTI DI 3,25 mm CON PIATTAFORMA DI 3,4 mm

La vite di copertura del diametro corrispondente (MMCS1) è inclusa nella confezione.

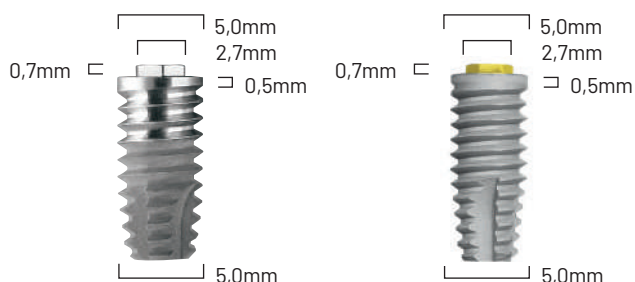
Il dispositivo di montaggio non è incluso.



	DESIGN IBRIDO	DESIGN FULL OSSEOTITE®
3,25 mm dia x 7,0 mm L.		FOSM307
3,25 mm dia x 8,5 mm L.	OSM385	FOSM385
3,25 mm dia x 10,0 mm L.	OSM310	FOSM310
3,25 mm dia x 11,5 mm L.	OSM311	FOSM311
3,25 mm dia x 13,0 mm L.	OSM313	FOSM313
3,25 mm dia x 15,0 mm L.	OSM315	FOSM315
3,25 mm dia x 18,0 mm L.	OSM318	

### IMPIANTI DI 5,0 mm CON PIATTAFORMA DI 5,0 mm

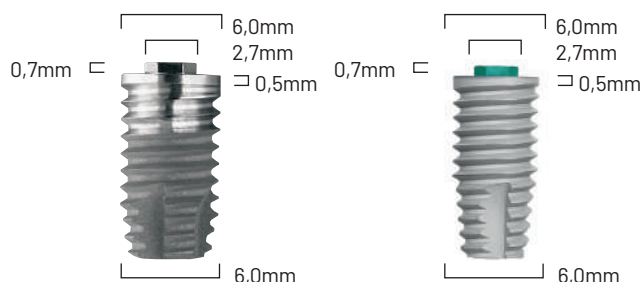
La vite di copertura del diametro corrispondente (CS500) e il dispositivo di montaggio sono inclusi nella confezione



	DESIGN IBRIDO	DESIGN FULL OSSEOTITE®
5,0 mm dia x 7,0 mm L.	OSS507	FOS507
5,0 mm dia x 8,5 mm L.	OSS585	FOS585
5,0 mm dia x 10,0 mm L.	OSS510	FOS510
5,0 mm dia x 11,5 mm L.	OSS511	FOS511
5,0 mm dia x 13,0 mm L.	OSS513	FOS513
5,0 mm dia x 15,0 mm L.	OSS515	FOS515
5,0 mm dia x 18,0 mm L.	OSS518	

### IMPIANTI DI 6,0 mm CON PIATTAFORMA DI 6,0 mm

La vite di copertura del diametro corrispondente (CS600) e il dispositivo di montaggio sono inclusi nella confezione



	DESIGN IBRIDO	DESIGN FULL OSSEOTITE®
6,0 mm dia x 7,0 mm L.	OSS607	FOS607
6,0 mm dia x 8,5 mm L.	OSS685	FOS685
6,0 mm dia x 10,0 mm L.	OSS610	FOS610
6,0 mm dia x 11,5 mm L.	OSS611	FOS611
6,0 mm dia x 13,0 mm L.	OSS613	FOS613
6,0 mm dia x 15,0 mm L.	OSS615	FOS615

## IMPIANTI T3® SHORT 5 e 6 mm

### VANTAGGI CLINICI

- MINIMIZZAZIONE DEL RISCHIO DI LEDERE STRUTTURE VITALI
- RIDUZIONE DELLE PROCEDURE DI INNESTO OSSEO
- MAGGIORE POSSIBILITÀ DI POSIZIONAMENTO DELL'IMPIANTO
- AUMENTO DEL COMFORT E DELL'ACCETTAZIONE DA PARTE DEI PAZIENTI



Impianto  
T3® Short Ø 5 mm



Impianto  
T3® Short Ø 6 mm

Questo tipo di impianto può essere collocato in meno di 6 mm di osso, riducendo al minimo la necessità di procedure di innesto osseo, evitando strutture ossee vitali e massimizzando le opportunità di eseguire trattamenti implantari.

In situazioni difficili con scarsa disponibilità di osso può essere fondamentale avere a disposizione impianti di lunghezza ridotta.



Lunghezza	Ø 5 mm
5 mm	BNES 505
6 mm	BNES 506

Lunghezza	Ø 6 mm
5 mm	BNES 605
6 mm	BNES 606



# L'IMPIANTO DI DIAMETRO RIDOTTO LODI

Il Sistema implantare per overdenture

La soluzione ideale per tutti i pazienti che vogliono stabilizzare la protesi esistente o che non possono affrontare trattamenti più costosi.

Ogni confezione contiene: (1) l'impianto LODI del diametro selezionato 2,4 o 2,9 mm, (2) il pilastro LOCATOR® e (3) l'attacco per la protesi con le componenti per la scelta del livello di ritenzione e l'asse di inserzione, per facilitarne il posizionamento e la ritenzione.

## CONFEZIONAMENTO "TUTTO COMPRESO":

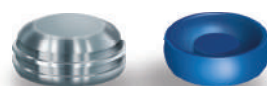
- 1 IMPIANTO (1)
- 1 PILASTRO LOCATOR® (2)
- 1 SET ATTACCO LOCATOR® (3)



Pilastro LOCATOR®  
h 2,5-3-4-5 mm

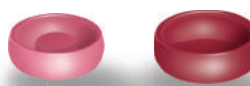


3. SET attacco Locator®



Cappetta per protesi

BLU 680 gr.



ROSA 1350 gr.

ROSSA 450 gr.

1. Impianto  
Ø 2,4 o 2,9mm

## 2.4 mm



Codice	Lunghezza	Altezza pilastro
07450	10mm	2.5mm
07451	12mm	2.5mm
07452	14mm	2.5mm
07440	10mm	3mm
07441	12mm	3mm
07442	14mm	3mm
07455	10mm	4mm
07456	12mm	4mm
07457	14mm	4mm
07432	10mm	5mm
07433	12mm	5mm
07434	14mm	5mm

## 2.9 mm

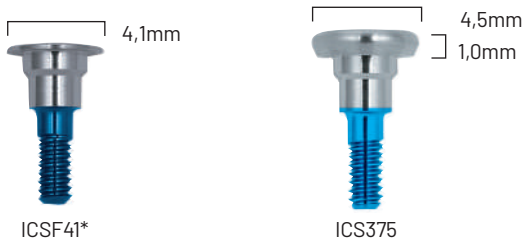


Codice	Lunghezza	Altezza pilastro
07460	10mm	2.5mm
07461	12mm	2.5mm
07462	14mm	2.5mm
07443	10mm	3mm
07444	12mm	3mm
07445	14mm	3mm
07465	10mm	4mm
07466	12mm	4mm
07467	14mm	4mm
07435	10mm	5mm
07436	12mm	5mm
07437	14mm	5mm

## VITI DI COPERTURA PER IMPIANTI Certain®

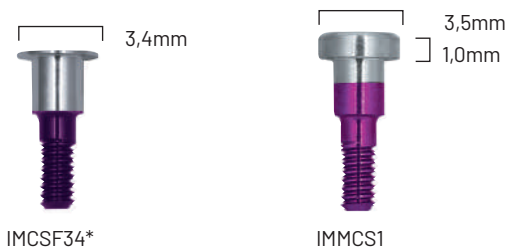
### VITI DI COPERTURA PER DIAMETRO STANDARD (4mm)

L'esagono interno permette di trasportarla con il driver con esagono grande e con la connessione per l'inserimento dell'impianto



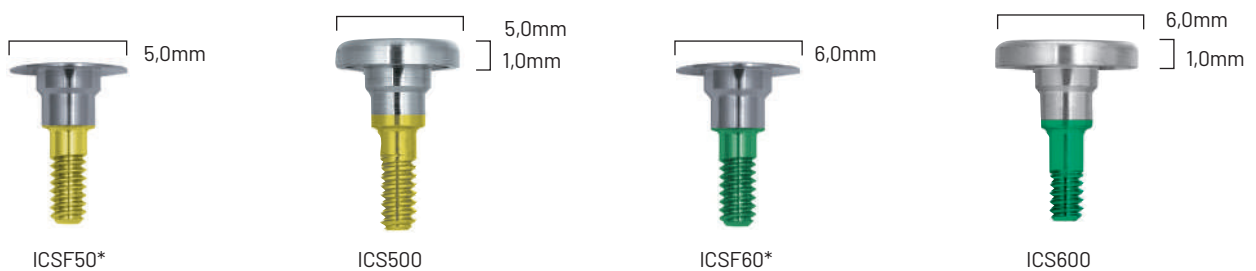
### VITI DI COPERTURA PER DIAMETRO 3,25 mm

L'esagono interno permette di trasportarla con il driver con esagono grande e con la connessione per l'inserimento dell'impianto



### VITI DI COPERTURA PER IMPIANTI CON PIATTAFORMA LARGA (5 e 6 mm)

L'esagono interno permette di trasportarla con la connessione e il driver con esagono grande e con la connessione per l'inserimento dell'impianto

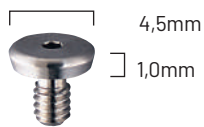


\* Fornita nella confezione dell'impianto.

## VITI DI COPERTURA PER IMPIANTI con ESAGONO ESTERNO

### VITI DI COPERTURA PER DIAMETRO STANDARD (3,75 e 4 mm)

L'esagono interno permette di trasportarla con la connessione e il driver con esagono piccolo.  
La versione senza testa (CS275) si usa quando si ha uno spessore insufficiente di tessuto molle



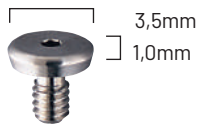
CS375\*



CS275

### VITE DI COPERTURA PER IMPIANTI di 3,25 mm

L'esagono interno permette di trasportarla con la connessione e il driver con esagono piccolo



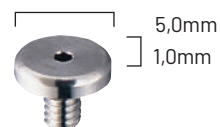
MMCS1\*



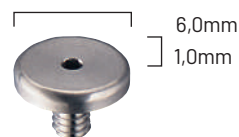
CS275

### VITE DI COPERTURA PER IMPIANTI CON PIATTAFORMA LARGA (5 e 6 mm)

L'esagono interno permette di trasportarla con la connessione e il driver con esagono piccolo



CS500\*



CS600\*



CS275

\* Fornita nella confezione dell'impianto.



# Strumentario Chirurgico

- 54 – Kit chirurgico per Impianti Conici e Cilindrici
- 56 – Start Kit per Impianti Conici
- 58 – Kit Upgrade Impianti Conici
- 58 – Kit chirurgico impianti T3® Short 5 o 6 mm
- 60 – Navigator™ System
- 62 – Frese Multiuso
- 64 – Frese Coniche Multiuso e Repliche per il Posizionamento degli Impianti Conici
- 65 – Maschiatori per Impianti Conici
- 66 – Maschiatori per Impianti Cilindrici
- 67 – Frese Monouso
- 68 – Dispositivi per l'inserimento dell'impianto Certain®
- 69 – Dispositivi di Montaggio per Impianti con Esagono Esterno
- 70 – Strumenti per l'inserimento dell'impianto con Esagono Esterno
- 71 – Driver e Connessioni Chirurgiche
- 72 – Driver Meccanici
- 72 – Misuratori e Indicatori di Profondità
- 73 – Strumenti Ausiliari per Frese
- 73 – Strumenti Ausiliari per Chirurgia Implantare
- 74 – Strumenti per la Seconda Fase Chirurgica
- 76 – Osteotomi di Summers™
- 77 – Osteotomi Conici
- 78 – Lodi Kit Chirurgico e Strumentario
- 80 – Kit Universale per Rimozione Impianti

## KIT PER IMPIANTI CONICI E CILINDRICI

### KIT CHIRURGICO STANDARD Certain® + Esagono Esterno QNTSK20



prolunga per frese			ACTDE
fresa iniziale a punta			ACTPSD
fresa spirale ACT	2,0 mm x	15,0 mm	ACT2015
fresa spirale ACT	3,0 mm x	15,0 mm	ACT3015
preparatore di spalla per impianti con esagono esterno piattaforma 4,1 mm			CD100
preparatore di spalla per impianti Certain Ø 4mm			ICD100
dispositivo di montaggio (15 mm)			IC015
connessione per manipolo			MDR10
chiave cilindrica			WR150
attacco di modifica			RE100
attacco lungo di modifica			RE200
chiave aperta			CW100
driver esagono piccolo (corto)			PHD00N
driver esagono grande (corto)			PHD02N
misuratore di profondità			DPO20
fresa conica	3,25 mm x	8,5 mm	QSD3285
fresa conica	3,25 mm x	10 mm	QSD3210
fresa conica	3,25 mm x	11,5 mm	QSD3211
fresa conica	3,25 mm x	13 mm	QSD3213
fresa conica	4,0 mm x	8,5 mm	QSD485
fresa conica	4,0 mm x	10 mm	QSD410
fresa conica	4,0 mm x	11,5 mm	QSD411
fresa conica	4,0 mm x	13 mm	QSD413
fresa conica	5,0 mm x	8,5 mm	QSD585
fresa conica	5,0 mm x	10 mm	QSD510
fresa conica	5,0 mm x	11,5 mm	QSD511
fresa conica	5,0 mm x	13 mm	QSD513
replica per il posizionamento implantare	3,25 mm x	8,5 mm	NTDI3285
replica per il posizionamento implantare	3,25 mm x	10 mm	NTDI3210
replica per il posizionamento implantare	3,25 mm x	11,5 mm	NTDI3211
replica per il posizionamento implantare	3,25 mm x	13 mm	NTDI3213
replica per il posizionamento implantare	4,0 mm x	8,5 mm	NTDI485
replica per il posizionamento implantare	4,0 mm x	10 mm	NTDI410
replica per il posizionamento implantare	4,0 mm x	11,5 mm	NTDI411
replica per il posizionamento implantare	4,0 mm x	13 mm	NTDI413
replica per il posizionamento implantare	5,0 mm x	8,5 mm	NTDI585
replica per il posizionamento implantare	5,0 mm x	10 mm	NTDI510
replica per il posizionamento implantare	5,0 mm x	11,5 mm	NTDI511
replica per il posizionamento implantare	5,0 mm x	13 mm	NTDI513
strumento corto per inser. manuale impianto Certain			IRE100U
strumento lungo per inser. manuale impianto Certain			IRE200U
connessione per contrangolo lunga per inserimento impianto Certain			IIPDTUL
connessione per contrangolo corta per inserimento impianto Certain			IIPDTUS
dispositivo di montaggio lungo per impianto esagono esterno diam. 3,25 mm			MMC15
o-ring di ricambio per strumento di inserimento Certain			IRORDR
maschiatore per osso	3,25 mm x	13 mm	NTAP3213
maschiatore per osso	3,25 mm x	11,5 mm	NTAP3211
maschiatore per osso	3,25 mm x	10 mm	NTAP3210
maschiatore per osso	3,25 mm x	8,5 mm	NTAP3285
maschiatore per osso	4,0 mm x	13 mm	NTAP413
maschiatore per osso	4,0 mm x	11,5 mm	NTAP411
maschiatore per osso	4,0 mm x	10 mm	NTAP410
maschiatore per osso	4,0 mm x	8,5 mm	NTAP485
maschiatore per osso	5,0 mm x	13 mm	NTAP513
maschiatore per osso	5,0 mm x	11,5 mm	NTAP511
maschiatore per osso	5,0 mm x	10 mm	NTAP510
maschiatore per osso	5,0 mm x	8,5 mm	NTAP585
organizzatore chirurgico			QNTSKTK
organizzatore per maschiatori			NTAPKTK



La disposizione sul tray interno di frese, indicatori, repliche e driver è indicata in appendice p. 178

# START KIT PER IMPIANTI CONICI

## START KIT Certain® + Esagono Esterno SLIMKTE



fresa iniziale a punta		ACTPSD
fresa spirale ACT	2,0 mm x 15,0 mm	ACT2015
fresa conica	3,25 mm x 8,5 mm	QSD3285
fresa conica	3,25 mm x 10 mm	QSD3210
fresa conica	3,25 mm x 11,5 mm	QSD3211
fresa conica	3,25 mm x 13 mm	QSD3213
fresa conica	4,0 mm x 8,5 mm	QSD485
fresa conica	4,0 mm x 10 mm	QSD410
fresa conica	4,0 mm x 11,5 mm	QSD411
fresa conica	4,0 mm x 13 mm	QSD413
replica per il posizionamento implantare	3,25 mm x 8,5 mm	NTDI3285
replica per il posizionamento implantare	3,25 mm x 10 mm	NTDI3210
replica per il posizionamento implantare	3,25 mm x 11,5 mm	NTDI3211
replica per il posizionamento implantare	3,25 mm x 13 mm	NTDI3213
replica per il posizionamento implantare	4,0 mm x 8,5 mm	NTDI485
replica per il posizionamento implantare	4,0 mm x 10 mm	NTDI410
replica per il posizionamento implantare	4,0 mm x 11,5 mm	NTDI411
replica per il posizionamento implantare	4,0 mm x 13 mm	NTDI413
maschiatore per osso	3,25 mm x 8,5 mm	NTAP3285
maschiatore per osso	3,25 mm x 10 mm	NTAP3210
maschiatore per osso	3,25 mm x 11,5 mm	NTAP3211
maschiatore per osso	3,25 mm x 13 mm	NTAP3213
maschiatore per osso	4,0 mm x 8,5 mm	NTAP485
maschiatore per osso	4,0 mm x 10 mm	NTAP410
maschiatore per osso	4,0 mm x 11,5 mm	NTAP411
maschiatore per osso	4,0 mm x 13 mm	NTAP413
connessione per contrangolo corta per inserimento imp. Certain		IIPDTUS
connessione per contrangolo lunga per inserimento imp. Certain		IIPDTUL
strumento lungo per inser. manuale impianto Certain		IRE200U
connessione per manipolo		MDR10
attacco di modifica		RE100
driver esagono grande (corto)		PHD02N
preparatore di spalla per impianti per Certain Ø 4mm		ICD100
prolunga per frese		ACTDE
chiave cilindrica		H-TIRW
dispositivo di montaggio lungo per impianto esagono esterno diam. 3,25 mm		MMC15
chiave aperta		CW100
driver esagono piccolo (corto)		PHD00N





## START KIT Certain® SLIMKT



fresa iniziale a punta		ACTPSD
fresa spirale ACT	2,0 mm x 15,0 mm	ACT2015
fresa conica	3,25 mm x 8,5 mm	QSD3285
fresa conica	3,25 mm x 10 mm	QSD3210
fresa conica	3,25 mm x 11,5 mm	QSD3211
fresa conica	3,25 mm x 13 mm	QSD3213
fresa conica	4,0 mm x 8,5 mm	QSD485
fresa conica	4,0 mm x 10 mm	QSD410
fresa conica	4,0 mm x 11,5 mm	QSD411
fresa conica	4,0 mm x 13 mm	QSD413
replica per il posizionamento implantare	3,25 mm x 8,5 mm	NTDI3285
replica per il posizionamento implantare	3,25 mm x 10 mm	NTDI3210
replica per il posizionamento implantare	3,25 mm x 11,5 mm	NTDI3211
replica per il posizionamento implantare	3,25 mm x 13 mm	NTDI3213
replica per il posizionamento implantare	4,0 mm x 8,5 mm	NTDI485
replica per il posizionamento implantare	4,0 mm x 10 mm	NTDI410
replica per il posizionamento implantare	4,0 mm x 11,5 mm	NTDI411
replica per il posizionamento implantare	4,0 mm x 13 mm	NTDI413
maschiatore per osso	3,25 mm x 8,5 mm	NTAP3285
maschiatore per osso	3,25 mm x 10 mm	NTAP3210
maschiatore per osso	3,25 mm x 11,5 mm	NTAP3211
maschiatore per osso	3,25 mm x 13 mm	NTAP3213
maschiatore per osso	4,0 mm x 8,5 mm	NTAP485
maschiatore per osso	4,0 mm x 10 mm	NTAP410
maschiatore per osso	4,0 mm x 11,5 mm	NTAP411
maschiatore per osso	4,0 mm x 13 mm	NTAP413
connessione per contrangolo corta per inserimento imp. Certain		IIPDTUS
connessione per contrangolo lunga per inserimento imp. Certain		IIPDTUL
strumento lungo per inser. manuale impianto Certain		IRE200U
connessione per manipolo		MDR10
attacco di modifica		RE100
driver esagono grande (corto)		PHD02N
preparatore di spalla per impianti per Certain Ø 4mm		ICD100
prolunga per frese		ACTDE
chiave cilindrica		H-TIRW



# KIT UPGRADE IMPIANTI CONICI

KIT COMPLETO DI FRESE, REPLICHE E MASCHIATORI PER TUTTI I DIAMETRI DEGLI IMPIANTI CONICI - QNTSK40U



fresa conica 3,25 mm x 8,5 mm	QSD3285	replica NTDI 5,0 mm x 8,5 mm	NTDI585
fresa conica 3,25 mm x 10,0 mm	QSD3210	replica NTDI 5,0 mm x 10,0 mm	NTDI510
fresa conica 3,25 mm x 11,5 mm	QSD3211	replica NTDI 5,0 mm x 11,5 mm	NTDI511
fresa conica 3,25 mm x 13,0 mm	QSD3213	replica NTDI 5,0 mm x 13,0 mm	NTDI513
fresa conica 3,25 mm x 15,0 mm	QSD3215	replica NTDI 5,0 mm x 15,0 mm	NTDI515
fresa conica 4,0 mm x 8,5 mm	QSD485	replica NTDI 6,0 mm x 8,5 mm	NTDI685
fresa conica 4,0 mm x 10,0 mm	QSD410	replica NTDI 6,0 mm x 10,0 mm	NTDI610
fresa conica 4,0 mm x 11,5 mm	QSD411	replica NTDI 6,0 mm x 11,5 mm	NTDI611
fresa conica 4,0 mm x 13,0 mm	QSD413	replica NTDI 6,0 mm x 13,0 mm	NTDI613
fresa conica 4,0 mm x 15,0 mm	QSD415	replica NTDI 6,0 mm x 15,0 mm	NTDI615
fresa conica 5,0 mm x 8,5 mm	QSD585	maschiatore conico 3,25 mm x 8,5 mm	NTAP3285
fresa conica 5,0 mm x 10,0 mm	QSD510	maschiatore conico 3,25 mm x 10,0 mm	NTAP3210
fresa conica 5,0 mm x 11,5 mm	QSD511	maschiatore conico 3,25 mm x 11,5 mm	NTAP3211
fresa conica 5,0 mm x 13,0 mm	QSD513	maschiatore conico 3,25 mm x 13,0 mm	NTAP3213
fresa conica 5,0 mm x 15,0 mm	QSD515	maschiatore conico 3,25 mm x 15,0 mm	NTAP3215
fresa conica 6,0 mm x 8,5 mm	QSD685	maschiatore conico 4,0 mm x 8,5 mm	NTAP485
fresa conica 6,0 mm x 10,0 mm	QSD610	maschiatore conico 4,0 mm x 10,0 mm	NTAP410
fresa conica 6,0 mm x 11,5 mm	QSD611	maschiatore conico 4,0 mm x 11,5 mm	NTAP411
fresa conica 6,0 mm x 13,0 mm	QSD613	maschiatore conico 4,0 mm x 13,0 mm	NTAP413
fresa conica 6,0 mm x 15,0 mm	QSD615	maschiatore conico 4,0 mm mm x 15,0 8,5 mm mm	NTAP415
replica NTDI 3,25 mm x 8,5 mm	NTDI3285	maschiatore conico 5,0 mm x x 10,0 mm	NTAP585
replica NTDI 3,25 mm x 10,0 mm	NTDI3210	maschiatore conico 5,0 mm x 11,5 mm	NTAP510
replica NTDI 3,25 mm x 11,5 mm	NTDI3211	maschiatore conico 5,0 mm x 13,0 mm	NTAP511
replica NTDI 3,25 mm x 13,0 mm	NTDI3213	maschiatore conico 5,0 mm x 15,0 mm	NTAP513
replica NTDI 3,25 mm x 15,0 mm	NTDI3215	maschiatore conico 5,0 mm x 8,5 mm	NTAP515
replica NTDI 4,0 mm x 8,5 mm	NTDI485	maschiatore conico 6,0 mm x 10,0 mm	NTAP685
replica NTDI 4,0 mm x 10,0 mm	NTDI410	maschiatore conico 6,0 mm x 11,5 mm	NTAP610
replica NTDI 4,0 mm x 11,5 mm	NTDI411	maschiatore conico 6,0 mm x 13,0 mm	NTAP611
replica NTDI 4,0 mm x 13,0 mm	NTDI413	maschiatore conico 6,0 mm x 15,0 mm	NTAP613
replica NTDI 4,0 mm x 15,0 mm	NTDI415	maschiatore conico 6,0	NTAP615
		preparatore di spalla	
		per Certain Ø 4mm	ICD100
		vassoio porta strumenti	QNTSKIK
		organizzatore per maschiatori	NTAPKTK

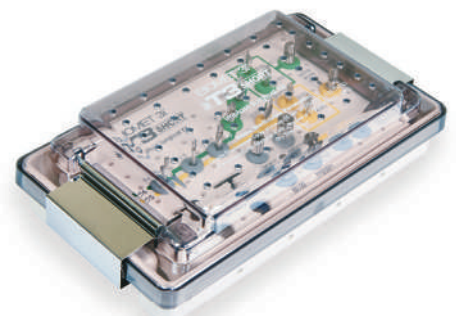
## Kit chirurgico per impianti T3<sup>®</sup> Short

Tutto il necessario per posizionare un impianto T3<sup>®</sup> Short in un unico kit compatto

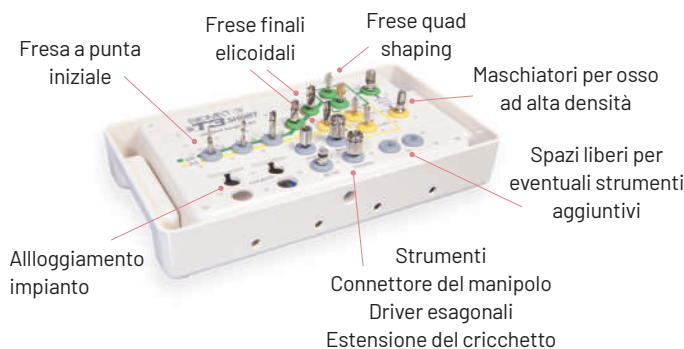
La sequenza di fresatura riduce il diametro dell'osteotomia di 1,15 mm

Impianti di diametro 5,0 mm: **percorso giallo**

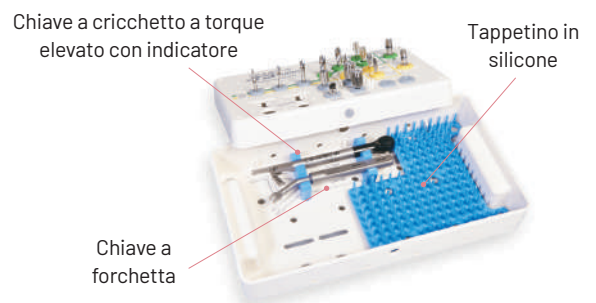
Impianti di diametro 6,0 mm: **percorso verde**



### TRAY SUPERIORE DEL KIT



### VASSOIO INFERIORE DEL KIT

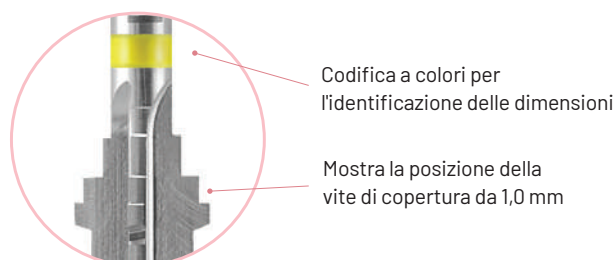
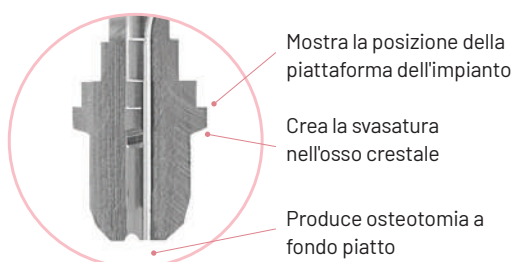


## KIT CHIRURGICO: BSISK

N. articolo	Descrizione	N. articolo	Descrizione
ACT206S	Fresa elicoidale riutilizzabile ACT®, 2,0 mm (P) x 6,0 mm (L)	TAP56S	Maschiatore per osso ad alta densità per impianti corti, 5,0 mm (P) x 5- 6,0 mm (L)
ACT326S	Fresa elicoidale riutilizzabile ACT, 3,25 mm (P) x 6,0 mm (L)	TAP66S	Maschiatore per osso ad alta densità per impianti corti, 6,0 mm (P) x 5- 6,0 mm (L)
ACT386S	Fresa elicoidale riutilizzabile ACT, 3,85 mm (P) x 6,0 mm (L)	RE100	Estensione corta del cricchetto
ACT426S	Fresa elicoidale riutilizzabile ACT, 4,25 mm (P) x 6,0 mm (L)	PHD02N	Driver esagonale grande posteriore stretto
ACT486S	Fresa elicoidale riutilizzabile ACT, 4,85 mm (P) x 6,0 mm (L)	PHD00N	Driver esagonale piccolo posteriore stretto
FCS385S	Shaping drill con svasatura a base piana da 5,0 mm (L)	H-TIRW	Chiave a cricchetto a torque elevato con indicatore
FCS386S	Shaping drill con svasatura a base piana da 6,0 mm (L)	MDR10	Connettore del manipolo
FCS485S	Shaping drill con svasatura a base piana da 5,0 mm (L)	CW100	Chiave a forchetta
FCS486S	Shaping drill con svasatura a base piana da 6,0 mm (L)	ACTPSD	Fresa a punta iniziale ACT

## SHAPING DRILL A BASE PIANA

- Apice a fondo piatto per preparare un'osteotomia che corrisponda alle dimensioni dell'impianto
- Svasatura incorporata in modo che l'impianto sia posizionato correttamente nell'osteotomia

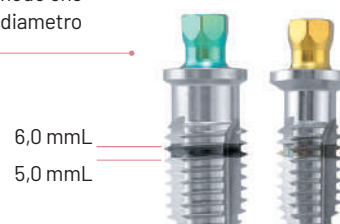


## MASCHIATORI PER OSSO AD ALTA DENSITÀ

Il kit chirurgico include anche gli specifici maschiatori:

- Un maschiatore per gli impianti da 5,0 mm (P)
- Un maschiatore per gli impianti da 6,0 mm (P)

Codice colore in modo che corrispondano al diametro dell'impianto



## FRESE ELICOIDALI ACT

- Una tacca incisa a laser indicante due profondità: 5,0 mm e 6,0 mm
- La tacca di profondità include la lunghezza della punta della fresa per una fresatura in profondità di precisione
- Due scanalature di taglio sulla punta



## Navigator™ System

La strumentazione chirurgica per trasferire  
la vostra pianificazione virtuale nella realtà clinica

Un sistema di pianificazione è completo ed efficace solo abbinato alla tecnologia Navigator System



Kit chirurgico completo Navigator per impianti conici	SGTIKIT
Kit chirurgico Navigator "SLIM" per impianti conici	SGTKITSLIM
Kit chirurgico completo Navigator per impianti cilindrici	SGKIT

Il **kit Navigator System chirurgico** consente all'operatore, in combinazione con la mascherina chirurgica dedicata e l'apposita programmazione, di realizzare una chirurgia implantare che riprodurrà la stessa posizione degli impianti decisa durante la programmazione computerizzata, con una procedura semplice e standardizzata.

Il **Navigator System** supporta sia la chirurgia flapless sia la chirurgia a lembo aperto che la chirurgia ad appoggio dentale, è realizzato seguendo le indicazioni di un codice colore diverso per ogni piattaforma implantare ed organizzato ergonomicamente per seguire i passaggi della pianificazione chirurgica.

È disponibile sia nella versione per l'impianto cilindrico che per l'impianto conico. In questo modo il clinico potrà utilizzare l'impianto preferito per ogni lunghezza e diametro (tranne il 6 mm).

# Navigator™ System

## Strumentazione per Impianti Conici

Tapered Navigator® Tray per laboratorio		SGTLTRAY
Navigator® Certain® Analog Mount	3.4mm(D) - Short	MSGIAMS
Navigator® Certain® Analog Mount	3.4mm(D) - Long	MSGIAML
Navigator® Certain® Analog Mount	4.1mm(D) - Short	SGIAM4S
Navigator® Certain® Analog Mount	4.1mm(D) - Long	SGIAM4L
Navigator® Certain® Analog Mount	5mm(D) - Short	SGIAM5S
Navigator® Certain® Analog Mount	5mm(D) - Long	SGIAM5L
Tapered Navigator® Tray per maschiatori		SGTTAPT
Tapered Navigator® maschiatore	3.25mm(D) x 8.5mm(L) - Short	MSGTT85S
Tapered Navigator® maschiatore	3.25mm(D) x 10mm(L) - Short	MSGTT10S
Tapered Navigator® maschiatore	3.25mm(D) x 11.5mm(L) - Short	MSGTT11S
Tapered Navigator® maschiatore	3.25mm(D) x 13mm(L) - Short	MSGTT13S
Tapered Navigator® maschiatore	3.25mm(D) x 15mm(L) - Short	MSGTT15S
Tapered Navigator® maschiatore	4mm(D) x 8.5mm(L) - Short	SGTT485S
Tapered Navigator® maschiatore	4mm(D) x 10mm(L) - Short	SGTT410S
Tapered Navigator® maschiatore	4mm(D) x 11.5mm(L) - Short	SGTT411S
Tapered Navigator® maschiatore	4mm(D) x 13mm(L) - Short	SGTT413S
Tapered Navigator® maschiatore	4mm(D) x 15mm(L) - Short	SGTT415S
Tapered Navigator® maschiatore	5mm(D) x 8.5mm(L) - Short	SGTT585S
Tapered Navigator® maschiatore	5mm(D) x 10mm(L) - Short	SGTT510S
Tapered Navigator® maschiatore	5mm(D) x 11.5mm(L) - Short	SGTT511S
Tapered Navigator® maschiatore	5mm(D) x 13mm(L) - Short	SGTT513S
Tapered Navigator® maschiatore	5mm(D) x 15mm(L) - Short	SGTT515S
Tapered Navigator® maschiatore	3.25mm(D) x 8.5mm(L) - Long	MSGTT85L
Tapered Navigator® maschiatore	3.25mm(D) x 10mm(L) - Long	MSGTT10L
Tapered Navigator® maschiatore	3.25mm(D) x 11.5mm(L) - Long	MSGTT11L
Tapered Navigator® maschiatore	3.25mm(D) x 13mm(L) - Long	MSGTT13L
Tapered Navigator® maschiatore	3.25mm(D) x 15mm(L) - Long	MSGTT15L
Tapered Navigator® maschiatore	4mm(D) x 8.5mm(L) - Long	SGTT485L
Tapered Navigator® maschiatore	4mm(D) x 10mm(L) - Long	SGTT410L
Tapered Navigator® maschiatore	4mm(D) x 11.5mm(L) - Long	SGTT411L
Tapered Navigator® maschiatore	4mm(D) x 13mm(L) - Long	SGTT413L
Tapered Navigator® maschiatore	4mm(D) x 15mm(L) - Long	SGTT415L
Tapered Navigator® maschiatore	5mm(D) x 8.5mm(L) - Long	SGTT585L
Tapered Navigator® maschiatore	5mm(D) x 10mm(L) - Long	SGTT510L
Tapered Navigator® maschiatore	5mm(D) x 11.5mm(L) - Long	SGTT511L
Tapered Navigator® maschiatore	5mm(D) x 13mm(L) - Long	SGTT513L
Tapered Navigator® maschiatore	5mm(D) x 15mm(L) - Long	SGTT515L
Tapered Navigator® Tray chirurgico		SGTTRAY
Tapered Navigator® Mucotomo	4.1mm(D)	SGTTP4
Tapered Navigator® Mucotomo	5mm(D)	SGTTP5
Tapered Navigator® Perforatore corticale	4.1mm(D) - Short	SGTCP4S
Tapered Navigator® Perforatore corticale	5mm(D) - Short	SGTCP5S
Tapered Navigator® Perforatore corticale	4.1mm(D) - Long	SGTCP4L
Tapered Navigator® Perforatore corticale	5mm(D) - Long	SGTCP5L
Tapered Navigator® Twist Drill	1.9mm(D) x a(L)	SGTD19A
Tapered Navigator® Twist Drill	1.9mm(D) x b(L)	SGTD19B
Tapered Navigator® Twist Drill	1.9mm(D) x c(L)	SGTD19C
Tapered Navigator® Twist Drill	1.9mm(D) x d(L)	SGTD19D
Tapered Navigator® Twist Drill	1.9mm(D) x e(L)	SGTD19E
Tapered Navigator® Twist Drill	1.9mm(D) x f(L)	SGTD19F
Tapered Navigator® Twist Drill	1.9mm(D) x g(L)	SGTD19G

Tapered Navigator® Countersink Drill	3.4mm(D) - Short	MSGTCDS
Tapered Navigator® Countersink Drill	4.1mm(D) - Short	SGTCD4S
Tapered Navigator® Countersink Drill	5mm(D) - Short	SGTCD5S
Tapered Navigator® Countersink Drill	3.4mm(D) - Long	MSGTCDL
Tapered Navigator® Countersink Drill	4.1mm(D) - Long	SGTCD4L
Tapered Navigator® Countersink Drill	5mm(D) - Long	SGTCD5L
Tapered Navigator® Shaping Drill	3.25mm(D) x 8.5mm(L) - Short	MSGTD85S
Tapered Navigator® Shaping Drill	3.25mm(D) x 10mm(L) - Short	MSGTD10S
Tapered Navigator® Shaping Drill	3.25mm(D) x 11.5mm(L) - Short	MSGTD11S
Tapered Navigator® Shaping Drill	3.25mm(D) x 13mm(L) - Short	MSGTD13S
Tapered Navigator® Shaping Drill	3.25mm(D) x 15mm(L) - Short	MSGTD15S
Tapered Navigator® Shaping Drill	4mm(D) x 8.5mm(L) - Short	SGTD485S
Tapered Navigator® Shaping Drill	4mm(D) x 10mm(L) - Short	SGTD410S
Tapered Navigator® Shaping Drill	4mm(D) x 11.5mm(L) - Short	SGTD411S
Tapered Navigator® Shaping Drill	4mm(D) x 13mm(L) - Short	SGTD413S
Tapered Navigator® Shaping Drill	4mm(D) x 15mm(L) - Short	SGTD415S
Tapered Navigator® Shaping Drill	5mm(D) x 8.5mm(L) - Short	SGTD585S
Tapered Navigator® Shaping Drill	5mm(D) x 10mm(L) - Short	SGTD510S
Tapered Navigator® Shaping Drill	5mm(D) x 11.5mm(L) - Short	SGTD511S
Tapered Navigator® Shaping Drill	5mm(D) x 13mm(L) - Short	SGTD513S
Tapered Navigator® Shaping Drill	5mm(D) x 15mm(L) - Short	SGTD515S
Tapered Navigator® Shaping Drill	3.25mm(D) x 8.5mm(L) - Long	MSGTD85L
Tapered Navigator® Shaping Drill	3.25mm(D) x 10mm(L) - Long	MSGTD10L
Tapered Navigator® Shaping Drill	3.25mm(D) x 11.5mm(L) - Long	MSGTD11L
Tapered Navigator® Shaping Drill	3.25mm(D) x 13mm(L) - Long	MSGTD13L
Tapered Navigator® Shaping Drill	3.25mm(D) x 15mm(L) - Long	MSGTD15L
Tapered Navigator® Shaping Drill	4mm(D) x 8.5mm(L) - Long	SGTD485L
Tapered Navigator® Shaping Drill	4mm(D) x 10mm(L) - Long	SGTD410L
Tapered Navigator® Shaping Drill	4mm(D) x 11.5mm(L) - Long	SGTD411L
Tapered Navigator® Shaping Drill	4mm(D) x 13mm(L) - Long	SGTD413L
Tapered Navigator® Shaping Drill	4mm(D) x 15mm(L) - Long	SGTD415L
Tapered Navigator® Shaping Drill	5mm(D) x 8.5mm(L) - Long	SGTD585L
Tapered Navigator® Shaping Drill	5mm(D) x 10mm(L) - Long	SGTD510L
Tapered Navigator® Shaping Drill	5mm(D) x 11.5mm(L) - Long	SGTD511L
Tapered Navigator® Shaping Drill	5mm(D) x 13mm(L) - Long	SGTD513L
Tapered Navigator® Shaping Drill	5mm(D) x 15mm(L) - Long	SGTD515L
Connessione per manipolo		MDR10
Driver con Esagono grande	17mm	PHD02N
Connessione con Esagono grande	24mm	RASH3N
Prolunga per cricchetto	6mm(L)	RE100
Prolunga per cricchetto	15mm(L)	RE200
Manico riduttore di posizionamento per Twist Drill		SGTDPHT
Manico riduttore di posizionamento per Frese Ø 3 e 4 mm		SGTDPHR
Chiave aperta		CW100
Chiave cilindrica		WR150
Navigator® Certain® Implant Mount	3.4mm(D) - Corto	MSGIIMS
Navigator® Certain® Implant Mount	3.4mm(D) - Lungo	MSGIIML
Navigator® Certain® Implant Mount	4.1mm(D) - Corto	SGIIM4S
Navigator® Certain® Implant Mount	4.1mm(D) - Lungo	SGIIM4L
Navigator® Certain® Implant Mount	5mm(D) - Corto	SGIIM5S
Navigator® Certain® Implant Mount	5mm(D) - Lungo	SGIIM5L

La disposizione degli strumenti sul tray interno del kit è indicata in appendice alle pagg. 188-189

## FRESE MULTIUSO

### FRESE PER LA PREPARAZIONE INIZIALE



#### MULTIUSO

Fresa rotonda	RD100
Fresa a punta	ACTPSD

### FRESE A SPIRALE ADVANCED CUTTING TECHNOLOGY (ACT™) DI 2 E 2,75 mm



#### 2,0 mm

#### 2,75 mm

7-10 mm	ACT2010	ACT2710
7-15 mm	ACT2015	ACT2715
7-20 mm	ACT2020	ACT2720

### FRESE A SPIRALE ADVANCED CUTTING TECHNOLOGY (ACT™) DI 3,0 E 3,15 mm



#### 3,0 mm

#### 3,15 mm

7-10 mm	ACT3010	ACT3110
7-15 mm	ACT3015	ACT3115
7-20 mm	ACT3020	ACT3120

## FRESE A SPIRALE ADVANCED CUTTING TECHNOLOGY (ACT™) DI 3,85 mm E 4,85 mm



	3,85 mm		4,85 mm
7-10 mm	ACT3810	7-8,5 mm	ACT4885
7-15 mm	ACT3815	7-13 mm	ACT4813
7-20 mm	ACT3820	7-18 mm	ACT4818

## PREPARATORI DI SPALLA

CD100 E ICD100 permettono di creare una svasatura nella porzione coronale dell'osteotomia per consentire all'impianto di essere posizionato a livello della cresta ossea. ICD100 si utilizza per l'impianto Certain® di 4 mm. CD100 si utilizza con gli impianti con esagono esterno cilindrici di 3,75 e 4 mm e con gli impianti di diam. 3,25 mm e piattaforma 4,1 mm.



	MULTIUSO
Esagono esterno	CD100
Certain	ICD100

## FRESE CONICHE MULTIUSO E REPLICHE PER IL POSIZIONAMENTO DEGLI IMPIANTI CONICI

### FRESA CONICA QSD E REPLICA PER IL POSIZIONAMENTO DELL'IMPIANTO CONICO DI 3,25 mm

Si usa a 1200-1500 giri al minuto.



3,25 mm x 8,5	fresa conica	QSD3285	replica per il posizionamento implantare	NTDI3285
3,25 mm x 10	fresa conica	QSD3210	replica per il posizionamento implantare	NTDI3210
3,25 mm x 11,5	fresa conica	QSD3211	replica per il posizionamento implantare	NTDI3211
3,25 mm x 13	fresa conica	QSD3213	replica per il posizionamento implantare	NTDI3213
3,25 mm x 15	fresa conica	QSD3215	replica per il posizionamento implantare	NTDI3215

### FRESA CONICA QSD E REPLICA PER IL POSIZIONAMENTO DELL'IMPIANTO CONICO DI 4 mm

Si usa a 1200-1500 giri al minuto.



4,0 mm x 8,5	fresa conica	QSD485	replica per il posizionamento implantare	NTDI485
4,0 mm x 10	fresa conica	QSD410	replica per il posizionamento implantare	NTDI410
4,0 mm x 11,5	fresa conica	QSD411	replica per il posizionamento implantare	NTDI411
4,0 mm x 13	fresa conica	QSD413	replica per il posizionamento implantare	NTDI413
4,0 mm x 15	fresa conica	QSD415	replica per il posizionamento implantare	NTDI415

### FRESA CONICA QSD E REPLICA PER IL POSIZIONAMENTO DELL'IMPIANTO CONICO DI 5 mm

Si usa a 1200-1500 giri al minuto.



5,0 mm x 8,5	fresa conica	QSD585	replica per il posizionamento implantare	NTDI585
5,0 mm x 10	fresa conica	QSD510	replica per il posizionamento implantare	NTDI510
5,0 mm x 11,5	fresa conica	QSD511	replica per il posizionamento implantare	NTDI511
5,0 mm x 13	fresa conica	QSD513	replica per il posizionamento implantare	NTDI513
5,0 mm x 15	fresa conica	QSD515	replica per il posizionamento implantare	NTDI515

### FRESA CONICA QSD E REPLICA PER IL POSIZIONAMENTO DELL'IMPIANTO CONICO DI 6 mm

Si usa a 1200-1500 giri al minuto.



6,0 mm x 8,5	fresa conica	QSD685	replica per il posizionamento implantare	NTDI685
6,0 mm x 10	fresa conica	QSD610	replica per il posizionamento implantare	NTDI610
6,0 mm x 11,5	fresa conica	QSD611	replica per il posizionamento implantare	NTDI611
6,0 mm x 13	fresa conica	QSD613	replica per il posizionamento implantare	NTDI613
6,0 mm x 15	fresa conica	QSD615	replica per il posizionamento implantare	NTDI615



## MASCHIATORI PER IMPIANTI CONICI

### MASCHIATORE CONICO DI 3,25 mm

Si usa con osso corticale denso dopo la fresa conica di 3,25 mm.



3,25 mm dia x 8,5 mm L.	NTAP3285
3,25 mm dia x 10,0 mm L.	NTAP3210
3,25 mm dia x 11,5 mm L.	NTAP3211
3,25 mm dia x 13,0 mm L.	NTAP3213
3,25 mm dia x 15,0 mm L.	NTAP3215

### MASCHIATORE CONICO DI 4,0 mm

Si usa con osso corticale denso dopo la fresa conica di 4,0 mm.



4,0 mm dia x 8,5 mm L.	NTAP485
4,0 mm dia x 10,0 mm L.	NTAP410
4,0 mm dia x 11,5 mm L.	NTAP411
4,0 mm dia x 13,0 mm L.	NTAP413
4,0 mm dia x 15,0 mm L.	NTAP415
4,0 mm dia x 18,0 mm L.	NTAP418
4,0 mm dia x 20,0 mm L.	NTAP420

### MASCHIATORE CONICO DI 5,0 mm

Si usa con osso corticale denso dopo la fresa conica di 5,0 mm.



5,0 mm dia x 8,5 mm L.	NTAP585
5,0 mm dia x 10,0 mm L.	NTAP510
5,0 mm dia x 11,5 mm L.	NTAP511
5,0 mm dia x 13,0 mm L.	NTAP513
5,0 mm dia x 15,0 mm L.	NTAP515

### MASCHIATORE CONICO DI 6,0 mm

Si usa con osso corticale denso dopo la fresa conica di 6,0 mm.



6,0 mm dia x 8,5 mm L.	NTAP685
6,0 mm dia x 10,0 mm L.	NTAP610
6,0 mm dia x 11,5 mm L.	NTAP611
6,0 mm dia x 13,0 mm L.	NTAP613
6,0 mm dia x 15,0 mm L.	NTAP615

## MASCHIATORI PER IMPIANTI CILINDRICI

### MASCHIATORE PER IMPIANTI DI 3,5 mm

Si usa solo con osso corticale denso.



18 mm	MTAP1
27 mm	MTAP2

### MASCHIATORE PER IMPIANTI DI 3,75 E 4 mm

Si usa solo con osso corticale denso.



7-10 mm	TAP10
7-13 mm	TAP13
7-20 mm	TAP20

### MASCHIATORE PER IMPIANTI DI 5 mm

Si usa per preparare la maschiatura finale.



7-8,5 mm	TAP58S
7-13 mm	TAP53S
7-18 mm	TAP518S

### MASCHIATORE PER IMPIANTI DI 6 mm

Si usa per preparare la maschiatura finale.



7-8,5 mm	TAP68S
7-13 mm	TAP63S
7-18 mm	TAP618S

### MASCHIATORE PER IMPIANTI DI 5 e 6 mm T3<sup>®</sup> e con ESAGONO ESTERNO FULL OSSEOTITE



7-8,5 mm	XTAP58S/XTAP68S
7-13 mm	XTAP53S/XTAP63S
7-18 mm	XTAP518S/XTAP618S

## FRESE MONOUSO

### FRESE PER LA PREPARAZIONE INIZIALE MONOUSO



Fresa rotonda 2 mm	RD100SP
Fresa a punta	ACTPSDSP
Fresa pilota 2/3 mm	PD100SP
Preparatore di spalla 4,1 mm	CD100SP
Preparatore di spalla/Fresa pilota 5,0 mm	CD500SP
Preparatore di spalla/Fresa pilota 6,0 mm	CD600SP

### FRESE CONICHE QSD MONOUSO



Larghezza mm	Diam. 3,25mm	Diam. 4,0mm	Diam. 5,0mm	Diam. 6,0mm
8,5	QSD3285SP	QSD485SP	QSD585SP	QSD685SP
10	QSD3210SP	QSD410SP	QSD510SP	QSD610SP
11,5	QSD3211SP	QSD411SP	QSD511SP	QSD611SP
13	QSD3213SP	QSD413SP	QSD513SP	QSD613SP
15	QSD3215SP	QSD415SP	QSD515SP	QSD615SP

### FRESE A SPIRALE (ACT™) MONOUSO



Lunghezza impianto mm	Lunghezza Fresa mm	Diam. 2,0	Diam. 2,75	Diam. 3,0	Diam. 3,15	Diam. 3,25	Diam. 3,85
7-10	10	ACT2010SP	ACT2710SP	ACT3010SP	ACT3110SP	ACT3210SP	ACT3810SP
7-15	15	ACT2015SP	ACT2715SP	ACT3015SP	ACT3115SP	ACT3215SP	ACT3815SP
7-20	20	ACT2020SP	ACT2720SP	ACT3020SP	ACT3120SP	ACT3220SP	ACT3820SP

Lunghezza impianto mm	Lunghezza Fresa mm	Diam. 4,25	Diam. 4,85	Diam. 5,25
7-8,5	8,5	ACT4285SP	ACT4885SP	ACT5285SP
7-13	13	ACT4213SP	ACT4813SP	ACT5213SP
7-18	18	ACT4218SP	ACT4818SP	ACT5218SP



>>  
Immagine della nuova fresa monouso prima e dopo l'utilizzo:  
la porzione colorata appare deformata dopo un solo  
utilizzo e la fresa non può essere quindi riutilizzata

PRIMA

DOPO

## DISPOSITIVI PER L'INSERIMENTO DELL'IMPIANTO Certain®

### NUOVI STRUMENTI DI INSERIMENTO UNIVERSALI Certain® CON TECNOLOGIA GemLock®

I nuovi strumenti di inserimento universali per gli impianti ZimmerBiomet con la connessione interna Certain® sono progettati per offrire ai clinici **uno strumento di inserimento sempre più affidabile e ritentivo per posizionare gli impianti Certain® con il micromotore chirurgico.**

Grazie alla tecnologia **GemLock®** i nuovi strumenti di inserimento offrono un **controllo e una precisione migliori** grazie alla ritenzione garantita dai rubini sintetici, mantenuti in tensione con un dispositivo elastico, che ingaggiano e trattengono lo strumento all'interno della connessione.

Gli strumenti di inserimento universali per la connessione interna Certain® sono stati creati per soddisfare le diverse esigenze di utilizzo:

- progettati per sollevare e trasportare **gli impianti con connessione interna Certain®, i pilastri di guarigione e le viti di copertura** si disimpegnano facilmente quando i componenti sono stati posizionati.
- disponibili in configurazioni **corta e lunga.**
- **universalmente compatibili con tutti i diametri della piattaforma Certain®.**



IIPDTUL Connessione **LUNGA** per contrangolo per inserimento impianto Certain® Ø 3,4 / 4,1 / 5,0 / 6,0

IIPDTUS Connessione **CORTA** per contrangolo per inserimento impianto Certain® Ø 3,4 / 4,1 / 5,0 / 6,0



### STRUMENTI MANUALI UNIVERSALI PER L'INSERIMENTO DELL'IMPIANTO Certain®



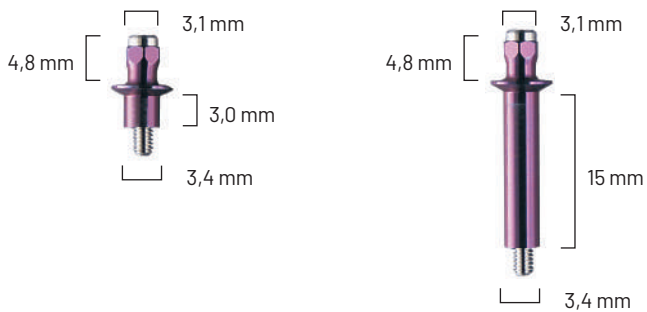
IRE200U Strumento **LUNGO** per inserimento manuale impianto Certain® Ø 3,4 / 4,1 / 5,0 / 6,0

IRE100U Strumento **CORTO** per inserimento manuale impianto Certain® Ø 3,4 / 4,1 / 5,0 / 6,0

## DISPOSITIVI DI MONTAGGIO PER IMPIANTI CON ESAGONO ESTERNO

### DISPOSITIVO DI MONTAGGIO PER IMPIANTI CON PIATTAFORMA DI 3,4 mm

In titanio puro anodizzato in viola.



3 mm	MMC03
15 mm	MMC15

### DISPOSITIVO DI MONTAGGIO LUNGO PER IMPIANTI CON PIATTAFORMA DI 4,1 mm

In titanio puro, il suo disegno permette di accedere alle regioni adiacenti alla dentatura naturale, alle regioni interdentali e alla regione mandibolare anteriore.

Si usa con MDR10, RE100 e RE200.



	IC015
--	-------

#### SISTEMA DI DELIVERY NO-TOUCH

Il sistema di posizionamento degli impianti a vite "No-Touch" permette di trasportare e posizionare con precisione nel sito implantare l'impianto in condizioni assolutamente sterili. Il dispositivo di montaggio monouso è colorato ed è facilmente distinguibile dall'impianto.

## STRUMENTI PER L'INSERIMENTO DELL'IMPIANTO CON ESAGONO ESTERNO



### CHIAVE APERTA

Si usa per inserire e rimuovere i dispositivi di montaggio degli impianti con esagono esterno con il driver o la connessione con esagono grande. Il suo disegno agevola l'operatore specie nei casi parzialmente edentuli.

CW100



### CHIAVE CILINDRICA

Si usa durante la fase finale dell'inserzione dell'impianto, la fase finale della maschiatura o per eseguire manualmente le due funzioni della maschiatura e dell'avvitamento dell'impianto. Si usa con gli attacchi di modifica (RE100, RE200, IRE100 e IRE200).

WR150



### ATTACCO DI MODIFICA

Si usa con la chiave cilindrica per avvitare i dispositivi di montaggio e i maschiatori.

6 mm	RE100
15 mm	RE200



### CONNESSIONE PER MASCHIATORI E DISPOSITIVI DI MONTAGGIO

Si usa per avvitare meccanicamente i maschiatori e i dispositivi di montaggio.

MDR10



standard



corto

### ADATTATORE PER CONNESSIONI ISO 1797

Permette di trasformare le connessioni per contrangolo in strumenti manuali.

Utilizzabile anche con strumento L-TIRW.

standard	C9980
corto	C9981

## DRIVER E CONNESSIONI CHIRURGICHE



### DRIVER CON ESAGONO PICCOLO

Si usa per avvitare le viti di copertura degli impianti con esagono esterno.

17 mm	PHD00N
24 mm	PHD01N



### CONNESSIONE CON ESAGONO PICCOLO

Si usa con il manipolo normale o manuale per avvitare le viti di copertura degli impianti con esagono esterno e le viti di protezione.

24 mm	RASH2N
30 mm	RASH7N



### DRIVER CON ESAGONO GRANDE

Si usa per avvitare i dispositivi di montaggio degli impianti con esagono esterno, le viti di copertura degli impianti Certain® e i pilastri di guarigione.

17 mm	PHD02N
24 mm	PHD03N



### CONNESSIONE CON ESAGONO GRANDE

Si usa per avvitare i dispositivi di montaggio degli impianti con esagono esterno, le viti di copertura degli impianti Certain® e i pilastri di guarigione.

24 mm	IHX1.2D
30 mm	IXL1.2D



### CONNESSIONE PER VITE DI COPERTURA

Si usa per prelevare dalla confezione le viti di copertura e avvitare sull'impianto con piattaforma di 4,1 mm.

CSI10
-------

## DRIVER MECCANICI



H-TIRW

### STRUMENTO controllo torque 50-90 Ncm H-TIRW contiene:

chiave chirurgica controllo di torque	H-TIRW
adattatore quadrato 4x4	C11108

Per maggiori dettagli vedi anche pag 179

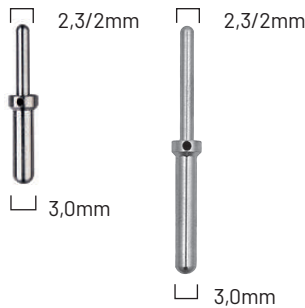
## MISURATORI E INDICATORI DI PROFONDITÀ



### MISURATORE STANDARD DI PROFONDITÀ

Semplifica la misurazione di profondità dopo la fresa di 2,3 mm. Si usa per il rialzo della mucosa del seno nei casi in cui è necessario oltrepassare il pavimento del seno. La sfera apicale consente di effettuare un esame tattile del sito preparato.

DP020



### INDICATORE DI DIREZIONE

In titanio puro, si usa per indicare l'angolazione del sito, nonché per controllare il parallelismo e il flusso sanguigno eccessivo le sue estremità sono rispettivamente di 2, 2,3 e 3 mm di diametro.

2,0 mm dia x 10 mm	DI100
2,0 mm dia x 15 mm	DI200
2,3 mm dia x 10 mm	DI2310
2,3 mm dia x 15 mm	DI2315

### INDICATORE DI DIREZIONE Certain®

Si inserisce sull'impianto Certain® per guidare il posizionamento dell'impianto adiacente.



2,0 mm dia x 10 mm	IDIM01
2,3 mm dia x 10 mm	IDI001





### CILINDRETTO RADIOGRAFICO

In titanio puro, le tacche coincidono con le diverse lunghezze degli impianti. Si usano dopo le frese spirali di 2 e 3 mm per verificare tramite radiografia endorale la profondità del sito preparato.

XDG00  
contiene

7-13 mm (3 p.)

13-20 mm (2 p.)

## STRUMENTI AUSILIARI PER FRESE



### PROLUNGA PER FRESE

Serve per allungare le frese e le connessioni. Semplifica la preparazione nelle zone adiacenti ai denti anteriori.

ACTDE

## STRUMENTI AUSILIARI PER CHIRURGIA IMPLANTARE



### FRESE CAROTATRICI OSSEE

DIAMETRO ESTERNO	DIAMETRO INTERNO	
3 mm	2 mm	TRE02
5 mm	4 mm	TRE04
6 mm	5 mm	TRE05
7 mm	6 mm	TRE06
9,3 mm	8 mm	TRE08



### ELEVATORE IN TITANIO

Si usa durante la fase chirurgica per evitare la contaminazione degli ossidi di titanio sull'impianto.

TE003



### INDEX COPING CHIRURGICO

Registra la posizione esatta degli impianti con esagono esterno durante la prima fase chirurgica. Permette di preparare la protesi provvisoria o di selezionare il pilastro prima della seconda fase chirurgica. Disponibile solo per l'impianto con piattaforma di 4,1 mm.

IC100

# STRUMENTI PER LA SECONDA FASE CHIRURGICA

## BONE PROFILER

### MODELLATORE DELLA CRESTA OSSEA

Il Bone Profiler è stato ideato per modellare l'osso nella zona coronale dell'impianto durante la seconda fase chirurgica. Il modellamento osseo favorisce un alloggiamento corretto dei pilastri di guarigione, dei componenti protesici, del coping per impronta e della protesi finale. Il nuovo design monocomponente elimina la necessità di perni guida separati. Il design a scatto della connessione consente di utilizzare un singolo bone profiler, con un contrangolo o manualmente con l'apposito adattatore ISO C9980.



#### Descrizione

- Bone Profiler 3.4 mm (D) x 3.8 mm (P)
- Bone Profiler 3.4 mm (D) x 5.0 mm (P)
- Bone Profiler 4.0 mm (D) x 5.0 mm (P)
- Bone Profiler 4.0 mm (D) x 6.0 mm (P)
- Bone Profiler 4.0 mm (D) x 7.5 mm (P)
- Bone Profiler 5.0 mm (D) x 5.5 mm (P)
- Bone Profiler 5.0 mm (D) x 6.0 mm (P)
- Bone Profiler 5.0 mm (D) x 7.5 mm (P)
- Bone Profiler 6.0 mm (D) x 6.8 mm (P)
- Bone Profiler 6.0 mm (D) x 7.5 mm (P)



#### Codice Bone Profiler Connessione Certain®

- BPC3438
- BPC3450
- BPC4150
- BPC4160
- BPC4175
- BPC5055
- BPC5060
- BPC5075
- BPC6068
- BPC6075

#### Codice Bone Profiler Esagono Esterno

- BPX3438
- BPX3450
- BPX4150
- BPX4160
- BPX4175
- BPX5055
- BPX5060
- BPX5075
- BPX6068
- BPX6075



#### Descrizione

- Bone Profiler per Low Profile 3.4 mm (D)
- Bone Profiler per Low Profile 4.0 mm (D)
- Bone Profiler per Low Profile 5.0 mm (D)



#### Codice Bone Profiler Low Profile Connessione Certain®

- BPCLP34
- BPCLP41
- BPCLP50

#### Codice Bone Profiler Low Profile Esagono Esterno

- BPXLP34
- BPXLP41
- BPXLP50



## STRUMENTI PER LA SECONDA FASE CHIRURGICA



### PERFORATORE GENGIVALE

Si usa per esporre l'impianto durante la seconda fase chirurgica in presenza di poca gengiva e per rimuovere i tessuti che ostacolano l'alloggiamento passivo del pilastro.

4 mm	TP001
5 mm	TP005
6 mm	TP006



### MISURATORE GENGIVALE

Misura l'altezza dei tessuti dopo l'esposizione dell'impianto. Permette di scegliere l'altezza giusta del pilastro.

TMP80
-------

## OSTEOTOMI DI Summers™

### KIT DI OSTEOTOMI DI SUMMERS™

In acciaio. Sono usati per preparare il sito implantare nelle regioni mascellari con osso tenero. Il kit include quattro tipologie di osteotomi: OST01, OST02, OST03 e OST04. Gli osteotomi OST05 e OSTFS sono disponibili a parte.



kit di osteotomi di Summers	OST00
-----------------------------	-------

Sonda iniziale di penetrazione dell'osso si usa in sostituzione della fresa spirale.



Punta: Ø 1,6 mm a 10 mm: Ø 2,4 mm	OST01
-----------------------------------	-------

Per allargare il sito sottoposto all'osteotomia si usa per iniziare l'espansione della cresta e comprimere l'osso tenero. Si può utilizzare per ottenere un sito leggermente più piccolo rispetto ad un impianto di 3,25 mm.



Punta: Ø 1,9 mm a 10 mm: Ø 3,1 mm	OST02
-----------------------------------	-------

Si usa per ottenere un sito leggermente più piccolo rispetto a un impianto di diametro standard (3,75 o 4,0 mm).



Punta: Ø 2,8 mm a 10 mm: Ø 3,3 mm	OST03
-----------------------------------	-------

Si usa per ottenere un sito leggermente più piccolo rispetto a un impianto di largo diametro. Viene anche usato come preparatore di spalla quando si utilizza OST03 per inserire impianti di diametro standard (3,75 o 4,0 mm).



Punta: Ø 3,1 mm a 10 mm: Ø 3,9 mm	OST04
-----------------------------------	-------

Si usa per ottenere un sito leggermente più piccolo rispetto a un impianto di largo diametro (6,0 mm).



Punta: Ø 3,9 mm a 10 mm: Ø 5,0 mm	OST05
-----------------------------------	-------

Si usa quando, in presenza di scarsa altezza di osso nella zona del seno mascellare, è necessario creare un rialzo del seno o effettuare la frattura della cresta per posizionare l'impianto in un periodo successivo.



Punta: Ø 5,5 mm a 10 mm: Ø 6,2 mm	OSTFS
-----------------------------------	-------

## OSTEOTOMI CONICI

### OSTEOTOMI DRITTI E ANGOLATI PER IMPIANTI CONICI

Sono usati per preparare il sito implantare per il posizionamento degli impianti conici nelle regioni mascellari con osso tenero.




---

KIT OSTEOTOMI CONICI DRITTI                      NTOST0

---




---

KIT OSTEOTOMI CONICI ANGOLATI                      NTOST0A

---

## LODI Kit chirurgico e strumentario



07357	LOCATOR® Implant Latch Driver
07360	LOCATOR® Implant Driver, Short
07361	LOCATOR® Implant Driver, Long
07362	Torque Indicating Wrench
07463	Torque Wrench Insert
08926	LOCATOR® Square Driver Torque Wrench Insert
08393	LOCATOR® Core Tool
08390	LOCATOR® Core Tool Abutment Driver (Gold End)
08397	LOCATOR® Core Tool Abutment Driver (Tip End)
08394	LOCATOR® Abutment Holder Sleeve (4 Pack)
07305	Drill Extender
07365	Direction Indicator
07373	LOCATOR® Implant Rotary Tissue Punch, 3.7mmD
07534	LOCATOR® Implant Rotary Tissue Punch, 5.8mmD
07537	Starter Drill, 1.5mm
07538-SB	● DLC Drill, 1.6mm
07539-SB	● DLC Drill, 2.1mm
07540-SB	● DLC Drill, 2.4mm
07541-SB	● DLC Drill, 2.6mm
07542-SB	● DLC Drill, 2.9mm
07543-SB	○ DLC Drill, 3.2mm
07544-SB	● DLC Drill, 3.6mm
07545-SB	● DLC Drill, 4.1mm
07546-SB	● DLC Drill, 4.6mm

# LODI Kit chirurgico e strumentario



07533 Narrow Ridge Drill Stops 4, 6, 8, 10, 12, 14mm



07536 Standard Ridge Drill Stops 4, 6, 8, 10, 12, 14mm



07556 Cortical Drill 3.3mm



07557 Cortical Drill 3.7mm



07558 Cortical Drill 4.3mm



07559 Cortical Drill 4.8mm

07560 Standard Surgical Tray

07561 LOCATOR® Implant Surgical Kit

07564 LOCATOR® Implant Premium Surgical Kit

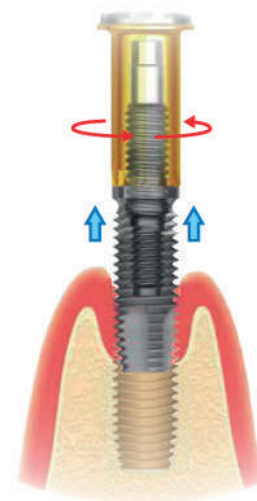


09120 LOCATOR® Implant Patient Education Model

The diagram illustrates the ZD ZEST DENTAL Standard Kit components. At the top, nine LOCATOR® IMPLANTS STANDARD KIT bits are shown with diameters from Ø1.6 to Ø4.6. Below them are various drill bits categorized into STARTER, TISSUE PUNCH, DRIVERS, LOC. DRIVER, and EXTRA. A RATCHET INSERT is also shown. The kit includes two sets of ridge drill stops: NARROW RIDGE DRILL STOP (4, 6, 8, 10, 12, 14mm) and STANDARD RIDGE DRILL STOP (4, 6, 8, 10, 12, 14mm). A RATCHET INSERT is shown with size options for SOFT and DENSE bone. DIRECTION INDICATORS and an EXTRA bit are also included. A detailed view of the RATCHET INSERT shows size options: 2.4, 2.9, 3.5, 3.9, 4.4, 4.9. A detailed view of the EXTRA bit shows size options: 12, 8, 14, 10. At the bottom, two additional tools are shown: a long-handled driver and a ratchet handle. A note states: "Inclusi solo nel kit 'Premium'".

## KIT UNIVERSALE per RIMOZIONE IMPIANTI – FRKIT

- Per rimuovere facilmente, senza traumi, anche un impianto osteointegrato  
Impianti che possono essere candidati alla rimozione: impianti fratturati, gravi perimplantiti, impianti infetti, impianti con gravi perdite di osso coronale, impianti malposizionati, impianti con connessioni o filettature danneggiate.
- Per evitare l'uso delle frese carotatrici (trephine) che distruggono l'osso circostante, sono difficili da usare e possono generare complicanze.
- Per riposizionare subito l'impianto dello stesso diametro e nella stessa posizione se necessario.




Due componenti: una vite che si avvita in senso orario nell'impianto e uno strumento di rimozione che si avvita in senso antiorario

La rimozione avviene con una rotazione antioraria con una chiave ad alto torque (450 Ncm)

Può essere utilizzato su diversi sistemi implantari

## COMPONENTI DEL KIT

### DRIVER ESAGONALE

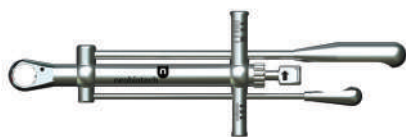
	Lunghezza (mm)	codice
	7.0	HDF 1607
	12.0	HDF 1612
	17.0	HDF 1617

### VITE PER RIMOZIONE



dimensione vite	codice
M 1.4	FRS 14
M 1.6	FRS 16
M 1.8	FRS 18
No 1-72 UNF	FRS 172
M 2.0	FRS 20
M 2.5	FRS 25

### CHIAVE CILINDRICA CON INDICAZIONE DEL TORQUE



FRCHT TW 80400

### STRUMENTO DI RIMOZIONE



dimensione impianto	lunghezza	codice
stretto 3.5	15.0	FR315
	20.0	FR320
regolare 4.0	15.0	FR415
	20.0	FR420
largo 5.0	15.0	FR515
	20.0	FR520
largo 6.0	15.0	FR615
	20.0	FR620

Per ulteriori dettagli si consiglia di consultare il manuale d'uso FRKIT



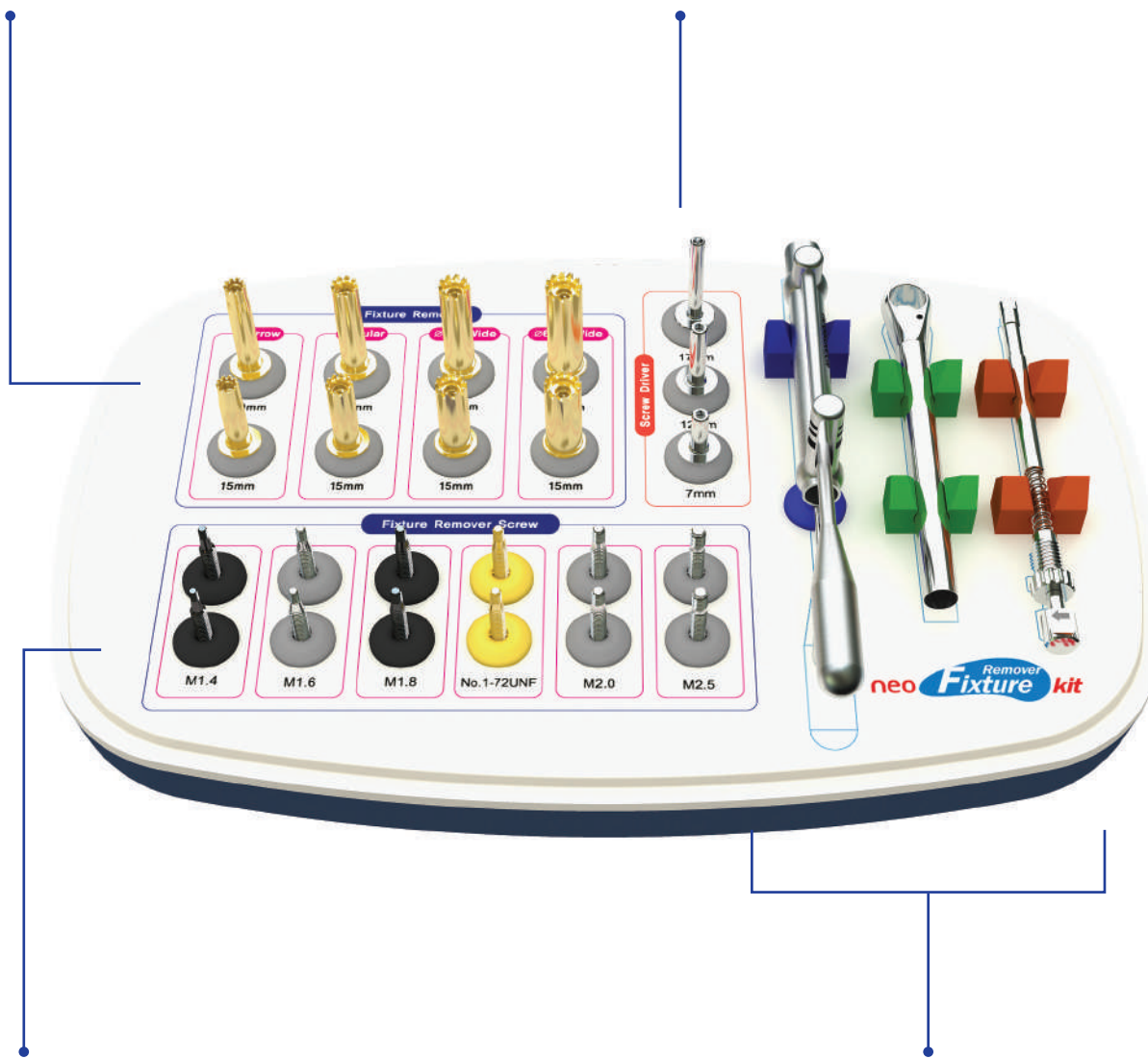


### STRUMENTO DI RIMOZIONE

Il KIT include 4 diametri:  
 $\varnothing 3,5 / \varnothing 4 / \varnothing 5 / \varnothing 6$   
 con 2 lunghezze: 15 e 20 mm

### DRIVER ESAGONALE

Il KIT include 3 lunghezze: 7, 12 e 17 mm



### VITE PER RIMOZIONE

Il KIT include 6 diametri (2 di ognuno):  
 M1.4 / M1.6 / M1.8 / No1-72 UNF / M2.0 / M2.5



### CHIAVE CILINDRICA

CON INDICAZIONE DEL TORQUE  
 Il KIT include una chiave cilindrica  
 con indicazione del torque (da assemblare)





# Tecnologie Chirurgiche di Supporto

- 84 – Tooth Transformer®
- 86 – Unità Operativa Chirurgica Implantmed

# Tooth Transformer<sup>®</sup>

Il Tooth Transformer<sup>®</sup> è un sistema innovativo brevettato in grado di trasformare un dente in materiale autologo per la rigenerazione ossea. In pochi minuti un dente estratto viene processato in modo del tutto automatico e trasformato in un materiale da innesto dalle caratteristiche ottimali.

TT8001



Il dente, come l'osso, è composto di collagene tipo 1 e minerali di idrossiapatite (HA). L'idrossiapatite del dente è ad elevata cristallinità e non è riassorbibile.

Il **Tooth Transformer<sup>®</sup>** riduce la cristallinità dell'**idrossiapatite** e mediante la sua esclusiva procedura rende disponibili **le proteine morfogenetiche e i fattori di crescita presenti nella dentina**. Il particolato ottenuto è in grado di determinare un meccanismo di **osteoinduzione**, in

grado di **stimolare l'adesione, la proliferazione e la differenziazione cellulare** durante la rigenerazione ossea.

L'innesto così creato è sicuro perché viene completamente eliminata la carica batterica. Presenta un'assoluta **biocompatibilità** ed è esente da reazioni avverse immunologiche. **L'elevata bagnabilità** permette una grande facilità di utilizzo e favorisce la rigenerazione ossea.

-----CONTENUTO-----

-----COMPOSIZIONE-----	INORGANICO	ORGANICO	CRISTALLINO
smalto	96%	4%	HA (β-TCP) High density
dentina	65%	35%	HA (β-TCP) Low density
cemento	50-55%	45-50%	HA
osso alveolare	65%	35%	HA (β-TCP) Low Ca/P ratio
dentina demineralizzata	55%	45%	HA (β-TCP) Low Ca/P ratio

La dentina e il tessuto osseo hanno una composizione chimica pressochè identica.

Bhaaker SN: Orban's Oral Histology and Embryology  
5th edition Mosby 1980

## Tooth Grinder<sup>®</sup>

I frammenti di dente vengono posizionati nel Tooth Grinder<sup>®</sup>.

È l'unica parte del Tooth Transformer<sup>®</sup> che richiede manutenzione, deve essere sterilizzata ad ogni ciclo di preparazione.

Il contenitore è prodotto in una resina ceramizzata, le lame sono in acciaio chirurgico e lavorano a bassissimi giri.



Dotato di apposite lame che triturano il dente

TT8004

## Kit monouso di trasformazione TT

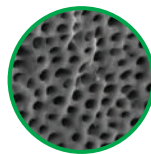
Il kit di trasformazione TT permette di ottenere la disinfezione e la demineralizzazione del dente; è monouso e sterile per poter essere utilizzato in sala chirurgica. Viene inserito nel Tooth Transformer<sup>®</sup> all'inizio del ciclo di trasformazione, che avviene in modo del tutto automatico senza intervento dell'operatore.



Cartuccia dei liquidi / Cilindro di raccolta dei liquidi / Maker del preparato granulare

TT8002

Dentina demineralizzata  
vista al SEM



Dente autologo preparato con TT

La consistenza del dente autologo preparato con Tooth Transformer<sup>®</sup> è molto plastica e facilmente lavorabile.



osso bovino demineralizzato

osso autologo prelevato con grattino da osso

## Tooth Fairy

Contenitori per denti estratti

Conf 10 pz

TT8008



# UNITÀ OPERATIVA CHIRURGICA IMPLANTMED

SICURO, SEMPLICE, FLESSIBILE

## OSTEOTOMIA

Coppia pari a 6,2 Ncm per tutte le qualità ossee e fluido di raffreddamento di 90 ml/min per evitare necrosi.

## MASCHIATURA

Nessuna perdita di tessuto osseo e guarigione senza stress con la funzione maschiatura meccanica.

## INSERIMENTO DI IMPIANTI

Inserimento controllato di tutti i tipi di impianto con una coppia massima di 80 Ncm.

SI-1023



### Stabilità misurabile

Grazie a Osstell ISQ Module, acquistabile come accessorio, la stabilità dell'impianto può essere valutata con precisione.

### Avvitamento sicuro

Il controllo coppia automatico garantisce la necessaria sicurezza. Possibilità di regolazione da 5 a 80 Ncm.

### Per l'assistente

La pompa di nuova concezione consente un'applicazione rapida e sicura del tubo di raffreddamento.

### Luce continua

Con il nuovo motore EM-19 LC con connessione elettrica LED+, acquistabile come accessorio, la luce migliore sempre, anche a bassi giri durante l'inserimento dell'impianto.

### Pedale senza fili

Con il controllo al piede senza cavi, acquistabile come accessorio, è possibile scegliere liberamente la sede ottimale nell'area operativa. Ciò significa elevata sicurezza all'interno dell'area di trattamento.

### Lavoro senza fatica

La combinazione con il motore elettrico EM-19 ultra-compatto consente di eseguire lunghi interventi senza affaticamento.

### Guarigione senza stress

La funzione di maschiatura meccanica supporta l'operatore nell'inserimento di impianti sull'osso duro. È così possibile evitare di comprimere l'osso.

### Nuovo facile e intuitivo

Touchscreen colorato con guida a menu facilitata. Display in vetro facilmente pulibile. Durante il trattamento si evidenziano solo le principali funzioni. Personalizzabile da diversi chirurghi.

OPZIONI DISPONIBILI



**LED+**  
**Configurazione**  
**LUCE AUTOGENERATA**  
Versione con contrangolo  
WS-75 LG



**Configurazione**  
**PEDALE WIRELESS**  
Versione con pedale  
senza filo



**LED+**  
**Configurazione**  
**LUCE CONTINUA**  
Versione con cavo motore con  
connessione elettrica LED+  
e contrangolo WS-75 L



**Configurazione**  
**ISQ OSSTELL**  
Versione con modulo  
ISQ OSSTELL

CONTRANGOLI E MANIPOLI



CONTRANGOLO  
**WS-75 L**  
contrangolo 20:1  
Mini LED +  
Raffreddamento  
esterno



CONTRANGOLO  
**WS-75 L G**  
contrangolo 20:1  
Mini-LED+  
Spray singolo  
Generatore



CONTRANGOLO  
**WI-75 E/KM**  
contrangolo 20:1  
Spray singolo  
Non smontabile



CONTRANGOLO  
**WS-91 L 45°**  
contrangolo 1:2,7  
Mini LED +  
Spray triplo



MANIPOLO DRITTO  
**S-11 L G**  
manipolo 1:1  
Mini LED +  
Raffreddamento  
esterno





# Protesi

- 90 – Tecnologia Innovativa della Connessione Interna Certain®
- 91 – Proprietà Tecniche della Connessione Certain®
- 92 – Zero Rotation™
- 93 – Gold-Tite®
- 93 – Effetto del disegno delle viti sulla sigillatura
- 94 – Sistema Encode

## COMPONENTI PROTESICI PER IMPIANTI PIATTAFORMA DI 4,1 mm

- 96 – Pilastrini di Guarigione
- 98 – Pilastrino Gingihue®
- 100 – Pilastrino Ucla
- 102 – Pilastrino Low Profile
- 104 – Pilastrino Overdensure®

## COMPONENTI PROTESICI PER IMPIANTI PIATTAFORMA DI 3,4 mm

- 106 – Pilastrini di Guarigione
- 108 – Pilastrino Gingihue®
- 110 – Pilastrino Ucla
- 112 – Pilastrino Low Profile
- 114 – Pilastrino Overdensure®

## COMPONENTI PROTESICI PER IMPIANTI PIATTAFORMA DI 5,0 mm

- 116 – Pilastrini di Guarigione
- 118 – Pilastrino Gingihue®
- 120 – Pilastrino Ucla
- 122 – Pilastrino Low Profile
- 124 – Pilastrino Overdensure®

## COMPONENTI PROTESICI PER IMPIANTI PIATTAFORMA DI 6,0 mm

- 126 – Pilastrini di Guarigione
- 128 – Pilastrino GingiHue®
- 130 – Pilastrino Ucla

- 132 – Pilastrini e Accessori per Impianti Lodi

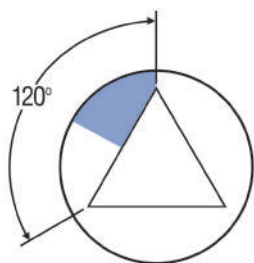
## TECNOLOGIA INNOVATIVA DELLA CONNESSIONE INTERNA Certain®

IL DISEGNO CERTAIN® OFFRE AI CHIRURGI MAGGIORE FACILITÀ NELL'INSERIMENTO DELL'IMPIANTO.



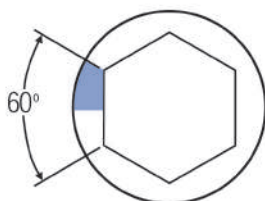
La connessione interna con esagono o dodecagono dell'impianto Osseotite® Certain® garantisce un'ampia flessibilità nel posizionamento a 360° dell'impianto, permettendo di poter disporre di 6 diverse posizioni per i pilastri dritti e di 12 posizioni per i pilastri preangolati.

Questo permette di posizionare i pilastri preangolati con scarti rotazionali di 30° e di aumentare significativamente (fino a quattro volte) flessibilità e versatilità rispetto a quanto si può ottenere con altri impianti a connessione interna disponibili sul mercato.



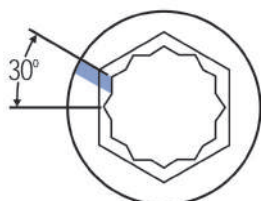
### IMPIANTO A CONNESSIONE INTERNA DI TIPO A

Grado potenziale di errore per l'orientamento del pilastro: 60°



### IMPIANTO A CONNESSIONE INTERNA DI TIPO B

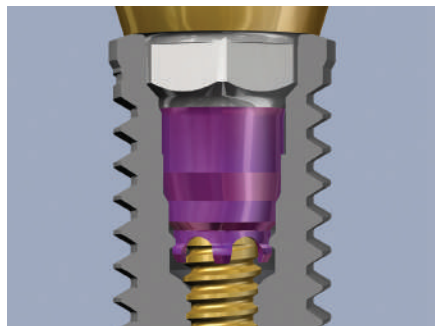
Grado potenziale di errore per l'orientamento del pilastro: 30°



### IMPIANTO A CONNESSIONE INTERNA Certain®

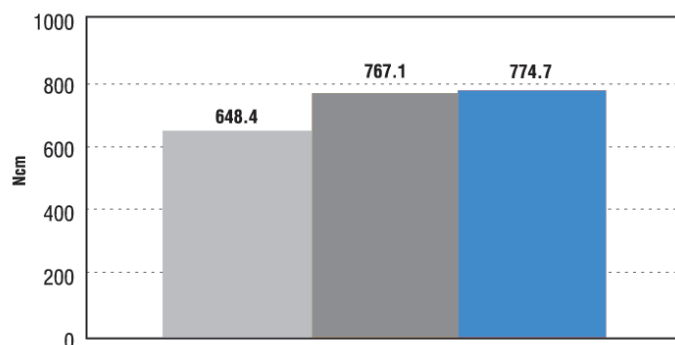
Grado potenziale di errore per l'orientamento del pilastro: 15°

## PROPRIETÀ TECNICHE DELLA CONNESSIONE Certain®



Studi comparativi approfonditi hanno dimostrato che, grazie alla profondità di impegno di 4 mm (vedere figura a fianco) dell'interfaccia interna impianto-pilastro, si ottiene una connessione con stabilità superiore alla media grazie a un'ampia area di contatto.

L'applicazione di un torque di soli 20 Ncm alla vite di fissaggio (Gold-Tite®) è sufficiente a garantire una solidità superiore rispetto a quella ottenuta applicando 35 Ncm a sistemi con esagono esterno. Le spesse pareti a livello coronale aumentano la resistenza a lungo termine della connessione.

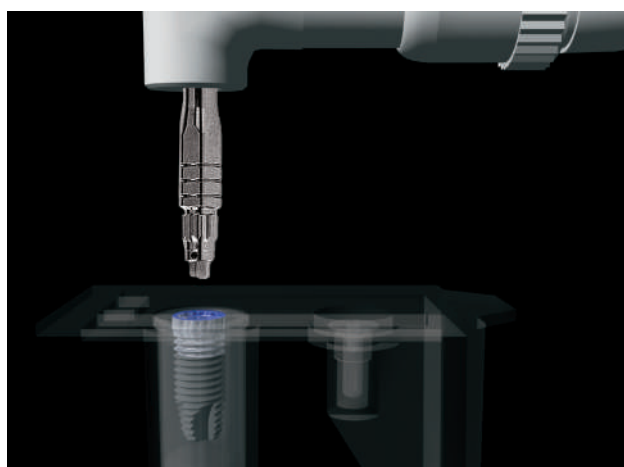


**TAB. 1**  
**Basso torque di avvitamento**  
**Carico statico a 30°**

- connessione esterna - 35 Ncm di pre-torque applicati
- connessione interna - 20 Ncm di pre-torque applicati
- connessione interna - 35 Ncm di pre-torque applicati

Il design dell'impianto Certain® aumenta la resistenza e riduce le cause di stress meccanico (Tab. 1) grazie alla particolare geometria che incrementa la stabilizzazione della connessione impianto-pilastro.

La connessione Certain® con un torque di avvitamento di 20 Ncm è più resistente della connessione con esagono esterno con un torque di 35 Ncm. L'aumentare il torque da 20 a 35 Ncm non aumenta significativamente il pre-torque in caso di utilizzo di impianti con connessione Certain®.



### PROCEDURA DI INSERIMENTO IMPLANTARE SEMPLIFICATA PER IL PRELIEVO E L'AVVITAMENTO DELL'IMPIANTO E DELLA VITE DI COPERTURA



Grazie all'inserimento No-Touch non c'è necessità di rimuovere il dispositivo di montaggio.

È facile da usare, specialmente laddove lo spazio è limitato e può essere utilizzato anche per prelevare sia la vite di copertura che la vite di guarigione (figure a sinistra).

## Zero Rotation™

La Biomet 3i è riconosciuta come leader indiscusso nella produzione di componentistica protesica ad elevatissima precisione.

La continua ricerca dell'innovazione e della precisione nella costruzione della componentistica protesica è alla base di ogni suo progetto di ricerca e sviluppo.

Partendo dalle reali esigenze cliniche e mutuando esperienze da altri settori ad elevato contenuto tecnologico (come per esempio da quello aerospaziale), la Biomet 3i ha sviluppato prodotti e dispositivi che aumentano sensibilmente la predicibilità di successo dei trattamenti implantoprotesici. Essa ha per prima approfondito e risolto la problematica legata alle imprecisioni rotazionali orizzontali.

La microrotazione del pilastro sull'esagono dell'impianto può favorire l'allentamento e la rottura delle viti protesiche (Fig. 1).

L'introduzione della tecnologia Zero Rotation™ ha permesso di abbattere l'angolo medio di rotazione da 4°-6° a soli 0,4°.

All'interno dei vertici dell'esagono del pilastro Zero Rotation™ sono stati sviluppati sei "micro-stop" che, adattandosi perfettamente e passivamente all'esagono dell'impianto, non consentono al componente protesico la possibilità di ruotare (Fig. 2).

L'applicazione della tecnologia Zero Rotation™ a tutti i pilastri della linea protesica Biomet 3i ha virtualmente eliminato la frequenza dei casi di svitamento dei componenti protesici.

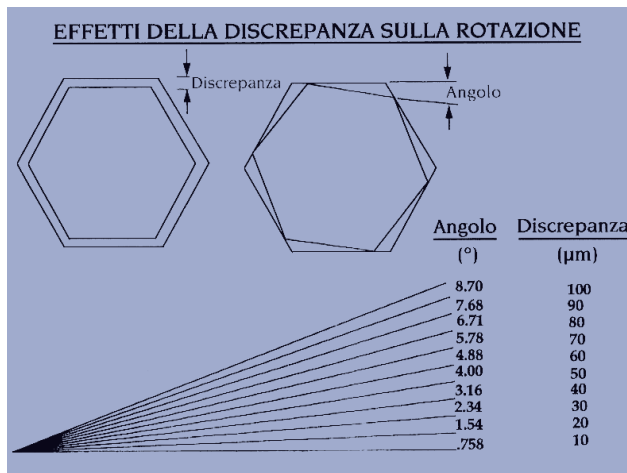


Fig. 1

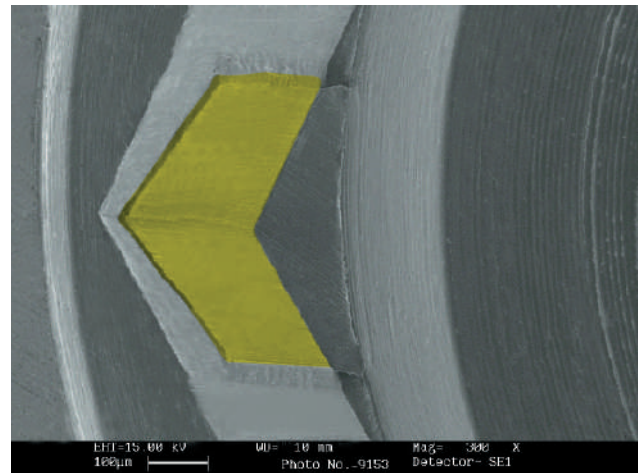


Fig. 2

## Gold-Tite®



Dopo numerosi studi sul disegno e sulle proprietà fisiche delle viti protesiche, la Biomet 3i ha sviluppato la vite "bimetallica" Gold-Tite® rivestita da uno strato superficiale di oro a 24 carati dalle impareggiabili proprietà meccaniche di duttilità e malleabilità.

La presenza contemporanea dei due metalli garantisce la solidità strutturale della vite e la perfetta adattabilità alla struttura interna dell'impianto grazie alla modificabilità dello strato superficiale e all'omogenea distribuzione delle forze lungo le spire della filettatura interna dell'impianto (Fig. 3).

L'utilizzo della tecnologia Gold-Tite® permette l'aumento del precarico trasmesso alla vite durante la fase di avvitamento con conseguente allontanamento del punto di svitamento della stessa (Fig. 4).

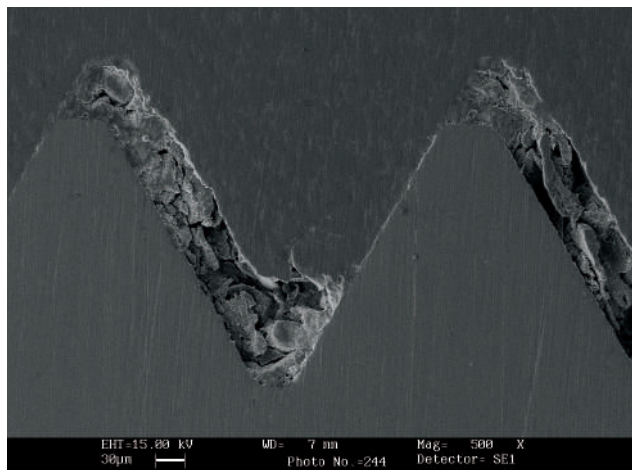


Fig. 3

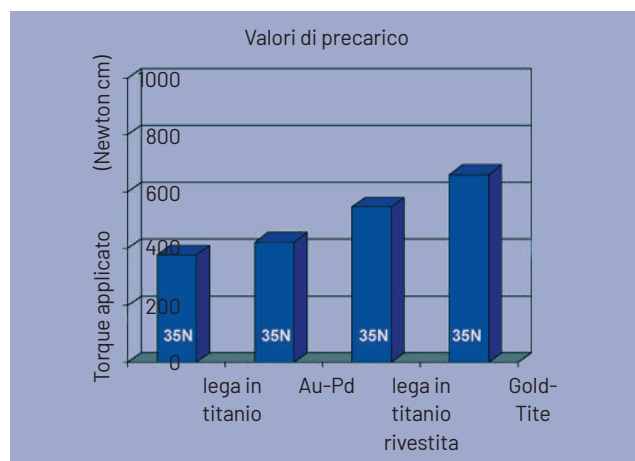


Fig. 4

Drago C.J. "A clinical study of the efficacy of Gold-Tite® square abutment screws in cement-retained implant restorations". Int. J. Oral Maxillofac Implants 2003; 18(2):273-8.

Hoyer SA, Stanford CM, Buranadham S, Fridrich T, Wagner J, Gratton D. "Dynamic fatigue properties of the dental implant-abutment interface: joint opening in wide-diameter versus standard-diameter hex-type implants". J. Prosthet. Dent. 2001; 85(6):599-607.

## Effetto del disegno delle viti sulla sigillatura

L'integrità del sigillo della giunzione impianto-pilastro (IAJ) ha una rilevanza clinica significativa visti i potenziali danni associati a una sigillatura inferiore, come le microinfiltrazioni.

La connessione BIOMET 3i Certain® ha dimostrato una più alta resistenza di sigillatura con l'utilizzo della vite Gold-Tite®.

La vite iniziale in titanio ha prodotto valori di resistenza della sigillatura che si attestavano su 500 N e la seconda vite in Titanio non ha evidenziato un miglioramento nella robustezza della sigillatura. L'uso della vite Gold-Tite® ha aumentato la resistenza media della sigillatura a 780 N.

La vite Gold-Tite® ha dimostrato un miglioramento significativo rispetto al titanio, che indica che un precarico supplementare generato va a vantaggio dell'integrità della sigillatura. di vari produttori hanno rivelato che il sistema implantare.

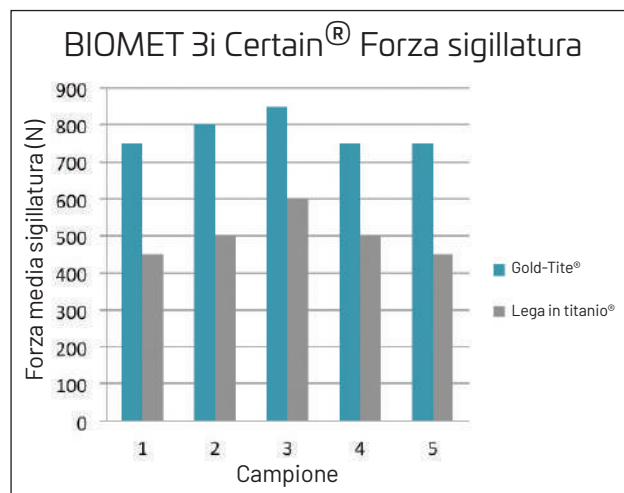
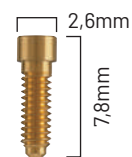


Fig. 5

Suttin Z, Towse R. - Poster Presentation (P451): European Academy of Osseointegration 20th Annual Meeting, October 2012, Copenhagen, Denmark

CONNESSIONE ESAGONO ESTERNO

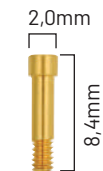
### VITE DI RITENZIONE GOLD TITE



Vite Gold-Tite® esagonale	UNIHG
Vite Gold-Tite® quadrata	UNISG

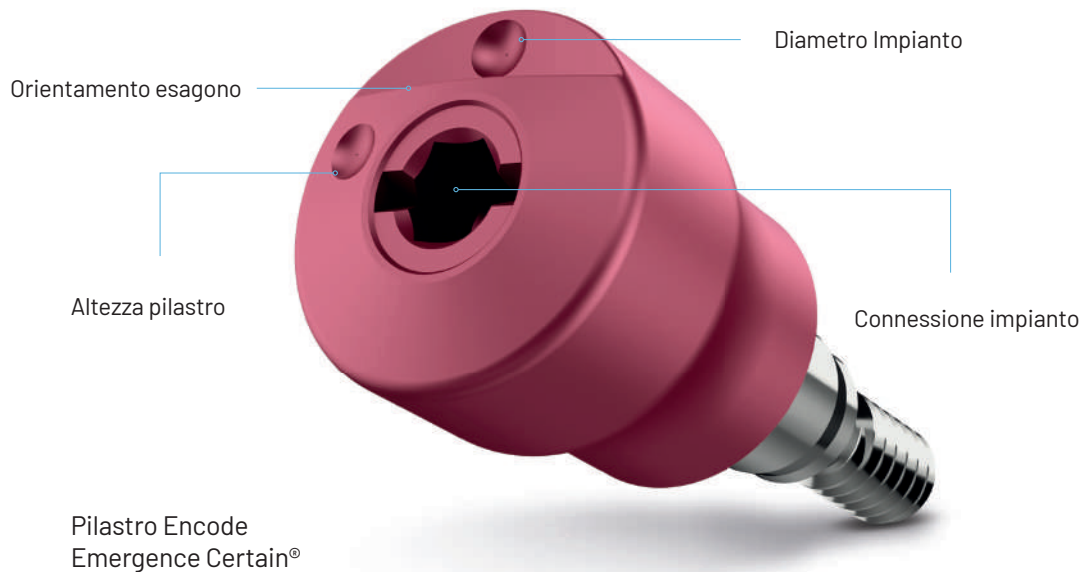
CONNESSIONE INTERNA Certain®

### VITE DI RITENZIONE GOLD TITE



Vite Gold-Tite® esagonale	IUNIHG
Vite Gold-Tite® diametro largo	ILRGHG

# Sistema Encode



## Tessuti più sani, impronte più facili.

Il Pilastro di Guarigione Encode Emergence è un pilastro di guarigione 3-in-1 (pilastro di guarigione/coping da impronta/scanbody) progettato per ottimizzare la guarigione del tessuto gengivale. Il sistema è composto da un pilastro e da una vite di ritenzione assemblati tra loro.

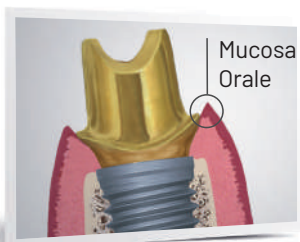
I pilastri di guarigione Encode Emergence presentano i codici di identificazione sulla superficie oclusale e una connessione esagonale alla base del pilastro con funzioni di orientamento e anti-rotazione.

La tecnologia di Encode Emergence consente una guarigione dei tessuti più naturale, con un'estetica migliore, una maggiore semplicità della scansione e della rilevazione dell'impronta, per un flusso di lavoro più efficiente.

- Tecnologia Encode semplice, efficiente e testata, profili di emergenza ideali, codici intuitivi e superfici color rosa opaco.
- Elimina l'utilizzo dei coping da impronta e degli scanbody, garantendo la migliore guarigione dei tessuti molli e un profilo di emergenza naturale.
- Più comfort e un risultato estetico ottimale per i pazienti rispetto alle procedure convenzionali.

# Guarigione Naturale

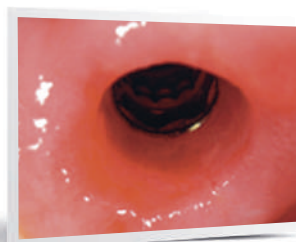
Estetica elevata per il paziente grazie alla preservazione dei tessuti duri e molli



1

## Mantenere il tessuto sano

- Per la salute orale e una buona integrazione dell'impianto dentale è necessaria una mucosa perimplantare intatta.
- Si ritiene che una mucosa ben aderente intorno al pilastro possa ridurre l'ingresso dei microbi e del contenuto del cavo orale attraverso il solco nella regione del microgap.<sup>1</sup>



2

## Rilevanza Clinica

- Gli studi dimostrano che:
- Ripetute rimozioni (disconnessioni/riconessioni) del pilastro incidono negativamente sulla mucosa intorno al pilastro, contribuendo alla perdita dell'osso crestale alveolare.<sup>2</sup>
  - Il riassorbimento dell'osso crestale causa la recessione dei tessuti molli, compromettendo il risultato estetico del trattamento.<sup>3,4</sup>



Pilastro di Guarigione Encode Emergenze

3

## Meno Sostituzioni del Pilastro

- Si riduce la necessità di disconnettere e riconnettere più volte il pilastro, preservandone l'interfaccia e la funzione di sigillo.
- Codici esclusivi sulla superficie occlusale forniscono informazioni sul disegno e le dimensioni del pilastro, rendendo superfluo l'uso di capette da impronta.

4

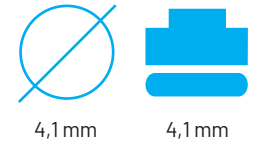
## Risultato Estetico per il Paziente

- Una sola impronta è sufficiente per consegnare la protesi definitiva.



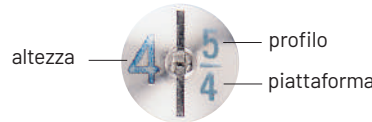
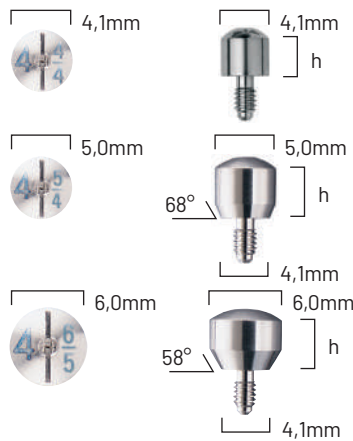
CONNESSIONE ESAGONO ESTERNO

# PILASTRI DI GUARIGIONE



## PILASTRO DI GUARIGIONE MONOCOMPONENTE

I diametri vengono scelti in base all'anatomia del dente da restaurare, offrendo così un profilo di emergenza ottimale. Si usa per mantenere l'apertura dei tessuti o durante la preparazione della protesi. Si avvita con i driver PHD02 e PHD03 o con le connessioni RASH3 e RASH8

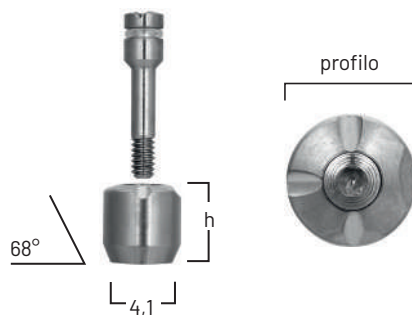


4,1 mm profilo x 2 mm h.	THA42
4,1 mm profilo x 3 mm h.	THA43
4,1 mm profilo x 4 mm h.	THA44
4,1 mm profilo x 6 mm h.	THA46
4,1 mm profilo x 8 mm h.	THA48
5 mm profilo x 2 mm h.	THA52
5 mm profilo x 3 mm h.	THA53
5 mm profilo x 4 mm h.	THA54
5 mm profilo x 6 mm h.	THA56
5 mm profilo x 8 mm h.	THA58
6 mm profilo x 3 mm h.	THA63
6 mm profilo x 4 mm h.	THA64
6 mm profilo x 6 mm h.	THA66
6 mm profilo x 8 mm h.	THA68

## PILASTRO DI GUARIGIONE BICOMPONENTE ENCODE

Grazie a una tecnologia esclusiva oggi è possibile rilevare l'impronta implantare direttamente dal pilastro di guarigione Encode senza necessità di coping o scanbody, riducendo al minimo le manipolazioni dei tessuti e le difficoltà operative.

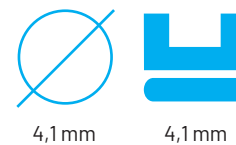
La protesi CAD/CAM viene realizzata da impronte digitali o analogiche con le componenti della linea GenTek™ (vedi pagg. 150-156) ed è indicata per riabilitazioni singole o multiple.



4,1 mm profilo x 3 mm h.	EHA443
4,1 mm profilo x 4 mm h.	EHA444
4,1 mm profilo x 6 mm h.	EHA446
4,1 mm profilo x 8 mm h.	EHA448
5 mm profilo x 3 mm h.	EHA453
5 mm profilo x 4 mm h.	EHA454
5 mm profilo x 6 mm h.	EHA456
5 mm profilo x 8 mm h.	EHA458
6 mm profilo x 3 mm h.	EHA463
6 mm profilo x 4 mm h.	EHA464
6 mm profilo x 6 mm h.	EHA466
6 mm profilo x 8 mm h.	EHA468

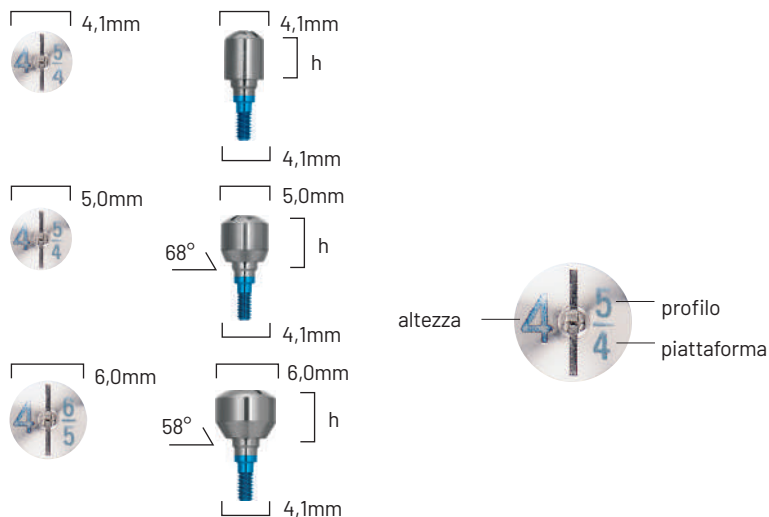


CONNESSIONE INTERNA Certain®



### PILASTRO DI GUARIGIONE MONOCOMPONENTE

I diametri vengono scelti in base all'anatomia del dente da restaurare, offrendo così un profilo di emergenza ottimale. Si usa per mantenere l'apertura dei tessuti o durante la preparazione della protesi.

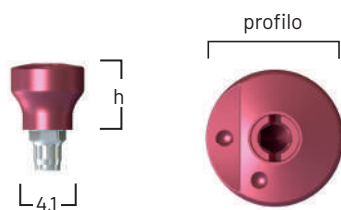


4,1 mm profilo x 2 mm h.	ISHA42
4,1 mm profilo x 3 mm h.	ISHA43
4,1 mm profilo x 4 mm h.	ISHA44
4,1 mm profilo x 6 mm h.	ISHA46
4,1 mm profilo x 8 mm h.	ISHA48
5 mm profilo x 2 mm h.	ITHA52
5 mm profilo x 3 mm h.	ITHA53
5 mm profilo x 4 mm h.	ITHA54
5 mm profilo x 6 mm h.	ITHA56
5 mm profilo x 8 mm h.	ITHA58
6 mm profilo x 3 mm h.	ITHA63
6 mm profilo x 4 mm h.	ITHA64
6 mm profilo x 6 mm h.	ITHA66
6 mm profilo x 8 mm h.	ITHA68

### PILASTRO DI GUARIGIONE BICOMPONENTE ENCODE EMERGENCY

Grazie a una tecnologia esclusiva oggi è possibile rilevare l'impronta implantare direttamente dal pilastro di guarigione Encode senza necessità di coping o scanbody, riducendo al minimo le manipolazioni dei tessuti e le difficoltà operative.

La protesi CAD/CAM viene realizzata da impronte digitali o analogiche con le componenti della linea GenTek™ (vedi pagg. 140-146) ed è indicata per riabilitazioni singole o multiple.



4,1 mm profilo x 3 mm h.	IEEHA443
4,1 mm profilo x 5 mm h.	IEEHA445
4,1 mm profilo x 7 mm h.	IEEHA447
5 mm profilo x 3 mm h.	IEEHA453
5 mm profilo x 5 mm h.	IEEHA455
5 mm profilo x 7 mm h.	IEEHA457
6 mm profilo x 3 mm h.	IEEHA463
6 mm profilo x 5 mm h.	IEEHA465
6 mm profilo x 7 mm h.	IEEHA467
7,5 mm profilo x 3 mm h.	IEEHA473
7,5 mm profilo x 5 mm h.	IEEHA475
7,5 mm profilo x 7 mm h.	IEEHA477

# PILASTRO GingiHue®



4,1mm

angolazione massima di 15°  
 distanza interarcata richiesta di almeno 6 mm  
 il pilastro di 15° può alloggiare sull'impianto in 12 diverse posizioni  
 con Zero Rotation™ viene annullata la rotazione orizzontale (rotazione ridotta a 0°)  
 conicità di 6° e chiusura a chamfer  
 la superficie niturata garantisce una traslucenza tissutale naturale  
 per ponti o denti singoli cementabili  
 la diversità delle configurazioni permette di scegliere il pilastro adeguato al caso da trattare  
 si può fresare per seguire il giusto profilo di emergenza  
 si usa con tecnica diretta o indiretta

CONNESSIONE ESAGONO ESTERNO



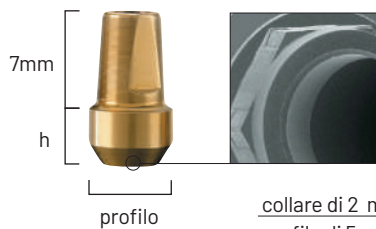
CONNESSIONE INTERNA Certain®



## PILASTRO GingiHue® DI 0°

Zero Rotation™

20Ncm



collare di 2 mm (h):	
profilo di 5 mm	APP452G*
profilo di 6 mm	APP462G*
profilo di 7,5 mm	APP472G*

collare di 4 mm (h):	
profilo di 5 mm	APP454G*
profilo di 6 mm	APP464G*
profilo di 7,5 mm	APP474G*

## PILASTRO GingiHue® DI 0°

20Ncm



collare di 2 mm (h):	
profilo di 5 mm	IAPP452G*
profilo di 6 mm	IAPP462G*
profilo di 7,5 mm	IAPP472G*

collare di 4 mm (h):	
profilo di 5 mm	IAPP454G*
profilo di 6 mm	IAPP464G*
profilo di 7,5 mm	IAPP474G*

## PILASTRO GingiHue® DI 15°

20Ncm

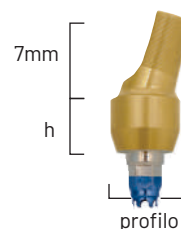


collare di 2 mm (h):	
profilo di 5 mm	PAP452G*
profilo di 6 mm	PAP462G*
profilo di 7,5 mm	PAP472G*

collare di 4 mm (h):	
profilo di 5 mm	PAP454G*
profilo di 6 mm	PAP464G*
profilo di 7,5 mm	PAP474G*

## PILASTRO GingiHue® DI 15°

20Ncm



collare di 2 mm (h):	
profilo di 5 mm	IPAP452G*
profilo di 6 mm	IPAP462G*
profilo di 7,5 mm	IPAP472G*

collare di 4 mm (h):	
profilo di 5 mm	IPAP454G*
profilo di 6 mm	IPAP464G*
profilo di 7,5 mm	IPAP474G*

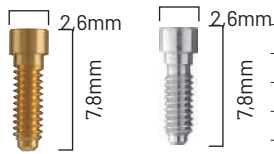
\* Fornito in abbinamento con vite Gold-Tite®.  
 Per richieste diverse si prega di specificare nell'ordine.

\* Fornito in abbinamento con vite Gold-Tite®.  
 Per richieste diverse si prega di specificare nell'ordine.

CONNESSIONE ESAGONO ESTERNO



VITE DI RITENZIONE



Gold-Tite® esagonale	UNIHG
Gold-Tite® quadrata	UNISG <sup>1</sup>
vite di titanio esagonale	UNIHT
vite di titanio quadrata	UNIST

<sup>1</sup> si può avvitare a 32 Ncm

VITE DI PROVA



quadrata (confezione da 5)	UNITS
----------------------------	-------

COPING DA IMPRONTA PICK-UP



profilo di 4,1 mm	IIC41
profilo di 5 mm	IIC12
profilo di 6 mm	IIC60
profilo di 7,5 mm	IIC75
vite coping (inclusa)	WSU30

COPING DA IMPRONTA TWIST-LOCK™



profilo di 4,1 mm	IIC44
profilo di 5 mm	IIC45
profilo di 6 mm	IIC46
profilo di 7,5 mm	IIC47

ANALOGO DELL'IMPIANTO



ILA20
-------

PILASTRO PERFORMANCE™ E CILINDRO IN TITANIO

Fornito con UNIHT

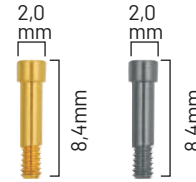


cilindro Performance 0° h. 1 mm esagonale	PFTC41**
cilindro Performance 0° h. 1 mm non esagonale	PFTC42**
cilindro esagonale in titanio	ITCS41**
cilindro non esagonale in titanio	ITCS42**

CONNESSIONE INTERNA Certain®



VITE DI RITENZIONE



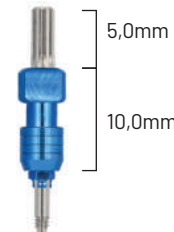
Vite Gold-Tite® esagonale	IUNIHG
Vite di titanio esagonale	IUNIHT
Vite Gold-Tite® diametro largo	ILRGHG
Vite di titanio diametro largo	ILRGHT

VITE DI PROVA



esagonale (confezione da 5)	IUNITS
-----------------------------	--------

COPING DA IMPRONTA PICK-UP



profilo di 4,1 mm	IIC41
profilo di 5 mm	IIC12
profilo di 6 mm	IIC60
profilo di 7,5 mm	IIC75
vite coping (inclusa)	IWSU30

COPING DA IMPRONTA TWIST-LOCK™



profilo di 4,1 mm	IIC44
profilo di 5 mm	IIC45
profilo di 6 mm	IIC46
profilo di 7,5 mm	IIC47
vite coping (inclusa)	IWSU30

ANALOGO DELL'IMPIANTO



IILA20
--------

PILASTRO PERFORMANCE™ E CILINDRO IN TITANIO



pilastro Performance 0° h. 4 mm	IPFP454**
pilastro Performance 0° h. 6 mm	IPFP456**
pilastro Performance 15° h. 4 mm	IPAPF454**
pilastro Performance 15° h. 6 mm	IPAPF456**
cilindro Performance 0° h. 1 mm esagonale	IPFTC41**
cilindro Performance 0° h. 1 mm non esagonale	IPFTC42*
cilindro esagonale in titanio	IITCS41**
cilindro non esagonale in titanio	IITCS42*

\* Fornito con ILRGHT | \*\* Fornito con vite in titanio.

# PILASTRO UCLA



4,1mm

Disponibile in versione Zero Rotation™ con rotazione di 0°  
 angolazione massima consentita di 30° (in caso di cementazione) e 10° (in caso di avvvitamento)  
 distanza interarcata richiesta di almeno 6 mm (in caso di cementazione) e 4,5 mm (in caso di avvvitamento)  
 è ideale per ottenere una soluzione altamente estetica quando vi sono meno di 2 mm di gengiva sull'impianto  
 la struttura ottenuta con sovrافusione o fusione è a contatto diretto con l'impianto  
 si usa la versione esagonale per i denti singoli o per la costruzione di monconi personalizzati e quella non esagonale per i ponti  
 in caso di angolazione è indicato per creare una sottostruttura alla quale la corona si cementa o si fissa con vite linguale  
 il cilindro d'oro lavorato a macchina garantisce un alloggiamento preciso e passivo

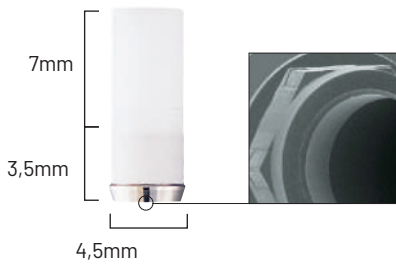
CONNESSIONE ESAGONO ESTERNO



## PILASTRO UCLA D'ORO

Zero Rotation™

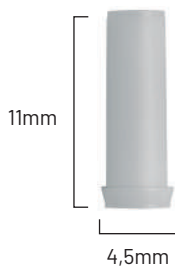
20Ncm



esagonale (Zero Rotation)	SGUCA1C*
esagonale	GUCA1C*
non esagonale	GUCA2C*

## PILASTRO UCLA CALCINABILE

20Ncm



esagonale	UNAB1C*
non esagonale	UNAB2C*

\* Fornito in abbinamento con vite Gold-Tite®.  
 Per richieste diverse si prega di specificare nell'ordine.

CONNESSIONE INTERNA Certain®



## PILASTRO UCLA D'ORO

20Ncm



base in oro con esagono	IGUCA1C*
base in oro senza esagono	IGUCA2C**
base in oro senza esagono	IGUCA2T***

## PILASTRO UCLA CALCINABILE

20Ncm



interamente calcinabile senza esagono	IUNAB2C**
interamente calcinabile senza esagono	IUNAB2T***

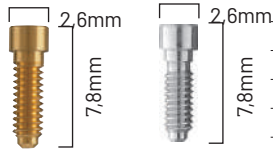
\* Fornito in abbinamento con vite Gold-Tite®.  
 Per richieste diverse si prega di specificare nell'ordine.

\*\* Fornito con vite esagonale Gold-Tite® diametro largo ILRGHG  
 \*\*\* Fornito con vite esagonale in titanio diametro largo ILRGHT

CONNESSIONE ESAGONO ESTERNO



VITE DI RITENZIONE



Gold-Tite® esagonale	UNIHG
Gold-Tite® quadrata	UNISG <sup>1</sup>
vite di titanio esagonale	UNIHT
vite di titanio quadrata	UNIST

<sup>1</sup> si può avvitare a 32 Ncm

VITE DI PROVA



quadrata (confezione da 5)	UNITS
----------------------------	-------

COPING DA IMPRONTA PICK-UP



profilo di 4,1 mm	IIC41
profilo di 5 mm	IIC12
profilo di 6 mm	IIC60
profilo di 7,5 mm	IIC75
vite coping (inclusa)	WSU30

profilo

COPING DA IMPRONTA TWIST-LOCK™



profilo di 4,1 mm	IIC44
profilo di 5 mm	IIC45
profilo di 6 mm	IIC46
profilo di 7,5 mm	IIC47

profilo

ANALOGO DELL'IMPIANTO



ILA20

PILASTRO PERFORMANCE™ E CILINDRO IN TITANIO

Fornito con UNIHT

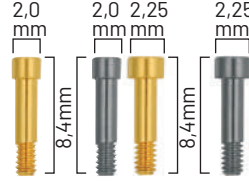


cilindro Performance 0° h. 1 mm esagonale	PFTC41**
cilindro Performance 0° h. 1 mm non esagonale	PFTC42**
cilindro esagonale in titanio	ITCS41**
cilindro non esagonale in titanio	ITCS42**

CONNESSIONE INTERNA Certain®



VITE DI RITENZIONE



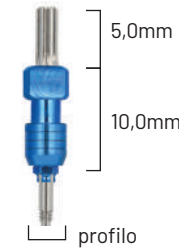
Vite Gold-Tite® esagonale	IUNIHG
Vite di titanio esagonale	IUNIHT
Vite Gold-Tite® diametro largo	ILRGHG
Vite di titanio diametro largo	ILRGHT

VITE DI PROVA



esagonale (confezione da 5)	IUNITS
-----------------------------	--------

COPING DA IMPRONTA PICK-UP



profilo di 4,1 mm	IIC41
profilo di 5 mm	IIC12
profilo di 6 mm	IIC60
profilo di 7,5 mm	IIC75
vite coping (inclusa)	IWSU30

profilo

COPING DA IMPRONTA TWIST-LOCK™



profilo di 4,1 mm	IIC44
profilo di 5 mm	IIC45
profilo di 6 mm	IIC46
profilo di 7,5 mm	IIC47
vite coping (inclusa)	IWSU30

profilo

ANALOGO DELL'IMPIANTO



IILA20

PILASTRO PERFORMANCE™ E CILINDRO IN TITANIO



pilastro Performance 0° h. 4 mm	IPFP454**
pilastro Performance 0° h. 6 mm	IPFP456**
pilastro Performance 15° h. 4 mm	IPAPF454**
pilastro Performance 15° h. 6 mm	IPAPF456**
cilindro Performance 0° h. 1 mm esagonale	IPFTC41**
cilindro Performance 0° h. 1 mm non esagonale	IPFTC42*
cilindro esagonale in titanio	IITCS41**
cilindro non esagonale in titanio	IITCS42*

\* Fornito con ILRGHT | \*\* Fornito con vite in titanio.

# PILASTRO LOW PROFILE

distanza interarcata richiesta di almeno 7,5 mm  
fornito con il sistema di avvitamento Asyst  
solo 2,2 mm di ingombro verticale  
profilo di emergenza anatomico  
unica piattaforma protesica per tre diametri implantari  
disponibile in versione sia mono che bi-componente  
la costruzione del dente singolo si effettua con il cilindro non-rotante avvitato sul pilastro  
le protesi parziali o totali si effettuano con il cilindro rotante  
disponibile con angolazioni fino a 35°  
ideale per restauri con più di 2-3 mm di gengiva quando l'estetica è un requisito essenziale



4,1 mm

## CONNESSIONE ESAGONO ESTERNO



### PILASTRO LOW PROFILE DI 0° CORPO UNICO



#### ALTEZZA

1,0 mm	LPC441U
2,0 mm	LPC442U
3,0 mm	LPC443U
4,0 mm	LPC444U

*I cilindri d'oro, calcinabili e provvisori da utilizzare con il pilastro a corpo unico devono essere NON ESAGONALI*

## CONNESSIONE INTERNA Certain®



### PILASTRO LOW PROFILE DI 0° CORPO UNICO



#### ALTEZZA

1,0 mm	ILPC441U
2,0 mm	ILPC442U
3,0 mm	ILPC443U
4,0 mm	ILPC444U

*I cilindri d'oro, calcinabili e provvisori da utilizzare con il pilastro a corpo unico devono essere NON ESAGONALI*

### PILASTRO LOW PROFILE DI 0° DUE PEZZI



#### ALTEZZA

1,0 mm	LPC441
2,0 mm	LPC442
3,0 mm	LPC443
4,0 mm	LPC444

### PILASTRO LOW PROFILE DI 0° DUE PEZZI



#### ALTEZZA

1,0 mm	ILPC441
2,0 mm	ILPC442
3,0 mm	ILPC443
4,0 mm	ILPC444

### PILASTRO LOW PROFILE DI 17° E 30°



ALTEZZA	17°	30°
1,0 mm		
2,0 mm	LPAC4217	
3,0 mm		LPAC4330
4,0 mm	LPAC4417	
5,0 mm		LPAC4530

### PILASTRO LOW PROFILE DI 17° E 30°





ALTEZZA	17°	30°
1,0 mm		
2,0 mm	ILPAC4217	
3,0 mm		ILPAC4330
4,0 mm	ILPAC4417	
5,0 mm		ILPAC4530

COPING PICK-UP



esagonale	LPCPIC1
non esagonale	LPCPIC2

CONNESSIONE ESAGONO ESTERNO   
 CONNESSIONE INTERNA Certain® 

ANALOGO



analogo	LPCLA
---------	-------

COPING A STRAPPO



esagonale	LPCTIC1
non esagonale	LPCTIC2

CILINDRO D'ORO E CILINDRO CALCINABILE \*



esagonale in oro	LPCGC1
non esagonale in oro	LPCGC2
esagonale calcinabile	LPCCC1
non esagonale calcinabile	LPCCC2

CILINDRO PER SALDATURA LASER\*



cilindro saldatura laser	LPCTUCA
--------------------------	---------

ACCESSORI DI LABORATORIO



strumento per levigatura	LPCAMI
protezione per lucidatura	LPCPP

VITI



vite di ritenzione Gold-Tite®	LPCGSH
vite di ritenzione in titanio	LPCTSH
vite di ceratura e per coping pick-up	LPCWS

COMPONENTI IN TITANIO E PREFORMANCE™\*



cilindro in titanio esagonale	LPCTC1
cilindro in titanio non esagonale	LPCTC2
cilindro PreFormance esagonale	LPCPTC1
cilindro PreFormance non esag.	LPCPTC2
cappetta di protezione	LPCHC

COMPONENTI QUICKBRIDGE®



cilindro + cappetta	LPCQB
cappetta di posizionamento	LPCQBCAP
estensione distale	LPCDE

PILASTRO LOCATOR PER LOW PROFILE ANGOLATO



pilastro Locator (conf. 2 pz)	08909-2
-------------------------------	---------

\* La vite va ordinata a parte

# PILASTRO OverdenSURE®



4,1mm

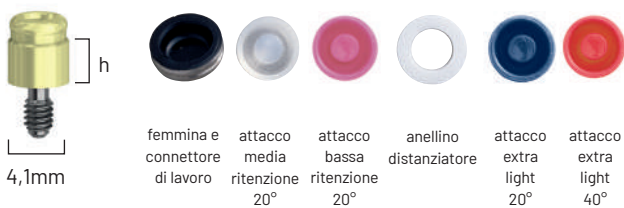
distanza interarcata drasticamente ridotta  
consente la correzione fino a 40° tra impianti divergenti  
altezza verticale minima di 3,17 mm  
la durevole resistenza del connettore riduce il numero delle visite di controllo

CONNESSIONE ESAGONO ESTERNO



## PILASTRO OverdenSURE®

20Ncm



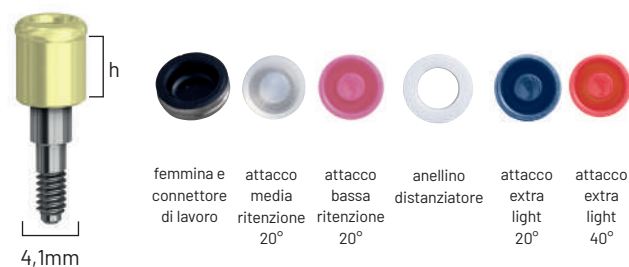
h 1 mm	ODS-EXHEX401
h 2 mm	ODS-EXHEX402
h 3 mm	ODS-EXHEX403
h 4 mm	ODS-EXHEX404
h 5 mm	ODS-EXHEX405
h 6 mm	ODS-EXHEX406

CONNESSIONE INTERNA Certain®



## PILASTRO OverdenSURE®

20Ncm



h 1 mm	ODS-CERT401
h 2 mm	ODS-CERT402
h 3 mm	ODS-CERT403
h 4 mm	ODS-CERT404
h 5 mm	ODS-CERT405
h 6 mm	ODS-CERT406

Tutti i pilastri OverdenSURE sono pre-montati con uno strumento di posizionamento per garantirne facilità d'uso.





CONNESSIONE ESAGONO ESTERNO



CONNESSIONE INTERNA Certain®



COPING PER IMPRONTA



cappetta per impronta q.tà 1	ODS-IC01
cappetta per impronta q.tà 4	ODS-IC04
cappetta per impronta q.tà 10	ODS-IC010

ANALOGO



analogo q.tà 1	ODS-AA01
analogo q.tà 4	ODS-AA04
analogo q.tà 10	ODS-AA010

KIT DI RITENZIONE STANDARD 20°



kit di ritenzione standard 20° q.tà 1 set	ODS-RIKIT2001
kit di ritenzione standard 20° q.tà 2 set	ODS-RIKIT2002

KIT DI RITENZIONE STANDARD 40°



kit di ritenzione 40° q.tà 1 set	ODS-RIKIT4001
kit di ritenzione 40° q.tà 2 set	ODS-RIKIT4002

INSERTI DI RITENZIONE 20°



inserto di ritenzione blu 20° q.ta 4 extralight (680 g)	ODS-RIB2004
---	-------------



inserto di ritenzione rosa 20° q.ta 4 light (1360 g)	ODS-RIP2004
--	-------------



inserto di ritenzione trasparente 20° q.ta 4 medio (2270 g)	ODS-RIC2004
---	-------------

INSERTI DI RITENZIONE 40°



inserto di ritenzione rosso 40° q.ta 4 extralight (450 g)	ODS-RIR4004
---	-------------



inserto di ritenzione giallo 40° q.ta 4 light (910 g)	ODS-RIY4004
---	-------------



inserto di ritenzione verde 40° q.ta 4 medio (1810 g)	ODS-RIG4004
---	-------------

CAPPETTA DELL'ALLOGGIAMENTO DI RITENZIONE



cappetta dell'alloggiamento di ritenzione q.tà1	ODS-RH01
cappetta dell'alloggiamento di ritenzione q.tà4	ODS-RH04
cappetta dell'alloggiamento di ritenzione q.tà10	ODS-RH010

ANELLINO DISTANZIATORE



anellino distanziatore q.tà 20	ODS-BS020
--------------------------------	-----------

DRIVER PER ABUTMENT\*



driver per abutment	ODS-DRVR
---------------------	----------

STRUMENTO DI INSERIMENTO E RIMOZIONE DELL'INSERTO DI RITENZIONE

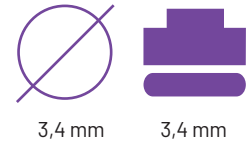


strumento di inserimento e rimozione dell'inserto di ritenzione	ODS-IRT00L
---	------------

\* Il driver va utilizzato con la chiave dinamometrica TWR

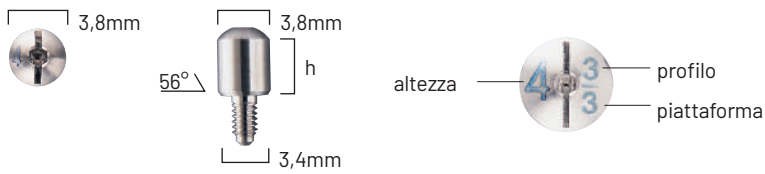
## PILASTRI DI GUARIGIONE

CONNESSIONE ESAGONO ESTERNO



### PILASTRO DI GUARIGIONE MONOCOMPONENTE

Si usa per mantenere l'apertura dei tessuti o durante la preparazione della protesi  
Si avvita con i driver PHD02 e PHD03 o con le connessioni RASH3 e RASH8

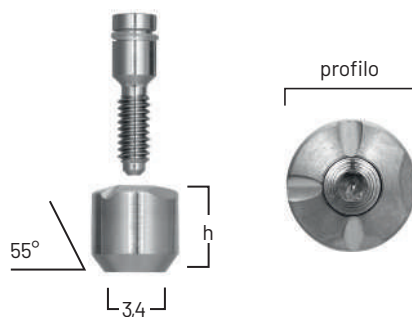


3,8 mm profilo x 2 mm h	MHA32
3,8 mm profilo x 3 mm h	MHA33
3,8 mm profilo x 4 mm h	MHA34
3,8 mm profilo x 6 mm h	MHA36

### PILASTRO DI GUARIGIONE BICOMPONENTE ENCODE

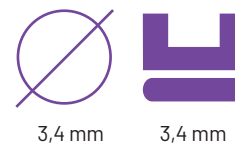
Grazie a una tecnologia esclusiva oggi è possibile rilevare l'impronta e implantare direttamente dal pilastro di guarigione Encode senza necessità di coping o scanbody, riducendo al minimo le manipolazioni dei tessuti e le difficoltà operative.

La protesi CAD/CAM viene realizzata da impronte digitali o analogiche con le componenti della linea GenTek™ (vedi pagg. 150-156) ed è indicata per riabilitazioni singole o multiple.



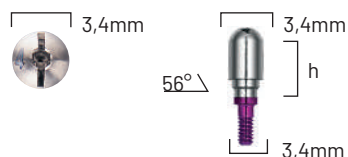
3,8 mm profilo x 3 mm h.	EHA343
3,8 mm profilo x 4 mm h.	EHA344
3,8 mm profilo x 6 mm h.	EHA346
3,8 mm profilo x 8 mm h.	EHA348
5 mm profilo x 3 mm h.	EHA353
5 mm profilo x 4 mm h.	EHA354
5 mm profilo x 6 mm h.	EHA356
5 mm profilo x 8 mm h.	EHA358

CONNESSIONE INTERNA Certain®

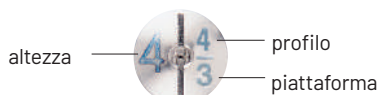
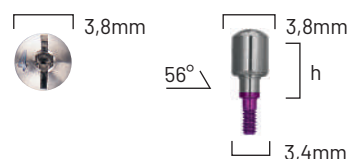


### PILASTRO DI GUARIGIONE MONOCOMPONENTE

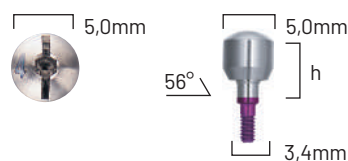
Si usa per mantenere l'apertura dei tessuti o durante la preparazione della protesi  
 Si avvita con i driver PHD02 e PHD03 o con le connessioni RASH3 e RASH8



3,4 mm profilo x 2 mm h	ISMHA32
3,4 mm profilo x 3 mm h	ISMHA33
3,4 mm profilo x 4 mm h	ISMHA34
3,4 mm profilo x 6 mm h	ISMHA36



3,8 mm profilo x 2 mm h	IMHA32
3,8 mm profilo x 3 mm h	IMHA33
3,8 mm profilo x 4 mm h	IMHA34
3,8 mm profilo x 6 mm h	IMHA36

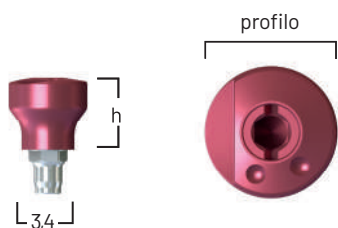


5 mm profilo x 2 mm h	IMHA352
5 mm profilo x 3 mm h	IMHA353
5 mm profilo x 4 mm h	IMHA354
5 mm profilo x 6 mm h	IMHA356

### PILASTRO DI GUARIGIONE BICOMPONENTE ENCODE EMERGENCE

Grazie a una tecnologia esclusiva oggi è possibile rilevare l'impronta implantare direttamente dal pilastro di guarigione Encode senza necessità di coping o scanbody, riducendo al minimo le manipolazioni dei tessuti e le difficoltà operative.

La protesi CAD/CAM viene realizzata da impronte digitali o analogiche con le componenti della linea GenTek™ (vedi pagg. 140-146) ed è indicata per riabilitazioni singole o multiple.



3,8 mm profilo x 3 mm h.	IEEHA343
3,8 mm profilo x 5 mm h.	IEEHA345
3,8 mm profilo x 7 mm h.	IEEHA347
5 mm profilo x 3 mm h.	IEEHA353
5 mm profilo x 5 mm h.	IEEHA355
5 mm profilo x 7 mm h.	IEEHA357

# PILASTRO GingiHue®



3,4 mm

angolazione massima di 15°  
 distanza interarcata richiesta di almeno 6 mm  
 il pilastro di 15° può alloggiare sull'impianto in 12 diverse posizioni  
 con Zero Rotation™ viene annullata la rotazione orizzontale (rotazione ridotta a 0°)  
 conicità di 6° e chiusura a chamfer  
 la superficie niturata garantisce una translucenza tissutale naturale  
 per ponti o denti singoli cementabili  
 la diversità delle configurazioni permette di scegliere il pilastro adeguato al caso da trattare  
 si può fresare per seguire il giusto profilo di emergenza  
 si usa con tecnica diretta o indiretta

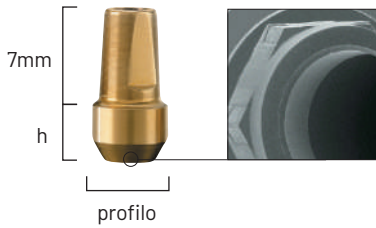
CONNESSIONE ESAGONO ESTERNO



## PILASTRO GingiHue® DI 0°

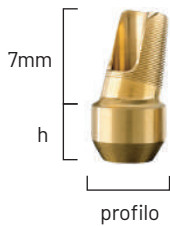
Zero Rotation™

20Ncm



collare di 2 mm (h):	
profilo di 3,8 mm	MAP32G*
collare di 4 mm (h):	
profilo di 3,8 mm	MAP34G*

## PILASTRO GingiHue® DI 15°



20Ncm

collare di 2 mm (h):	
profilo di 3,8 mm	MPAP32G*
collare di 4 mm (h):	
profilo di 3,8 mm	MPAP34G*

\* Fornito in abbinamento con vite Gold-Tite®.  
 Per richieste diverse si prega di specificare nell'ordine.

CONNESSIONE INTERNA Certain®



## PILASTRO GingiHue® DI 0°

20Ncm



collare di 2 mm (h):	
profilo di 3,8 mm	IMAP32G*
profilo di 5 mm	IMAP352G
collare di 4 mm (h):	
profilo di 3,8 mm	IMAP34G*
profilo di 5 mm	IMAP354G

## PILASTRO GingiHue® DI 15°

20Ncm



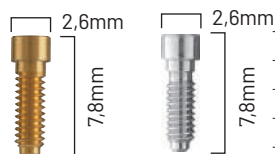
collare di 2 mm (h):	
profilo di 3,8 mm	IMPAP32G*
profilo di 5 mm	IMPAP352G
collare di 4 mm (h):	
profilo di 3,8 mm	IMPAP34G*
profilo di 5 mm	IMPAP354G

\* Fornito in abbinamento con vite Gold-Tite®.  
 Per richieste diverse si prega di specificare nell'ordine.

CONNESSIONE ESAGONO ESTERNO



VITE DI RITENZIONE



Gold-Tite®	esagonale	UNIHG
Gold-Tite®	quadrata	UNISG <sup>1</sup>
vite di titanio	esagonale	UNIHT
vite di titanio	quadrata	UNIST

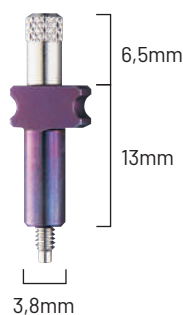
<sup>1</sup> si può avvitare a 32 Ncm

VITE DI PROVA



quadrata (confezione da 5)	MUNITS
----------------------------	--------

COPING DA IMPRONTA PICK-UP



MIC33
-------

ANALOGO DELL'IMPIANTO



MMILA
-------

PILASTRO PERFORMANCE™ E CILINDRO IN TITANIO  
Fornito con UNIHT

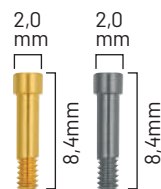


cilindro Performance 0° h. 1 mm esagonale	MPFTC34**
cilindro Performance 0° h. 1 mm non esagonale	MPFTC32**
cilindro esagonale in titanio	MMTCS1**
cilindro non esagonale in titanio	MMTCS2

CONNESSIONE INTERNA Certain®



VITE DI RITENZIONE



Vite Gold-Tite® esagonale	IUNIHG
Vite di titanio esagonale	IUNIHT
Vite Gold-Tite® diametro largo	ILRGHG
Vite di titanio diametro largo	ILRGHT

VITE DI PROVA



esagonale (confezione da 5)	IUNITS
-----------------------------	--------

COPING DA IMPRONTA PICK-UP



profilo di 3,4mm	IMIC30
profilo di 3,8mm	IMIC33
profilo di 5mm	IMIC35

COPING DA IMPRONTA  
TWIST-LOCK

profilo di 3,8mm	IMIT33
profilo di 5mm	IMIT35

ANALOGO DELL'IMPIANTO



IMMILA
--------

PILASTRO PERFORMANCE™ E CILINDRO IN TITANIO



pilastro Performance 0° h. 4 mm	IMPPF34**
pilastro Performance 0° h. 6 mm	IMPPF36**
pilastro Performance 0° h. 4 mm / prof. 5mm	IMPPF354**
pilastro Performance 0° h. 6 mm / prof. 5mm	IMPPF356**
pilastro Performance 15° h. 4 mm	IMPAPF34**
pilastro Performance 15° h. 6 mm	IMPAPF36**
pilastro Performance 15° h. 4 mm / prof. 5mm	IMPAPF354**
pilastro Performance 15° h. 6 mm / prof. 5mm	IMPAPF356**
cilindro Performance 0° h. 1 mm esagonale	IMPFTC34**
cilindro Performance 0° h. 1 mm non esagonale	IMPFTC32*
cilindro esagonale in titanio	IMMTCS1**

\* Fornito con ILRGHT | \*\* Fornito con vite in titanio.

# PILASTRO UCLA



3,4 mm

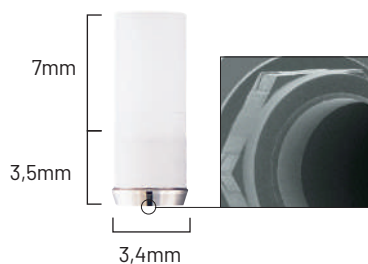
angolazione massima consentita di 30° (in caso di cementazione) e 10° (in caso di avvitemento)  
 distanza interarcata richiesta di almeno 6 mm (in caso di cementazione) e 4,5 mm (in caso di avvitemento)  
 è ideale per ottenere una soluzione altamente estetica quando vi sono meno di 2 mm di gengiva sull'impianto  
 la struttura ottenuta con sovrافusione è a contatto diretto con l'impianto  
 si usa per i denti singoli o per la costruzione di monconi personalizzati

CONNESSIONE ESAGONO ESTERNO



## PILASTRO UCLA D'ORO

20Ncm



esagonale	MUCG1C*
non-esagonale	MUCG2C*

CONNESSIONE INTERNA Certain®



## PILASTRO UCLA D'ORO

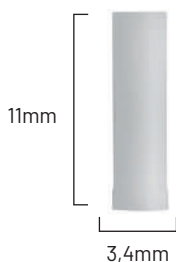
20Ncm



base in oro con esagono	IMUCG1C*
base in oro senza esagono	IMUCG2C**
base in oro senza esagono	IMUCG2T***

## PILASTRO UCLA CALCINABILE

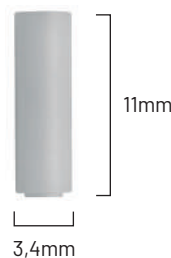
20Ncm



calcinabile con esagono	MUCC1C*
calcinabile senza esagono	MUCC2C

## PILASTRO UCLA CALCINABILE

20Ncm



calcinabile senza esagono	IMUCC2C**
calcinabile senza esagono	IMUCC2T***

\* Fornito in abbinamento con vite Gold-Tite®.  
 Per richieste diverse si prega di specificare nell'ordine.

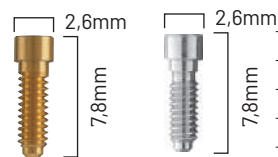
\* Fornito in abbinamento con vite Gold-Tite®.  
 Per richieste diverse si prega di specificare nell'ordine.

\*\* Fornito con vite esagonale Gold-Tite® diametro largo ILRGHG  
 \*\*\* Fornito con vite esagonale in titanio diametro largo ILRGHT

CONNESSIONE ESAGONO ESTERNO



VITE DI RITENZIONE



Gold-Tite® esagonale	UNIHG
Gold-Tite® quadrata	UNISG <sup>1</sup>
vite di titanio esagonale	UNIHT
vite di titanio quadrata	UNIST

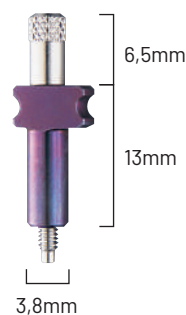
<sup>1</sup> si può avvitare a 32 Ncm

VITE DI PROVA



quadrata (confezione da 5)	MUNITS
----------------------------	--------

COPING DA IMPRONTA PICK-UP



MIC33
-------

ANALOGO DELL'IMPIANTO



MMILA
-------

PILASTRO PERFORMANCE™ E CILINDRO IN TITANIO  
Fornito con UNIHT

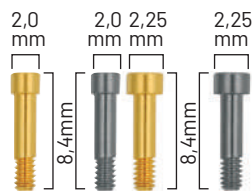


cilindro Performance 0° h. 1 mm esagonale	MPFTC34**
cilindro Performance 0° h. 1 mm non esagonale	MPFTC32**
cilindro esagonale in titanio	MMTCS1**
cilindro non esagonale in titanio	MMTCS2

CONNESSIONE INTERNA Certain®



VITE DI RITENZIONE



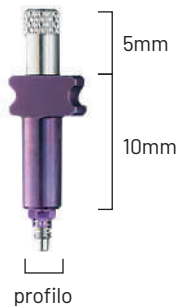
Vite Gold-Tite® esagonale	IUNIHG
Vite di titanio esagonale	IUNIHT
Vite Gold-Tite® diametro largo	ILRGHG
Vite di titanio diametro largo	ILRGHT

VITE DI PROVA



esagonale (confezione da 5)	IUNITS
-----------------------------	--------

COPING DA IMPRONTA PICK-UP



profilo di 3,4mm	IMIC30
profilo di 3,8mm	IMIC33
profilo di 5mm	IMIC35

COPING DA IMPRONTA  
TWIST-LOCK

profilo di 3,8mm	IMIT33
profilo di 5mm	IMIT35

ANALOGO DELL'IMPIANTO



IMMILA
--------

PILASTRO PERFORMANCE™ E CILINDRO IN TITANIO



pilastro Performance 0° h. 4 mm	IMPFP34**
pilastro Performance 0° h. 6 mm	IMPFP36**
pilastro Performance 0° h. 4 mm / prof. 5mm	IMPFP354**
pilastro Performance 0° h. 6 mm / prof. 5mm	IMPFP356**
pilastro Performance 15° h. 4 mm	IMPAPF34**
pilastro Performance 15° h. 6 mm	IMPAPF36**
pilastro Performance 15° h. 4 mm / prof. 5mm	IMPAPF354**
pilastro Performance 15° h. 6 mm / prof. 5mm	IMPAPF356**
cilindro Performance 0° h. 1 mm esagonale	IMPFTC34**
cilindro Performance 0° h. 1 mm non esagonale	IMPFTC32*
cilindro esagonale in titanio	IMMTCS1**

\* Fornito con ILRGHT | \*\* Fornito con vite in titanio.

# PILASTRO LOW PROFILE



3,4 mm

distanza interarcata richiesta di almeno 7,5 mm  
fornito con il sistema di avvitamento Asyst  
solo 2,2 mm di ingombro verticale  
profilo di emergenza anatomico  
unica piattaforma protesica per tre diametri implantari  
disponibile in versione sia mono che bi-componente  
la costruzione del dente singolo si effettua con il cilindro non-rotante avvitato sul pilastro  
le protesi parziali o totali si effettuano con il cilindro rotante  
disponibile con angolazioni fino a 35°  
ideale per restauri con più di 2-3 mm di gengiva quando l'estetica è un requisito essenziale

CONNESSIONE ESAGONO ESTERNO



## PILASTRO LOW PROFILE DI 0° CORPO UNICO



ALTEZZA

ALTEZZA	
1,0 mm	LPC341U
2,0 mm	LPC342U
3,0 mm	LPC343U
4,0 mm	LPC344U

*I cilindri d'oro, calcinabili e provvisori da utilizzare con il pilastro a corpo unico devono essere NON ESAGONALI*

CONNESSIONE INTERNA Certain®



## PILASTRO LOW PROFILE DI 0° CORPO UNICO



ALTEZZA

ALTEZZA	
1,0 mm	ILPC341U
2,0 mm	ILPC342U
3,0 mm	ILPC343U
4,0 mm	ILPC344U

*I cilindri d'oro, calcinabili e provvisori da utilizzare con il pilastro a corpo unico devono essere NON ESAGONALI*

## PILASTRO LOW PROFILE DI 0° DUE PEZZI



ALTEZZA

ALTEZZA	
1,0 mm	LPC341
2,0 mm	LPC342
3,0 mm	LPC343
4,0 mm	LPC344

## PILASTRO LOW PROFILE DI 0° DUE PEZZI



ALTEZZA

ALTEZZA	
1,0 mm	ILPC341
2,0 mm	ILPC342
3,0 mm	ILPC343
4,0 mm	ILPC344

## PILASTRO LOW PROFILE DI 17° E 30°



ALTEZZA

ALTEZZA	17°	30°
1,0 mm		
2,0 mm	LPAC3217	
3,0 mm		LPAC3330
4,0 mm	LPAC3417	
5,0 mm		LPAC3530

## PILASTRO LOW PROFILE DI 17° E 30°



ALTEZZA

ALTEZZA	17°	30°
1,0 mm		
2,0 mm	ILPAC3217	
3,0 mm		ILPAC3330
4,0 mm	ILPAC3417	
5,0 mm		ILPAC3530



CONNESSIONE ESAGONO ESTERNO



CONNESSIONE INTERNA Certain®



COPING PICK-UP



esagonale	LPCPIC1
non esagonale	LPCPIC2

COPING A STRAPPO



esagonale	LPCTIC1
non esagonale	LPCTIC2

ANALOGO



analogo	LPCLA
---------	-------

CILINDRO D'ORO E CILINDRO CALCINABILE \*



esagonale in oro	LPCGC1
non esagonale in oro	LPCGC2
esagonale calcinabile	LPCCC1
non esagonale calcinabile	LPCCC2

CILINDRO PER SALDATURA LASER\*



cilindro saldatura laser	LPCTUCA
--------------------------	---------

ACCESSORI DI LABORATORIO



strumento per levigatura	LPCAMI
protezione per lucidatura	LPCPP

VITI



vite di ritenzione Gold-Tite®	LPCGSH
vite di ritenzione in titanio	LPCTSH
vite di ceratura e per coping pick-up	LPCWS

COMPONENTI IN TITANIO E PREFORMANCE™\*



cilindro in titanio esagonale	LPCTC1
cilindro in titanio non esagonale	LPCTC2
cilindro PreFormance esagonale	LPCPTC1
cilindro PreFormance non esag.	LPCPTC2
cappetta di protezione	LPCHC

COMPONENTI QUICKBRIDGE®



cilindro + cappetta	LPCQB
cappetta di posizionamento	LPCQBCAP
estensione distale	LPCDE

PILASTRO LOCATOR PER LOW PROFILE ANGOLATO



pilastro Locator (conf. 2 pz)	08909-2
-------------------------------	---------

\* La vite va ordinata a parte

# PILASTRO OverdenSURE®



3,4 mm

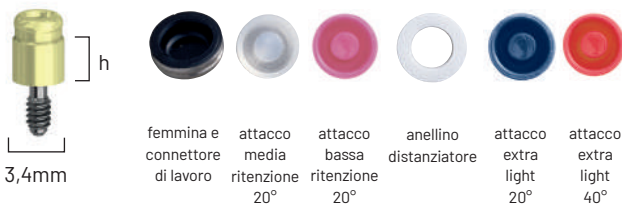
distanza interarcata drasticamente ridotta  
 consente la correzione fino a 40° tra impianti divergenti  
 altezza verticale minima di 3,17 mm  
 la durevole resistenza del connettore riduce il numero delle visite di controllo

## CONNESSIONE ESAGONO ESTERNO



### PILASTRO OverdenSURE®

20Ncm



3,4mm

femmina e connettore di lavoro  
 attacco media ritenzione 20°  
 attacco bassa ritenzione 20°  
 anellino distanziatore  
 attacco extra light 20°  
 attacco extra light 40°

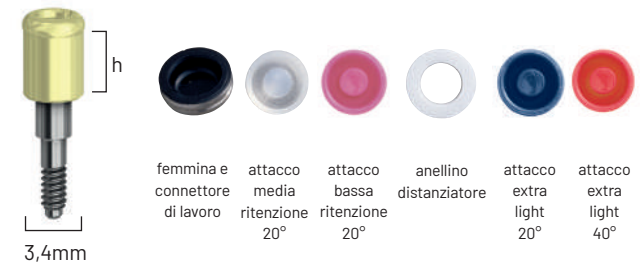
h 1 mm	ODS-EXHEX301
h 2 mm	ODS-EXHEX302
h 3 mm	ODS-EXHEX303
h 4 mm	ODS-EXHEX304
h 5 mm	ODS-EXHEX305
h 6 mm	ODS-EXHEX306

## CONNESSIONE INTERNA Certain®



### PILASTRO OverdenSURE®

20Ncm



3,4mm

femmina e connettore di lavoro  
 attacco media ritenzione 20°  
 attacco bassa ritenzione 20°  
 anellino distanziatore  
 attacco extra light 20°  
 attacco extra light 40°

h 1 mm	ODS-CERT301
h 2 mm	ODS-CERT302
h 3 mm	ODS-CERT303
h 4 mm	ODS-CERT304
h 5 mm	ODS-CERT305
h 6 mm	ODS-CERT306

Tutti i pilastri OverdenSURE sono pre-montati con uno strumento di posizionamento per garantirne facilità d'uso.



CONNESSIONE ESAGONO ESTERNO



CONNESSIONE INTERNA Certain®



COPING PER IMPRONTA



cappetta per impronta q.tà 1	ODS-IC01
cappetta per impronta q.tà 4	ODS-IC04
cappetta per impronta q.tà 10	ODS-IC010

ANALOGO



analogo q.tà 1	ODS-AA01
analogo q.tà 4	ODS-AA04
analogo q.tà 10	ODS-AA010

KIT DI RITENZIONE STANDARD 20°



kit di ritenzione standard 20° q.tà 1 set	ODS-RIKIT2001
kit di ritenzione standard 20° q.tà 2 set	ODS-RIKIT2002

KIT DI RITENZIONE STANDARD 40°



kit di ritenzione 40° q.tà 1 set	ODS-RIKIT4001
kit di ritenzione 40° q.tà 2 set	ODS-RIKIT4002

INSERTI DI RITENZIONE 20°



inserto di ritenzione blu 20° q.ta 4 extralight (680 g) ODS-RIB2004



inserto di ritenzione rosa 20° q.ta 4 light (1360 g) ODS-RIP2004



inserto di ritenzione trasparente 20° q.ta 4 medio (2270 g) ODS-RIC2004

INSERTI DI RITENZIONE 40°



inserto di ritenzione rosso 40° q.ta 4 extralight (450 g) ODS-RIR4004



inserto di ritenzione giallo 40° q.ta 4 light (910 g) ODS-RIY4004



inserto di ritenzione verde 40° q.ta 4 medio (1810 g) ODS-RIG4004

CAPPETTA DELL'ALLOGGIAMENTO DI RITENZIONE



cappetta dell'alloggiamento di ritenzione q.tà1	ODS-RH01
cappetta dell'alloggiamento di ritenzione q.tà4	ODS-RH04
cappetta dell'alloggiamento di ritenzione q.tà10	ODS-RH010

ANELLINO DISTANZIATORE



anellino distanziatore q.tà 20 ODS-BS020

DRIVER PER ABUTMENT\*



driver per abutment ODS-DRVR

STRUMENTO DI INSERIMENTO E RIMOZIONE DELL'INSERTO DI RITENZIONE

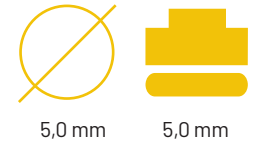


strumento di inserimento e rimozione dell'inserto di ritenzione ODS-IRTOOL

\* Il driver va utilizzato con la chiave dinamometrica TWR

CONNESSIONE ESAGONO ESTERNO

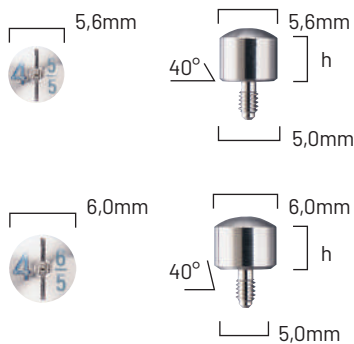
## PILASTRI DI GUARIGIONE



### PILASTRO DI GUARIGIONE MONOCOMPONENTE

I diametri vengono scelti in base all'anatomia del dente da restaurare, offrendo così un profilo di emergenza ottimale. Si usa per mantenere l'apertura dei tessuti o durante la preparazione della protesi.

Si avvita con i driver PHD02 e PHD03 o con le connessioni RASH3 e RASH8

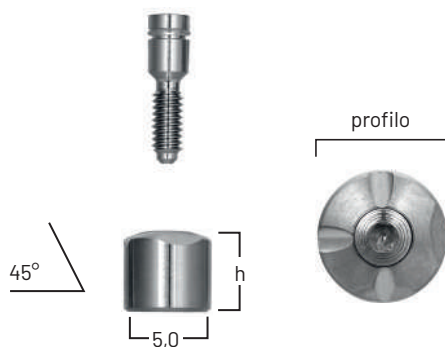


5,6 mm profilo x 2 mm h.	WTH52
5,6 mm profilo x 3 mm h.	WTH53
5,6 mm profilo x 4 mm h.	WTH54
5,6 mm profilo x 6 mm h.	WTH56
5,6 mm profilo x 8 mm h.	WTH58
6 mm profilo x 2 mm h.	WTH562
6 mm profilo x 3 mm h.	WTH563
6 mm profilo x 4 mm h.	WTH564
6 mm profilo x 6 mm h.	WTH566
6 mm profilo x 8 mm h.	WTH568

### PILASTRO DI GUARIGIONE BICOMPONENTE ENCODE

Grazie a una tecnologia esclusiva oggi è possibile rilevare l'impronta implantare direttamente dal pilastro di guarigione Encode senza necessità di coping o scanbody, riducendo al minimo le manipolazioni dei tessuti e le difficoltà operative.

La protesi CAD/CAM viene realizzata da impronte digitali o analogiche con le componenti della linea GenTek™ (vedi pagg. 150-156) ed è indicata per riabilitazioni singole o multiple.



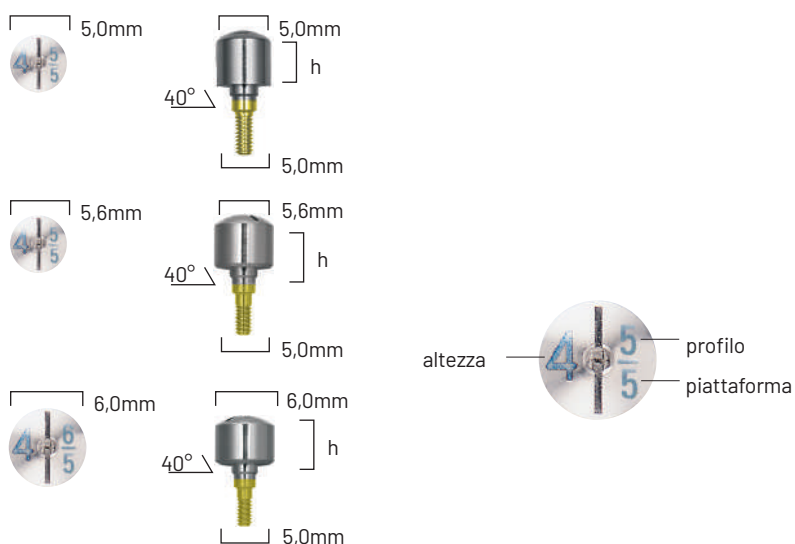
5,6 mm profilo x 3 mm h.	EHA553
5,6 mm profilo x 4 mm h.	EHA554
5,6 mm profilo x 6 mm h.	EHA556
5,6 mm profilo x 8 mm h.	EHA558
6 mm profilo x 3 mm h.	EHA563
6 mm profilo x 4 mm h.	EHA564
6 mm profilo x 6 mm h.	EHA566
6 mm profilo x 8 mm h.	EHA568

CONNESSIONE INTERNA Certain®



### PILASTRO DI GUARIGIONE MONOCOMPONENTE

I diametri vengono scelti in base all'anatomia del dente da restaurare, offrendo così un profilo di emergenza ottimale. Si usa per mantenere l'apertura dei tessuti o durante la preparazione della protesi.

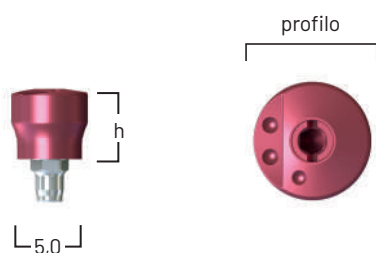


5,0 mm profilo x 2 mm L.	ISWHA52
5,0 mm profilo x 3 mm L.	ISWHA53
5,0 mm profilo x 4 mm L.	ISWHA54
5,0 mm profilo x 6 mm L.	ISWHA56
5,0 mm profilo x 8 mm L.	ISWHA58
5,6 mm profilo x 2 mm L.	IWTH52
5,6 mm profilo x 3 mm L.	IWTH53
5,6 mm profilo x 4 mm L.	IWTH54
5,6 mm profilo x 6 mm L.	IWTH56
5,6 mm profilo x 8 mm L.	IWTH58
6,0 mm profilo x 2 mm L.	IWTH562
6,0 mm profilo x 3 mm L.	IWTH563
6,0 mm profilo x 4 mm L.	IWTH564
6,0 mm profilo x 6 mm L.	IWTH566
6,0 mm profilo x 8 mm L.	IWTH568

### PILASTRO DI GUARIGIONE BICOMPONENTE ENCODE EMERGENCE

Grazie a una tecnologia esclusiva oggi è possibile rilevare l'impronta implantare direttamente dal pilastro di guarigione Encode senza necessità di coping o scanbody, riducendo al minimo le manipolazioni dei tessuti e le difficoltà operative.

La protesi CAD/CAM viene realizzata da impronte digitali o analogiche con le componenti della linea GenTek™ (vedi pagg. 140-146) ed è indicata per riabilitazioni singole o multiple.



5 mm profilo x 3 mm h.	IEEHA553
5 mm profilo x 5 mm h.	IEEHA555
5 mm profilo x 7 mm h.	IEEHA557
6 mm profilo x 3 mm h.	IEEHA563
6 mm profilo x 5 mm h.	IEEHA565
6 mm profilo x 7 mm h.	IEEHA567
7,5 mm profilo x 3 mm h.	IEEHA573
7,5 mm profilo x 5 mm h.	IEEHA575
7,5 mm profilo x 7 mm h.	IEEHA577

# PILASTRO GingiHue®

angolazione massima di 15°  
 distanza interarcata richiesta di almeno 6 mm  
 il pilastro di 15° può alloggiare sull'impianto in 12 diverse posizioni  
 con Zero Rotation™ viene annullata la rotazione orizzontale (rotazione ridotta a 0°)  
 conicità di 6° e chiusura a chamfer  
 la superficie nitruata garantisce una traslucenza tissutale naturale  
 per ponti o denti singoli cementabili  
 la diversità delle configurazioni permette di scegliere il pilastro adeguato al caso da trattare  
 si può fresare per seguire il giusto profilo di emergenza  
 si usa con tecnica diretta o indiretta



CONNESSIONE ESAGONO ESTERNO



## PILASTRO GingiHue® DI 0°

Zero Rotation™

20Ncm



profilo

collare di 2 mm (h):	
profilo di 5 mm	WPP552G*
profilo di 6 mm	WPP562G*
profilo di 7,5 mm	WPP572G*

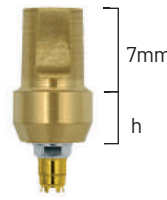
collare di 4 mm (h):	
profilo di 5 mm	WPP554G*
profilo di 6 mm	WPP564G*
profilo di 7,5 mm	WPP574G*

CONNESSIONE INTERNA Certain®



## PILASTRO GingiHue® DI 0°

20Ncm



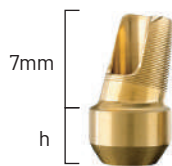
profilo

collare di 2 mm (h):	
profilo di 5 mm	IWPP552G*
profilo di 6 mm	IWPP562G*
profilo di 7,5 mm	IWPP572G*

collare di 4 mm (h):	
profilo di 5 mm	IWPP554G*
profilo di 6 mm	IWPP564G*
profilo di 7,5 mm	IWPP574G*

## PILASTRO GingiHue® DI 15°

20Ncm



profilo

collare di 2 mm (h):	
profilo di 5 mm	PAP552G*
profilo di 6 mm	PAP562G*
profilo di 7,5 mm	PAP572G*

collare di 4 mm (h):	
profilo di 5 mm	PAP554G*
profilo di 6 mm	PAP564G*
profilo di 7,5 mm	PAP574G*

## PILASTRO GingiHue® DI 15°

20Ncm



profilo

collare di 2 mm (h):	
profilo di 5 mm	IPAP552G*
profilo di 6 mm	IPAP562G*
profilo di 7,5 mm	IPAP572G*

collare di 4 mm (h):	
profilo di 5 mm	IPAP554G*
profilo di 6 mm	IPAP564G*
profilo di 7,5 mm	IPAP574G*

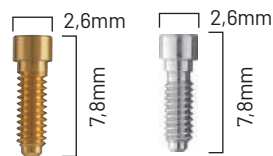
\* Fornito in abbinamento con vite Gold-Tite®.  
 Per richieste diverse si prega di specificare nell'ordine.

\* Fornito in abbinamento con vite Gold-Tite®.  
 Per richieste diverse si prega di specificare nell'ordine.

CONNESSIONE ESAGONO ESTERNO



VITE DI RITENZIONE



Gold-Tite® esagonale	UNIHG
Gold-Tite® quadrata	UNISG <sup>1</sup>
vite di titanio esagonale	UNIHT
vite di titanio quadrata	UNIST

<sup>1</sup> si può avvitare a 32 Ncm

VITE DI PROVA



quadrata (confezione da 5)	UNITS
----------------------------	-------

COPING DA IMPRONTA PICK-UP



profilo di 5 mm	WIP55
profilo di 6 mm	WIP56
profilo di 7,5 mm	WIP57
vite coping (inclusa)	WSU30

COPING DA IMPRONTA TWIST-LOCK™



profilo di 5 mm	WIT55
profilo di 6 mm	WIT56
profilo di 7,5 mm	WIT57

ANALOGO DELL'IMPIANTO



ILAW5

PILASTRO PERFORMANCE™ E CILINDRO IN TITANIO  
Fornito con UNIHT

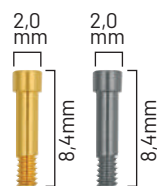


cilindro Performance 0° h. 1 mm esagonale	WPFTC51**
cilindro Performance 0° h. 1 mm non esagonale	WPFTC52**
cilindro esagonale in titanio	WTCS51**
cilindro non esagonale in titanio	WTCS52**

CONNESSIONE INTERNA Certain®



VITE DI RITENZIONE



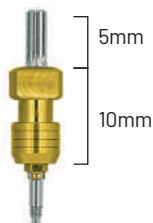
Vite Gold-Tite® esagonale	IUNIHG
Vite di titanio esagonale	IUNIHT
Vite Gold-Tite® diametro largo	ILRGHG
Vite di titanio diametro largo	ILRGHT

VITE DI PROVA



esagonale (confezione da 5)	IUNITS
-----------------------------	--------

COPING DA IMPRONTA PICK-UP



profilo di 5 mm	IWIP55
profilo di 6 mm	IWIP56
profilo di 7,5 mm	IWIP57
vite coping (inclusa)	IWSU30

COPING DA IMPRONTA TWIST-LOCK™



profilo di 5 mm	IWIT55
profilo di 6 mm	IWIT56
profilo di 7,5 mm	IWIT57

ANALOGO DELL'IMPIANTO



IILAW5

PILASTRO PERFORMANCE™ E CILINDRO IN TITANIO



pilastro Performance 0° h. 4 mm	IWFPF554**
pilastro Performance 0° h. 6 mm	IWFPF556**
pilastro Performance 15° h. 4 mm	IPAPF554**
pilastro Performance 15° h. 6 mm	IPAPF556**
cilindro Performance 0° h. 1 mm esagonale	IWPFTC51**
cilindro Performance 0° h. 1 mm non esagonale	IWPFTC52*
cilindro esagonale in titanio	IWTCS51**
cilindro non esagonale in titanio	IWTCS52*

\* Fornito con ILRGHT | \*\* Fornito con vite in titanio.

# PILASTRO UCLA



5,0 mm

disponibile in versione Zero Rotation™ con rotazione di 0°  
 angolazione massima consentita di 30° (in caso di cementazione) e 10° (in caso di avvvitamento)  
 distanza interarcata richiesta di almeno 6 mm (in caso di cementazione) e 4,5 mm (in caso di avvvitamento)  
 è ideale per ottenere una soluzione altamente estetica quando vi sono meno di 2 mm di gengiva sull'impianto  
 la struttura ottenuta con sovrafusione è a contatto diretto con l'impianto  
 si usa la versione esagonale per i denti singoli o per la costruzione di monconi personalizzati e quella non esagonale per i ponti  
 in caso di angolazione è indicato per creare una sottostruttura alla quale la corona si cementa o si fissa con vite linguale  
 il cilindro d'oro lavorato a macchina garantisce un alloggiamento preciso e passivo

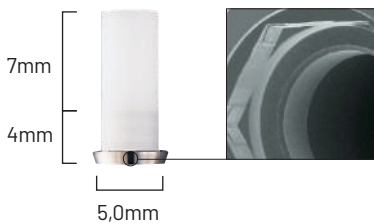
CONNESSIONE ESAGONO ESTERNO



## PILASTRO UCLA D'ORO

Zero Rotation™

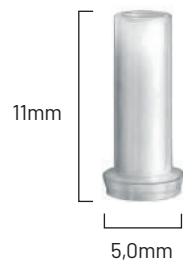
20Ncm



esagonale (Zero Rotation)	SWG51C*
esagonale	WGA51C*
non esagonale	WGA52C*

## PILASTRO UCLA CALCINABILE

20Ncm



calcinabile esagonale	WPC51C*
calcinabile non esagonale	WPC52C*

\* Fornito in abbinamento con vite Gold-Tite®.  
 Per richieste diverse si prega di specificare nell'ordine.

CONNESSIONE INTERNA Certain®



## PILASTRO UCLA D'ORO

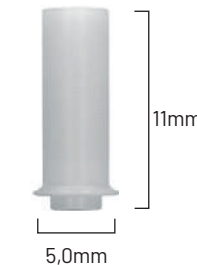
20Ncm



base in oro con esagono	IWGA51C*
base in oro senza esagono	IWGA52C**
base in oro senza esagono	IWGA52T***

## PILASTRO UCLA CALCINABILE

20Ncm



interamente calcinabile senza esagono	IWPC52C**
interamente calcinabile senza esagono	IWPC52T***

\* Fornito in abbinamento con vite Gold-Tite®.  
 Per richieste diverse si prega di specificare nell'ordine.

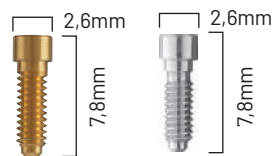
\*\* Fornito con vite esagonale Gold-Tite® diametro largo ILRGHG  
 \*\*\* Fornito con vite esagonale in titanio diametro largo ILRGHT



CONNESSIONE ESAGONO ESTERNO



VITE DI RITENZIONE



Gold-Tite® esagonale	UNIHG
Gold-Tite® quadrata	UNISG <sup>1</sup>
vite di titanio esagonale	UNIHT
vite di titanio quadrata	UNIST

<sup>1</sup> si può avvitare a 32 Ncm

VITE DI PROVA



quadrata (confezione da 5)	UNITS
----------------------------	-------

COPING DA IMPRONTA PICK-UP



profilo di 5 mm	WIP55
profilo di 6 mm	WIP56
profilo di 7,5 mm	WIP57
vite coping (inclusa)	WSU30

COPING DA IMPRONTA TWIST-LOCK™



profilo di 5 mm	WIT55
profilo di 6 mm	WIT56
profilo di 7,5 mm	WIT57

ANALOGO DELL'IMPIANTO



ILAW5

PILASTRO PERFORMANCE™ E CILINDRO IN TITANIO  
Fornito con UNIHT

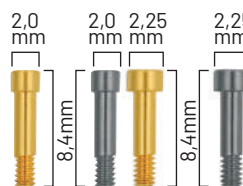


cilindro Performance 0° h. 1 mm esagonale	WPFTC51**
cilindro Performance 0° h. 1 mm non esagonale	WPFTC52**
cilindro esagonale in titanio	WTCS51**
cilindro non esagonale in titanio	WTCS52**

CONNESSIONE INTERNA Certain®



VITE DI RITENZIONE



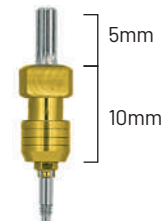
Vite Gold-Tite® esagonale	IUNIHG
Vite di titanio esagonale	IUNIHT
Vite Gold-Tite® diametro largo	ILRGHG
Vite di titanio diametro largo	ILRGHT

VITE DI PROVA



esagonale (confezione da 5)	IUNITS
-----------------------------	--------

COPING DA IMPRONTA PICK-UP



profilo di 5 mm	IWIP55
profilo di 6 mm	IWIP56
profilo di 7,5 mm	IWIP57
vite coping (inclusa)	IWSU30

COPING DA IMPRONTA TWIST-LOCK™



profilo di 5 mm	IWIT55
profilo di 6 mm	IWIT56
profilo di 7,5 mm	IWIT57

ANALOGO DELL'IMPIANTO



IILAW5

PILASTRO PERFORMANCE™ E CILINDRO IN TITANIO



pilastro Performance 0° h. 4 mm	IWPFP554**
pilastro Performance 0° h. 6 mm	IWPFP556**
pilastro Performance 15° h. 4 mm	IPAPF554**
pilastro Performance 15° h. 6 mm	IPAPF556**
cilindro Performance 0° h. 1 mm esagonale	IWPFTC51**
cilindro Performance 0° h. 1 mm non esagonale	IWPFTC52*
cilindro esagonale in titanio	IWTCS51**
cilindro non esagonale in titanio	IWTCS52*

\* Fornito con ILRGHT | \*\* Fornito con vite in titanio.

# PILASTRO LOW PROFILE



5,0 mm

distanza interarcata richiesta di almeno 7,5 mm  
fornito con il sistema di avvitamento Asyst  
solo 2,2 mm di ingombro verticale  
profilo di emergenza anatomico  
unica piattaforma protesica per tre diametri implantari  
disponibile in versione sia mono che bi-componente  
la costruzione del dente singolo si effettua con il cilindro non-rotante avvitato sul pilastro  
le protesi parziali o totali si effettuano con il cilindro rotante  
disponibile con angolazioni fino a 35°  
ideale per restauri con più di 2-3 mm di gengiva quando l'estetica è un requisito essenziale

CONNESSIONE ESAGONO ESTERNO



## PILASTRO LOW PROFILE DI 0° CORPO UNICO



ALTEZZA

ALTEZZA	
1,0 mm	LPC541U
2,0 mm	LPC542U
3,0 mm	LPC543U
4,0 mm	LPC544U

*I cilindri d'oro, calcinabili e provvisori da utilizzare con il pilastro a corpo unico devono essere NON ESAGONALI*

CONNESSIONE INTERNA Certain®



## PILASTRO LOW PROFILE DI 0° CORPO UNICO



ALTEZZA

ALTEZZA	
1,0 mm	ILPC541U
2,0 mm	ILPC542U
3,0 mm	ILPC543U
4,0 mm	ILPC544U

*I cilindri d'oro, calcinabili e provvisori da utilizzare con il pilastro a corpo unico devono essere NON ESAGONALI*

## PILASTRO LOW PROFILE DI 0° DUE PEZZI



ALTEZZA

ALTEZZA	
1,0 mm	LPC541
2,0 mm	LPC542
3,0 mm	LPC543
4,0 mm	LPC544

## PILASTRO LOW PROFILE DI 0° DUE PEZZI



ALTEZZA

ALTEZZA	
1,0 mm	ILPC541
2,0 mm	ILPC542
3,0 mm	ILPC543
4,0 mm	ILPC544

## PILASTRO LOW PROFILE DI 17° E 30°



ALTEZZA

ALTEZZA	17°	30°
1,0 mm		
2,0 mm	LPAC5217	
3,0 mm		LPAC5330
4,0 mm	LPAC5417	
5,0 mm		LPAC5530

## PILASTRO LOW PROFILE DI 17° E 30°



ALTEZZA

ALTEZZA	17°	30°
1,0 mm		
2,0 mm	ILPAC5217	
3,0 mm		ILPAC5330
4,0 mm	ILPAC5417	
5,0 mm		ILPAC5530

CONNESSIONE ESAGONO ESTERNO



CONNESSIONE INTERNA Certain®



COPING PICK-UP



esagonale	LPCPIC1
non esagonale	LPCPIC2

COPING A STRAPPO



esagonale	LPCTIC1
non esagonale	LPCTIC2

ANALOGO



analogo	LPCLA
---------	-------

CILINDRO D'ORO E CILINDRO CALCINABILE \*



esagonale in oro	LPCGC1
non esagonale in oro	LPCGC2
esagonale calcinabile	LPCCC1
non esagonale calcinabile	LPCCC2

CILINDRO PER SALDATURA LASER\*



cilindro saldatura laser	LPCTUCA
--------------------------	---------

ACCESSORI DI LABORATORIO



strumento per levigatura	LPCAMI
protezione per lucidatura	LPCPP

VITI



vite di ritenzione Gold-Tite®	LPCGSH
vite di ritenzione in titanio	LPCTSH
vite di ceratura e per coping pick-up	LPCWS

COMPONENTI IN TITANIO E PREFORMANCE™\*



cilindro in titanio esagonale	LPCTC1
cilindro in titanio non esagonale	LPCTC2
cilindro PreFormance esagonale	LPCPTC1
cilindro PreFormance non esag.	LPCPTC2
cappetta di protezione	LPCHC

COMPONENTI QUICKBRIDGE®



cilindro + cappetta	LPCQB
cappetta di posizionamento	LPCQBCAP
estensione distale	LPCDE

PILASTRO LOCATOR PER LOW PROFILE ANGOLATO



pilastro Locator (conf. 2 pz)	08909-2
-------------------------------	---------

\* La vite va ordinata a parte

# PILASTRO OverdenSURE®



5,0 mm

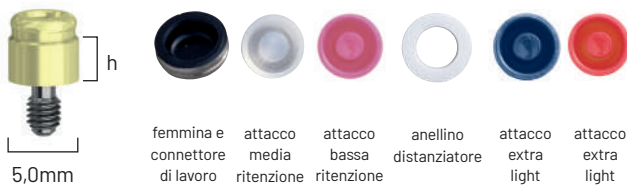
distanza interarcata drasticamente ridotta  
 consente la correzione fino a 40° tra impianti divergenti  
 altezza verticale minima di 3,17 mm  
 la durevole resistenza del connettore riduce il numero delle visite di controllo

## CONNESSIONE ESAGONO ESTERNO



### PILASTRO OverdenSURE®

20Ncm



5,0mm

femmina e connettore di lavoro  
 attacco media ritenzione 20°  
 attacco bassa ritenzione 20°  
 anellino distanziatore  
 attacco extra light 20°  
 attacco extra light 40°

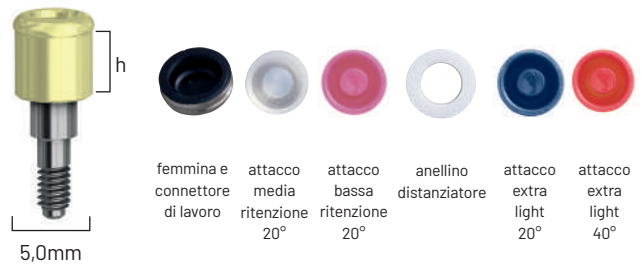
h 1 mm	ODS-EXHEX501
h 2 mm	ODS-EXHEX502
h 3 mm	ODS-EXHEX503
h 4 mm	ODS-EXHEX504
h 5 mm	ODS-EXHEX505
h 6 mm	ODS-EXHEX506

## CONNESSIONE INTERNA Certain®



### PILASTRO OverdenSURE®

20Ncm





5,0mm

femmina e connettore di lavoro  
 attacco media ritenzione 20°  
 attacco bassa ritenzione 20°  
 anellino distanziatore  
 attacco extra light 20°  
 attacco extra light 40°

h 1 mm	ODS-CERT501
h 2 mm	ODS-CERT502
h 3 mm	ODS-CERT503
h 4 mm	ODS-CERT504
h 5 mm	ODS-CERT505
h 6 mm	ODS-CERT506

Tutti i pilastri OverdenSURE sono pre-montati con uno strumento di posizionamento per garantirne facilità d'uso.



CONNESSIONE ESAGONO ESTERNO   
CONNESSIONE INTERNA Certain® 

COPING PER IMPRONTA



cappetta per impronta q.tà 1	ODS-IC01
cappetta per impronta q.tà 4	ODS-IC04
cappetta per impronta q.tà 10	ODS-IC010

ANALOGO



analogo q.tà 1	ODS-AA01
analogo q.tà 4	ODS-AA04
analogo q.tà 10	ODS-AA010

KIT DI RITENZIONE STANDARD 20°



kit di ritenzione standard 20° q.tà 1 set	ODS-RIKIT2001
kit di ritenzione standard 20° q.tà 2 set	ODS-RIKIT2002

KIT DI RITENZIONE STANDARD 40°



kit di ritenzione 40° q.tà 1 set	ODS-RIKIT4001
kit di ritenzione 40° q.tà 2 set	ODS-RIKIT4002

INSERTI DI RITENZIONE 20°



inserto di ritenzione blu 20° q.ta 4 extralight (680 g)	ODS-RIB2004
---	-------------



inserto di ritenzione rosa 20° q.ta 4 light (1360 g)	ODS-RIP2004
--	-------------



inserto di ritenzione trasparente 20° q.ta 4 medio (2270 g)	ODS-RIC2004
---	-------------

INSERTI DI RITENZIONE 40°



inserto di ritenzione rosso 40° q.ta 4 extralight (450 g)	ODS-RIR4004
---	-------------



inserto di ritenzione giallo 40° q.ta 4 light (910 g)	ODS-RIY4004
---	-------------



inserto di ritenzione verde 40° q.ta 4 medio (1810 g)	ODS-RIG4004
---	-------------

CAPPETTA DELL'ALLOGGIAMENTO DI RITENZIONE



cappetta dell'alloggiamento di ritenzione q.tà1	ODS-RH01
cappetta dell'alloggiamento di ritenzione q.tà4	ODS-RH04
cappetta dell'alloggiamento di ritenzione q.tà10	ODS-RH010

ANELLINO DISTANZIATORE



anellino distanziatore q.tà 20	ODS-BS020
--------------------------------	-----------

DRIVER PER ABUTMENT\*



driver per abutment	ODS-DRVR
---------------------	----------

STRUMENTO DI INSERIMENTO E RIMOZIONE DELL'INSERTO DI RITENZIONE

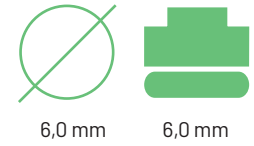


strumento di inserimento e rimozione dell'inserto di ritenzione	ODS-IRT00L
---	------------

\* Il driver va utilizzato con la chiave dinamometrica TWR

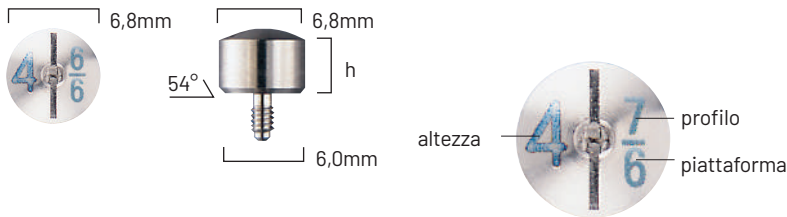
# PILASTRI DI GUARIGIONE

CONNESSIONE ESAGONO ESTERNO



## PILASTRO DI GUARIGIONE MONOCOMPONENTE

I diametri vengono scelti in base all'anatomia del dente da restaurare, offrendo così un profilo di emergenza ottimale. Si usa per mantenere l'apertura dei tessuti o durante la preparazione della protesi. Si avvita con i driver PHD02 e PHD03 o con le connessioni RASH3 e RASH8

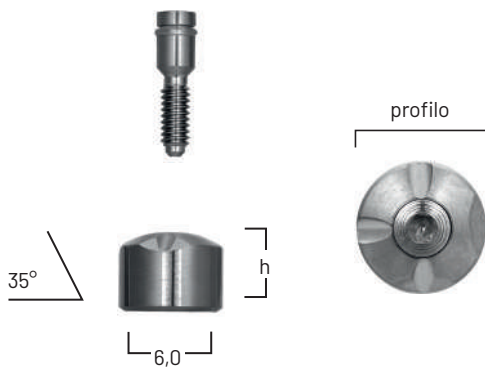


6,8 mm profilo x 2 mm h.	WTH62
6,8 mm profilo x 3 mm h.	WTH63
6,8 mm profilo x 4 mm h.	WTH64
6,8 mm profilo x 6 mm h.	WTH66
6,8 mm profilo x 8 mm h.	WTH68

## PILASTRO DI GUARIGIONE BICOMPONENTE ENCODE

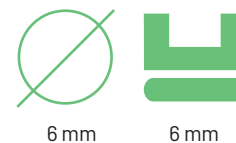
Grazie a una tecnologia esclusiva oggi è possibile rilevare l'impronta implantare direttamente dal pilastro di guarigione Encode senza necessità di coping o scanbody, riducendo al minimo le manipolazioni dei tessuti e le difficoltà operative.

La protesi CAD/CAM viene realizzata da impronte digitali o analogiche con le componenti della linea GenTek™ (vedi pagg. 150-156) ed è indicata per riabilitazioni singole o multiple.



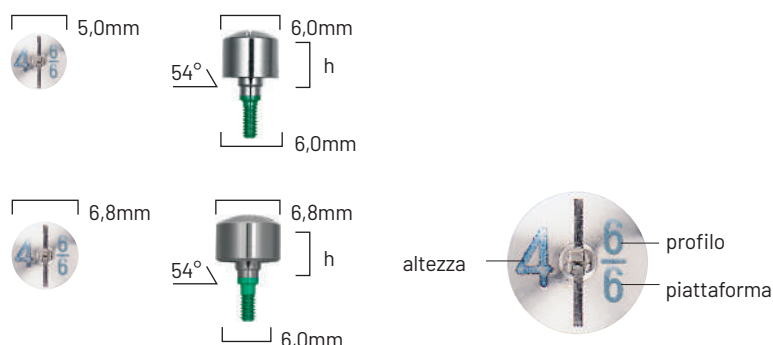
6 mm profilo x 3 mm h.	EHA663
6 mm profilo x 4 mm h.	EHA664
6 mm profilo x 6 mm h.	EHA666
6 mm profilo x 8 mm h.	EHA668

CONNESSIONE INTERNA Certain®



### PILASTRO DI GUARIGIONE MONOCOMPONENTE

I diametri vengono scelti in base all'anatomia del dente da restaurare, offrendo così un profilo di emergenza ottimale. Si usa per mantenere l'apertura dei tessuti o durante la preparazione della protesi.

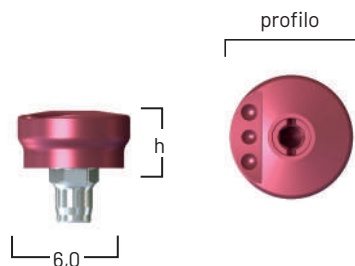


6,0 mm profilo x 2 mm h.	ISWHA62
6,0 mm profilo x 3 mm h.	ISWHA63
6,0 mm profilo x 4 mm h.	ISWHA64
6,0 mm profilo x 6 mm h.	ISWHA66
6,0 mm profilo x 8 mm h.	ISWHA68
6,8 mm profilo x 2 mm h.	IWTH62
6,8 mm profilo x 3 mm h.	IWTH63
6,8 mm profilo x 4 mm h.	IWTH64
6,8 mm profilo x 6 mm h.	IWTH66
6,8 mm profilo x 8 mm h.	IWTH68

### PILASTRO DI GUARIGIONE BICOMPONENTE ENCODE EMERGENCE

Grazie a una tecnologia esclusiva oggi è possibile rilevare l'impronta implantare direttamente dal pilastro di guarigione Encode senza necessità di coping o scanbody, riducendo al minimo le manipolazioni dei tessuti e le difficoltà operative.

La protesi CAD/CAM viene realizzata da impronte digitali o analogiche con le componenti della linea GenTek™ (vedi pagg. 140-146) ed è indicata per riabilitazioni singole o multiple.



6 mm profilo x 3 mm h.	IEEHA663
6 mm profilo x 5 mm h.	IEEHA665
6,8 mm profilo x 3 mm h.	IEEHA6683
6,8 mm profilo x 5 mm h.	IEEHA6685
7,5 mm profilo x 3 mm h.	IEEHA673
7,5 mm profilo x 5 mm h.	IEEHA675

# PILASTRO GingiHue®



6,0 mm

angolazione massima di 15°  
 distanza interarcata richiesta di almeno 6 mm  
 il pilastro di 15° può alloggiare sull'impianto in 12 diverse posizioni  
 con Zero Rotation™ viene annullata la rotazione orizzontale (rotazione ridotta a 0°)  
 conicità di 6° e chiusura a chamfer  
 la superficie niturata garantisce una trasparenza tissutale naturale  
 per ponti o denti singoli cementabili  
 la diversità delle configurazioni permette di scegliere il pilastro adeguato al caso da trattare  
 si può fresare per seguire il giusto profilo di emergenza  
 si usa con tecnica diretta o indiretta

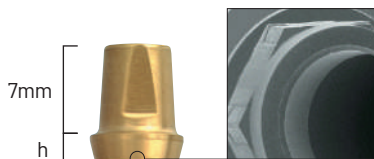
CONNESSIONE ESAGONO ESTERNO



## PILASTRO GingiHue® DI 0°

Zero Rotation™

20Ncm



profilo

collare di 2 mm (h):	
profilo di 6,0 mm	WPP662G*
profilo di 7,5 mm	WPP672G*

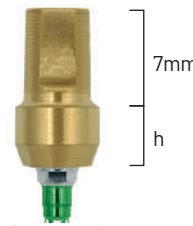
collare di 4 mm (h):	
profilo di 6,0 mm	WPP664G*
profilo di 7,5 mm	WPP674G*

CONNESSIONE INTERNA Certain®



## PILASTRO GingiHue® DI 0°

20Ncm



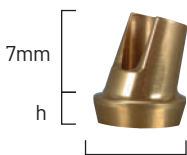
profilo

collare di 2 mm (h):	
profilo di 6,0 mm	IWPP662G*
profilo di 7,5 mm	IWPP672G*

collare di 4 mm (h):	
profilo di 6,0 mm	IWPP664G*
profilo di 7,5 mm	IWPP674G*

## PILASTRO GingiHue® DI 15°

20Ncm



profilo

collare di 2 mm (h):	
profilo di 6,0 mm	PAP662G*
profilo di 7,5 mm	PAP672G*

collare di 4 mm (h):	
profilo di 6,0 mm	PAP664G*
profilo di 7,5 mm	PAP674G*

## PILASTRO GingiHue® DI 15°

20Ncm



profilo

collare di 2 mm (h):	
profilo di 6,0 mm	IPAP662G*
profilo di 7,5 mm	IPAP672G*

collare di 4 mm (h):	
profilo di 6,0 mm	IPAP664G*
profilo di 7,5 mm	IPAP674G*

\* Fornito in abbinamento con vite Gold-Tite®.  
 Per richieste diverse si prega di specificare nell'ordine.

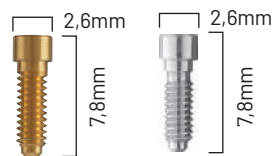
\* Fornito in abbinamento con vite Gold-Tite®.  
 Per richieste diverse si prega di specificare nell'ordine.



CONNESSIONE ESAGONO ESTERNO



VITE DI RITENZIONE



Gold-Tite®	esagonale	UNIHG
Gold-Tite®	quadrata	UNISG <sup>1</sup>
vite di titanio	esagonale	UNIHT
vite di titanio	quadrata	UNIST

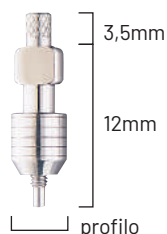
<sup>1</sup> si può avvitare a 32 Ncm

VITE DI PROVA



quadrata (confezione da 5)	UNITS
----------------------------	-------

COPING DA IMPRONTA PICK-UP



profilo di 6 mm	WIP66
profilo di 7,5 mm	WIP67
vite coping (inclusa)	WSU30

COPING DA IMPRONTA TWIST-LOCK™



profilo di 6 mm	WIT66
profilo di 7,5 mm	WIT67

ANALOGO DELL'IMPIANTO



ILAW6

PILASTRO PERFORMANCE™ E CILINDRO IN TITANIO  
Fornito con UNIHT

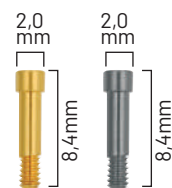


cilindro Performance 0° h. 1 mm esagonale	WPFTC61**
cilindro Performance 0° h. 1 mm non esagonale	WPFTC62**
cilindro esagonale in titanio	WTCS61**
cilindro non esagonale in titanio	WTCS62**

CONNESSIONE INTERNA Certain®



VITE DI RITENZIONE



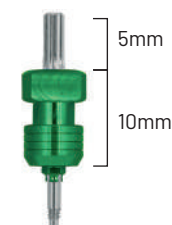
Vite Gold-Tite® esagonale	IUNIHG
Vite di titanio esagonale	IUNIHT
Vite Gold-Tite® diametro largo	ILRGHG
Vite di titanio diametro largo	ILRGHT

VITE DI PROVA



esagonale (confezione da 5)	IUNITS
-----------------------------	--------

COPING DA IMPRONTA PICK-UP



profilo di 6 mm	IWIP66
profilo di 7,5 mm	IWIP67
vite coping (inclusa)	IWSU30

COPING DA IMPRONTA TWIST-LOCK™



profilo di 6 mm	IWIT66
profilo di 7,5 mm	IWIT67

ANALOGO DELL'IMPIANTO



IILAW6

PILASTRO PERFORMANCE™ E CILINDRO IN TITANIO



pilastro Performance 0° h. 4 mm	IWFPF664**
pilastro Performance 0° h. 6 mm	IWFPF666**
pilastro Performance 15° h. 4 mm	IPAPF664**
pilastro Performance 15° h. 6 mm	IPAPF666**
cilindro Performance 0° h. 1 mm esagonale	IWPFTC61**
cilindro Performance 0° h. 1 mm non esagonale	IWPFTC62*
cilindro esagonale in titanio	IWTCS61**
cilindro non esagonale in titanio	IWTCS62*

\* Fornito con ILRGHT | \*\* Fornito con vite in titanio.

# PILASTRO UCLA



6,0 mm

disponibile in versione Zero Rotation™ con rotazione di 0°  
 angolazione massima consentita di 30° (in caso di cementazione) e 10° (in caso di avvvitamento)  
 distanza interarcata richiesta di almeno 6 mm (in caso di cementazione) e 4,5 mm (in caso di avvvitamento)  
 è ideale per ottenere una soluzione altamente estetica quando vi sono meno di 2 mm di gengiva sull'impianto  
 la struttura ottenuta con sovrافusione è a contatto diretto con l'impianto  
 si usa la versione esagonale per i denti singoli o per la costruzione di monconi personalizzati e quella non esagonale per i ponti  
 in caso di angolazione è indicato per creare una sottostruttura alla quale la corona si cimenta o si fissa con vite linguale  
 il cilindro d'oro lavorato a macchina garantisce un alloggiamento preciso e passivo

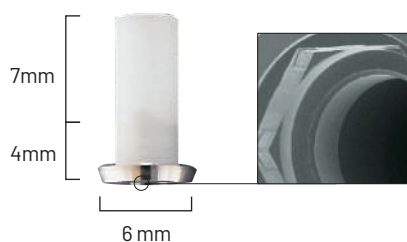
CONNESSIONE ESAGONO ESTERNO



## PILASTRO UCLA D'ORO

Zero Rotation™

20Ncm



esagonale (Zero Rotation)	SWGA61C*
non esagonale	WGA62C*

CONNESSIONE INTERNA Certain®



## PILASTRO UCLA D'ORO

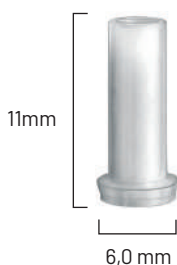
20Ncm



base in oro con esagono	IWGA61C*
base in oro senza esagono	IWGA62C**
base in oro senza esagono	IWGA62T***

## PILASTRO UCLA CALCINABILE

20Ncm

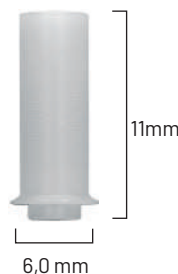


calcinabile esagonale	WPC61C*
calcinabile non esagonale	WPC62C*

\* Fornito in abbinamento con vite Gold-Tite®.  
 Per richieste diverse si prega di specificare nell'ordine.

## PILASTRO UCLA CALCINABILE

20Ncm



interamente calcinabile senza esagono	IWPC62C**
interamente calcinabile senza esagono	IWPC62T***

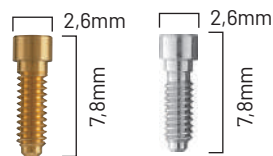
\* Fornito in abbinamento con vite Gold-Tite®.  
 Per richieste diverse si prega di specificare nell'ordine..

\*\* Fornito con vite esagonale Gold-Tite® diametro largo ILRGHG  
 \*\*\* Fornito con vite esagonale in titanio diametro largo ILRGHT

CONNESSIONE ESAGONO ESTERNO



VITE DI RITENZIONE



Gold-Tite® esagonale	UNIHG
Gold-Tite® quadrata	UNISG <sup>1</sup>
vite di titanio esagonale	UNIHT
vite di titanio quadrata	UNIST

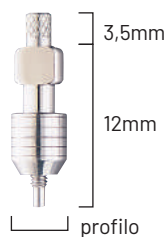
<sup>1</sup> si può avvitare a 32 Ncm

VITE DI PROVA



quadrata (confezione da 5)	UNITS
----------------------------	-------

COPING DA IMPRONTA PICK-UP



profilo di 6 mm	WIP66
profilo di 7,5 mm	WIP67
vite coping (inclusa)	WSU30

COPING DA IMPRONTA TWIST-LOCK™



profilo di 6 mm	WIT66
profilo di 7,5 mm	WIT67

ANALOGO DELL'IMPIANTO



ILAW6

PILASTRO PERFORMANCE™ E CILINDRO IN TITANIO  
Fornito con UNIHT

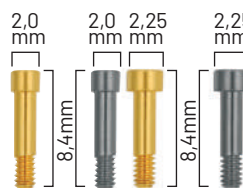


cilindro Performance 0° h. 1 mm esagonale	WPFTC61**
cilindro Performance 0° h. 1 mm non esagonale	WPFTC62**
cilindro esagonale in titanio	WTCS61**
cilindro non esagonale in titanio	WTCS62**

CONNESSIONE INTERNA Certain®



VITE DI RITENZIONE



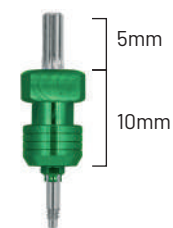
Vite Gold-Tite® esagonale	IUNIHG
Vite di titanio esagonale	IUNIHT
Vite Gold-Tite® diametro largo	ILRGHG
Vite di titanio diametro largo	ILRGHT

VITE DI PROVA



esagonale (confezione da 5)	IUNITS
-----------------------------	--------

COPING DA IMPRONTA PICK-UP



profilo di 6 mm	IWIP66
profilo di 7,5 mm	IWIP67
vite coping (inclusa)	IWSU30

COPING DA IMPRONTA TWIST-LOCK™



profilo di 6 mm	IWIT66
profilo di 7,5 mm	IWIT67

ANALOGO DELL'IMPIANTO



IILAW6

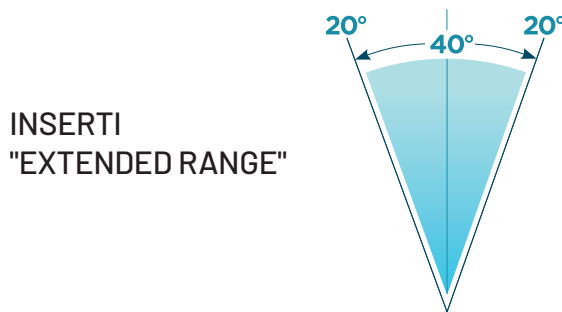
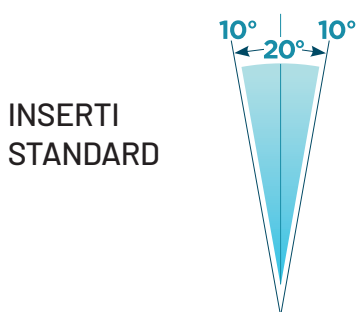
PILASTRO PERFORMANCE™ E CILINDRO IN TITANIO



pilastro Performance 0° h. 4 mm	IWFPF664**
pilastro Performance 0° h. 6 mm	IWFPF666**
pilastro Performance 15° h. 4 mm	IPAPF664**
pilastro Performance 15° h. 6 mm	IPAPF666**
cilindro Performance 0° h. 1 mm esagonale	IWPFTC61**
cilindro Performance 0° h. 1 mm non esagonale	IWPFTC62*
cilindro esagonale in titanio	IWTCS61**
cilindro non esagonale in titanio	IWTCS62*

\* Fornito con ILRGHT | \*\* Fornito con vite in titanio.

## PILASTRI E ACCESSORI PER IMPIANTI LODI



### INSERTI RITENTIVI LODI E CAPPETTE DI ALLOGGIAMENTO



08510 Denture Attachment Housing Assembly (4 Pack)

08510-10 Denture Attachment Housing Assembly (10 Pack)



08529 Blue: Low Retention Standard Range Inserts (4 Pack)

08529-20 Blue: Low Retention Standard Range Inserts (20 Pack)



08527 Pink: Medium Retention Standard Range Inserts (4 Pack)

08527-20 Pink: Medium Retention Standard Range Inserts (20 Pack)



08524 Clear: High Retention Standard Range Inserts (4 Pack)

08524-20 Clear: High Retention Standard Range Inserts (20 Pack)



08548 Red: Low Retention Extended Range Inserts (4 Pack)

08548-20 Red: Low Retention Extended Range Inserts (20 Pack)



08915 Orange: Medium Retention Extended Range Inserts (4 Pack)

08915-20 Orange: Medium Retention Extended Range Inserts (20 Pack)



08547 Green: High Retention Extended Range Inserts (4 Pack)

08547-20 Green: High Retention Extended Range Inserts (20 Pack)



08558 Gray: Zero Retention Extended Range Inserts (4 Pack)

08558-20 Gray: Zero Retention Extended Range Inserts (20 Pack)

### PILASTRI LOCATOR PER IMPIANTI LODI

codice	altezza
07351	2.5 mm
07318	3 mm
07352	4 mm
07319	5 mm
07320	6 mm



## COMPONENTI PER MISURAZIONE



09530 Angle Measurement Guide



08517 Parallel Post (4 Pack)

## COMPONENTI DI LABORATORIO



08505 Impression Coping (4 Pack)

08505-20 Impression Coping (20 Pack)



08530 Abutment Analog (4mm)(4 Pack)

08530-20 Abutment Analog (4mm)(20 Pack)



07339 Healing Cap, 3mm

07340 Healing Cap, 4mm



08515 Black Processing Replacement Male (4 Pack)

08515-20 Black Processing Replacement Male (20 Pack)



08514 Block-Out Spacer (20 Pack)



08569 Processing Spacer (4 Pack)

08569-20 Processing Spacer (20 Pack)

## AVVITATORI E CHIAVI DINAMOMETRICHE



09020 30Ncm Torque Wrench, Thumb, Knob and 15mm Locator Insert Driver

04391 20Ncm Torque Wrench, Thumb, Knob and 15mm Locator Insert Driver



08913 Torque Wrench Insert Driver - 23mm total length (Short) (Latch Type)



08914 Torque Wrench Insert Driver - 29mm total length (Long) (Latch Type)



08926 LOCATOR® Square Driver Torque Wrench Insert Driver (15mm)



08927 LOCATOR® Square Driver Torque Wrench Insert Driver (21mm)



04936 050 Hex Insert Driver for 30Ncm Torque Wrench (Square Drive Connection)(21mm)



# Tecnologie Digitali

- 136 – Il percorso dell'odontoiatria digitale
- 138 – Componenti digitali GenTek™
- 140 – Base da incollaggio GenTek™ TiBase con canale di accesso angolato
- 144 – Componenti Digitali GenTek™ Connessione a livello implantare
- 148 – Componenti Digitali GenTek™ Connessione al livello del pilastro

## IL PERCORSO DELL'ODONTOIATRIA DIGITALE

Il flusso delle nostre soluzioni digitali ti consente di scegliere ogni volta il modo migliore per ottenere il risultato ottimale su un T3® PRO posizionato con un'ottima stabilità primaria e nella posizione più corretta.

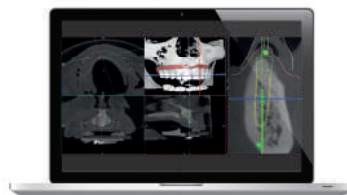
Il flusso si compone di diverse soluzioni per la pianificazione chirurgica, il posizionamento implantare guidato e la progettazione avanzata delle componenti protesiche.

Puoi partire dalla pianificazione implantare realizzata con un software semplice e intuitivo sino alla realizzazione della protesi provvisoria o definitiva. Decidi e scegli le tue opzioni di lavoro personalizzate per ricreare il sorriso del tuo paziente!



### SCANSIONE

Usa uno scanner digitale intraorale per migliorare l'esperienza del paziente e l'efficienza del tuo lavoro.



### PIANIFICAZIONE

Un software semplice ed intuitivo che offre tutto il necessario per una pianificazione accurata e per un posizionamento implantare predicibile.



### GUIDA

Mascherine chirurgiche stabili e precise per il trasferimento di quanto progettato nella realtà clinica.





**3-in-1**  
Pilastrò di guarigione  
Coping  
Scanbody

**GenTek™**  
Componenti originali  
ZimVie

**POSIZIONAMENTO**

Elimina la complessità e le imprecisioni dalla chirurgia utilizzando il sistema Navigator™ per la chirurgia guidata.

**GUARIGIONE E SCANSIONE**

Rileva in modo efficiente la posizione dell'impianto rispettando i tessuti molli con il sistema per impronte Encode Emergence.

**RESTAURO**

Scegli tra le diverse opzioni di pilastri e Ti-base per il restauro finale. Troverai componenti progettate per adattarsi all'anatomia del paziente e darti il miglior risultato estetico.

**PERSONALIZZA**

Lungo il nostro flusso troverai molti altri modi per personalizzare ancora di più il sorriso del tuo paziente!

## GenTek® COMPONENTI DIGITALI

### Caratteristiche & benefici

- Componenti implantari originali, progettati e realizzati per ridurre al minimo i microgap e i micromovimenti, per un'interfaccia stabile e robusta tra impianto e pilastro
- Pilastro TiBase, Pilastro PreMilled e gli accessori GenTek™ che fanno parte di un flusso di lavoro digitale completo e aperto
- Pilastro TiBase con connessione originale, compatibile con blocchetti CEREC®.



Le librerie per i componenti da restauro sono disponibili per i soft ware CAD Zfx CAD, Exocad, 3Shape e Dentalwings.

**Download gratuito su [zfx-dental.com](http://zfx-dental.com)**



## SCAN BODY E ANALOGHI DIGITALI GENTEK®



Il disegno degli Scan Body GenTek™ include:

- Una base di connessione in titanio per garantire un adattamento preciso alla connessione dell'impianto, per risultati di scansione ottimali
- Un design sottile e asimmetrico per adattarsi a spazi interprossimali stretti
- Il design dritto sulla base in titanio dello Scan Body non supera la piattaforma dell'impianto, mitigando così la necessità di profilatura ossea quando l'impianto non è posizionato più in profondità di 3 millimetri sottocrestale
- Doppio utilizzo per scansione intraorale e desktop
- Il corpo è realizzato in materiale PEEK per fornire una superficie favorevole per gli scanner ottici



Il design sottile dello Scan Body è progettato per spazi ristretti e riduce al minimo la necessità di profilatura ossea grazie al design dritto.



Uno strumento di posizionamento consente di installare l'analogo con facilità e precisione.

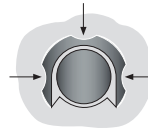
Gli analoghi digitali GenTek™ garantiscono un fit preciso per la progettazione del restauro definitivo

- Connessione originale, per un adattamento preciso ai componenti restaurativi
- Due tacche antirotazione e uno stop verticale per garantire il corretto orientamento con movimenti ridotti
- Vite di fissaggio per un posizionamento più affidabile dell'analogo
- Un codice colore ZimVie per una facile identificazione della dimensione della piattaforma protesica

# BASE DA INCOLLAGGIO GENTEK™ TIBASE con canale d'accesso angolato e spalla ad altezza variabile

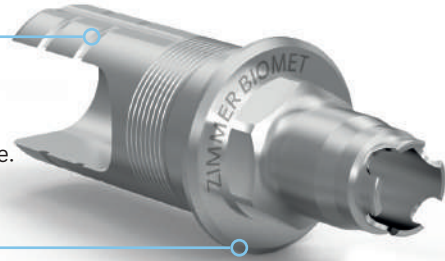
## Disegno antirotazionale e microfilettature

Per tutta l'altezza del corpo del Tibase sono presenti tre coulisse antirotazionali per prevenire possibili movimenti della corona protesica e delle microfilettature che contribuiscono alla stabilità della cementazione



## Connessione originale

Marchio Zimmer Biomet per indicare una connessione originale. Cerca la marcatura "Zimmer Biomet" alla base del TiBase per verificarne l'autenticità.



## Altezza del Tibase flessibile

A seconda delle esigenze protesiche è possibile ridurre l'altezza del Tibase GenTek™ tagliandolo alle apposite tacche presenti anche nelle librerie digitali (7 - 5,7 - 4,5 mm).

7,0 mm

5,7 mm

4,5 mm

## Canale di accesso alla vite

angolato fino a 25°

## Microfilettature

per la stabilità della cementazione.

## Spalla protesica

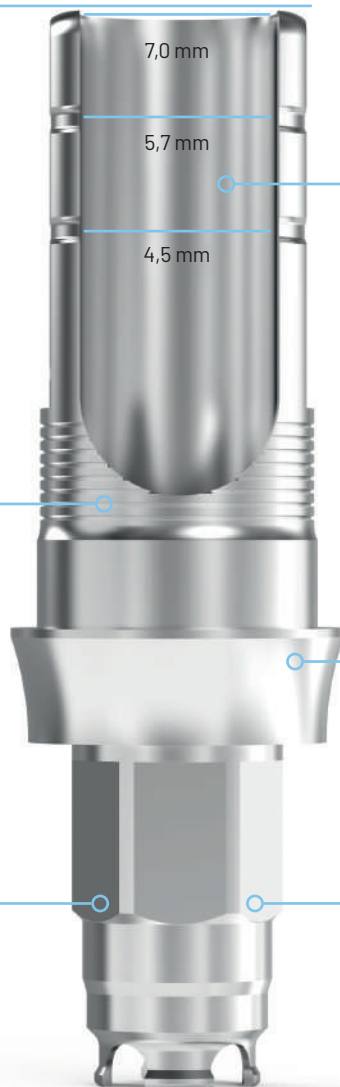
Sono disponibili tre diverse altezze della spalla protesica, da selezionare in base alla profondità del canale mucoso, per ottimizzare la protesi

## Connessioni

Disponibile per la connessione implantare ZimVie Certain®.

## Restauri multipli

I pilastri TiBase sono disponibili anche per casi multipli. La connessione non esagonale consente la libertà di rotazione adatta alla realizzazione di ponti multipli.



### Spalla ad altezza variabile

Il nuovo TiBase GenTek™ è disponibile con tre diverse altezze della spalla protesica per individualizzare al massimo la soluzione protesica. È particolarmente utile quando dobbiamo gestire canali mucosi profondi e per dare supporto a corone protesiche molto lunghe.

La combinazione vite inclinata e spalla di altezza variabile rende il nuovo GenTek™ Ti Base una soluzione universale.

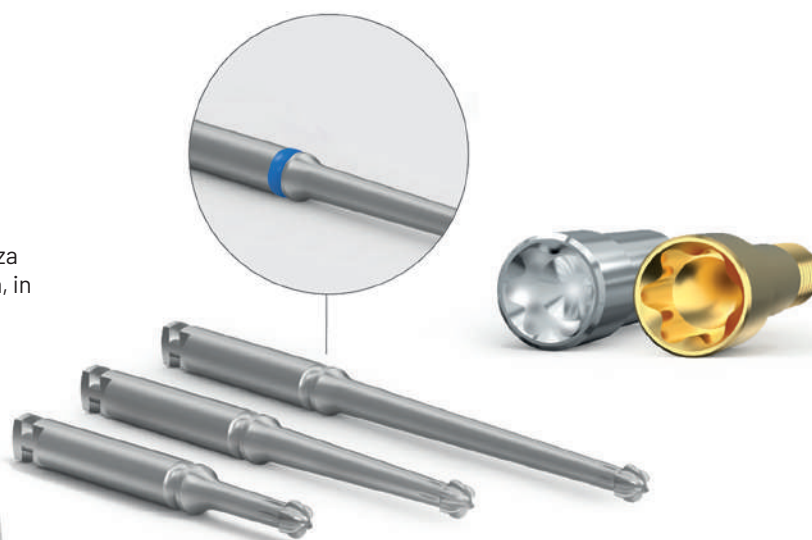


0,3 mm      1,3 mm      2,6 mm

### NOVITÀ: altezze del colletto aggiuntive

### Viti e cacciaviti esalobati

Sono disponibili cacciaviti esalobati di diversa lunghezza (21, 28 e 36 mm) per gestire senza difficoltà ogni situazione clinica, in qualsiasi zona della bocca.



### Slot di inserimento della vite

Permette di inclinare il canale di accesso della vite esalobata e quindi di avere una correzione dell'asse protesico da 0 sino a 25 gradi, di evitare l'uso di componenti inclinate e di dovere modificare il progetto protesico.

# Componenti digitali GenTek®

## Connessione a livello implantare

### Connessione Certain®

Base da incollaggio TiBase Certain® con canale di accesso angolato e spalla ad altezza variabile



<b>Connessione con ingaggio</b> incluse viti Gold-Tite® esalobata e da incollaggio)	Vite Gold-Tite® esalobata	Vite di prova esalobata
--	---------------------------	-------------------------



Altezza (mm)	Piattaforma implantare	Altezza colletto	Codice	Codice	Torque consigliato	Codice	Torque consigliato
7	3.4	0,3	ZFX11ZB-CE34ASZ03E	ZFX09-ZB-CE-HLGTE	20 Ncm	ZFX09-ZB-CE-HLTISE	Manuale
		1,3	ZFX11ZB-CE34AS13E				
		2,6	ZFX11ZB-CE34AS26E				
	4.1	0,3	ZFX11ZB-CE41ASZ03E				
		1,3	ZFX11ZB-CE41AS13E				
		2,6	ZFX11ZB-CE41AS26E				
	5.0	0,3	ZFX11ZB-CE50ASZ03E				
		1,3	ZFX11ZB-CE50AS13E				
		2,6	ZFX11ZB-CE50AS26E				

**Connessione senza ingaggio**  
(includere viti Gold-Tite® esalobata e da incollaggio)

Vite Gold-Tite® esalobata

Vite di prova esalobata



Altezza (mm)	Piattaforma implantare	Altezza coltetto	Codice	Codice	Torque consigliato	Codice	Torque consigliato
7	3.4	0,3	ZFX11ZB-CE34ASZ03N	ZFX09-ZB-CE-HLGTN	20 Ncm	ZFX09-ZB-CE-HLTISN	Manuale
		1,3	ZFX11ZB-CE34AS13N				
	4.1	0,3	ZFX11ZB-CE41ASZ03N				
		1,3	ZFX11ZB-CE41AS13N				
	5.0	0,3	ZFX11ZB-CE50ASZ03N				
		1,3	ZFX11ZB-CE50AS13N				

**Cacciavite esalobato**  
per viti Gold-Tite® esalobata e viti di prova esalobata



Lunghezza (mm)	Codice
21	ZFX02HLD21
28	ZFX02HLD28
36	ZFX02HLD36

# Componenti digitali GenTek®

## Connessione a livello implantare

### Connessione Certain® Componenti protesici per elemento singolo\*



Base da incollaggio Ti-Base / Connessione con ingaggio (incluse viti Gold-Tite® e da incollaggio)			Vite Gold-Tite® esagonale		Vite di prova esagonale	
Altezza (mm) 4,7	Piattaforma implantare (mm)	Codice	Codice		Codice	
	3.4	ZFX11-ZB-CE-3447-ES	ZFX09-ZB-CE-HGTS	20 Ncm	ZFX09-ZB-CE-HTIS	Manuale
	4.1	ZFX11-ZB-CE-4147-EL				
5.0	ZFX11-ZB-CE-5047-EL					

Pilastro prefresato in titanio (incl. vite Gold-Tite®)			Vite Gold-Tite® esagonale		Vite di prova esagonale	
Piattaforma implantare (mm)		Codice	Codice		Codice	
3.4		ZFX18-ZB-CE-34	ZFX09-ZB-CE-HGTS	20 Ncm	ZFX09-ZB-CE-HTIS	Manuale
4.1, 5.0, 6.0		ZFX18-ZB-CE-4160				

Componenti protesici per restauri multipli*			Vite Gold-Tite® esagonale larga		Vite di prova esagonale	
Altezza (mm) 4,7	Piattaforma implantare (mm)	Codice	Codice		Codice	
	3.4	ZFX11-ZB-CE-3447-NES	ZFX09-ZB-CE-LGTS	20 Ncm	ZFX09-ZB-CE-NHTIS	Manuale
	4.1	ZFX11-ZB-CE-4147-NEL				
5.0	ZFX11-ZB-CE-5047-NEL					

\*Compatibili con i blocchetti CEREC SIRONA



# Componenti digitali GenTek® Connessione a livello implantare

## Connessione Esagono Esterno Componenti protesici per elemento singolo\*



**Base da incollaggio Ti-Base / Connessione con ingaggio**  
(incluse viti Gold-Tite® quadrate e da incollaggio)



Vite Gold-Tite®  
con testa quadrata

Vite di prova  
esagonale

Altezza (mm)	Piattaforma implantare (mm)	Codice
4,7	3.4	ZFX11-ZB-EX-3447-EL
	4.1	ZFX11-ZB-EX-4147-EL
	5.0	ZFX11-ZB-EX-5047-EL



Codice		Codice	
ZFX09-ZB-EX-GTS	32 Ncm	ZFX09-ZB-EX-TIS	Manuale

**Pilastro prefresato in titanio**  
(incl. vite Gold-Tite®)



Piattaforma implantare (mm)	Codice
3.4	ZFX18-ZB-EX-34
4.1, 5.0, 6.0	ZFX18-ZB-EX-4160



Codice		Codice	
ZFX09-ZB-EX-GTS	32 Ncm	ZFX09-ZB-EX-TIS	Manuale

## Componenti protesici per restauri multipli\*

**Base da incollaggio Ti-Base / Connessione senza ingaggio**  
(incluse viti Gold-Tite® quadrate e da incollaggio)



Vite Gold-Tite®  
con testa quadrata

Vite di prova  
esagonale

Altezza (mm)	Piattaforma implantare (mm)	Codice
4,7	3.4	ZFX11-ZB-EX-3447-NEL
	4.1	ZFX11-ZB-EX-4147-NEL
	5.0	ZFX11-ZB-EX-5047-NEL



Codice		Codice	
ZFX09-ZB-EX-GTS	32 Ncm	ZFX09-ZB-EX-TIS	Manuale

\*Compatibili con i blocchetti CEREC SIRONA

# ScanBody e Analogo digitale

## Connessione Certain®

### Analogo digitale (vite inclusa)



Piattaforma implantare (mm)	Codice	Torque Consigliato
3.4	ZFX15Z-ZB-CE-34	Manuale
4.1	ZFX15Z-ZB-CE-41	
5.0	ZFX15Z-ZB-CE-50	
6.0	ZFX15Z-ZB-CE-60	

### Vite di fissaggio analogo digitale (confezione da 4 viti)



Codice	Torque Consigliato
ZFX15Z-FS	Manuale

### Scanbody intraorale (vite inclusa)



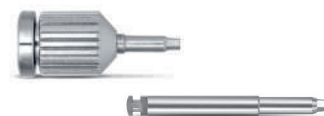
Piattaforma implantare (mm)	Codice	Torque Consigliato
3.4	ZFX05Z-ZB-CE-34	Manuale
4.1	ZFX05Z-ZB-CE-41	Manuale
5.0	ZFX05Z-ZB-CE-50	
6.0	ZFX05Z-ZB-CE-60	

### Driver esagonale per Scanbody intraorale



Descrizione	Codice
Driver esagonale con ritenzione GemLock® 1.25 mmD, 30 mm (L)	HXLGR1.25

### \*Driver a connessione esagonale per vite



Descrizione	Codice
Driver esagonale stretto, 17 mm (L)	PHD02N
Driver esagonale stretto, 24 mm (L)	PHD03N
Connessione esagonale stretta, 24 mm (L)	RASH3N
Connessione esagonale stretta, 30 mm (L)	RASH8N

### Kit con chiave dinamometrica protesica L-TIRWK



Descrizione	Codice
Kit chiave dinamometrica torque 10-35 Ncm Contiene: • Organizzatore RTI2035TR • Kit Chiave Dinamometrica Protesica L-TIRWK • Adattatore standard ISO1797 C9980 • Driver con esagono grande lunghezza 24 mm RASH3N • Driver quadrato lunghezza 24 mm RASQ3N	L-TIRWK

### Attivatore Certain® QuickSeat®



Codice
IQSA01

# ScanBody e Analogo digitale

## Connessione con Esagono Esterno

Analogo digitale (vite inclusa)



Piattaforma implantare (mm)	Codice	Torque Consigliato
3.4	ZFX15Z-ZB-EX-34	Manuale
4.1	ZFX15Z-ZB-EX-41	
5.0	ZFX15Z-ZB-EX-50	
6.0	ZFX15Z-ZB-EX-60	

Vite di fissaggio analogo digitale (confezione da 4 vite)



Codice	Torque Consigliato
ZFX15Z-FS	Manuale

Scanbody intraorale (vite inclusa)



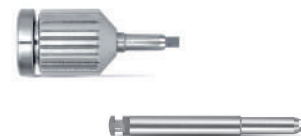
Piattaforma implantare (mm)	Codice	Torque Consigliato
3.4	ZFX15Z-ZB-EX-34	Manuale
4.1	ZFX15Z-ZB-EX-41	Manuale
5.0	ZFX15Z-ZB-EX-50	
6.0	ZFX15Z-ZB-EX-60	

Driver esagonale per Scanbody Intraorale



Descrizione	Codice
Driver esagonale con ritenzione GemLock® 1.25 mmD, 30 mm (L)	HXLGR1.25

Driver / Connessione quadrata per vite



Descrizione	Codice
Driver quadrato stretto, 17 mm (L)	PSQD0N
Driver quadrato stretto, 24 mm (L)	PSQD1N
Connessione quadrata stretta, 24 mm (L)	RASQ3N
Connessione quadrata stretta, 30 mm (L)	RASQ8N

Kit con chiave dinamometrica protesica L-TIRWK



Descrizione	Codice
Kit chiave dinamometrica torque 10-35 Ncm Contiene: • Organizzatore RTI2035TR • Kit Chiave Dinamometrica Protesica L-TIRWK • Adattatore standard ISO1797 C9980 • Driver con esagono grande lunghezza 24 mm RASH3N • Driver quadrato lunghezza 24 mm RASQ3N	L-TIRWK

Driver / Connessione esagonale










Solo per vite di prova

Descrizione	Codice
Driver esagonale stretto, 17 mm (L)	PHD02N
Driver esagonale stretto, 24 mm (L)	PHD03N
Connessione esagonale stretta, 24 mm (L)	RASH3N
Connessione esagonale stretta, 30 mm (L)	RASH8N

# Componenti Digitali GenTek™

## Connessione al livello del pilastro

### Pilastro Low Profile

<b>Base da incollaggio TiBase non esagonale</b> (incl. Vite Gold-Tite® e vite di incollaggio)			Vite Gold-Tite® esagonale		Vite di prova esagonale	
						
Altezza (mm)	Piattaforma Pilastro (mm)	Codice	Codice	Torque Consigliato	Codice	Manuale
5.0	4.8	ZFX11-ZB-LP-48	ZFX09-ZB-LP-GTS	10 Ncm	ZFX09-ZB-LP-RS	Manuale
<b>Analogo digitale</b> (vite inclusa)			<b>Vite di fissaggio analogo digitale</b> (confezione da 4 viti)			
						
Piattaforma implantare (mm)	Codice	Torque Consigliato	Codice	Torque Consigliato		
4,8	ZFX15Z-ZB-LP-48	Manuale	ZFX15Z-FS	Manuale		
<b>Scanbody intraorale</b> (vite inclusa)			<b>Driver esagonale per Scanbody intraorale</b>			
						
Piattaforma implantare (mm)	Codice	Torque Consigliato	Descrizione		Codice	
4,8	ZFX05Z-ZB-LP-48	Manuale	Driver esagonale corto con ritenzione GemLock®, 1.25 mmD, 22 mm (L)		HXGR1.25	
			Driver esagonale lungo con ritenzione GemLock®, 1.25 mmD, 30 mm (L)		HXLGR1.25	

# Componenti Speciali

- 150 – Columbus Bridge™ Protocol
- 151 – Columbus Bridge™ Componentistica
- 152 – Curvomax™
- 154 – Tissueone™
- 155 – Tissuemax™
- 156 – Curvocrome™

## COLUMBUS BRIDGE™ PROTOCOL

### PER IL TRATTAMENTO A CARICO IMMEDIATO DEI MASCELLARI EDENTULI (Con Pilastro Low Profile)

Tecnica riabilitativa implantoprotesica con un protocollo chirurgico, protesico e di laboratorio codificato.

Protesizzazione a carico immediato funzionale delle arcate edentule entro 24/48 ore.

Protesi fissa avvitata con sottostruttura metallica passivata con tecnica dell'incollaggio.

La correzione dell'inclinazione degli impianti si effettua con i pilastri Low Profile™ di 17° e 30°.

Il protocollo può essere applicato nelle arcate edentule, o rese edentule in fase chirurgica, anche in presenza di creste atrofiche.

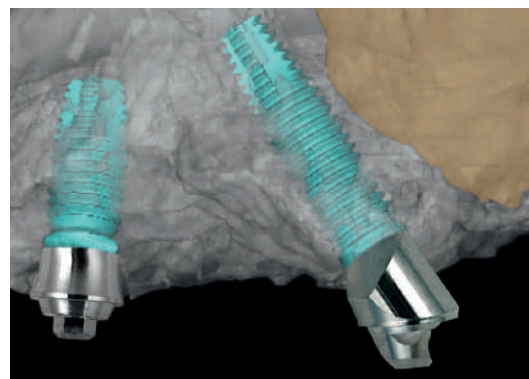
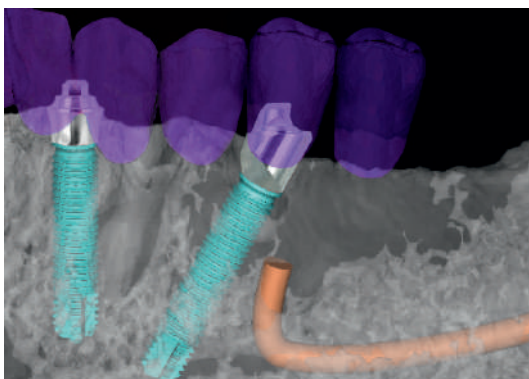
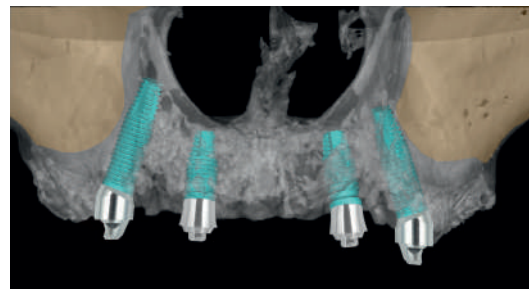
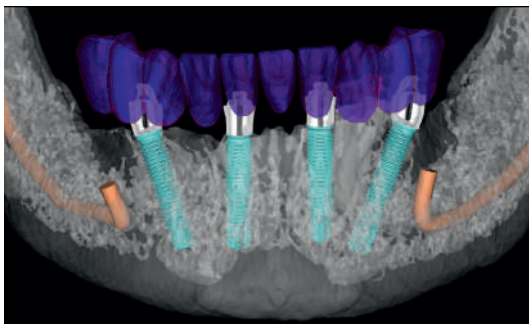
La disposizione inclinata degli impianti permette di evitare strutture anatomiche come il nervo alveolare inferiore, i recessi del seno mascellare e le cavità nasali.

La riabilitazione Columbus Bridge™ consente di inserire impianti lunghi in osso residuo evitando innesti ossei in pazienti con creste atrofiche.

L'inclinazione degli impianti permette di realizzare un ideale poligono d'appoggio che ottimizza il supporto protesico.

L'emergenza distale della parte coronale dell'impianto posteriore permette di evitare o ridurre i cantilever protesici.

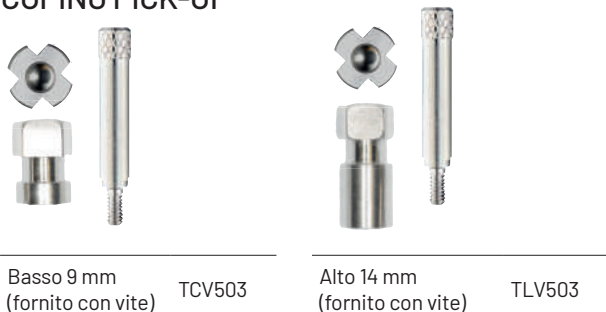
Vengono posizionati quattro impianti nell'arcata superiore o inferiore inclinandoli in modo da inserirli nell'osso residuo del paziente. Nell'arcata inferiore la parte coronale dell'impianto posteriore viene distalizzata verso il ramo della mandibola in modo da oltrepassare l'emergenza del canale mandibolare; nell'arcata superiore gli impianti posteriori vengono inclinati parallelamente alla parete anteriore del seno in modo da emergere nella regione molare.



# COLUMBUS BRIDGE™

## COMPONENTISTICA

### COPING PICK-UP\*



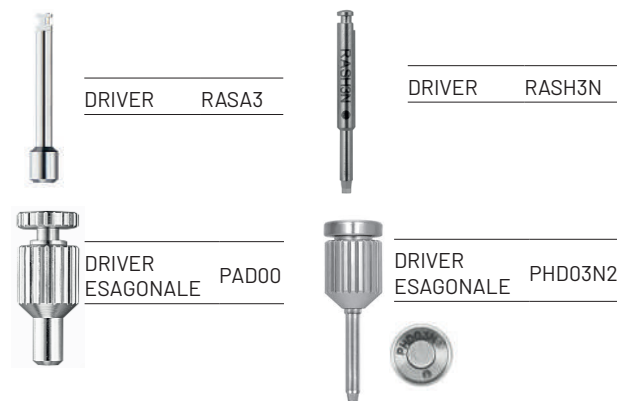
### CAPPETTE PER CENTRICA\*



### CILINDRO PER CONDIZIONAMENTO TESSUTI



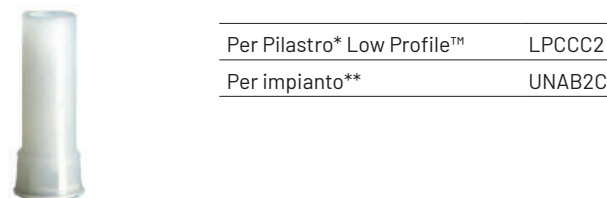
### DRIVERS



### ANALOGO

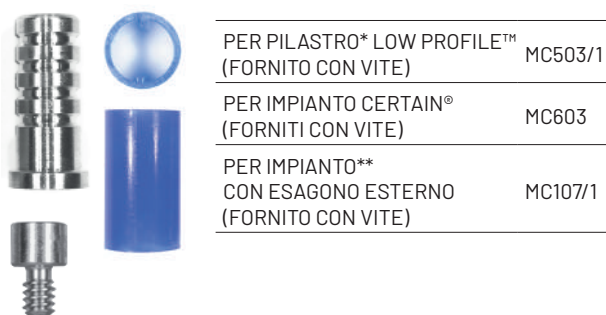


### CILINDRO CALCINABILE



SET PER PASSIVAZIONE CON TECNICA DELL'INCOLLAGGIO

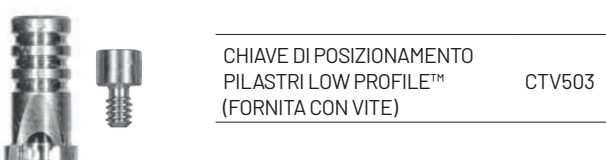
### CILINDRO IN TITANIO CON CAPPETTA CALCINABILE PER INCOLLAGGIO



### VITI DI RITENZIONE



SET PER RIPOSIZIONAMENTO LOW PROFILE™\*



\* Da avvitare su pilastro Low Profile™

\*\* Da avvitare sulla testa dell'impianto con esagono esterno

# Curvomax™

## Connessione Interna Certain®

Ø 3,4

Ø 4,1

Ø 5,0

### PILASTRO DI GUARIGIONE Curvomax™ Certain®



h. 1,0 mm	ICPG341
h. 2,0 mm	ICPG342
h. 3,0 mm	ICPG343



h. 1,0 mm	ICPG411
h. 2,0 mm	ICPG412
h. 3,0 mm	ICPG413



h. 1,0 mm	ICPG501
h. 2,0 mm	ICPG502
h. 3,0 mm	ICPG503

### PILASTRO DRITTO Curvomax™ Certain®



h. 1,0 mm	ICV341
h. 2,0 mm	ICV342
h. 3,0 mm	ICV343
h. 4,0 mm	ICV344



h. 1,0 mm	ICV411
h. 2,0 mm	ICV412
h. 3,0 mm	ICV413
h. 4,0 mm	ICV414



h. 1,0 mm	ICV501
h. 2,0 mm	ICV502
h. 3,0 mm	ICV503

### PILASTRO ANGOLATO (15°) Curvomax™ Certain®



h. 1,0 mm	ICVA341
h. 2,0 mm	ICVA342
h. 3,0 mm	ICVA343



h. 1,0 mm	ICVA411
h. 2,0 mm	ICVA412
h. 3,0 mm	ICVA413



h. 1,0 mm	ICVA501
h. 2,0 mm	ICVA502

### COPING DA IMPRONTA Curvomax™ Certain®



ICCI34



ICCI41



ICCI50



Vite per coping da  
impronta Curvomax™

ICCIIV



Vite per pilastro Certain®

IVTTM



## Esagono Esterno

Ø 3,4

Ø 4,1

Ø 5,0

### PILASTRO DI GUARIGIONE Curvomax™ Esagono Esterno



h. 1,0 mm	CPG341
h. 2,0 mm	CPG342
h. 3,0 mm	CPG343



h. 1,0 mm	CPG411
h. 2,0 mm	CPG412
h. 3,0 mm	CPG413

### PILASTRO DRITTO Curvomax™ Esagono Esterno



h. 1,0 mm	CV341
h. 2,0 mm	CV342
h. 3,0 mm	CV343



h. 1,0 mm	CV411
h. 2,0 mm	CV412
h. 3,0 mm	CV413



h. 1,0 mm	CV501
h. 2,0 mm	CV502

### PILASTRO ANGOLATO (15°) Curvomax™ Esagono Esterno



h. 1,0 mm	CVA341
h. 2,0 mm	CVA342



h. 1,0 mm	CVA411
h. 2,0 mm	CVA412

### COPING DA IMPRONTA Curvomax™ Esagono Esterno



CCI34



CCI41



CCI50



Vite per coping da  
impronta Curvomax™

CCIV



Vite per pilastro esagono  
esterno

VTTM

# Tissueone™

## Tissueone™ Connessione Interna Certain®

### PILASTRO ROTANTE (NON ESAGONALE) Tissueone

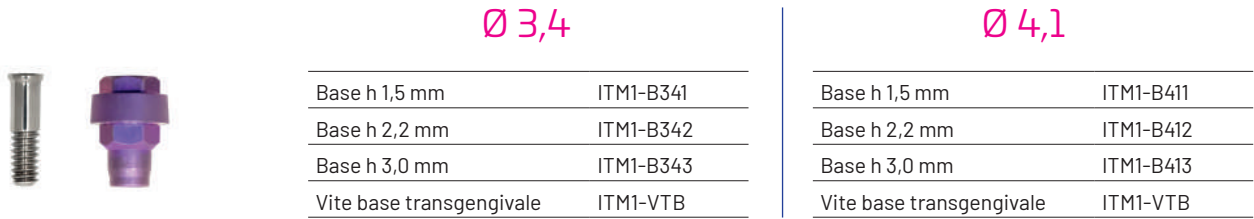
#### Vite per pilastro



### PILASTRO NON ROTANTE (ESAGONALE) Tissueone



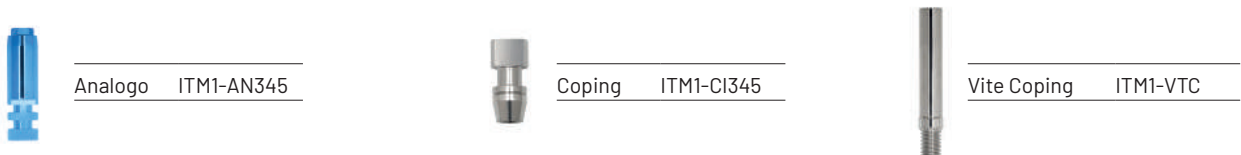
### BASE TRANSGENGIVALE Tissueone



### CAPPETTA DI GUARIGIONE AVVITABILE



### ANALOGO DELLA BASE TRANSGENGIVALE E COPING DA IMPRONTA



# Tissuemax™

## Connessione interna Certain®

Ø 3,4

Ø 4,1

### PILASTRO TISSUEMAX™ Certain®



ITM34



Pilastro Tissuemax™ senza profilo di emergenza  
ITMS34



ITM40



Pilastro Tissuemax™ senza profilo di emergenza  
ITMS40

### PILASTRO ANGOLATO (15° E 25°) Tissuemax™ Certain®



pilastro angolato 15°  
ITMA3415



pilastro angolato 15°  
ITMA4015



pilastro angolato 25°  
ITMA3425



pilastro angolato 25°  
ITMA4025

### VITE PER PILASTRO



vite per pilastro Tissuemax™ Certain®  
IVTTM

vite per pilastro Tissuemax™ esagono esterno  
VTTM

## Esagono Esterno

### PILASTRO TISSUEMAX™ Esagono Esterno



TM34



Pilastro Tissuemax™ senza profilo di emergenza  
TMS34



TM40



Pilastro Tissuemax™ senza profilo di emergenza  
TMS40

### PILASTRO ANGOLATO (15° E 25°) Tissuemax™ Esagono Esterno



pilastro angolato 15°  
TMA3415



pilastro angolato 15°  
TMA4015



pilastro angolato 25°  
TMA3425



pilastro angolato 25°  
TMA4025

# Curvocrome™

## Pilastro calcinabile con base in cromo-cobalto

Ø 3,4

Ø 4,1

Ø 5,0

### CONNESSIONE CERTAIN®



Rotante*	IMUCCR2TN
Con esagono	IMUCCR1TN

IUCCR2TN
IUCCR1TN

IWCCR52TN
IWCCR51TN

### CONNESSIONE CON ESAGONO ESTERNO



Rotante*	MUCCR2TN
Con esagono	MUCCR1TN

UCCR2TN
UCCR1TN

WCCR52TN
WCCR51TN

Nota bene:  
Nella confezione dei pilastri Curvocrome è inclusa la vite di serraggio.  
\* I pilastri rotanti Certain® sono forniti con vite larga.

# Viti e Inseritori

- 158 – Viti protesiche
- 159 – Driver meccanici
- 161 – Kit di rimozione delle Viti fratturate

## VITI PROTESICHE

### Gold-Tite™



	ESAGONO ESTERNO	Certain®
esagonale	UNIHG	IUNIHG
quadrata	UNISG	
larga esagonale		ILRGHG

### VITE DI TITANIO



	ESAGONO ESTERNO	Certain®
esagonale	UNIHT	IUNIHT
quadrata	UNIST	
larga esagonale		ILRGHT

### VITE DI RITENZIONE DI TITANIO SILVER



esagonale	3 mm	TSH30
-----------	------	-------

### VITE PER COPING PICK-UP E DI CERATURA



	ESAGONO ESTERNO	Certain®
esagonale	WSU30	IWSU30

### VITE DI CERATURA

solo per pilastri standard e conici su impianti con esagono esterno



esagonale	10 mm	WSK10
esagonale	15 mm	WSK15

### VITE DI PROVA (confezione da 5)



	ESAGONO ESTERNO	Certain®
esagonale		IUNITS
quadrata	UNITS	

### VITE DI PROVA (confezione da 5)

solo per MicroMiniplant



quadrata	MUNITS	
----------	--------	--

## DRIVER MECCANICI

KIT PER CONTROLLO DEL TORQUE

### CHIAVE PROTESICA L-TIRW (10-35 Ncm)

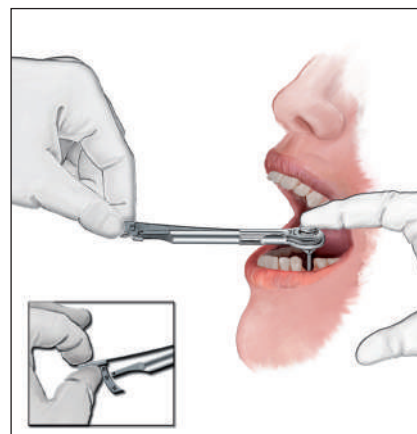
La chiave protesica L-TIRW è lo strumento indispensabile per il controllo del serraggio delle viti protesiche. La chiave permette anche di svitare le viti precedentemente precaricate.



kit controllo torque 10-35 Ncm	L-TIRWK
--------------------------------	---------

contiene:

organizzatore	RTI2035TR
chiave a basso controllo di torque	L-TIRW
adattatore standard ISO1797	C9980
driver con esagono grande lunghezza 24 mm	IHX1.2D
driver quadrato lunghezza 24 mm	RASQ3N



### CHIAVE CHIRURGICA H-TIRW (50-90 Ncm)

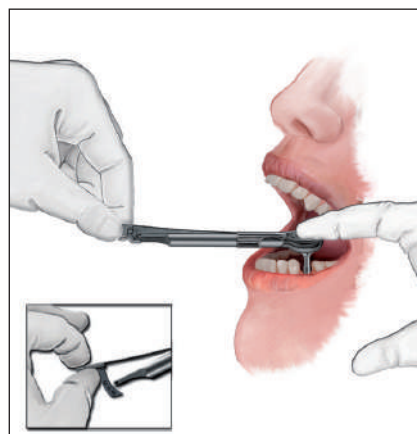
La chiave chirurgica H-TIRW dispone di caratteristiche uniche per l'impiego in ambito implantare. Permette di alloggiare l'impianto nel sito predisposto e di rilevarne il torque di posizionamento con estrema precisione e accuratezza. Il range di misurazione va da 50 Ncm sino ad un massimo di 90 Ncm.



strumento controllo torque 50-90 Ncm	H-TIRW
--------------------------------------	--------

contiene:

chiave chirurgica controllo di torque	H-TIRW
adattatore quadrato 4x4	C11108



## DRIVER E CONNESSIONI PROTESICHE

### DRIVER E CONNESSIONE CON ESAGONO GRANDE

si usa per avvitare le viti con testa esagonale dei pilastri (IUNIHG-IUNIHT-UNIHG-UNIHT)



17 mm	PHD02N
24 mm	PHD03N

24 mm	IHX1.2D
30 mm	IXL1.2D

### DRIVER E CONNESSIONE CON QUADRATO

si usa per avvitare le viti con testa quadrata dei pilastri (UNISG-UNIST)



17 mm	PSQD0N
24 mm	PSQD1N

24 mm	RASQ3N
30 mm	RASQ8N

### DRIVER E CONNESSIONE A TAGLIO



17 mm	PSD00
-------	-------

24 mm	RASD1
30 mm	RASD6

### DRIVER E CONNESSIONE LOW PROFILE 0°



17 mm	PAD00
24 mm	PAD24

24 mm	RASA3
-------	-------

### DRIVER PER COPING TWIST-LOCK™ E DI TRASFERIMENTO

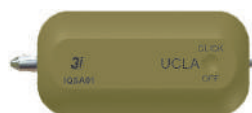


17 mm	ICD00
-------	-------



### ATTIVATORE E DISATTIVATORE PER CONNESSIONE Certain®

Si usa per riattivare i coping e i pilastri Certain®. Si usa inoltre per disattivare i pilastri UCLA d'oro Certain® prima della lavorazione in laboratorio



IQSA01

### KIT DI RIMOZIONE DELLE VITI FRATTURATE PER IMPIANTI Certain®



ISRT05 N



ISRT06 N



USRT 07



IWSU 3C

KIT	ISRT10 N
-----	----------

contiene:

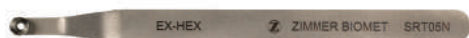
centratore	ISRT05 N
------------	----------

strumento di estrazione	ISRT06 N
-------------------------	----------

driver manuale di svitamento	USRT 07
------------------------------	---------

vite di ceratura / perno guida	IWSU 3C
--------------------------------	---------

### KIT DI RIMOZIONE DELLE VITI FRATTURATE PER IMPIANTI CON ESAGONO ESTERNO



SRT05 N



SRT06 N



USRT 07



WSU 3C

KIT	SRT10 N
-----	---------

contiene:

centratore	SRT05 N
------------	---------

strumento di estrazione	SRT06 N
-------------------------	---------

driver manuale di svitamento	USRT 07
------------------------------	---------

vite di ceratura / perno guida	WSU 3C
--------------------------------	--------



# Appendici Tecniche

- 164 – Protocollo Chirurgico per l'Impianto T3® PRO
- 168 – Protocolli Chirurgici per l'Impianto Conico T3® e Osseotite®
- 172 – Protocolli Chirurgici per l'Impianto Cilindrico T3® e Osseotite®
- 176 – Protocolli Chirurgici per l'Impianto T3® Short 5 e 6 mm
- 178 – Kit chirurgico per impianti conici e cilindrici con esagono esterno e interno
- 185 – Ntapk kit maschiatori per impianto conico
- 188 – Kit chirurgico Navigator® per impianti conici
- 191 – Torque di avvitamento delle viti e dei pilastri

# PROTOCOLLO CHIRURGICO PER L'IMPIANTO T3<sup>®</sup> PRO

## CLASSIFICAZIONE OSSEA

Una corretta interpretazione della densità delle strutture ossee è il presupposto per una corretta preparazione del sito implantare ed il raggiungimento di una adeguata stabilità primaria.

CLASSIFICAZIONE DI LEKHOLM / ZARB *		
* Osso Tipo I	* Osso Tipo II-III	* Osso Tipo IV
		
		
CLASSIFICAZIONE DI TRISI / RAO **		
** Osso Denso	** Osso Media Densità	** Osso Scarsa Densità
		

\*Lekholm U, Zarb GA **Patient selection and preparation.** In: Brånemark PI, Zarb GA, Albrektsson T. **Tissue-integrated prostheses: osseointegration in clinical dentistry.** Chicago: Quintessence books 1985;199-209.

\*\*Trisi P, Rao W **Bone classification: clinical-histomorphometric comparison.** Clin Oral Implants Res 1999;10: 1-7.

## CONSIDERAZIONI

Per un ottimo risultato in termini di congruenza tra sito implantare e geometria dell'implianto, la preparazione del sito implantare deve essere eseguita mantenendo ben salda la testa del manipolo (auspicabile il controllo a due mani) soprattutto quando si affrontano strutture ossee di media/scarsa densità.

La localizzazione del sito implantare deve essere stabilita con precisione mediante fresa a punta triangolare (ACTPSD) oppure mediante inserti piezoelettrici.

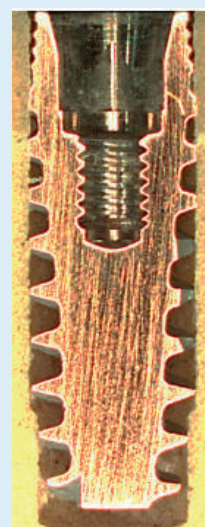
L'implianto conico di T3<sup>®</sup> PRO può sviluppare livelli elevati di stabilizzazione primaria esprimibili in Ncm. La stabilità primaria è un requisito fondamentale per il successo del trattamento implantare.

## PER OTTENERE UN IBIC ELEVATO E UNA STABILITÀ ECCEZIONALE IN OGNI TIPOLOGIA OSSEA

Il T3<sup>®</sup> PRO presenta un corpo implantare completamente conico **con un'ampiezza di filettatura progressivamente crescente**. Ciò si traduce in spire più aggressive che tagliano in modo più efficace e consentono un elevato contatto iniziale tra osso e impianto (IBIC\*), specialmente nella regione apicale.

Grazie alle sue caratteristiche e al suo protocollo chirurgico T3<sup>®</sup> PRO è un impianto estremamente versatile e può essere utilizzato con successo **in tutte le tipologie ossee da D1 a D4, offrendo un IBIC e una stabilità primaria molto elevati**.

Sezione trasversale di un T3<sup>®</sup> PRO e di due diversi impianti conici standard offerti dal mercato (A e B) posizionati allo stesso livello in un blocco di osso denso artificiale (tutti e tre gli impianti posizionati seguendo il protocollo di preparazione del produttore).



\* L'IBIC (Immediate Bone to Implant Contact) è l'area della superficie dell'impianto a contatto con l'osso al momento dell'inserimento, prima dell'inizio della neoformazione ossea.<sup>1</sup>

- T3<sup>®</sup> PRO
- Elevato contatto osso-impianto (IBIC)
  - Elevato ingaggio a livello apicale

- Impianto A
- Basso contatto osso-impianto (IBIC)
  - Basso ingaggio a livello apicale

- Impianto B
- Basso contatto osso-impianto (IBIC)
  - Basso ingaggio a livello apicale

## TIPO I (LEKHOLM & ZARB) OSSO DENSO (TRISI & RAO)

### Sequenza di preparazione del sito

Utilizzare come fresa iniziale da demarcazione la fresa a punta ACTPSD o ACTPSDSP.  
Non sottopreparare mai il sito chirurgico.  
Utilizzare il maschiatore dedicato.



Utilizzare la chiave dinamometrica H-TIRW per controllare il torque di inserzione: non superare i 90 Ncm per non danneggiare i dispositivi di inserimento o l'esagono della connessione.

Impianto 3,25 mm				Impianto 4,0 mm					Impianto 5,0 mm						Impianto 6,0 mm						
Fresa ACT 2,0 mm	Fresa QSD 3,25 mm	Maschiatore	Impianto 3,25 mm	Fresa ACT 2,0 mm	Fresa QSD 3,25 mm	Fresa QSD 4,0 mm	Maschiatore	Impianto 4,0 mm	Fresa ACT 2,0 mm	Fresa QSD 3,25 mm	Fresa QSD 4,0 mm	Fresa QSD 5,0 mm	Maschiatore	Impianto 5,0 mm	Fresa ACT 2,0 mm	Fresa QSD 3,25 mm	Fresa QSD 4,0 mm	Fresa QSD 5,0 mm	Fresa QSD 6,0 mm	Maschiatore	Impianto 6,0 mm
1	2	3	4	1	2	3	4	5	1	2	3	4	5	6	1	2	3	4	5	6	7

## TIPO II/III (LEKHOLM & ZARB) OSSO MEDIA DENSITÀ (TRISI & RAO)

### Sequenza di preparazione del sito

Utilizzare come fresa iniziale da demarcazione la fresa a punta ACTPSD o ACTPSDSP.  
Valutare una sottopreparazione in osso di tipo III (vedi protocollo osso tipo IV).  
Usare tutti i passaggi di fresa solo in osso di tipo II.



Impianto 3,25 mm			Impianto 4,0 mm				Impianto 5,0 mm					Impianto 6,0 mm					
Fresa ACT 2,0 mm	Fresa QSD 3,25 mm	Impianto 3,25 mm	Fresa ACT 2,0 mm	Fresa QSD 3,25 mm	Fresa QSD 4,0 mm	Impianto 4,0 mm	Fresa ACT 2,0 mm	Fresa QSD 3,25 mm	Fresa QSD 4,0 mm	Fresa QSD 5,0 mm	Impianto 5,0 mm	Fresa ACT 2,0 mm	Fresa QSD 3,25 mm	Fresa QSD 4,0 mm	Fresa QSD 5,0 mm	Fresa QSD 6,0 mm	Impianto 6,0 mm
1	2	3	1	2	3	4	1	2	3	4	5	1	2	3	4	5	6

## TIPO IV (LEKHOLM & ZARB) OSSO SCARSA DENSITÀ (TRISI & RAO)

### Sequenza di preparazione del sito

Utilizzare come fresa iniziale da demarcazione la fresa a punta ACTPSD o ACTPSDSP.

Sottopreparare sempre il sito chirurgico.

NON utilizzare il maschiatore.



### POSIZIONAMENTO DELLA PIATTAFORMA IMPLANTARE



posizionamento SOTTOCRESTALE

posizionamento CRESTALE

posizionamento SOPRACRESTALE

L'impianto T3® PRO può essere affondato di ulteriori 0,5 mm rispetto alle linee di indicazione del posizionamento della piattaforma implantare grazie al disegno del colletto e all'osteotomia realizzata con le fresa shaping drill QSD.



Nel caso di osso corticale fortemente rappresentato, in associazione a una scarsa mineralizzazione della parte ossea sottostante, si consiglia di sottopreparare il sito per ottenere la necessaria stabilità primaria ma di preparare con le dimensioni corrette la porzione coronale corticale dell'osteotomia che dovrà accogliere il collo implantare.

Per gli impianti di diametro da 3,25 mm sarà sufficiente un invito di pochi millimetri con la "shaping drill" da 4 mm.

Per gli impianti di diametro da 4 mm utilizzare il preparatore di spalla ICD100.

Per gli impianti di diametro 5 e 6 mm utilizzare la fresa shaping drill (QSD) dello stesso diametro e lunghezza 8,5 mm.

#### BIBLIOGRAFIA

Szmukler-Moncler S, Salama H, Reingewirtz Y, Dubruille JH. Timing of loading and effect of micromotion on bone-dental implant interface: review of experimental literature. J Biomed Mater Res 1998;43:192-203.

Brunski JB. Biomaterials and biomechanics in dental implant design. Int J Oral Maxillofac Implants 1988;3:85-97.

Ivanoff CJ, Senerby L & Lekholm U. Influence of initial implant mobility on the integration of titanium implants. An experimental study in rabbits. Clin Oral Impl Res 1996;7:120-127.

Meredith N, Shagaldi F, Alleyne D, Senerby L & Cawley P. The application of resonance frequency measurements to study the stability of titanium implants during healing in the rabbit tibia. Clin Oral Impl Res 1997;8: 234-243.

Lekholm U, Zarb GA Patient selection and preparation. In: Brånemark PI, Zarb GA, Albrektsson T, Tissue-integrated prostheses: osseointegration in clinical dentistry. Chicago: Quintessence books 1985;199-209.

Trisi P, Rao W Bone classification: clinical-histomorphometric comparison. Clin Oral Implants Res 1999;10: 1-7.

Misch CE. Bone density: A key determinant for clinical success. In: Misch CE (ed). Dental Implant Prosthetics. St. Louis, Mosby 2005:130-141.

Misch CE. Density of bone: effect on treatment plans, surgical approach, healing and progressive bone loading. Int J Oral Implantol 1990; 6:23-31.

Per ulteriori informazioni e approfondimenti si rimanda all'edizione aggiornata del "Manuale Chirurgico T3®-T3PRO-Osseotite" Zimvie.

BASI  
SCIENTIFICHE

IMPIANTI

STRUMENTARIO  
CHIRURGICO

PROTESI

COMPONENTI  
SPECIALI

VITTE  
INSERITORI

APPENDICE

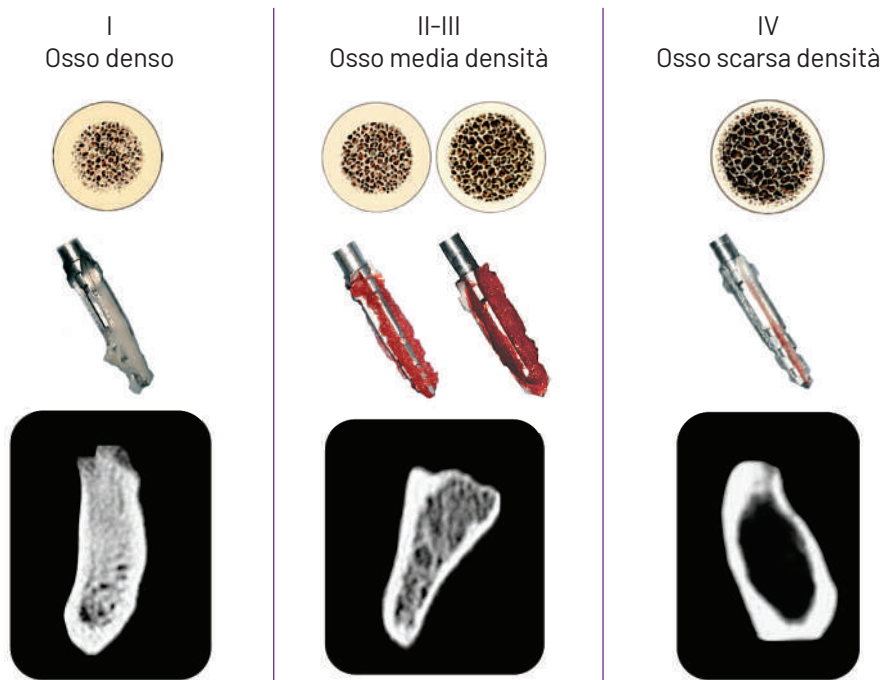
# PROTOCOLLI CHIRURGICI PER L'IMPIANTO CONICO T3<sup>®</sup> e OSSEOTITE<sup>®</sup>



## COME ELIMINARE I MICROMOVIMENTI ALL'INTERFACCIA OSSEO-IMPIANTO ED OTTIMIZZARE LA STABILITÀ PRIMARIA IN BASE ALLA TIPOLOGIA OSSEA

### CLASSIFICAZIONE OSSEA

Una corretta interpretazione della densità delle strutture ossee è il presupposto per una corretta preparazione del sito implantare ed il raggiungimento di una adeguata stabilità primaria.

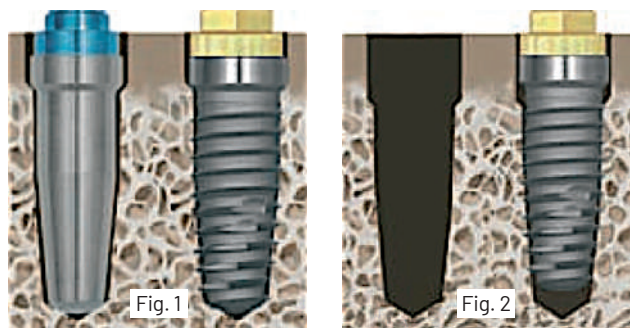


Lekholm U, Zarb GA **Patient selection and preparation.** In: Brånemark PI, Zarb GA, Albrektsson T, editors Tissue-integrated prostheses: Osseointegration in clinical dentistry. Chicago: Quintessence Books 1985;199-209.

Trisi P, Rao W **Bone classification: clinical-histomorphometric comparison.** Clin Oral Implants Res 1999;10:1-7.

### IL RISCHIO DEI MICROMOVIMENTI

I micromovimenti all'interfaccia osso/impianto aumentano i rischi legati al processo iniziale di osteointegrazione.



Una discrepanza tra impianto ed osso è indice di un basso livello iniziale di IBIC (contatto iniziale osso impianto).

Questo può produrre una maggiore quantità di micromovimenti. Per avere la massima stabilità primaria e la minima discrepanza tra impianto conico ed osso, è necessario realizzare un accurato

posizionamento dell'impianto in base alla preparazione effettuata (Fig. 1).

Una preparazione eccessiva dell'osteotomia rispetto al diametro minore dell'impianto o rispetto alla sua lunghezza effettiva, non ottimizza il raggiungimento di una adeguata stabilità primaria (Fig. 2).

### CONSIDERAZIONI

Per un ottimo risultato in termini di congruenza tra sito implantare e geometria dell'impianto, la preparazione del sito implantare deve essere eseguita mantenendo ben salda la testa del manipolo (auspicabile il controllo a due mani) soprattutto quando si affrontano strutture ossee di media/scarsa densità. La localizzazione del sito implantare deve essere stabilita con precisione mediante fresa a punta triangolare (ACTPSD) oppure mediante inserti piezoelettrici.

L'impianto conico di Biomet 3i può sviluppare livelli elevati di stabilizzazione primaria esprimibili in Ncm. La stabilità primaria è un requisito fondamentale per il successo del trattamento implantare. Osso denso Osso media densità Osso scarsa densità.

In presenza di osso tipo D2 o D3 (Lekholm U, Zarb GA .Patient selection and preparation. In: Brånemark PI, Zarb GA, Albrektsson T, editors Tissue-integrated prostheses: osseointegration in clinical dentistry. Chicago: Quintessence Books 1985;199-209. / Trisi P, Rao W. Bone classification: clinical-histomorphometric comparison. Clin Oral Implants Res 1999;10: 1-7.), che necessitano di protocolli di sottopreparazione, in cui è però presente un osso corticale fortemente rappresentato, può rendersi necessario l'utilizzo del preparatore di spalla ICD100 (esagono interno Certain®) o CD100 (esagono esterno) per l'impianto da 4,0 mm e il preparatore di spalla CD500 per l'impianto da 5,0 mm.

## OSSO DENSO (TRISI & RAO) TIPO I (LEKHOLM & ZARB)

Utilizzare come fresa iniziale da demarcazione la ACTPSD.  
Non sottopreparare mai il sito chirurgico.  
Utilizzare assolutamente il maschiatore dedicato.



### Impianto 3,25 mm



### Impianto 4,0 mm



### Impianto 5,0 mm



### Impianto 6,0 mm



## OSSO MEDIA DENSITÀ (TRISI & RAO) TIPO II-III (LEKHOLM & ZARB)

Utilizzare come fresa iniziale da demarcazione la ACTPSD.  
Non sottopreparare il sito chirurgico.  
Talvolta potrebbe rendersi necessario l'uso del maschiatore.



### Impianto 3,25 mm



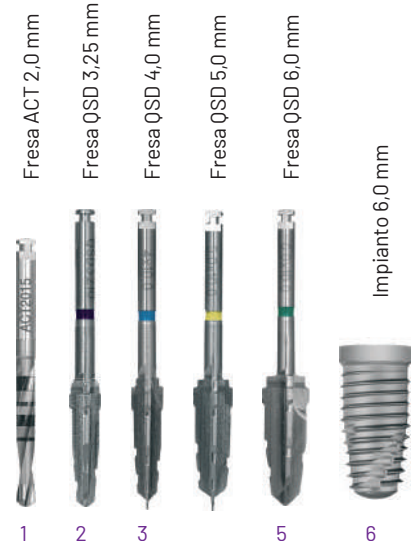
### Impianto 4,0 mm



### Impianto 5,0 mm



### Impianto 6,0 mm



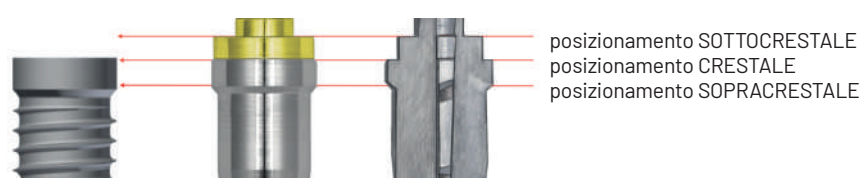
# OSSO SCARSA DENSITÀ (TRISI & RAO) TIPO IV (LEKHOLM & ZARB)

Utilizzare come fresa iniziale da demarcazione la ACTPSD.  
Sottopreparare sempre il sito chirurgico.  
NON utilizzare il maschiatore.



Impianto 3,25 mm			Impianto 4,0 mm			Impianto 5,0 mm			Impianto 6,0 mm							
diametro minore 2,90 mm diametro apice 1,90 mm			diametro minore 3,40 mm diametro apice 2,40 mm			diametro minore 4,40 mm diametro apice 3,30 mm			diametro minore 5,40 mm diametro apice 3,70 mm							
Fresa ACT 2,0 mm	Fresa QSD3285 D. 3,25 mm;	Impianto 3,25 mm	Fresa ACT 2,0 mm	Fresa QSD 3,25 mm	Impianto 4,0 mm	Fresa ACT 2,0 mm	Fresa QSD 3,25 mm	Fresa QSD 4,0 mm	Fresa QSD 5,0 mm; L. 8,5	Impianto 5,0 mm	Fresa ACT 2,0 mm	Fresa QSD 3,25 mm	Fresa QSD 4,0 mm	Fresa QSD 5,0 mm	Fresa QSD685 D. 6,0 mm; L. 8,5	Impianto 6,0 mm
1	2	3	1	2	3	1	2	3	4	5	1	2	3	4	5	6

## POSIZIONAMENTO DELLA PIATTAFORMA IMPLANTARE



**AGGIORNAMENTO TECNICO**

*\*Nei casi di osso corticale fortemente rappresentato in associazione a scarsa mineralizzazione della parte ossea sottostante si consiglia di sottopreparare il sito di una misura in termini di diametro e preparare la zona coronale con la fresa QSD del diametro dell'implianto e lunghezza 8,5 mm o con il preparatore di spalla ICD100 (connessione interna Certain®) o CD100 (esagono esterno) per l'implianto di 4,0 mm, CD500 per l'implianto di 5,0 mm e CD600 per l'implianto di 6,0 mm.*

**BIBLIOGRAFIA**  
 Szmukler-Moncler S, Salama H, Reingewirtz Y, Dubruille JH. Timing of loading and effect of micromotion on bone-dental implant interface: review of experimental literature. J Biomed Mater Res 1998;43:192-203.  
 Brunski JB. Biomaterials and biomechanics in dental implant design. Int J Oral Maxillofac Implants 1988;3:85-97.  
 Ivanoff CJ, Sennerby L & Lekholm U. Influence of initial implant mobility on the integration of titanium implants. An experimental study in rabbits. Clin Oral Impl Res 1996;7:120-127.  
 Meredith N, Shagaldi F, Alleyne D, Sennerby L & Cawley P. The application of resonance frequency measurements to study the stability of titanium implants during healing in the rabbit tibia. Clin Oral Impl Res 1997;8: 234-243.

Lekholm U, Zarb GA Patient selection and preparation. In: Brånemark PI, Zarb GA, Albrektsson T, Tissue-integrated prostheses: osseointegration in clinical dentistry. Chicago: Quintessence books 1985;199-209.  
 Trisi P, Rao W Bone classification: clinical-histomorphometric comparison. Clin Oral Implants Res 1999;10: 1-7.  
 Misch CE. Bone density: A key determinant for clinical success. In: Misch CE (ed). Dental Implant Prosthetics. St. Louis, Mosby 2005:130-141.  
 Misch CE. Density of bone: effect on treatment plans, surgical approach, healing and progressive bone loading. Int J Oral Implantol 1990; 6:23-31.

BASI  
SCIENTIFICHE

IMPIANTI

STRUMENTARIO  
CHIRURGICO

PROTESI

COMPONENTI  
SPECIALI

VITTE  
INSERITORI

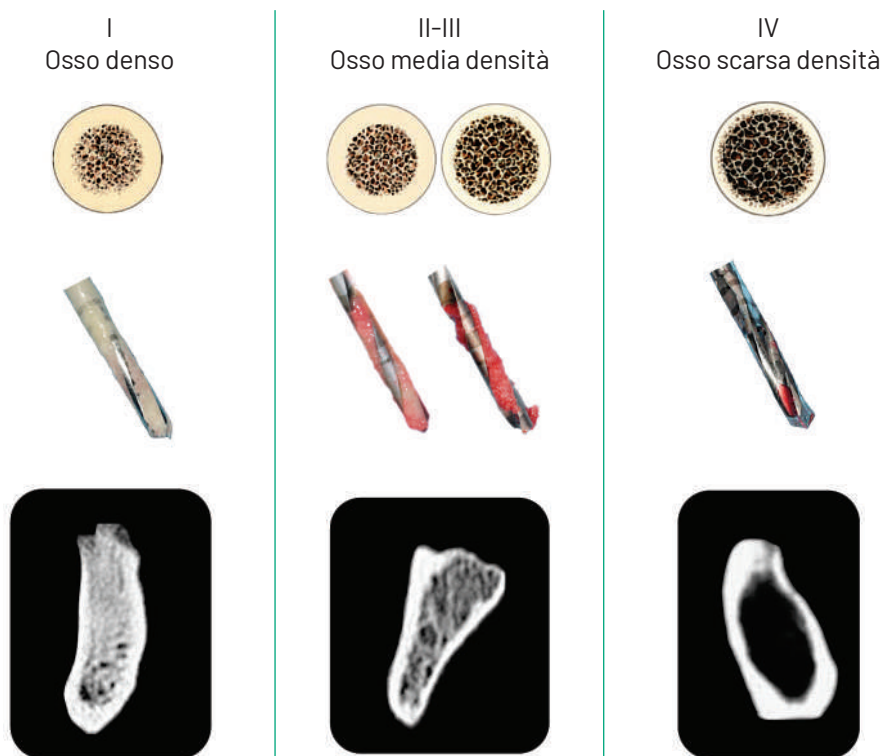
APPENDICE

# PROTOCOLLI CHIRURGICI PER L'IMPIANTO CILINDRICO T3<sup>®</sup> e OSSEOTITE<sup>®</sup>

## COME ELIMINARE I MICROMOVIMENTI ALL'INTERFACCIA OSSO-IMPIANTO ED OTTIMIZZARE LA STABILITÀ PRIMARIA IN BASE ALLA TIPOLOGIA OSSEA

### CLASSIFICAZIONE OSSEA

Una corretta interpretazione della densità delle strutture ossee è il presupposto per una corretta preparazione del sito implantare ed il raggiungimento di una adeguata stabilità primaria.

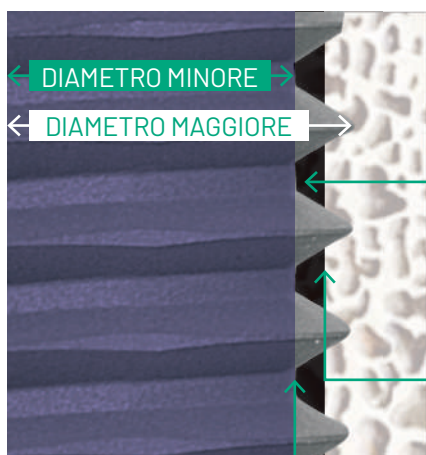


Lekholm U, Zarb GA **Patient selection and preparation.** In: Brånemark PI, Zarb GA, Albrektsson T, editors Tissue-integrated prostheses: Osseointegration in clinical dentistry. Chicago: Quintessence Books 1985;199-209.

Trisi P, Rao W **Bone classification: clinical-histomorphometric comparison.** Clin Oral Implants Res 1999;10:1-7.

### IL RISCHIO DEI MICROMOVIMENTI

I micromovimenti all'interfaccia osso/impianto aumentano i rischi legati al processo iniziale di osteointegrazione.<sup>1</sup>



Una discrepanza tra impianto ed osso è indice di un basso livello iniziale di IBIC (contatto iniziale osso impianto). Questo può produrre una maggiore quantità di micromovimenti.

Una preparazione eccessiva dell'osteotomia rispetto al diametro minore dell'impianto non ottimizza il raggiungimento di una adeguata stabilità primaria.



#### AVVERTENZE

In caso di osso denso per l'impianto da 4,0 mm si consiglia di usare una fresa che **non** ecceda in diametro i 3,15 mm. Se necessario, come ultimo passaggio, usare il maschiatore.

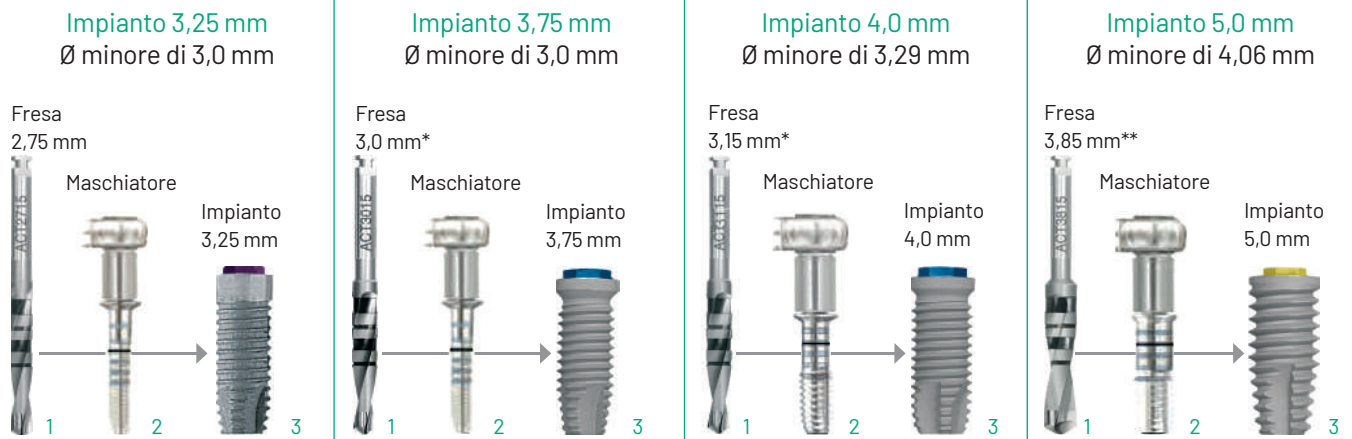
È obbligatorio l'utilizzo esclusivo delle frese dedicate Biomet 3i.

Effettuare sempre una osteotomia finale non superiore al diametro minore dell'impianto.

## OSSO DENSO (TRISI & RAO) TIPO I (LEKHOLM & ZARB)

Il diametro della fresa finale non deve mai eccedere il diametro minore dell'impianto da utilizzare.

### ULTIMI PASSAGGI IMPIANTO CILINDRICO

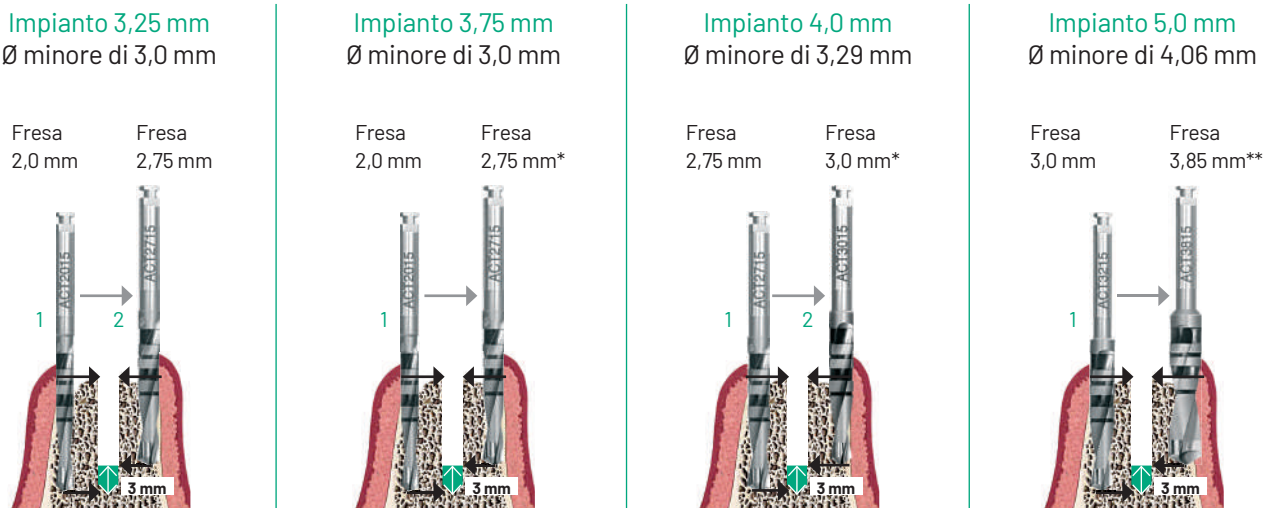


Utilizzare il maschiatore dedicato prima dell'inserzione dell'impianto previsto.

## OSSO MEDIA DENSITÀ (TRISI & RAO) TIPO II-III (LEKHOLM & ZARB)

Preparare il sito implantare a porzioni cilindriche sovrapposte utilizzando due frese di diverso diametro. Con la fresa di sezione maggiore arrestarsi a 3 mm dalla lunghezza totale della preparazione prevista per l'impianto da utilizzare.

### ULTIMI PASSAGGI IMPIANTO CILINDRICO



AVVERTENZA

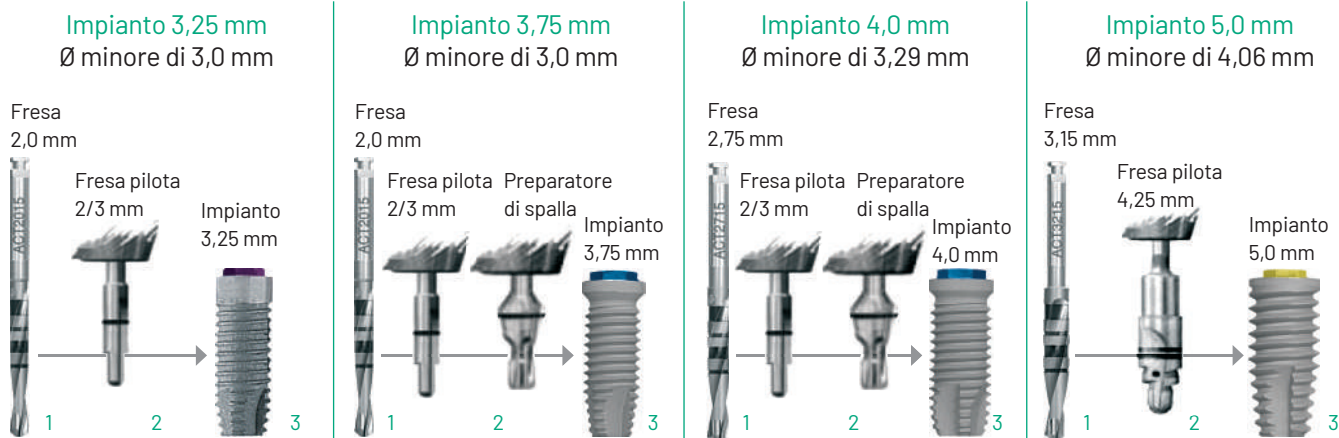
\* È altamente consigliabile l'uso del preparatore di spalla CD100 (esagono esterno) o ICD100 (Certain®) dopo l'utilizzo di questa fresa.

\*\* È altamente consigliabile l'uso del preparatore di spalla (CD500) dopo l'utilizzo di questa fresa.

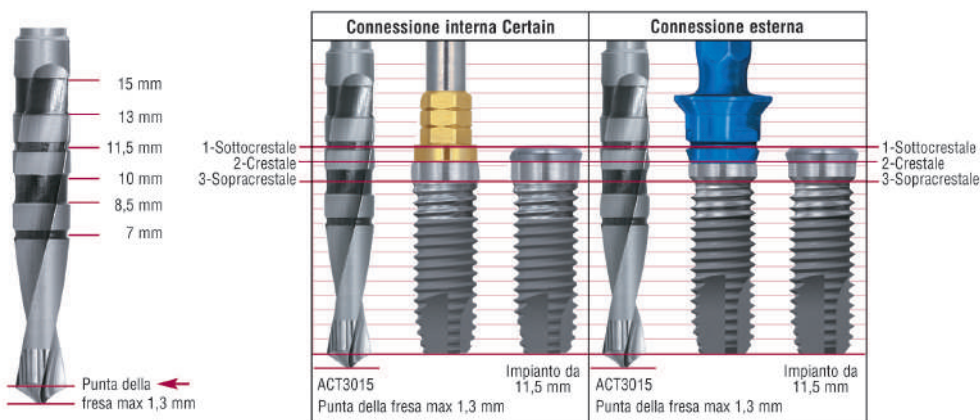
# OSSO SCARSA DENSITÀ (TRISI & RAO) TIPO IV (LEKHOLM & ZARB)

Una adeguata sottopreparazione del sito implantare si rende necessaria ai fini della stabilizzazione dell'implanto nelle strutture ossee scarsamente rappresentate.

## ULTIMI PASSAGGI IMPIANTO CILINDRICO



Utilizzare il maschiatore dedicato prima dell'inserzione dell'implanto previsto.



## POSIZIONAMENTO DELLA PIATTAFORMA IMPLANTARE

### BIBLIOGRAFIA

Szmukler-Moncler S, Salama H, Reingewirtz Y, Dubruille JH. Timing of loading and effect of micromotion on bone-dental implant interface: review of experimental literature. *J Biomed Mater Res* 1998;43:192-203.

Brunski JB. Biomaterials and biomechanics in dental implant design. *Int J Oral Maxillofac Implants* 1988;3:85-97.

Ivanoff CJ, Sennerby L & Lekholm U. Influence of initial implant mobility on the integration of titanium implants. An experimental study in rabbits. *Clin Oral Impl Res* 1996;7:120-127.

Meredith N, Shagaldi F, Alleyne D, Sennerby L & Cawley P. The application of resonance frequency measurements to study the stability of titanium implants during healing in the rabbit tibia. *Clin Oral Impl Res* 1997;8: 234-243.

Lekholm U, Zarb GA Patient selection and preparation. In: Brånemark PI, Zarb GA, Albrektsson T, *Tissue-integrated prostheses: osseointegration in clinical dentistry*. Chicago: Quintessence books 1985;199-209.

Trisi P, Rao W Bone classification: clinical-histomorphometric comparison. *Clin Oral Implants Res* 1999;10: 1-7.

Misch CE. Bone density: A key determinant for clinical success. In: Misch CE (ed). *Dental Implant Prosthetics*. St. Louis, Mosby 2005:130-141.

Misch CE. Density of bone: effect on treatment plans, surgical approach, healing and progressive bone loading. *Int J Oral Implantol* 1990;6: 23-31.

# PROTOCOLLI CHIRURGICI PER L'IMPIANTO T3<sup>®</sup> SHORT<sup>™</sup> 5 E 6 MM

## IMPIANTI CORTI T3<sup>®</sup> CON ESAGONO ESTERNO 5,0mmD x 5,0mmL



## IMPIANTI CORTI T3<sup>®</sup> CON ESAGONO ESTERNO 5,0mmD x 6,0mmL





**IMPIANTI CORTI T3®  
CON ESAGONO ESTERNO  
6,0mmD x 5,0mmL**

Fresa a punta iniziale per impianto corto ACT ACTPSD	Fresa elicoidale per impianto corto ACT 2,0 mm ACT206S	Fresa elicoidale per impianto corto ACT 3,25 mm ACT326S	Fresa elicoidale per impianto corto ACT 4,25 mm ACT426S	Fresa elicoidale per impianto corto ACT 4,85 mm ACT486S	Fresa per sagomatura con svasatura a fondo piatto per ultimo passaggio per osso a densità media/bassa 4,85 mm x 5,0 mm FCS485S	Procedura obbligatoria per osso denso Maschiatore per osso denso per impianto corto 6,0 mm TAP66S	Impianto corto con supporto per impianto	Impianto corto con chiave a forchetta e driver	
--	--	---	---	---	--	---	--	--	--

Misurazioni espresse in millimetri.

Vite di copertura CS600

**IMPIANTI CORTI T3®  
CON ESAGONO ESTERNO  
6,0mmD x 6,0mmL**

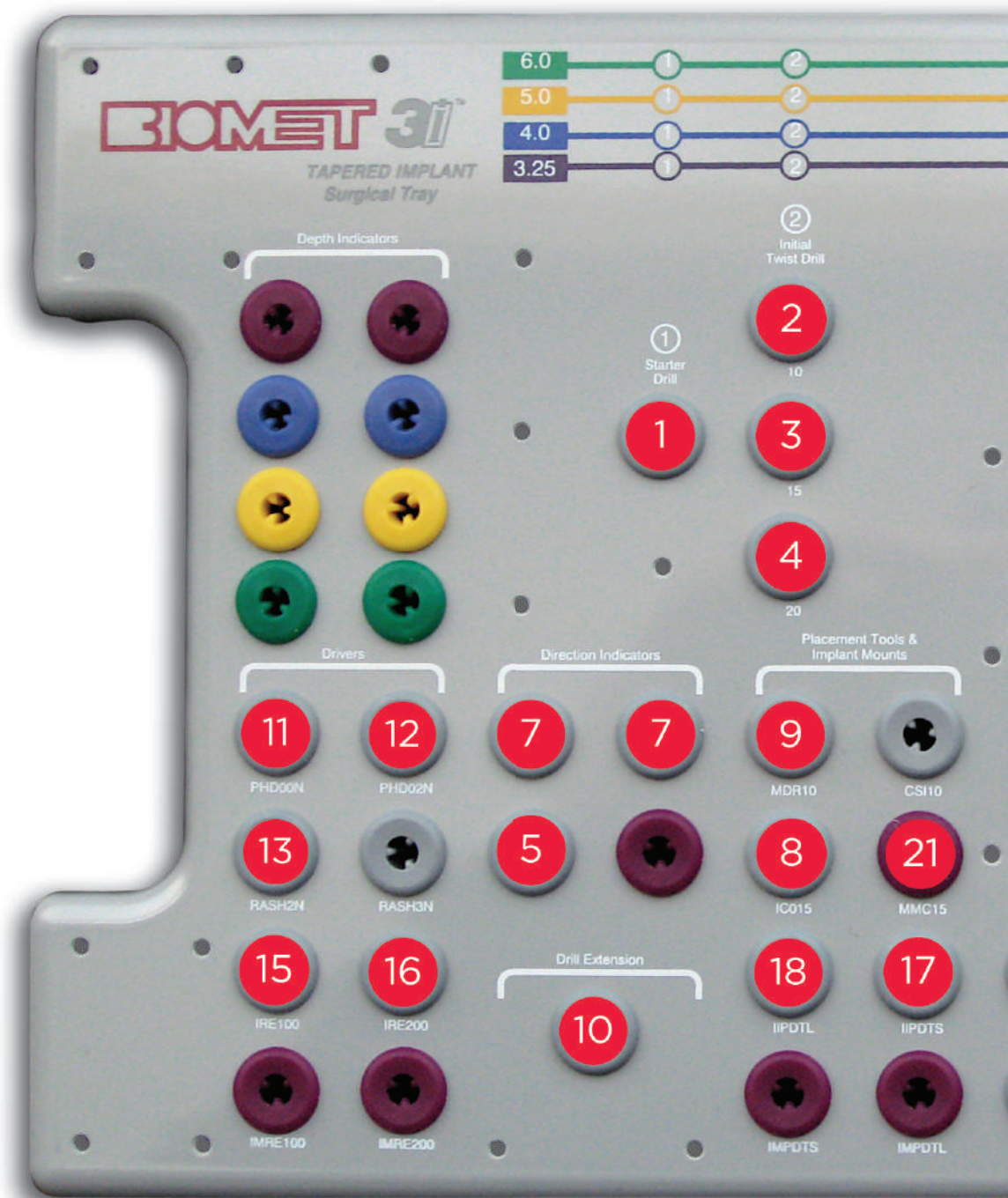
Fresa a punta iniziale per impianto corto ACT ACTPSD	Fresa elicoidale per impianto corto ACT 2,0 mm ACT206S	Fresa elicoidale per impianto corto ACT 3,25 mm ACT326S	Fresa elicoidale per impianto corto ACT 4,25 mm ACT426S	Fresa elicoidale per impianto corto ACT 4,85 mm ACT486S	Fresa per sagomatura con svasatura a fondo piatto per ultimo passaggio per osso a densità media/bassa 4,85 mm x 6,0 mm FCS486S	Procedura obbligatoria per osso denso Maschiatore per osso denso per impianto corto 6,0 mm TAP66S	Impianto corto con supporto per impianto	Impianto corto con chiave a forchetta e driver	
--	--	---	---	---	--	---	--	--	--

Misurazioni espresse in millimetri.

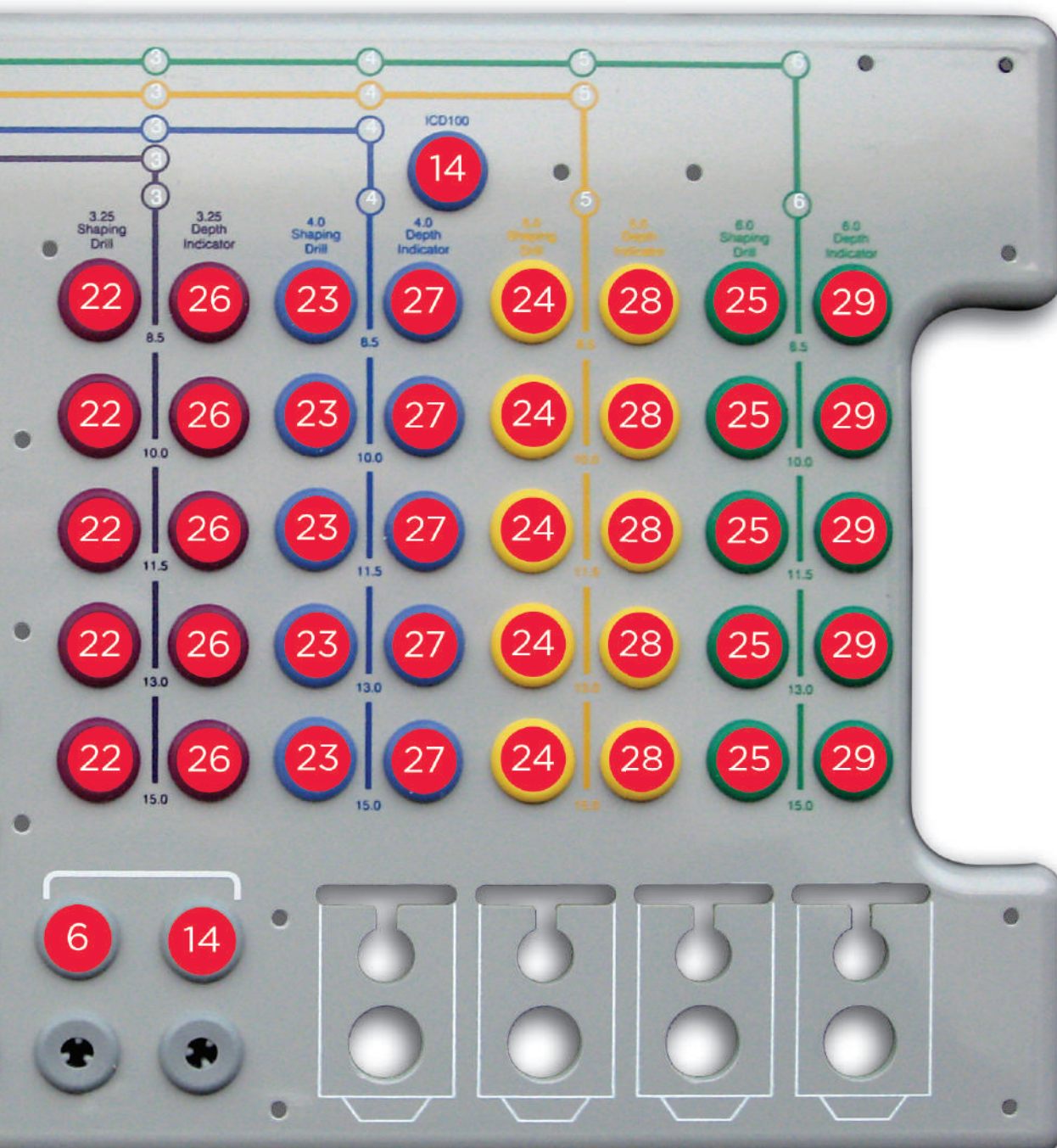
Vite di copertura CS600

# KIT CHIRURGICO PER IMPIANTI CONICI E CILINDRICI CON ESAGONO ESTERNO E INTERNO

## disposizione strumenti



NB: La seguente disposizione non fa riferimento alla composizione di un particolare kit chirurgico, ma illustra unicamente la posizione dei diversi strumenti nell'organizzatore chirurgico.



- 1 ACTPSD fresa iniziale ACT a punta
- 2 ACT2015 fresa spirale ACT 2,0 mm l 15,0 mm
- 3 ACT3015 fresa spirale ACT 3,0 mm l 15,0 mm
- 4 ACT3115 fresa spirale ACT 3,15 mm l 15,0 mm
- 5 PD100 fresa pilota
- 6 CD100 preparatore di spalla
- 7 DI100 indicatore di direzione \*



Alloggiamento nell'organizzatore chirurgico

8

IC015 dispositivo di montaggio



9

MDR10 connessione per manipolo



10

ACTDE prolunga per fresa



11

PHD00N driver con esagono piccolo (corto)



12

PHD02N driver con esagono grande (corto)



13

RASH8 connessione con esagono grande (lunga)\*



14

ICD100 preparatore di spalla per impianti Certain® D 4,1 mm



Alloggiamento nell'organizzatore chirurgico

15

IRE100U strumento corto per inser. man. impianto Certain®



16

IRE200U strumento lungo per inser. man. impianto Certain®



17

IIPDTUS connessione corta per inser. contr. impianto Certain®



18

IIPDTUL connessione lunga per inser. contr. impianto Certain®



Alloggiamento nell'organizzatore chirurgico

21 MMC15 dispositivo lungo di montaggio per Microminiplant



22 QSD32xx fresa conica 3,25 lunghezza 8,5/10/11,5/13/15



23 QSD4xx fresa conica 4,0 lunghezza 8,5/10/11,5/13/15



24 QSD5xx fresa conica 5,0 lunghezza 8,5/10/11,5/13/15



25 QSD6xx fresa conica 6,0 lunghezza 8,5/10/11,5/13/15



26 NTDI32xx replica impianto conico d 3,25 L 8,5/10/11,5/13/15



Alloggiamento nell'organizzatore chirurgico

27 NTDI4xx replica impianto conico d 4,0 L 8,5/10/11,5/13/15 \*



28 NTDI5xx replica impianto conico d 5,0 L 8,5/10/11,5/13/15 \*



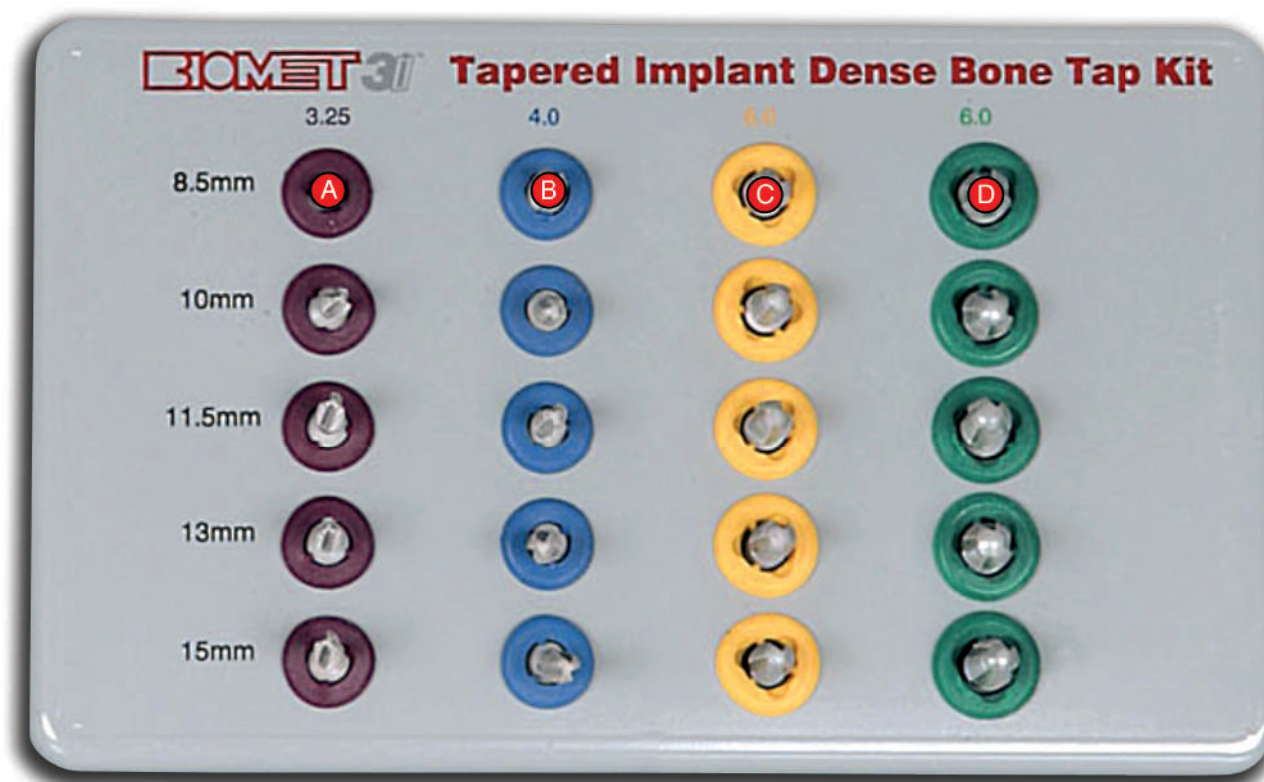
29 NTDI6xx replica impianto conico d 6,0 L 8,5/10/11,5/13/15 \*



Alloggiamento nell'organizzatore chirurgico



## NTAPK KIT MASCHIATORI PER IMPIANTO CONICO



A

NTAP32xx maschiatore conico 3,25 lunghezza 8,5/10/11,5/13/15



B

NTAP4xx maschiatore conico 4,0 lunghezza 8,5/10/11,5/13/15



C

NTAP5xx maschiatore conico 5,0 lunghezza 8,5/10/11,5/13/15



D

NTAP6xx maschiatore conico 6,0 lunghezza 8,5/10/11,5/13/15



CW100 Chiave aperta \*



WR150 Chiave cilindrica \*



DP020 Misuratore di profondità \*



RE100

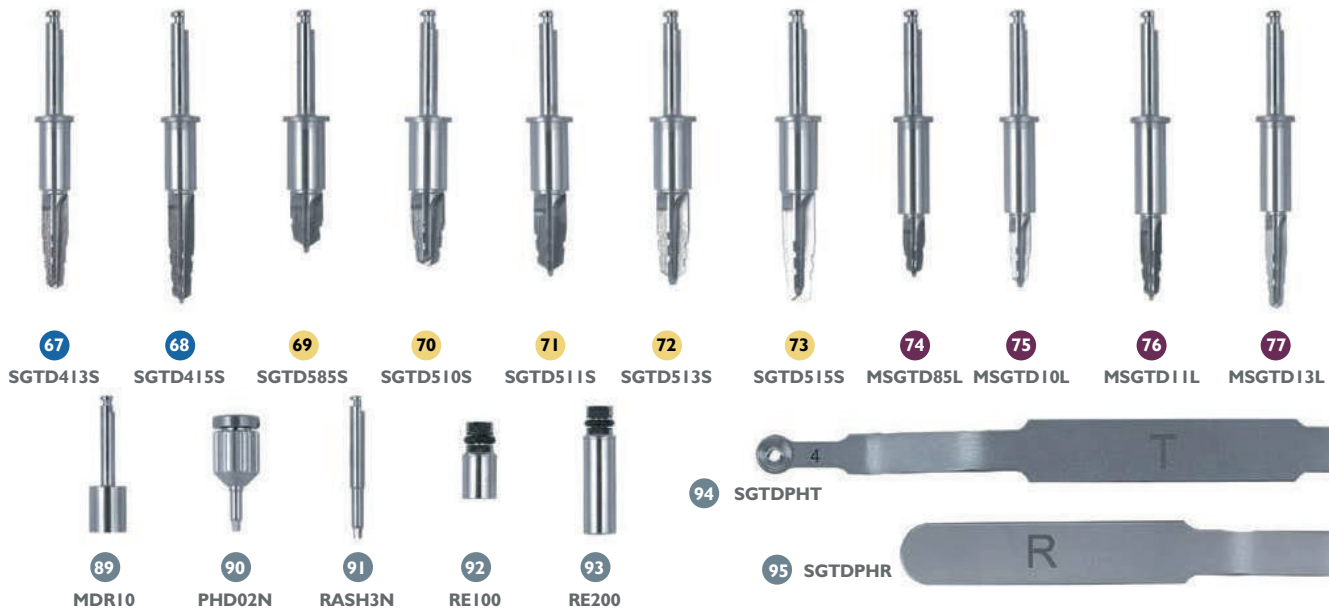
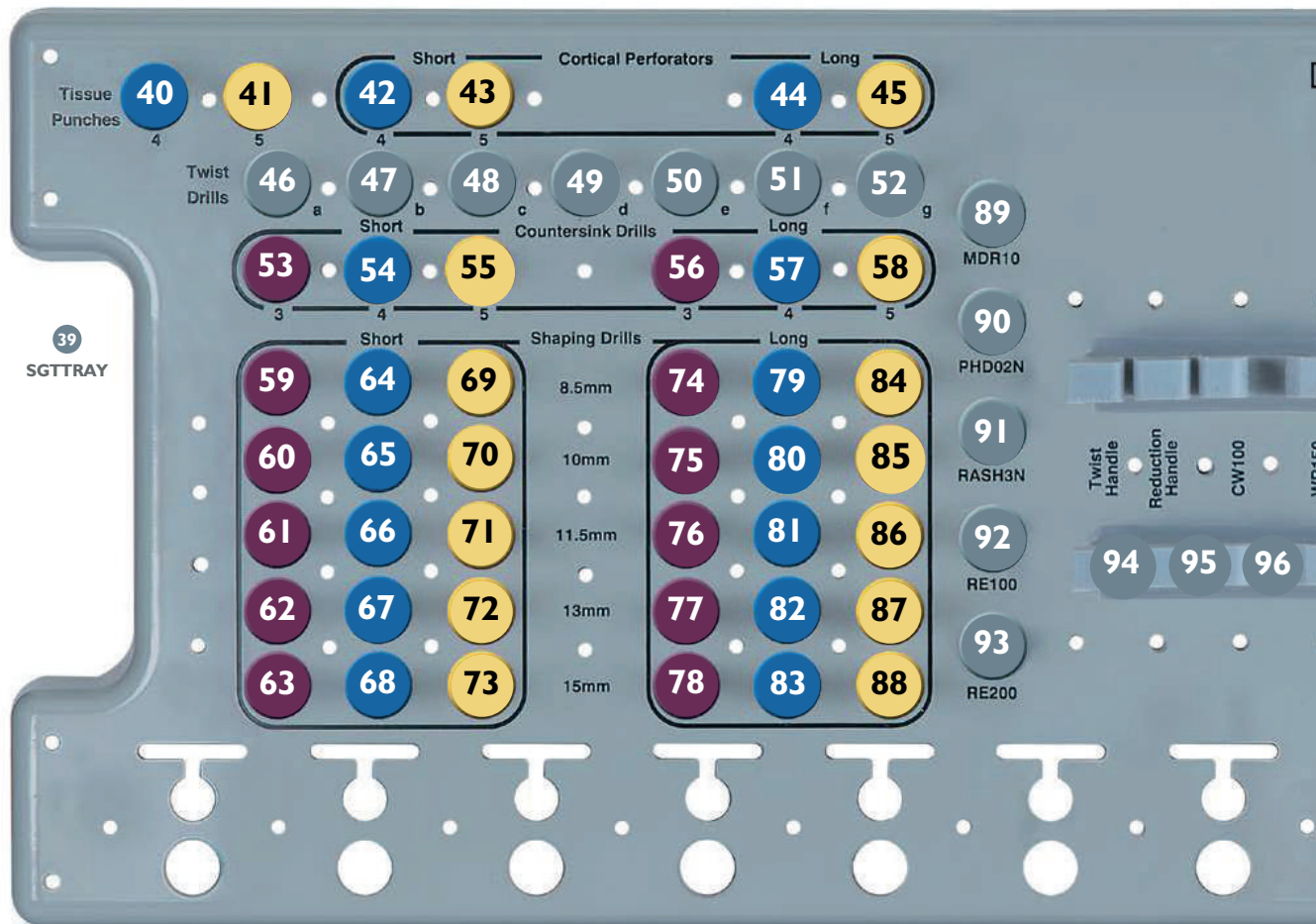


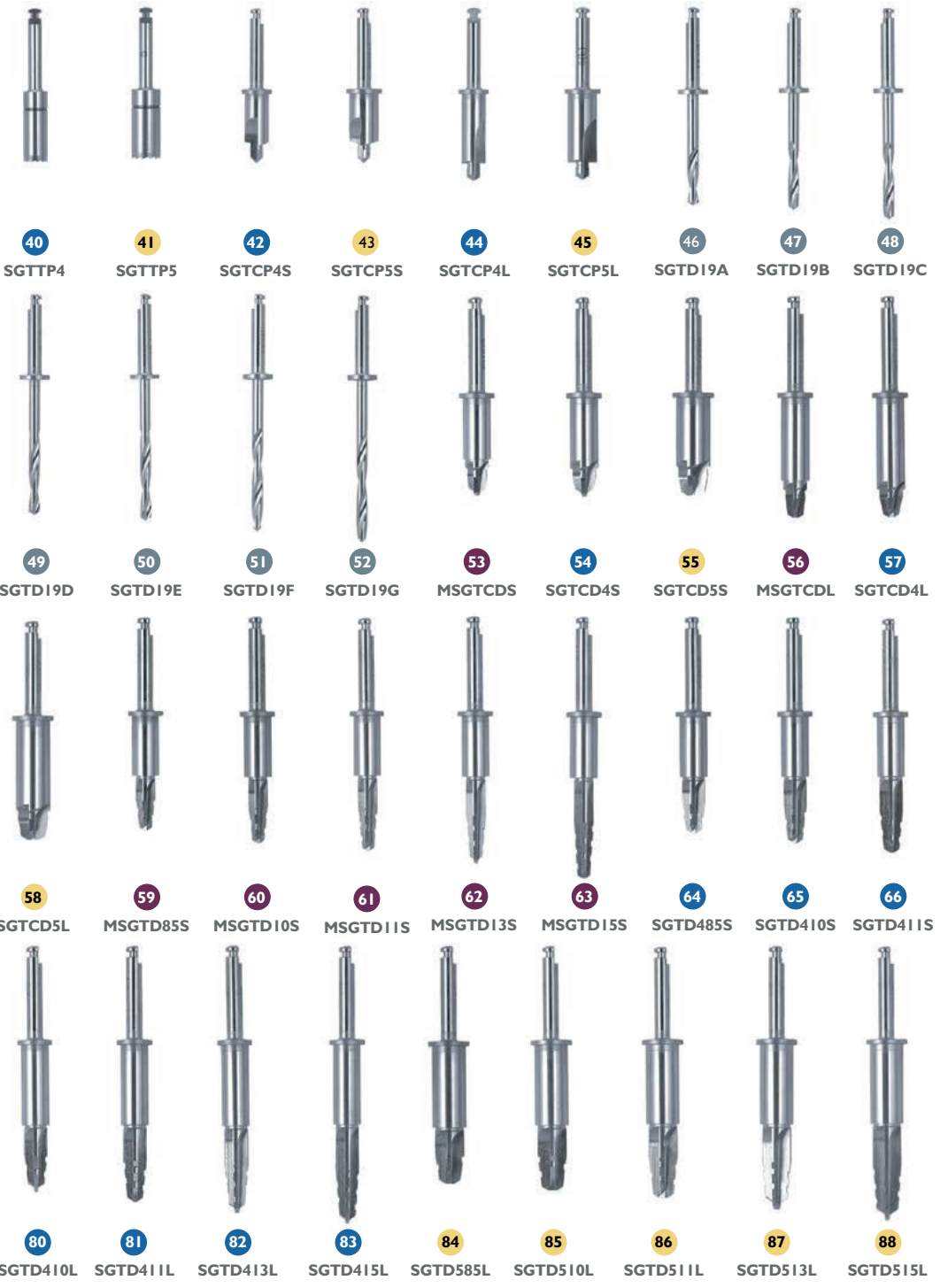
RE200



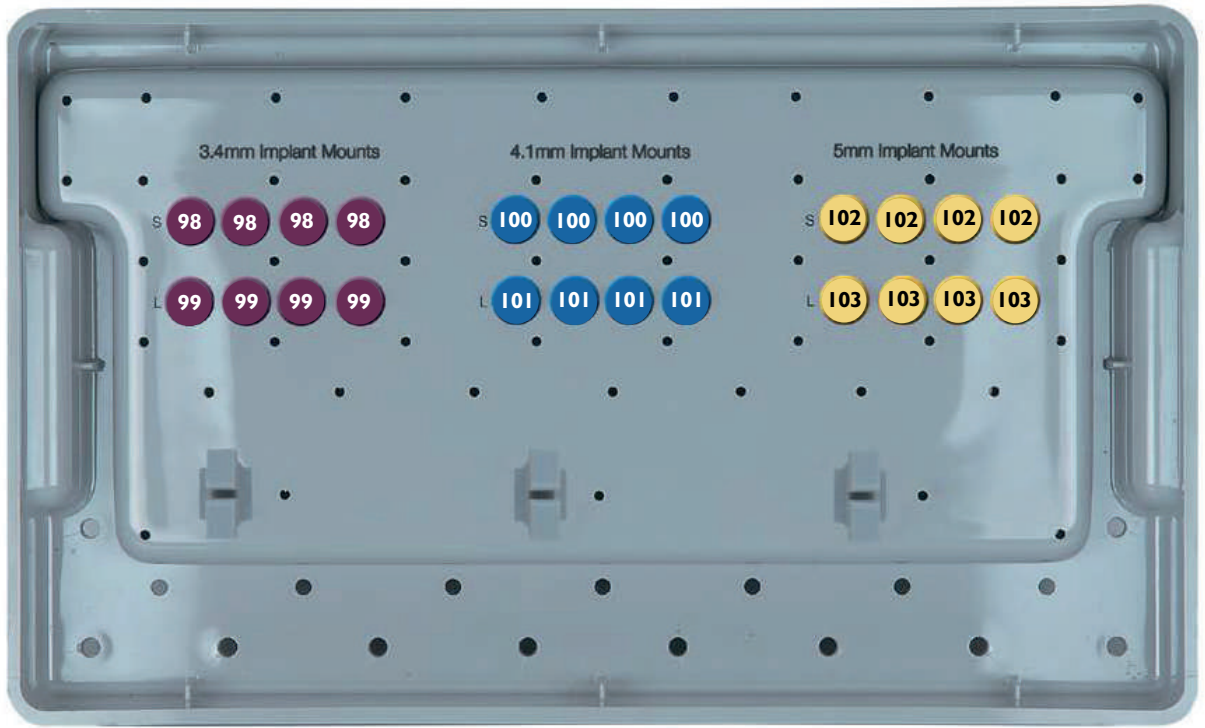
\* Alloggiamento nella parte inferiore del kit chirurgico

# KIT CHIRURGICO NAVIGATOR<sup>®</sup> PER IMPIANTI CONICI disposizione strumenti





39  
SGTTRAY



# TORQUE DI AVVITAMENTO

## TORQUE DI AVVITAMENTO Viti per pilastri e viti di ritenzione **Certain®**

### Viti per pilastri Certain®



GOLD-TITE SCREW	
Torque	20 Ncm
Codice	IUNIHG



TITANIUM SCREW	
Torque	20 Ncm
Codice	IUNIHT



GOLD-TITE SCREW	
Torque	20 Ncm
Codice	ILRGHG



TITANIUM SCREW	
Torque	20 Ncm
Codice	ILRGHT

Pilastri senza esagono

Pilastri senza esagono



VITE ESALOBATA GOLDTITE	
Torque	20 Ncm
Codice	ZFX09-ZB-CE-HLGTE

### Viti di prova Certain®



HEX TRY-IN SCREW	
Torque	Manuale
Codice	IUNITS



LABORATORY WAXING SCREW	
Torque	Manuale
Codice	IWSU30



VITE ESALOBATA TITANIO	
Torque	Manuale
Codice	ZFX09-ZB-CE-HLTISE

## TORQUE DI AVVITAMENTO Viti per pilastri e viti di ritenzione **Esagono esterno**

### Viti per pilastri Esagono esterno



GOLD-TITE SCREW SQUARE	
Torque	32-35 Ncm
Codice	UNISG



GOLD-TITE SCREW HEXED	
Torque	20 Ncm
Codice	UNIHG



TITANIUM SCREW HEXED	
Torque	20 Ncm
Codice	UNIHT

### Viti di prova Esagono esterno



SQUARE TRY-IN SCREW	
Torque	Manuale
Codice	MUNITS
Avvitatore	Quadrato

solo 3,4 mm (P)



SQUARE TRY-IN SCREW	
Torque	Manuale
Codice	UNITS
Avvitatore	Quadrato



LABORATORY WAXING SCREW	
Torque	Manuale
Codice	WSU30
Avvitatore	Esagonale

## TORQUE DI AVVITAMENTO

### Viti di ritenzione **Protesi avvitate**

#### Viti di ritenzione pilastri Low-Profile



LOW PROFILE ABUTMENT  
GOLD-TITE SCREW

Torque 10 Ncm

Codice LPCGSH



LOW PROFILE ABUTMENT  
TITANIUM SCREW

Torque 10 Ncm

Codice LPCTSH



LABORATORY  
WAXING SCREW

Torque Manuale

Codice LPCWS

## TORQUE DI AVVITAMENTO

### **Pilastrini**

#### Pilastrini Low Profile e OverdensURE®



CERTAIN® AND EXTERNAL HEX CONNECTION	TIPO	LOW PROFILE STRAIGHT ABUTMENT	OVERDENSURE®
	MATERIALE	Titanio	Titanio
	TORQUE	20 Ncm	20 Ncm
STRUMENTO DI INSERIMENTO		PAD00 PAD24 RASA3	ODS-DRVR